

*(Bull. Acad. Sci. USSR)*

*Известия Акад. наук С. С. С. Р.*

**ИЗВЕСТИЯ**

**АКАДЕМИИ НАУК СССР**

*(classe Sci. chim.)*

*Изв. Хим. наук*

**ОТДЕЛЕНИЕ  
ХИМИЧЕСКИХ НАУК**

**4**

**ИЮЛЬ - АВГУСТ**

**ИЗДАТЕЛЬСТВО АКАДЕМИИ НАУК СССР**

**МОСКВА • 1953**

## РЕДАКЦИОННАЯ КОЛЛЕГИЯ

*М. М. ДУБИНИН* (редактор), *А. Ф. КАПУСТИНСКИЙ* (зам. редактора),  
*В. Н. КОНДРАТЬЕВ*, *И. Н. НАЗАРОВ* (зам. редактора), *А. Н. НЕСМЕЯНОВ*,  
*К. Т. ПОРОШИН* (секретарь), *И. И. ЧЕРНЯЕВ*





АКАДЕМИК  
ИЛЪЯ ВАСИЛЬЕВИЧ ГРЕБЕНЩИКОВ



ПАМЯТИ АКАДЕМИКА ИЛЬИ ВАСИЛЬЕВИЧА ГРЕБЕНЩИКОВА

8 февраля 1953 г. скончался выдающийся ученый нашей страны, дважды лауреат Сталинской премии, депутат Верховного Совета СССР, член Президиума АН СССР, академик Илья Васильевич Гребенщикова.

С именем акад. И. В. Гребенщикова связано развитие химии кремния и физической химии силикатов в Советском Союзе, организация научно-исследовательских институтов и создание одной из важнейших отраслей приборостроения — первоклассной отечественной оптико-механической промышленности. Имя Ильи Васильевича хорошо известно среди ученых и среди широкого круга работников промышленности: инженеров, техников и рабочих.

И. В. Гребенщикова родился 24(12) июня 1887 г. в Петербурге в семье врача. В 1905 г. он поступил в Петербургский университет на физико-математический факультет. Склонность к научным исследованиям проявилась у Ильи Васильевича уже в студенческие годы. Поступив еще до окончания университета (в 1909 г.) лаборантом в Центральную химическую лабораторию Охтенского порохового завода, Илья Васильевич выполнил в течение трех лет несколько самостоятельных исследований. В 1910 г. Илья Васильевич блестяще окончил Петербургский университет с дипломом I степени, специализировавшись в области физической химии.

С 1912 по 1914 г. И. В. Гребенщикова работал помощником пробирера Монетного двора и помощником заведующего Лабораторией разделения золота и серебра. С того же времени началась его и педагогическая деятельность в Петербургском электротехническом институте (с 1912 по 1932 г.), где он вначале состоял преподавателем, а затем и профессором кафедр физической химии и теоретической электрохимии.

Идеи физико-химического анализа, разработанные Н. С. Курнаковым легли в основу первых работ Ильи Васильевича и в дальнейшем, в значительной степени определили его научные интересы.

Будучи еще работником завода и студентом университета, И. В. Гребенщикова, совместно с профессором Электротехнического института Н. А. Пушиным, начал обстоятельные исследования в области термического анализа бинарных смесей, которые успешно были им закончены в Электротехническом институте (1913 г.). Эти исследования позволили установить свойства эвтектических точек и разработать оригинальный пирометрический метод определения фазовых переходов при высоких давлениях, который в дальнейших исследованиях Илья Васильевич применил для изучения адиабатического сжатия и расширения ряда жидкостей. Так, например, для воды до температуры  $54^{\circ}$ , в противоположность другим жидкостям, было установлено увеличение адиабатического эффекта. Наблюдаемые явления И. В. связал с фазовым переходом льда III в лед V и высказал предположение о том, что различным модификациям воды в кристаллическом состоянии соответствуют различные степени ассоциации в жидкой воде. Здесь сказалась характерная для Ильи Васильевича большая интуиция в научных вопросах, которая в дальнейшем неоднократно помогла ему разрешать сложнейшие задачи.



С 1915 г. Илья Васильевич связывает свою научную деятельность с решением важнейшей в то время для России задачей — организацией производства отечественного оптического стекла. Уже с самого начала первой мировой войны в России ощущался острый недостаток оптических приборов, которые не могли изготовляться из-за отсутствия оптического стекла. На фарфоровом заводе в Петрограде (в 1915 г.) началась подготовка производства оптического стекла. Для непосредственного руководства работами по плавке стекла был приглашен И. В. Гребенщиков, тогда еще молодой исследователь, но уже зарекомендовавший себя как талантливый экспериментатор. С присущей ему энергией Илья Васильевич горячо взялся за новое дело, которое благодаря его трудам получило в Советском Союзе столь мощное развитие.

Отечественное производство было быстро налажено и в период 1916—1917 гг. выпущено 8 тонн стекла, которое по своему качеству еще не могло удовлетворять всем предъявляемым требованиям. В силу целого ряда причин завод в 1920 г. был законсервирован, а дальнейшие исследования в этой области развивались во вновь открытом научно-исследовательском институте, в организации которого принимали участие виднейшие ученые Д. С. Рождественский, И. В. Гребенщиков, А. И. Тудоровский и др. Илья Васильевич придавал большое значение оснащению лаборатории хорошим оборудованием и приборами. С этой целью он предпринял в 1922 г. поездку в Германию, где закупил крупные партии лабораторного оборудования, а также приобрел запас сырых материалов для оптического стекловарения.

Сплотив вокруг себя группу молодых научных работников, Илья Васильевич развернул громадную работу по изучению влияния состава стекла на их свойства и изучению природы стекла и процесса стекловарения.

Илья Васильевич не терпел казенного отношения к делу, был чрезвычайно требователен к себе и своим подчиненным. Характерным для него являлся метод руководства, который заключался в предоставлении сотрудникам самостоятельности и инициативы в работе, в отсутствие мелкой опеки над ними. Это не исключало, однако, того, что Илья Васильевич по существу являлся руководителем и вдохновителем проводимых в его лабораториях работ, направляя и обогащая их своими идеями. Таким образом был создан сплоченный, целеустремленный коллектив научных работников со своими традициями, послуживший основанием для развития в дальнейшем школы академика И. В. Гребенщикова. Из этой школы вышли впоследствии многие крупные специалисты в области химии и технологии стекла.

Илья Васильевич также непосредственно занимался и подготовкой кадров не только в электротехническом институте, как об этом упоминалось выше, но и в ряде других вузов, где читал отдельные курсы лекций — по физической химии в Политехническом институте (1922 г.), по электрохимии — в Ленинградском технологическом институте (1931—1932 гг.), а также цикл лекций по технологии оптического стекла — студентам физического факультета университета (1923—1927 гг.).

В конце 1923 г. вновь начал работать завод оптического стекла, на котором Илья Васильевич, будучи консультантом, создал прекрасно оборудованные лаборатории, методически руководил планами работ заводских лабораторий, подготавливал для них кадры. Основное же в его работе на заводе заключалось в налаживании самого технологического процесса. В этом направлении тесно переплеталась работа сотрудников завода и химических лабораторий, руководимых И. В. Гребенщиковым. Тем самым уже тогда была заложена И. В. тесная связь науки с промышленностью.

Старый метод варки оптического стекла позволял выпускать стекло недостаточно высокого качества. Бичом являлась так называемая



«мошка» — мелкие пузырьки, сосредоточенные в стекломассе. Илья Васильевич вместе с Н. Н. Качаловым включились на борьбу с этим браком.

Летом 1925 г. Н. Н. Качаловым, И. В. Гребенщиковым и Д. С. Рождественским было решено отказаться от старого способа варки и заменить его вновь разработанным, скоростным способом, в результате чего качество стекла резко повысилось, а длительность процесса сократилась в три раза. В 1927 г. импорт оптического стекла в СССР был уже полностью прекращен.

В годы сталинских пятилеток, когда перед промышленностью встала необходимость реконструкции и усовершенствования технологических процессов, возник ряд вопросов, требующих углубленного изучения. Огромная научная эрудиция и интуиция И. В. Гребенщикова, смелость мысли позволяли ему не только успешно решать текущие основные вопросы, но также и расширять их далеко за пределы интересов стекловарения. Проводившиеся им работы в процессе развития приобретали принципиальный научный характер и имели значение не только для изучения химии стекла, но и ряда других химических процессов.

И. В. Гребенщиков много работал над изучением гетерогенных равновесий и физико-химическим анализом силикатных систем. В этой области одной из первых работ явилась работа Ильи Васильевича по изучению диаграммы равновесия метакремнекислого натрия с кремнеземом. Иллеей Васильевичем с сотрудниками была затем изучена диаграмма состояния важнейшей для оптического стекловарения системы  $\text{Na}_2\text{O} - \text{PbO} - \text{SiO}_2$ . В этой системе было установлено образование нескольких тройных соединений, сильно диссоциирующих в расплаве. Авторы подробно охарактеризовали выделяющиеся кристаллические фазы, разработав «фазовый» метод исследования кристаллизации. Одновременно в течение ряда лет И. В. Гребенщиковым и его школой обстоятельно изучались также разнообразные свойства этой системы: вязкость, электропроводность, поверхностное натяжение, плотность, оптические свойства, температура спекания, термохимические свойства, химическая устойчивость, диэлектрические потери; при этом был разработан ряд новых, точных методов. Широко применялись также рентгеновские исследования. Позднее была исследована И. В. еще и другая система — натриево-боросиликатная, имеющая особое значение в ряду работ, проведенных под его руководством. Иллеей Васильевичем и его ближайшими помощниками бы проведен большой цикл исследований, направленных на разработку теоретических основ процессов стеклообразования: выяснение влияния различных факторов на скорость стеклообразования, разработка методов получения оптически однородных стекол, установление природы пузырей в стекле и способов борьбы с пузыристостью и т. д.

Центральное место в научных исследованиях И. В. Гребенщикова занимают его классические работы по изучению поверхностных свойств стекла, имевшие большое значение для развития химии силикатов и послужившие основанием для разработки ряда новых технологических процессов.

Еще в ранних его работах была установлена причина высокой химической устойчивости силикатных стекол к воде и растворам кислот, которая кроется в защитном действии образующейся на поверхности стекол пленки коллоидной кремневой кислоты толщиной 10—60 Å. На основании огромного экспериментального опыта Илья Васильевич позже развивает и дополняет эти представления, придя к выводу о наличии в стеклах кремнеземистого скелета, который вместе с образующимся кремнекислым гелем составляет защитный слой — пленку. Поверхностный слой регулирует дальнейший ход разрушения стекла и определяет ряд его свойств. Под руководством И. В. Гребенщикова были разработаны новые методы определения толщины пленки, из которых особо нужно отметить метод, основанный на измерении эллиптической поляризации отраженного света. Такое направление исследований оказалось чрезвычайно плодотворным и сыграло большую



роль в установлении механизма химического разрушения силикатов, в разработке теории стеклянного электрода, в изучении и усовершенствовании процессов шлифовки и полировки стекла, процессов серебрения, методов обработки оптических деталей, просветления оптики и т. д.

Представления Ильи Васильевича о механизме химического разрушения силикатных стекол были перенесены и на природные силикатные минералы. В этом направлении И. В. было проведено несколько экспериментальных работ, подтвердивших его взгляды. Исследования по изучению поверхностных свойств стекла послужили толчком для пересмотра сущности процесса полировки металлов.

В противоположность зарубежным исследователям Илья Васильевич рассматривал процесс полировки металлов как процесс образования и удаления окисных или других соединений, образующихся на поверхности металлов под влиянием окружающей среды. На базе своих представлений им был создан принципиально новый метод обработки поверхности металлов, который оказался весьма эффективным. Скорость обработки деталей увеличилась почти в 15 раз. И. В. разработал новые полирующие материалы, получившие широкую известность. Под его руководством по этому вопросу были выпущены практические руководства для инженеров и техников. Химический метод обработки поверхности металлов чрезвычайно простой, не требующий больших навыков, широко распространен в промышленности.

И. В. Гребенщиков как выдающийся ученый в 1932 г. был избран в действительные члены Академии наук СССР. Будучи академиком, Илья Васильевич продолжает свою научную деятельность в области химии стекла и еще больше расширяет связи с промышленностью. За успешное выполнение правительственных заданий в 1939 г. Илья Васильевич был награжден орденом Трудового Красного Знамени.

Примерно к этому периоду относится открытие И. В. Гребенщиковым нового типа стекол, так называемых микропористых, исследование которых явилось выдающимся вкладом в науку, в части установления природы стеклообразного состояния. Эти стекла, относящиеся к боросиликатным, характеризуются способностью сохранять геометрическую форму, твердость и прозрачность при выщелачивании из них растворами кислот до 25% составных частей. Ильею Васильевичем и его сотрудниками было предпринято изучение многочисленных свойств пористых стекол, а также их микроструктуры при помощи разнообразных химических и физических методов. Высокая адсорбционная способность этих стекол определила их практическое применение. Огромное значение Илья Васильевич придавал исследованиям в области натриево-боросиликатных стекол и до последних дней своей жизни ими занимался.

Деятельность И. В. Гребенщикова в Академии наук протекала по двум направлениям: научно-организационной и научно-исследовательской. В 1932 г. он был академиком-секретарем Технической группы Отделения математических и естественных наук. В 1936 г. с организацией Отделения технических наук И. В. был избран заместителем академика-секретаря и председателем группы технической химии и металлургии. В 1938 г. в системе Академии наук организовалось химическое отделение. Илья Васильевич сразу вошел в состав Бюро отделения и принимал деятельное участие в его работе до конца своей жизни. В связи с болезнью, а затем и смертью академика Н. С. Курнакова, Илья Васильевич некоторое время исполнял обязанности директора Института общей и неорганической химии АН СССР. Вскоре после избрания Ильи Васильевича академиком он организовал небольшую лабораторию химии силикатов в системе Академии наук, которая входила с 1938 г. в состав Института общей и неорганической химии АН СССР.

Ряд работ, проведенных под руководством Ильи Васильевича, впервые был начат в лаборатории химии силикатов: разработка методов синтеза



кремнеорганических соединений, исследования электропроводности стекол, синтез силикатов из водных растворов, применение метода комбинационного рассеяния света к изучению структуры силикатных стекол, рентгеноструктурные исследования гелей кремневой кислоты и др. Большая часть этих исследований вошла в тематику организованного позднее Института химии силикатов.

В 1939 г. Илья Васильевич переключает работу Лаборатории химии силикатов целиком на изучение физико-химических свойств глазурей высоковольтных изоляторов. Эта работа являлась тогда чрезвычайно актуальной. Глазури—это те же «глухие» стекла, но специфические. Прежде всего это многокомпонентные малощелочные алюмосиликатные системы, да притом еще гетерогенные, так как глазури содержат до 15% кристаллических включений; в силу этого исследование их свойств потребовало разработки особых методов. Благодаря научному направлению этих исследований усилиями Илья Васильевича и его сотрудников поставленная задача была успешно разрешена. Применяв разработанные прецизионные методики, небольшой коллектив лаборатории смог охарактеризовать свойства глазурей, определяющие поведение их в условиях производства и эксплуатации.

Большая Отечественная война прервала исследования в области глазурей. С первых дней войны Илья Васильевич переключает работу лаборатории химии силикатов на укрепление обороноспособности нашей Родины. Сам И. В. принимает большое участие в организации новых предприятий и налаживании перебазирувавшейся на Восток промышленности.

В 1942 г. академик И. В. Гребенщиков был награжден орденом Красной Звезды и за научные работы, имеющие большое оборонное значение, в том же году ему была присуждена Сталинская премия. В 1943 г. И. В. был удостоен высокой правительственной награды — ордена Ленина. В связи с 220-летием Академии наук СССР в 1945 г. за выдающиеся заслуги в развитии науки и техники Илья Васильевич был награжден орденом Отечественной войны I степени.

В четвертом пятилетнем плане перед силикатной промышленностью были поставлены новые задачи, требующие расширения производства и улучшения качества строительных материалов (стекла, цемента, фарфора, строительных керамики и т. д.) на базе разработки более совершенных технологических процессов, изыскания новых материалов. Возникла потребность в создании в системе Академии наук СССР научно-исследовательского института по химии кремния. Илья Васильевич считал, что всестороннее изучение кремния важно не только потому, что соединения его чрезвычайно распространены в земной коре и широко применяются в технике, но еще и потому, что такие исследования позволяют найти совершенно новые материалы с ценными свойствами.

Сразу же после окончания войны Илья Васильевич начинает вести подготовку организации нового института. Эта подготовка шла, с одной стороны, по линии расширения деятельности лаборатории химии силикатов, чему оказал большое содействие в то время Институт общей и неорганической химии АН СССР им. Н. С. Курнакова.

В течение 1946—1947 гг. увеличились штаты лаборатории и расширилась ее тематика. Илья Васильевич ставит ряд работ, вытекавших из прежних исследований в области глазурей: изучение реакции в твердом состоянии на основе системы  $MgO-Al_2O_3-SiO_2$ , исследование взаимодействия природных алюмосиликатных минералов с водными растворами, изучение поверхностного натяжения силикатных расплавов и т. д.

С другой стороны, подготовка к созданию института шла по линии всестороннего обсуждения его профиля. По этому вопросу Илья Васильевич устраивал в Москве и Ленинграде неоднократные совещания со специалистами. Илья Васильевич представлял себе создание такого научно-исследовательского учреждения, задачей которого являлось бы изучение



основных общих вопросов химии кремния и его соединений, а также аналогов кремния, с применением всесторонних комплексных методов исследования. Сфера деятельности института не должна была ограничиться изучением только силикатов, хотя последние должны были занять в нем центральное место. «Не следует опасаться, — говорил Илья Васильевич, — что при такой постановке возникнет опасность отрыва от насущных нужд народного хозяйства. Наоборот, при изучении всесторонних свойств кремния как химического элемента создаются предпосылки для получения новых материалов с новыми свойствами». В соответствии с этим им была разработана структура института с делением на лаборатории не по отраслевому признаку: были предусмотрены лаборатории химическая, физико-химическая, аналитическая, физическая и другие им подобные, а не лаборатории стекла, керамики, цемента и т. д.

Представленные акад. И. В. Гребенщиковым проекты профиля и структуры института были приняты, и постановлением Совета министров от 31 декабря 1947 г. был открыт в Ленинграде Институт химии силикатов Академии наук СССР, а академик И. В. Гребенщиков был избран его директором.

Главной задачей Илья Васильевич считал выращивание кадров института, и этому он уделял огромное внимание. Наряду с опытными специалистами в институт привлекалось много молодежи, с которой Илья Васильевич любил и умел работать. Строгий, требовательный руководитель, он одновременно являлся хорошим товарищем, чему способствовало знание людей и интерес к ним, большая чуткость и простота обращения его с людьми. С первых же дней существования института он организовал научный семинар, которому придавал большое значение как средству, сплачивающему коллектив и воспитывающему молодежь. Глубокое уважение и любовь, которые завоевал Илья Васильевич в институте, выразились в быстром восприятии всем коллективом его лучших традиций.

В 1947 г. Илье Васильевичу исполнилось 60 лет. Общественность страны очень тепло отметила его шестидесятилетие, а правительство наградило его вторым орденом Ленина. С радостью встретили сотрудники института присуждение Илье Васильевичу в 1952 г. премии имени И. В. Сталина.

В 1950 г. И. В. Гребенщиков был избран депутатом Верховного Совета Союза ССР от трудящихся Московского избирательного округа Ленинграда. Илья Васильевич обладал основными качествами, необходимыми для депутата; а именно государственным подходом к вопросам, принципиальностью, что, наряду с большой отзывчивостью, характеризовало его деятельность как депутата. До последних дней своих он служил народу, вникая во все нужды обращающихся к нему избирателей.

Илья Васильевич Гребенщиков прожил большую яркую жизнь. Он горячо любил Родину и отдал все свои силы делу служения ей. С образом Ильи Васильевича связано представление о самобытной, мощной личности, которое создавалось гармоническим сочетанием в нем большого, живого, оригинального ума с талантливой волевой натурой.

Память о выдающемся ученом, отзывчивом, чутком человеке, требовательном учителе и близком друге останется навсегда в сердцах его товарищей по работе, учеников и всех, когда-либо соприкасавшихся с ним.

*С. К. Дуброво*

Г. И. ФЕКЛИСОВ

## ПРИМЕНЕНИЕ ЛИТИЙАЛЮМИНИЙГИДРИДА ДЛЯ МИКРОСИНТЕЗОВ С МЕЧЕНЫМ УГЛЕРОДОМ

Для проведения исследований с применением радиоактивных изотопов в большинстве случаев необходимо прежде всего приготовить чистое вещество, в молекулах которого содержатся радиоактивные атомы. В ряде работ, проводимых с мечеными атомами, достаточно иметь несколько миллиграммов вещества с высокой радиоактивностью. Препаративную химию всегда интересовал вопрос приготовления соединений в микроколичествах.

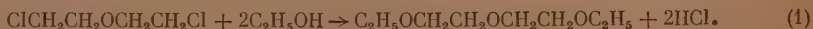
При проведении микросинтеза соединений, содержащих радиоактивные атомы, литийалюминийгидрид может оказать неоценимую услугу, благодаря своим ценным восстановительным свойствам. Литийалюминийгидрид начинает широко применяться в качестве восстановителя в синтетической химии [1]. Молекула литийалюминийгидрида содержит относительно много водорода, что обеспечивает эффективное восстановление при сравнительно малом расходе реагента.

Большинство реакций восстановления при помощи литийалюминийгидрида протекает с хорошим выходом при комнатной температуре и не дает побочных продуктов. При восстановлении литийалюминийгидридом альдегидов, кетонов, хинонов, сложных эфиров, карбоновых кислот, ангидридов кислот, лактонов, содержащих в молекулах радиоактивные элементы, можно получить соответствующие спирты.

Если приготовить гидрид лития с радиоактивным водородом, а затем синтезировать литийалюминийгидрид, то, используя последний в качестве восстановителя, можно получить продукт восстановления, содержащий тритий. Разумеется, возможно использование обоих вариантов одновременно. В настоящей работе мы применяли литийалюминийгидрид для восстановления соединений, содержащих радиоактивный углерод  $C^{14}$ .

### ЭКСПЕРИМЕНТАЛЬНАЯ ЧАСТЬ

**Получение литийалюминийгидрида.** Синтез литийалюминийгидрида проводился в диэтиловом эфире диэтиленгликоля. Диэтиловый эфир диэтиленгликоля готовился по реакции:



В двухлитровой колбе растворялось 450 г едкого калия в 900 мл этилового спирта (95%-ного); к полученному раствору приливалось 350 г  $\beta$ ,  $\beta'$ -дихлордиэтилового эфира.

$\beta$ ,  $\beta'$ -Дихлордиэтиловый эфир может быть получен по реакции [2]:





Реакционная смесь из этилового спирта, едкого калия и  $\beta$ ,  $\beta'$ -дихлордиэтилового эфира нагревалась в колбе с обратным холодильником на водяной бане в течение суток.

Следует заметить, что реакция вначале идет очень энергично — с бурным вскипанием спирта. Поэтому необходимо иметь поблизости сосуд с холодной водой для своевременного охлаждения реакционной смеси. По окончании реакции твердая фаза отделяется от жидкости на воронке Бюхнера со стеклянным фильтром. Фильтрат был подвергнут фракционированной разгонке. Собирали фракцию с т. кип.  $185-189^\circ$ . Диэтиловый эфир диэтиленгликоля сушился в течение суток над металлическим натрием и вновь перегонялся. В результате проведенной реакции получили 125 г эфира (выход 31% от теоретического) с т. кип.  $187^\circ$ ;  $d_{15}^{15}$  0,9150;  $n_D^{20}$  1,414.

Гидрид лития, используемый для приготовления литийалюминийгидрида, должен содержать не менее 80% активного продукта. Для проведения данной работы мы располагали гидридом лития заводского изготовления. Перед употреблением гидрид лития был подвергнут анализу на содержание активного продукта [3], используя для этого реакцию разложения гидрида лития водой

Таблица 1



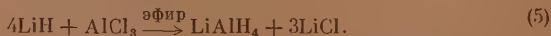
Чистота гидрида лития

№ опыта	Навеска LiH в мг	Объем водорода при нормальных условиях в мл	Содержание активного вещества в гидриде лития в %
1	72,0	188	93
2	74,8	194	93
3	62,4	157	90
4	51,0	139	95

В сосуд известного объема с ртутным манометром помещали навеску гидрида лития и обрабатывали водой. По приросту давления в сосуде можно было судить о количестве выделившегося водорода в результате реакции (4). По этой реакции 1 мг гидрида лития выделяет 2,8 мл водорода при нормальных условиях. Данные анализа на содержание активного вещества в гидриде лития приведены в табл. 1.

Как следует из табл. 1, среднее содержание активного продукта в гидриде лития заводского изготовления составляет 93% и поэтому он вполне пригоден для наших целей. Хлористый алюминий брали для проведения синтеза свежесублимированный.

Прежде чем проводить основной синтез, готовится «затравка». Для этого помещали в пробирку 0,5 г гидрида лития в виде пудры, заливали 2 мл диэтилового эфира диэтиленгликоля и при перемешивании постепенно приливали раствор 0,5 г хлористого алюминия в 3 мл того же эфира. Получение литийалюминийгидрида проводили в приборе, изображенном на фиг. 1, по реакции:



В колбу 2 помещали 8,9 г тонко измельченного и просеянного через сито № 200 гидрида лития и все количество приготовленной «затравки» вместе с эфиром. В воронку 1 заливали профильтрованный через стеклянный фильтр раствор 2,9 г хлористого алюминия в 50 мл диэтилового эфира диэтиленгликоля. Из воронки 1 эфирный раствор хлористого алюминия, при непрерывном перемешивании, приливался по каплям к гидриду лития, находящемуся в колбе 2. По окончании приливания раствора хлористого алюминия желательно дать реакционной

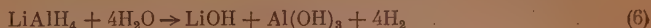


Фиг. 1. Прибор для получения литийалюминийгидрида: 1 — воронка для эфирного раствора хлористого алюминия; 2 — реакционная колба; 3 — трубка с хлористым кальцием



смеси постоять в течение 5—6 час. для обеспечения большей полноты реакции.

Эфирный раствор литийалюминийгидрида отделяется при помощи стеклянного фильтра от хлористого лития и непрореагировавшего гидрида лития и используется для проведения реакций восстановления. Концентрацию литийалюминийгидрида в эфирном растворе мы определяли при помощи обработки раствора водой [4]. Как и в случае определения чистоты гидрида лития, несколько миллилитров эфирного раствора литийалюминийгидрида помещали в сосуд известного объема и по приросту давления в сосуде при разложении литийалюминийгидрида водой по реакции:



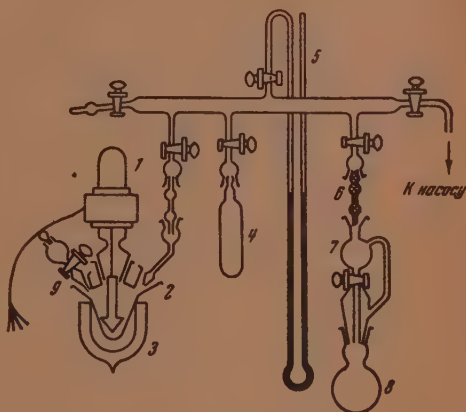
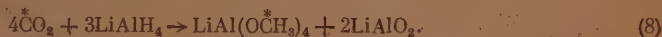
определяли концентрацию раствора. Согласно реакции (6), 2,4 мл водорода при нормальных условиях соответствуют 1 мг литийалюминийгидрида.

**Синтез меченого метилового спирта.** Настоящий синтез основан на способности литийалюминийгидрида восстанавливать углекислый газ до метилового спирта. Исходным продуктом для получения меченого метилового спирта служил радиоактивный препарат  $\text{BaC}^{14}\text{O}_3$ . Вся методика синтеза была вначале отработана на нерадиоактивных веществах.

Получение метилового спирта из углекислого газа проводили в стеклянной вакуумной установке, схема которой изображена на фиг. 2. В реакционный сосуд 2 заливали 50 мл 0,3%-ного раствора литийалюминийгидрида в диэтиловом эфире диэтиленгликоля. В колбу генератора углекислого газа 8 помещали 0,5 г препарата  $\text{BaC}^{14}\text{O}_3$  с активностью 0,5 мКи и наполняли воронку генератора углекислого газа 7 концентрированной химически чистой серной кислотой. После этого установку подсоединяли к вакуумному насосу и полностью откачивали воздух, вначале из генератора углекислого газа и ловушки, а затем из реакционного сосуда. Приливая по каплям серную кислоту из воронки 7 в колбу 8, получали радиоактивный углекислый газ по реакции:



Последним заполняли установку, пропуская его через трубки с хлористым кальцием 6. По окончании заполнения установки радиоактивной углекислотой включалась индукционная мешалка 1. При этом заметно уменьшается давление в системе благодаря взаимодействию  $\text{C}^{14}\text{O}_2$  с литийалюминийгидридом по реакции:



Фиг. 2. Схема стеклянной вакуумной установки для синтеза метилового спирта: 1 — индукционная мешалка; 2 — реакционный сосуд; 3 — сосуд Дьюара для жидкого азота; 4 — ловушка; 5 — открытый ртутный манометр; 6 — трубка с хлористым кальцием; 7 — воронка генератора углекислого газа; 8 — колба генератора углекислого газа; 9 — капельная воронка

За время проведения реакции при комнатной температуре (20°) в установке объемом 500 мл давление понизилось на 90 мм рт. ст. По формуле Менделеева (9) легко подсчитать число молей углекислого газа, вступившего в реакцию с литийалюминийгидридом:

$$pV = nRT$$

$$n = \frac{pV}{RT} = \frac{90 \cdot 500}{6,2 \cdot 10^4 \cdot 293} = 0,0025 \text{ мол.} \quad (9)$$

В результате реакции  $C^{14}O_2$  полностью восстановился. Незначительное количество оставшегося радиоактивного углекислого газа было переведено в ловушку 4.

Выделение радиоактивного метилового спирта мы проводили по методу обмена радиоактивной метоксильной группы литийалюминиевого комплекса с метоксильной группой неактивного метанола:



Для этого в реакционный сосуд 2 из воронки 9 приливалось 50 мл метилового спирта. Смесь перемешивали индукционной мешалкой 1 в течение 6 час. При введении в реакционную смесь метанола, кроме обменной реакции, имеет место взаимодействие метилового спирта с непрореагировавшим литийалюминийгидридом по реакции:



Ввиду этого приходилось время от времени останавливать подачу метанола, замораживать реакционную смесь жидким азотом и откачивать выделившийся водород. Содержимое реакционного сосуда перенесли в перегонную колбу и отогнали меченый метиловый спирт от диэтилового эфира диэтиленгликоля. Большая разница в температурах кипения этих двух жидкостей обеспечивает полноту отгонки и чистоту отгоняемого метанола. Проба меченого метилового спирта была переведена в  $BaC^{14}O_3$  и определена радиоактивность последнего. Данные определения радиоактивности приведены в табл. 2.

Таблица 2

Относительная радиоактивность продуктов, меченных радиоуглеродом в  $CH_3$ -группе

№ по пор.	Соединение	Вес осадка $BaCO_3$ в мг	Активность $BaCO_3$ в имп/мин	Удельная активность $BaCO_3$ в имп·см <sup>3</sup> мин·мг	Удельная активность $BaCO_3$ на 1 атом углерода в имп·см <sup>3</sup> мин·мг
1	$C^{14}H_3OH$	3,3	500±7	204	204
		10,5	890±10	198	198
2	$C^{14}H_3J$	4,1	570±8	198	198
		7,4	770±9	194	194
3	$C^{14}H_3CH_2OH$	5,3	330±6	99	198
		9,6	480±7	95	190
4	$C^{14}H_3CHO$	7,5	390±7	96	192
		6,8	370±6	98	196

Сопоставимые данные по активности радиоактивных образцов можно получить, рассчитав удельную активность — активность единицы поверхности на единицу массы вещества. При измерении активности образцов  $C^{14}$  имеет место изменение активности в зависимости от толщины слоя осадка, которую можно найти, исходя из следующих рассуждений.

Если на образец радиоактивного вещества, испускающего  $J$  имп/мин с каждого квадратного сантиметра поверхности, наложить бесконечно тонкий слой  $dx$  этого вещества, то приращение активности  $dJ$  может быть записано в следующем виде:

$$dJ = adx - \mu J dx, \quad (12)$$

где первый член правой части уравнения учитывает образование электронов при распаде  $\beta$ -активного вещества и пропорционален величине  $dx$ , второй член — учитывает поглощение электронов в слое  $dx$ .

В формуле (12):  $a$  — удельная активность образца (в  $\frac{\text{имп} \cdot \text{см}^2}{\text{мин} \cdot \text{мг}}$ );  $\mu$  — коэффициент самопоглощения для данного вещества (в  $\text{см}^2/\text{мг}$ );  $x$  — толщина образца (в  $\text{мг}/\text{см}^2$ ).

После преобразования формулы (12) имеем:

$$dx = \frac{dJ}{a - \mu J}. \quad (13)$$

При интегрировании формулы (13) получаем:

$$\ln(a - \mu J) \Big|_0^J = -(\mu x)_0^x. \quad (14)$$

После подстановки имеем:

$$-\ln a + \ln(a - \mu J) = -\mu x \quad (15)$$

или

$$\ln \frac{a - \mu J}{a} = -\mu x. \quad (16)$$

В результате преобразования получаем:

$$J = \frac{a}{\mu} (1 - e^{-\mu x}). \quad (17)$$

Рассматривая предельный случай, когда толщина слоя  $x$  бесконечно возрастает, получим выражение:

$$J_\infty = \frac{a}{\mu}, \quad (18)$$

тогда уравнение (17) можно написать так:

$$J = J_\infty (1 - e^{-\mu x}), \quad (19)$$

или

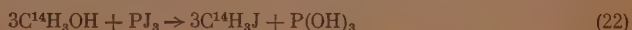
$$\frac{J}{J_\infty} = 1 - e^{-\mu x}. \quad (20)$$

Построив кривую изменения активности в зависимости от толщины осадка, легко вычислить коэффициент самопоглощения  $\mu$ . В самом деле, при логарифмировании уравнения (20) получим:

$$\lg \left( 1 - \frac{J}{J_\infty} \right) = -0,434 \mu x \quad (21)$$

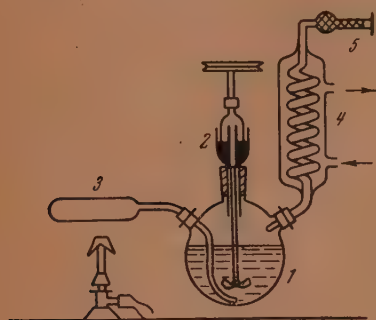
— уравнение прямой, проходящей через начало координат. Очевидно, что тангенс угла наклона будет представлять собой величину коэффициента самопоглощения  $\mu$ . Зная последний, можно по кривой самопоглощения и уравнению (17) найти величину удельной активности.

Синтез меченого подистого метила. Исходными продуктами для синтеза служили меченый метиловый спирт, красный фосфор и кристаллический иод. Для проведения синтеза по уравнению:



к смеси 12 г меченого метанола и 4 г красного фосфора, помещенной в круглодонную колбу с обратным холодильником, мы добавляли небольшими порциями 48 г тонко измельченного кристаллического иода. После прибавления в колбу очередной порции иода смесь перемешивалась встряхиванием и колба охлаждалась холодной водой. Добавив все количество иода в колбу, реакционную смесь перемешивали взбалтыванием в течение 30 мин. и нагревали колбу в течение 2 час. на водяной бане. Полученный иодистый метил отгоняли в вакууме и промывали дважды в делительной воронке водой и дважды — слабым раствором гипосульфита, после чего сушили сначала прокаленным хлористым кальцием, а потом безводным сульфатом натрия. Просушенный иодистый метил перегоняли в колбу с обращенным вниз холодильником. В результате реакции было получено 37 г меченого иодистого метила с т. кип.  $44^\circ$ , активность которого приводим в табл. 2; выход 70% от теоретического.

**Синтез этилового спирта, меченного радиоуглеродом в  $\text{CH}_3$ -группе.** Основными исходными материалами для проведения данного синтеза служили меченый иодистый метил и параформальдегид. Меченый иодистый метил в количестве 30 г по реакции с металлическим магнием в диэтиловом эфире был превращен в магнийиодметил:



Фиг. 3. Прибор для синтеза этилового спирта, меченного в  $\text{CH}_3$ -группе: 1 — реакционная колба; 2 — мешалка с ртутным затвором; 3 — генератор формальдегида; 4 — змеевиковый холодильник; 5 — трубка с хлористым кальцием

Реакция проводилась в трехгорлой колбе, снабженной капельной воронкой, обратным холодильником и мешалкой. Эфирный раствор полученного магнийиодметила отделяли от непрореагировавшего магния и в атмосфере сухого азота переливали в колбу 1 прибора, схема которого изображена на фиг. 3. В генератор формальдегида 3 загружали параформальдегид, высушенный над  $\text{P}_2\text{O}_5$  в течение месяца, в количестве, обеспечивающем 75%-ный избыток от теоретического. Формальдегид, полученный при пиролизическом разложении

параформальдегида, пропускался в эфирный раствор магнийиодметила. При этом образуется комплекс по реакции:



При проведении данной реакции регулировкой скорости струи формальдегида можно обеспечить равномерное слабое кипение эфира. Не следует допускать бурного вскипания его.

Комплекс, полученный по реакции (24), при разложении водой даст этиловый спирт:



Реакция (24) в литературе до сих пор не описана [5]. Полученный этанол отгоняли из реакционной смеси. После сушки над безводным сульфатом натрия и неоднократной перегонки он имел т. кип.  $78^\circ$ ;  $n_D^{20}$  1,365 и активность, которую приводим в табл. 2. Выход меченого этилового спирта 7 г, или 70% от теоретического.

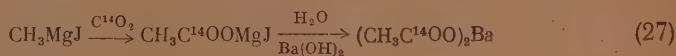
**Получение меченого ацетальдегида из этилового спирта.** Меченый альдегид был получен нами окислением этилового спирта хромовой смесью в приборе, изображенном на фиг. 4. К кипящей смеси 6 г  $\text{C}^{14}\text{H}_3\text{CH}_2\text{OH}$



и 7 мл 40%-ной серной кислоты, помещенной в колбу 1, из капельной воронки 2 приливали по каплям раствор 10 г  $\text{Na}_2\text{CrO}_4$  в 20 мл 30%-ной серной кислоты. Одновременно через реакционную смесь по трубке 3 пропускали струю азота, который увлекал с собой образующийся ацетальдегид. Последний, проходя через холодильник 4 и U-образную трубку с хлористым кальцием 5, освобождался от влаги и спирта. Ацетальдегид вымораживался в ловушке 6, помещенной в сосуд Дьюара с жидким азотом. Для очистки полученный ацетальдегид несколько раз перегонялся при пониженном давлении, а затем на водяной бане при атмосферном давлении. В последнем случае он кипел при  $20^\circ$ .

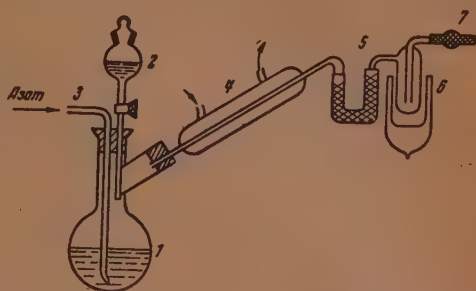
В результате проведенного окисления спирта было получено 4 г меченого ацетальдегида, или 70% от теоретического. Для доказательства химической чистоты полученного продукта была снята кривая упругости пара (см. фиг. 7), а также определена его активность (табл. 2). Кроме того, для доказательства местонахождения меченого углерода в молекуле мы провели деградацию ацетальдегида, воспользовавшись иодоформной реакцией. Эти опыты описаны ниже.

**Синтез этилового спирта, меченого радиоуглеродом у гидроксильной группы.** Синтез этилового спирта, меченого радиоуглеродом у гидроксильной группы, был осуществлен нами путем восстановления меченого уксусноэтилового эфира при помощи литийалюминийгидрида. Имея в своем распоряжении радиоактивный препарат  $\text{BaC}^{14}\text{O}_3$ , мы из него приготовили радиоактивную уксуснобариевую соль. Синтез проводился по следующей схеме:



Синтез уксусной кислоты, меченой в карбоксильной группе, проводился, как было описано [6, 7], при помощи карбонизации неактивного магниййодметила радиоактивным углекислым газом, полученным при разложении концентрированной серной кислотой препарата  $\text{BaC}^{14}\text{O}_3$ . При пропускании углекислого газа в эфирный раствор магниййодметила получается комплекс, который при разложении водой дает уксусную кислоту. Полученная кислота подвергалась очистке, после чего ее переводили в уксуснобариевую соль титрованием раствором гидроксида бария.

Для проведения микросинтеза уксусноэтилового эфира 0,5 г уксуснобариевой соли с активностью 0,4  $m\text{Ci}$  поместили в реакционную колбу 2 прибора, изображенного на фиг. 5. Туда же прилили 0,7 г концентрированной серной кислоты. Смесь нагрели на масляной бане до  $140^\circ$  и по каплям приливали из воронки 1 этиловый спирт в количестве 3 мл. Для возвращения в реакционный сосуд паров спирта и уксусной кислоты в колбу 2 был вставлен обратный холодильник 3, охлаждаемый воздухом, про-

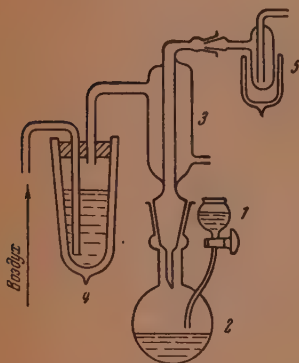


Фиг. 4. Прибор для окисления этилового спирта: 1 — реакционная колба; 2 — капельная воронка; 3 — трубка для пропускания азота; 4 — холодильник; 5 — трубка с хлористым кальцием; 6 — ловушка; 7 — хлоркальциевая трубка

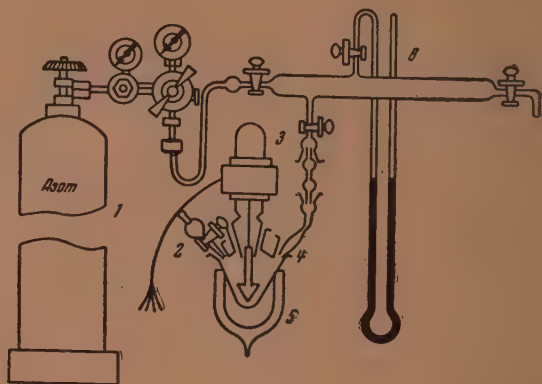
шедшим через жидкий азот, находящийся в сосуде Дьюара 4. Активный уксусноэтиловый эфир, получаемый в результате реакции



собирался в ловушке 5, охлаждаемой жидким азотом. Для очистки уксусноэтилового эфира от спирта он промывался в делительной воронке водным раствором хлористого кальция и перегонялся с елочным дефлегматором.



Фиг. 5. Прибор для микросинтеза уксусноэтилового эфира: 1 — капельная воронка; 2 — реакционная колба; 3 — холодильник; 4 — сосуд Дьюара; 5 — ловушка



Фиг. 6. Схема стеклянной установки для синтеза этилового спирта, меченного радиоуглеродом у гидроксильной группы: 1 — баллон с азотом; 2 — капельная воронка; 3 — индукционная мешалка; 4 — реакционный сосуд; 5 — сосуд Дьюара; 5 — открытый ртутный манометр

Выход активного уксусноэтилового эфира составлял 0,3 г, или 90% от теоретического. Восстановление уксусноэтилового эфира до этилового спирта при помощи литийалюминийгидрида проведено нами в стеклянной установке, схема которой изображена на фиг. 6.

Перед проведением реакции воздух из установки был выдут сухим азотом из баллона 1. В реакционный сосуд 4 налили 50 мл 0,5%-ного раствора литийалюминийгидрида в диэтиловом эфире диэтиленгликоля и туда же прилили 0,3 г радиоактивного и 0,3 г неактивного уксусноэтилового эфира. Затем, закрыв установку, провели реакцию восстановления при непрерывном перемешивании реакционной смеси при помощи индукционной мешалки 3.

Первая стадия восстановления уксусноэтилового эфира до этанола при помощи литийалюминийгидрида заключается в образовании литий-алюминиевого комплекса:



По окончании реакции, как в случае синтеза метанола, извлечение радиоактивного этилового спирта проводили по методу обмена радиоактивной этоксильной группы литийалюминиевого комплекса с этоксильной группой неактивного этанола:



Для этого в реакционную смесь из воронки 2 добавили 20 мл неактивного этилового спирта. Приходилось периодически останавливать реакцию

замораживанием реакционной смеси жидким азотом и выпускать водород, образующийся по реакции (11).

Смесь, состоящая в основном из диэтилового эфира диэтиленгликоля и этанола, переливали в перегонную колбу и отгоняли меченый этиловый спирт. Проба этанола, меченного радиоуглеродом у гидроксильной группы, переводилась в  $\text{BaCO}_3$ , радиоактивность которого приведена в табл. 3.

Таблица 3

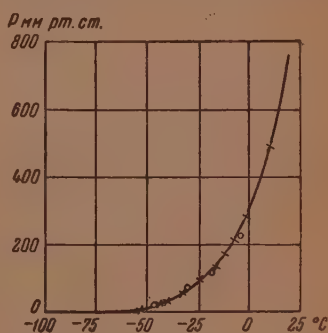
Относительная радиоактивность этилового спирта  
и ацетальдегида

№ по пор.	Соединение	Вес осадка $\text{BaCO}_3$ в мг	Активность $\text{BaCO}_3$ в имп/мин	Удельная активность $\text{BaCO}_3$ в имп. см <sup>2</sup> /мин. мг
1	$\text{CH}_3\text{C}^{14}\text{H}_2\text{OH}$	11,8	$490 \pm 7$	102
		6,9	$410 \pm 7$	105
2	$\text{CH}_3\text{C}^{14}\text{HO}$	6,2	$380 \pm 6$	102
		4,2	$280 \pm 6$	99

Из полученного спирта по методу, приведенному выше, был приготовлен ацетальдегид, меченный радиоуглеродом в карбонильной группе. Ацетальдегид, переведенный в  $\text{BaCO}_3$ , показал относительную радиоактивность, которая приводится в табл. 3.

Как в случае получения ацетальдегида, меченного в  $\text{CH}_3$ -группе, так и в этом случае мы определили упругость пара приготовленного продукта. Полученные результаты изображены на фиг. 7, где крестики соответствуют данным для ацетальдегида, меченного в карбонильной группе, и кружки соответствуют данным для ацетальдегида, меченного в  $\text{CH}_3$ -группе. Кривые давления пара полученных нами продуктов в пределах погрешностей измерений совпадают с кривой, построенной по литературным данным [8], что свидетельствует о чистоте образцов ацетальдегида.

Для проверки местонахождения меченого углерода в молекуле мы провели деградацию образцов ацетальдегида, используя реакцию с  $\text{KOJ}$ , которая протекает по уравнению:



Фиг. 7. Кривая упругости пара ацетальдегида:  $\times$  — ацетальдегид, меченный в карбонильной группе;  $o$  — ацетальдегид, меченный в  $\text{CH}_3$ -группе

Результаты определения активности иодоформа и формиата калия приведены в табл. 4.

Как видно из рассмотрения данных, приведенных в табл. 4, один из полученных образцов ацетальдегида действительно содержит меченый углерод только в первом положении, другой — только во втором положении. Это доказывает правильность методики проведенных нами синтезов.

Таблица 4

Относительная радиоактивность продуктов, полученных при деградации изомеров ацетальдегида

№ по пор.	Ацетальдегид и его продукты деградации	Хим. состав образцов для счета	Вес осадка в мг	Актив-ность образца в имп/мин	Удельная активность	Удельная активность
					в имп·см <sup>3</sup> мин·мг	на 1 атом углерода в имп·см <sup>3</sup> мин·мг
1	CH <sub>3</sub> C <sup>14</sup> H <sub>3</sub> O	BaCO <sub>3</sub>	6,2	380±6	102	204
			4,2	280±6	99	198
	CH <sub>3</sub> J <sub>3</sub>	CH <sub>3</sub> J <sub>3</sub>	11,2	1±2	0	0
			5,6	0±2	0	0
	HCOOH	HCOOK	10,0	780±9	179	179
2			6,3	700±8	185	185
	C <sup>14</sup> H <sub>3</sub> CHO	BaCO <sub>3</sub>	3,4	26±2	10	20
			4,6	31±2	10	20
	CH <sub>3</sub> J <sub>3</sub>	CH <sub>3</sub> J <sub>3</sub>	3,8	48±2	18	18
			4,3	50±2	17	17
	HCOOH	HCOOK	10,8	2±2	0	0
			5,1	0±2	0	0

## ВЫВОДЫ

1. Получен литийалюминийгидрид в диэтиловом эфире диэтиленгликоля.
2. Разработаны микросинтез и метод выделения метилового спирта, меченного радиоуглеродом.
3. Впервые синтезирован этиловый спирт, меченный радиоуглеродом в CH<sub>3</sub>-группе.
4. Разработан микросинтез меченого уксусноэтилового эфира из уксуснобариевой соли.
5. Разработан микросинтез и выделение этилового спирта, меченного радиоуглеродом у гидроксильной группы.
6. Получены два изотопных изомера ацетальдегида.

Институт химической физики  
Академии наук СССРПоступило  
8. X. 1952

## ЛИТЕРАТУРА

1. Е. В. Рогинская, Усп. хим. 21, 3 (1952).
2. O. Kamn, I. H. Waldo, J. Am. Chem. Soc. 43, 2223 (1921).
3. J. Mahe, J. Kollet, A. Willemart, Bull. Soc. chim. France, 481 (1949).
4. J. A. Krinitsky, J. E. Johnson, Ann. 20, 311 (1948).
5. С. Т. Иоффе и А. Н. Несмеянов, Справочник по магнийорганическим соединениям, Изд. АН СССР, М.—Л., 1950.
6. М. Б. Нейман, А. Ф. Луковников, В. З. Иофа, ДАН 78, 494 (1951).
7. М. Б. Нейман и Г. И. Феклисов, ДАН, 87, 605 (1952).
8. Д. Кей и Т. Лэби, Справочник физико-экспериментатора, ИЛ, 1949.



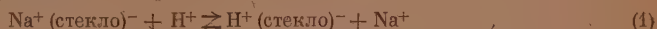
С. К. ДУБРОВО и Ю. А. ШМИДТ

## ВЗАИМОДЕЙСТВИЕ СТЕКЛООБРАЗНЫХ СИЛИКАТОВ И АЛЮМОСИЛИКАТОВ НАТРИЯ С ВОДНЫМИ РАСТВОРАМИ

### СООБЩЕНИЕ 1. ВЗАИМОДЕЙСТВИЕ СТЕКЛООБРАЗНЫХ СИЛИКАТОВ НАТРИЯ С ВОДОЙ И РАСТВОРАМИ СОЛЯНОЙ КИСЛОТЫ

На основании современных представлений в стеклообразных силикатах натрия допускают существование двух видов связей: приближающейся к гомеопольярной связи кремния с кислородом и электростатической связи ионов натрия с кислородом.

При воздействии на натриево-силикатные стекла воды или растворов кислот в первую очередь разрушается связь  $O - Na$ . Ионы натрия, обладающие большей подвижностью, способны обмениваться на ионы водорода, находящиеся в растворе [1]. Реакция обмена может быть изображена следующей схемой:



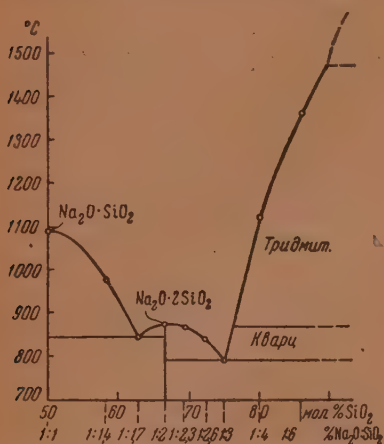
В случае воздействия на натриево-силикатные стекла воды одновременно образуется эквивалентное количество ионов  $OH^-$  и процесс представляется, как переход в раствор щелочи в результате поверхностного гидролиза силиката натрия. В результате реакции обмена ионов натрия на ионы водорода на поверхности стекла образуется кремневая кислота. Согласно воззрениям Гребенщикова [2], эта кремневая кислота вместе с первоначальным кремнеземом стекла, составляющим пространственный каркас из кремнекислородных тетраэдров, образуют защитный слой, предохраняющий стекло от дальнейшего разрушения. От толщины и структуры поверхностного защитного слоя, в значительной степени зависит как скорость диффузии ионов натрия из неразрушенного стекла, так и движение ионов водорода в обратном направлении. При воздействии воды на силикаты натрия образующийся в результате обмена щелочной раствор, в свою очередь, может разрушать поверхностный защитный слой, переводя в раствор кремневую кислоту, т. е. протекает вторичная реакция. Прочность защитного слоя, повидимому, зависит от количества кремнекислородных тетраэдров, связанных непосредственно друг с другом, характеризующего степень полимеризации кремнезема в исходном стекле.

Если количество переходящего из силиката натрия в раствор  $SiO_2$  отстает от количества переходящей  $Na_2O$ , — происходит процесс выщелачивания стекла, что имеет место в случае относительно высококремнеземистых стекол. В противном случае происходит как бы процесс растворения стекла. Все факторы, способствующие деполимеризации кремнезема в стеклообразных силикатах натрия, будут облегчать переход в раствор  $SiO_2$  и тем самым усиливать разрушение этих стекол. С этой точки зрения, характеризую химическую устойчивость натриево-силикатных стекол, нужно принимать во внимание разрушение обоих видов связей.

Изучение взаимодействия стеклообразных силикатов натрия с водными

растворами представляет большой интерес, так как исследование такой простой системы позволяет более точно установить связь между составом и разрушаемостью стекла при воздействии химических агентов. Это может послужить основанием для изучения сложных систем, составляющих технические силикатные материалы. Кроме того, представляется интересным проверить спорный вопрос: находится ли в соответствии с диаграммой состояния разрушаемость стеклообразных силикатов натрия.

В литературе приводится чрезвычайно мало данных по изучению химической устойчивости системы  $\text{Na}_2\text{O} - \text{SiO}_2$ . Тернер и его сотрудники



Фиг. 1. Диаграмма состояния системы  $\text{Na}_2\text{O} - \text{SiO}_2$  (положение исследованных силикатов отмечено точками)

натрия, по составу соответствующих инвариантным точкам на диаграмме состояния системы  $\text{Na}_2\text{O} - \text{SiO}_2$ , промежуточным точкам, а также составам с повышенным содержанием кремнезема (фиг. 1).

## ЭКСПЕРИМЕНТАЛЬНАЯ ЧАСТЬ

### Варка натриево-силикатных стекол

В качестве исходных материалов для варки натриево-силикатных стекол применялись сода (марки ч.д.а.) и молотый кварц, содержание примесей в котором не превышало 0,2%. Варка стекол производилась в платиновом тигле в печи с силистовыми стержнями при температурах 1200—1400° (в зависимости от состава), с применением механического перемешивания платиновой мешалкой. Сваренное стекло разливалось в железные формы и придавливалось сверху железным стержнем. В результате получались образцы в виде дисков почти правильной цилиндрической формы с поверхностью 10—12 см<sup>2</sup>. Образцы сразу же тщательно отжигались в муфеле. Качество отжига проверялось полярископом. После отжига образцы сохранялись в экзекторе над серной кислотой. В целях проверки воспроизводимости результатов для некоторых силикатов натрия проводились параллельные варки. В табл. 1 приводятся составы сваренных стекол (по синтезу и анализу).

### [Методика работы]

Опыты проводились в воздушном термостате с биметаллическим терморегулятором при температурах 25 и 40°. Температура колебалась в пределах  $\pm 0,5^\circ$ . В опытах с водой применялись серебряные стаканы с крышками, а также серебряные подставки для образца и мешалки; в опытах с растворами соляной кислоты применялась кварцевая аппаратура. Жидкость предварительно нагревалась до требуемой температуры, затем в стакан помещался образец, заранее измеренный штангенциркулем. После этого включалась мешалка со скоростью 300 об/мин. и через определенные промежутки времени отбирались пробы жидкости, которые анализировались на содержание нат-

Таблица 1

## Состав сваренных силикатов натрия

Молярное отношение	Синтетический состав				Состав по анализу в вес. %		Температура отжига в °C
	мол. %		вес. %				
Na <sub>2</sub> O : SiO <sub>2</sub>	Na <sub>2</sub> O	SiO <sub>2</sub>	Na <sub>2</sub> O	SiO <sub>2</sub>	Na <sub>2</sub> O	SiO <sub>2</sub>	
1 : 1*	50,0	50,0	50,8	49,2	—	—	420
1 : 1,4	41,7	58,3	42,5	57,5	42,2***	57,8	440
1 : 1,7**	37,1	62,9	37,9	62,1	37,8	62,1	460
1 : 2*	33,3	66,7	34,1	65,9	33,8	65,8	480
1 : 2,3	30,3	69,7	31,0	69,0	31,0	69,0	490
1 : 2,6	27,8	72,2	28,5	71,5	28,6	71,6	495
1 : 3**	25,0	75,0	25,6	74,4	25,6	74,2	500
1 : 4	20,0	80,0	20,5	79,5	20,5	79,3	510
1 : 6	14,3	85,7	14,7	85,3	15,0***	85,0	540

\* Соответствуют на диаграмме состояния метасиликату и бисиликату натрия.

\*\* Соответствуют на диаграмме состояния эвтектикам.

\*\*\* По разности.

рия и  $\text{SiO}_2$ . При опытах с высококремнеземистыми силикатами, содержащими 75 мол. %  $\text{SiO}_2$  и более, переходящие в раствор количества компонентов были настолько малы, что для анализа приходилось брать большие количества жидкости и одного опыта было недостаточно для получения достаточного количества точек. Поэтому приходилось ставить ряд опытов с отдельными образцами, длительностью 1,4 и 12 час. с отбором проб в промежуточных точках.

Для ряда силикатов натрия изучалось взаимодействие их с водой при 100° путем кипячения соответствующих стекол в серебряном стакане в течение одного часа и последующего анализа жидкости. Перешедшие в раствор количества натрия определялись в опытах с водой — по щелочности раствора титрованием 0,01 N раствором HCl с индикатором нейтральрот, в опытах с кислотами — колориметрическим методом, разработанным для анализа стекол Крупниным [4]. Кремневая кислота в растворе определялась колориметрическим методом по окраске желтого комплекса, образуемого с молибдатом аммония. В настоящем исследовании применялся разработанный одним из нас вариант этого метода, позволяющий определять отдельно в растворе молекулярно-дисперсную кремневую кислоту и полимеризованную [5]. В последнем случае применяется предварительная обработка щелочными растворами. В случае необходимости использовался более чувствительный метод определения кремневой кислоты — путем восстановления кремнемолибденового комплекса раствором соли Мора до молибденовой сини, предложенный Усатенко и Орловой [6]. Найденные в растворе количества щелочи и кремневой кислоты пересчитывались затем на число грамм-молей соответствующих окислов ( $\text{Na}_2\text{O}$  и  $\text{SiO}_2$ ), перешедших в раствор с 1 см<sup>2</sup> поверхности и обозначались в виде  $n_{\text{Na}_2\text{O}}$  и  $n_{\text{SiO}_2}$ . Такое выражение результатов анализа позволяет легко сопоставить количества перешедших в раствор компонентов с их содержанием в исходном стекле и облегчает интерпретацию полученных результатов.

Для характеристики процесса взаимодействия нами применялись также и некоторые другие величины. Если состав стекла выражен в виде  $\text{Na}_2\text{O} \cdot m\text{SiO}_2$ , тогда количество  $\text{SiO}_2$ , находившееся в прореагировавшем слое стекла, составит  $m \cdot n_{\text{Na}_2\text{O}}$ , доля же ее  $\alpha$ , перешедшая из этого слоя в раствор, будет равна  $\frac{n_{\text{SiO}_2}}{m \cdot n_{\text{Na}_2\text{O}}}$ . Таким образом, величина  $\alpha$  выражает долю кремневой кислоты, перешедшей в раствор из вступившего во взаимодействие слоя стекла, и позволяет судить о характере протекающего процесса. При  $\alpha = 1$  происходит переход компонентов в раствор в тех же соотношениях, в каких они находятся в стекле, т. е. происходит растворение. При  $\alpha = 0$ , напротив, происходит выщелачивание стекла, в результате которого на поверхности остается слой, состоящий из кремневой кислоты. Далее, зная количества перешедшей в раствор  $\text{Na}_2\text{O}$ , можно, при некоторых допущениях, подсчитать глубину разрушенного слоя стекла по формуле:

$$\delta_{\text{Na}_2\text{O}} = \frac{n_{\text{Na}_2\text{O}} \cdot M \cdot 100}{ad}, \quad (2)$$

Таблица 2

Взаимодействие стеклообразных силикатов натрия с водой при 25°

Молярное отношение Na <sub>2</sub> O:SiO <sub>2</sub>	Показатели	Время										
		минуты					часы					
		2,5	5	10	15	30	1	2	4	6	8	12
1 : 1	n <sub>Na<sub>2</sub>O</sub> · 10 <sup>-6</sup>	246	590	1250	—*	—**	8000***	—	—	—	—	—
	n <sub>SiO<sub>2</sub></sub> · 10 <sup>-6</sup>	245	590	1260	—	—	8000***	—	—	—	—	—
	α	1,00	1,00	1,01	—	—	1,0	—	—	—	—	—
1 : 1,4	n <sub>Na<sub>2</sub>O</sub> · 10 <sup>-6</sup>	4,1	7,5	13	19	35	79	—	—	—	—	—
	n <sub>SiO<sub>2</sub></sub> · 10 <sup>-6</sup>	2,6	4,4	8,4	14	35	101	—	—	—	—	—
	α	0,45	0,42	0,46	0,53	0,71	0,91	—	—	—	—	—
1 : 1,7	n <sub>Na<sub>2</sub>O</sub> · 10 <sup>-6</sup>				6,0	10	17	28	45	61	—	—
	n <sub>SiO<sub>2</sub></sub> · 10 <sup>-6</sup>				1,8	2,2	3,4	5,3	12	18	—	—
	α				0,18	0,13	0,12	0,11	0,16	0,17	—	—
1 : 2	n <sub>Na<sub>2</sub>O</sub> · 10 <sup>-6</sup>					4,6	7,6	13	20	26	32	43
	n <sub>SiO<sub>2</sub></sub> · 10 <sup>-6</sup>					0,2	0,6	1,2	2,1	2,6	3,0	3,5
	α					0,02	0,04	0,05	0,05	0,05	0,05	0,04

\* Далее нельзя величине поверхности считать равной ее начальному значению.

\*\* Весь образец растворился.

\*\*\* Экстраполяция.

где  $n_{\text{Na}_2\text{O}}$  — количество перешедшей в раствор  $\text{Na}_2\text{O}$  в г-мол/см<sup>2</sup>;  $M$  — молекулярный вес  $\text{Na}_2\text{O}$ ;  $a$  — весовой процент  $\text{Na}_2\text{O}$  в стекле;  $d$  — плотность стекла.\*

Аналогично может быть подсчитана величина  $\delta_{\text{SiO}_2}$ , выражающая уменьшение толщины слоя кремневой кислоты благодаря его растворению. Разность этих величин  $\delta = \delta_{\text{Na}_2\text{O}} - \delta_{\text{SiO}_2}$  выражает толщину слоя кремневой кислоты на поверхности стекла. Этот расчет, конечно, условен, так как он предполагает, что остаточная пленка состоит только из кремневой кислоты и не содержит  $\text{Na}_2\text{O}$ , а также, что границы между неизменным стеклом и пленкой, и между пленкой и раствором параллельны первоначальной поверхности стекла, причем растворение кремневой кислоты происходит только с поверхности пленки. Кроме того, этот расчет не учитывает изменения объема пленки по сравнению с объемом исходного стекла. Однако, несмотря на такую условность, получаемые результаты весьма наглядны для сравнения поведения различных силикатов натрия. Таким образом, пользуясь вышеописанным методом, можно было характеризовать процесс разрушения силикатов натрия по времени.

### Взаимодействие силикатов натрия с водой

Опыты были проведены с 8 силикатами натрия. Результаты взаимодействия этих силикатов с водой при температурах 25, 40 и 100° приводятся в табл. 2, 3 и 4, а также на фиг. 2. В зависимости от состава силиката опыты длились от 10 мин. до 12 час.

Как видно из данных табл. 2 и 3, в случае взаимодействия метасиликата натрия с водой при 25 и 40° компоненты этого стекла переходят в раствор в том же соотношении, в каком они находились в стекле, и таким образом происходит растворение. Величина  $\alpha$  равна единице. Растворение идет весьма интенсивно и в течение 15—20 мин. образец весом около 2 г целиком растворялся, давая прозрачный раствор.

По мере увеличения содержания кремнезема в силикатах натрия наблюдается значительное уменьшение абсолютных количеств компонентов, переходящих в раствор, и отставание перехода  $\text{SiO}_2$  от  $\text{Na}_2\text{O}$ . Вследствие этого уменьшается величина  $\alpha$ , что свидетельствует о наличии остаточного слоя кремнезема на поверхности стекла. Однако для силиката состава  $\text{Na}_2\text{O} \cdot 1,4 \text{ SiO}_2$ , а отчасти и для  $\text{Na}_2\text{O} \cdot 1,7 \text{ SiO}_2$  (при 40°) заметное отставание перехода в раствор  $\text{SiO}_2$  может быть констатировано лишь в первые периоды, в дальнейшем же величина  $\alpha$  становится равной единице или приближается к ней. Это можно объяснить, с одной стороны, тем, что возрастание целостности раствора со временем, вызванное переходом в него  $\text{Na}_2\text{O}$  из стекла, способствует растворению образовавшегося на поверхности слоя кремневой кислоты и приводит к уменьшению его толщины. С другой стороны, уменьшение толщины слоя кремне-



Таблица 3

Взаимодействие стеклообразных силикатов натрия с водой при 40°

Молярное отношение $\text{Na}_2\text{O} : \text{SiO}_2$	Показатели	минуты							Время				
									часы				
		2,5	5	7,5	10	15	30	1	2	4	6	8	12
1 : 1	$n_{\text{Na}_2\text{O}} \cdot 10^{-6}$ $n_{\text{SiO}_2} \cdot 10^{-6}$	458 450	1030 1040	1470 1500	— —	— —	— —	— —	12000*** 12000***	— —	— —	— —	— —
1 : 1,4	$n_{\text{Na}_2\text{O}} \cdot 10^{-6}$ $n_{\text{SiO}_2} \cdot 10^{-6}$	1,0 45 48	1,0 34 46	1,0 — —	72 100	108 152	218 304	1,0 439 605	— — —	— — —	— — —	— — —	— — —
1 : 1,7	$n_{\text{Na}_2\text{O}} \cdot 10^{-6}$ $n_{\text{SiO}_2} \cdot 10^{-6}$	0,86 3,6 1,6	0,97 6,4 2,8	— — —	0,99 8,2 4,6	1,00 14 7,2	1,00 28 15	1,0 51 33	104 140	220 350	342 566	— — —	— — —
1 : 2	$n_{\text{Na}_2\text{O}} \cdot 10^{-6}$ $n_{\text{SiO}_2} \cdot 10^{-6}$	0,26 1,7 0,07	0,26 2,8 0,25	— — —	0,33 4,9 0,66	0,30 6,6 1,2	0,31 11 2,3	0,38 18 3,2	0,79 30 4,2	0,94 47 5,8	0,97 62 9,3	76 13 0,09	101 26 0,13
1 : 2,3	$n_{\text{Na}_2\text{O}} \cdot 10^{-6}$ $n_{\text{SiO}_2} \cdot 10^{-6}$	0,02 —	0,04 —	— —	0,07 —	0,09 —	0,10 5,1	0,09 9,1	0,07 15	0,06 25	0,08 32	0,38 —	51 —
1 : 3	$n_{\text{Na}_2\text{O}} \cdot 10^{-6}$ $n_{\text{SiO}_2} \cdot 10^{-6}$	— —	— —	— —	— —	— —	— —	0,24 0,11 1,6	0,54 0,014 2,5	0,83 0,015 3,6	1,0 0,014 4,7	1,3 0,015 5,5	2,1 0,018 7,2
1 : 4	$n_{\text{Na}_2\text{O}} \cdot 10^{-6}$ $n_{\text{SiO}_2} \cdot 10^{-6}$	— —	— —	— —	— —	— —	— —	0,040 0,008 0,75	0,046 0,006 0,93	0,065 0,006 1,2	0,078 0,006 1,4	0,092 0,006 1,6	0,11 0,005 2,0
1 : 6	$n_{\text{Na}_2\text{O}} \cdot 10^{-6}$ $n_{\text{SiO}_2} \cdot 10^{-6}$	— —	— —	— —	— —	— —	— —	0,016 0,005 0,30	0,017 0,005 0,38	0,022 0,005 0,12	0,030 0,005 0,55	0,038 0,006 0,61	0,040 0,005 0,69
	$n_{\text{Na}_2\text{O}} \cdot 10^{-6}$ $n_{\text{SiO}_2} \cdot 10^{-6}$	— —	— —	— —	— —	— —	— —	0,009 0,005	— —	0,012 0,004	0,011 0,003	0,012 0,003	0,013 0,003

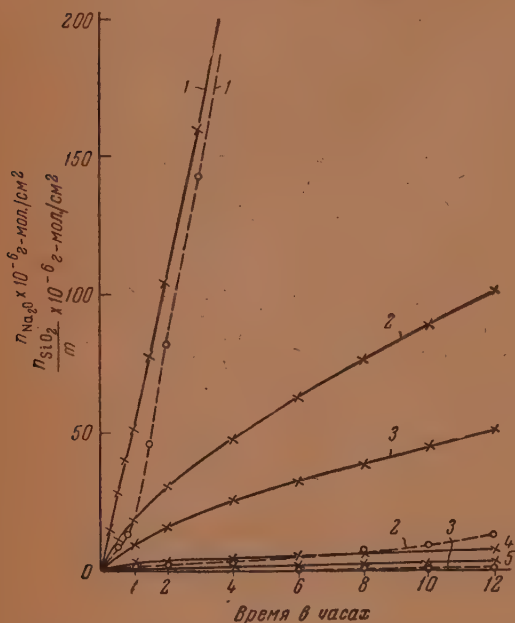
\* Далее нельзя величину поверхности считать равной ее начальному значению.

\*\* Весь образец растворялся.

\*\*\* Экстраполяция.

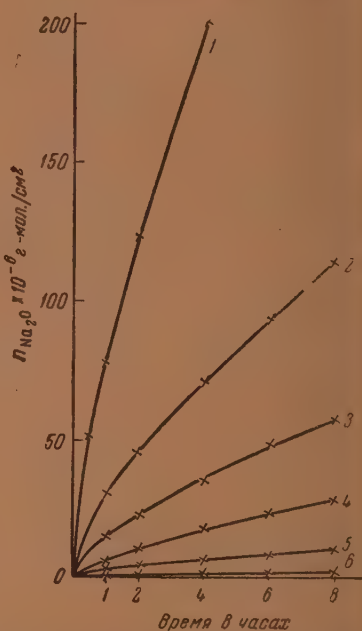
вой кислоты облегчает переход в раствор  $\text{Na}_2\text{O}$  и увеличивает тем самым толщину этого слоя. В результате устанавливается равновесие, при котором толщина пленки увеличивается за счет перехода в раствор  $\text{Na}_2\text{O}$  почти настолько же, насколько она уменьшается за счет растворения кремневой кислоты с поверхности. Происходит как бы растворение стекла, которое протекает таким образом, что на поверхности его все время остается слой кремневой кислоты, вследствие чего величина  $\alpha$  приближается к единице лишь асимптотически.

Опыты с бисиликатом натрия при 25 и 40° показали, что величина  $\alpha$  составляет 0,02—0,13; пленка кремневой кислоты уже более прочна и тормозящее действие, оказываемое ею на переход в раствор  $\text{Na}_2\text{O}$ , проявляется вполне отчетливо. В случае силикатов с большим содержанием кремнезема при 40° в раствор переходит лишь весьма незначительная доля кремневой кислоты ( $\alpha = 0,02—0,003$ ) и основная масса образо-



Фиг. 2. Взаимодействие стеклообразных силикатов натрия с водой при 40°: 1 —  $\text{Na}_2\text{O} \cdot 1,7 \text{SiO}_2$ ; 2 —  $\text{Na}_2\text{O} \cdot 2 \text{SiO}_2$ ; 3 —  $\text{Na}_2\text{O} \cdot 2,3 \text{SiO}_2$ ; 4 —  $\text{Na}_2\text{O} \cdot 3 \text{SiO}_2$ ;

5 —  $\text{Na}_2\text{O} \cdot 4 \text{SiO}_2$ ;  $\times-\times$  —  $n_{\text{Na}_2\text{O}}$ ;  $\circ-\circ$  —  $n_{\text{SiO}_2}$



Фиг. 3. Взаимодействие стеклообразных силикатов натрия с 0,1 N соляной кислотой: 1 —  $\text{Na}_2\text{O} \cdot 1,7 \text{SiO}_2$ ; 2 —  $\text{Na}_2\text{O} \cdot 2 \text{SiO}_2$ ; 3 —  $\text{Na}_2\text{O} \cdot 2,3 \text{SiO}_2$ ; 4 —  $\text{Na}_2\text{O} \cdot 2,6 \text{SiO}_2$ ; 5 —  $\text{Na}_2\text{O} \cdot 3 \text{SiO}_2$ ; 6 —  $\text{Na}_2\text{O} \cdot 4 \text{SiO}_2$

вавшейся кремневой кислоты остается на поверхности. При повышении температуры до 100° количество переходящих в раствор компонентов (особенно  $\text{SiO}_2$ ) значительно

Таблица 4

Взаимодействие стеклообразных силикатов натрия с водой\*

Показатели	$\text{Na}_2\text{O} : \text{SiO}_2$				
	1:2	1:2,3	1:3	1:4	1:5
$n_{\text{Na}_2\text{O}} \cdot 10^{-6}$	3200	990	69	5,8	1,4
$n_{\text{SiO}_2} \cdot 10^{-6}$	6400	2200	102	1,4	0,12
$\alpha$	1,0	0,97	0,49	0,060	0,011

\* Температура опытов 100°, длительность 1 час.

повышается (см. табл. 4), в результате чего величина  $\alpha$  растет, указывая, в случае менее устойчивых силикатов, например  $\text{Na}_2\text{O} \cdot 2\text{SiO}_2$ , на переход от выщелачивания к растворению.

Было установлено, что при взаимодействии силикатов натрия с водой вся переходящая в раствор кремневая кислота находится в молекулярной степени дисперсности и определяется колориметрическим методом без предварительной обработки.

### Взаимодействие силикатов натрия с растворами соляной кислоты

Было изучено взаимодействие 6 силикатов натрия с 0,1 N раствором соляной кислоты при 40°. В целях выяснения влияния концентрации кислоты на разрушаемость силикатов натрия было исследовано воздействие на силикат натрия молекулярного состава  $\text{Na}_2\text{O} \cdot 2,6\text{SiO}_2$  0,01, 0,1 и 1N растворов соляной кислоты. Длительность опытов 8 час. Пробы отбирались через 1, 2, 4, 6 и 8 час. Результаты по взаимодействию исследованных силикатов натрия с растворами кислот приводятся в табл. 5 и на фиг. 3. Как видно из этих данных, переход в раствор  $\text{Na}_2\text{O}$  из силикатов резко падает по мере повышения содержания  $\text{SiO}_2$  в исходном силикате, как и при взаимодействии с водой. Абсолютные значения переходящих в раствор количеств  $\text{Na}_2\text{O}$  выше при взаимодействии с растворами кислот, чем при взаимодействии с водой. Начиная с силиката состава  $\text{Na}_2\text{O} \cdot 4\text{SiO}_2$ , количества переходящих в раствор  $\text{Na}_2\text{O}$  становятся весьма малы, не превышают  $2 \cdot 10^{-6}$  г-мол/см<sup>2</sup> за 8 час. и в случае воды, и в случае кислот. Характерно для воздействия кислот более резкое отставание перехода в раствор кремневой кислоты от перехода  $\text{Na}_2\text{O}$ . Даже для такого неустойчивого силиката, как  $\text{Na}_2\text{O} \cdot 1,7\text{SiO}_2$ , при 4-часовом воздействии кислоты на поверхности остается значительный слой кремневой кислоты и  $\alpha = 0,227$ , в то время как при воздействии воды в этих же условиях  $\alpha$  приближается к единице и вышеуказанный силикат практически растворяется.

Таблица 5

Взаимодействие стеклообразных силикатов натрия с растворами соляной кислоты при 40°

Молярное отношение $\text{Na}_2\text{O} : \text{SiO}_2$	Концентрация кислоты в N	Показатели	Время в часах					
			0,5	1	2	4	6	8
1:1,7	0,1	$n_{\text{Na}_2\text{O}} \cdot 10^{-6}$	51,6	78,1	122,6	200,6	—	—
		$n_{\text{SiO}_2} \cdot 10^{-6}$	0,3	0,7	5,4	77,8	—	—
		$\alpha$	0,003	0,005	0,026	0,227	—	—
1:2,0	0,1	$n_{\text{Na}_2\text{O}} \cdot 10^{-6}$	—	29,9	46,5	71,1	94,2	108,9
		$n_{\text{SiO}_2} \cdot 10^{-6}$	—	0,02	0,03	0,1	0,2	0,3
		$\alpha$	—	0,0003	0,0003	0,0007	0,001	0,001
1:2,3	0,1	$n_{\text{Na}_2\text{O}} \cdot 10^{-6}$	—	14,9	22,4	35,3	48,4	57,2
		$n_{\text{SiO}_2} \cdot 10^{-6}$	—	0	0	0	0	0
		$\alpha$	—	0	0	0	0	0
1:2,6	0,01	$n_{\text{Na}_2\text{O}} \cdot 10^{-6}$	—	5,6	9,6	16,8	22,3	26,5
		$n_{\text{SiO}_2} \cdot 10^{-6}$	—	0	0	0	0	0
		$\alpha$	—	0	0	0	0	0
1:2,6	0,1	$n_{\text{Na}_2\text{O}} \cdot 10^{-6}$	—	6,0	10,2	18,5	22,8	28,2
		$n_{\text{SiO}_2} \cdot 10^{-6}$	—	0	0	0	0	0
		$\alpha$	—	0	0	0	0	0
1:2,6	1	$n_{\text{Na}_2\text{O}} \cdot 10^{-6}$	—	4,5	8,3	16,2	20,9	25,4
		$n_{\text{SiO}_2} \cdot 10^{-6}$	—	0	0	0	0	0
		$\alpha$	—	0	0	0	0	0
1:3,0	0,1	$n_{\text{Na}_2\text{O}} \cdot 10^{-6}$	—	2,7	4,3	5,7	8,1	10,0
		$n_{\text{SiO}_2} \cdot 10^{-6}$	—	0	0	0	0	0
		$\alpha$	—	0	0	0	0	0
1:4,0	0,1	$n_{\text{Na}_2\text{O}} \cdot 10^{-6}$	—	0,7	1,0	1,2	1,5	1,7
		$n_{\text{SiO}_2} \cdot 10^{-6}$	—	0	0	0	0	0
		$\alpha$	—	0	0	0	0	0



При воздействии растворов соляной кислоты на силикат  $\text{Na}_2\text{O} \cdot 2,3\text{SiO}_2$  и на более высококремнеземистые силикаты кремневая кислота в растворе вовсе не была обнаружена. В то же время, при взаимодействии с водой кремневая кислота была найдена в растворе даже для силиката  $\text{Na}_2\text{O} \cdot 6\text{SiO}_2$ .

Как видно из табл. 5, изменение концентрации соляной кислоты от 0,01 до 1 N практически не влияет на количества переходящих в раствор  $\text{Na}_2\text{O}$  из силиката состава  $\text{Na}_2\text{O} \cdot 2,6\text{SiO}_2$ .

### Обеуждение результатов

Зависимость количеств перешедших в раствор компонентов от содержания кремнезема в силикатах натрия при взаимодействии с водой и растворами соляной кислоты приводится на фиг. 4 и 5. Как видно из этих фигур, в случае воды характер зависимости выражается сходными плавными кривыми.

При воздействии растворов соляной кислоты при 40° зависимость между логарифмом количества перешедшей в раствор  $\text{Na}_2\text{O}$  и молярным содержанием в стеклах  $\text{SiO}_2$  близка к линейной (фиг. 5). Как в случае воды, так и в случае кислот на кривых не было обнаружено заметных отклонений для составов, соответствующих инвариантным точкам на диаграмме состояния системы  $\text{Na}_2\text{O} - \text{SiO}_2$ . Из приведенных данных видно, что особенно сильно сказывается влияние увеличения содержания кремнезема на уменьшение выщелачиваемости натриево-силикатных стекол на мало устойчивых силикатах. Дальнейшее увеличение содержания кремнезема оказывает не столь сильное влияние. Найденные некоторыми исследователями [7], изучавшими устойчивость в воде натриево- и калиево-силикатных стекол линейная логарифмическая зависимость между количеством перешедшей в раствор щелочи и количеством молей  $\text{SiO}_2$  в составе стекол и отклонения у точки, соответствующей бисиликату, в наших опытах не подтвердились.

Процесс взаимодействия стеклообразных силикатов натрия с водными растворами весьма сложен и зависит от ряда факторов. Основными из них, определяющими скорость разрушения силикатов натрия, являются: состояние кремнезема в исходном стекле, концентрация водородных ионов в воздействующем растворе, толщина и структура защитного поверхностного слоя. Последняя, повидимому, в значительной степени определяется состоянием кремнезема в исходном стекле.

Как видно из приведенных данных, в силикатах натрия, характеризующихся относительно высоким содержанием кремнезема и, следовательно, относительно большим количеством непосредственно связанных друг с другом кремнекислородных тетраэдров, происходит преимущественно процесс выщелачивания окиси натрия при взаимодействии с водой. Образовавшийся вследствие обмена ионов натрия на ионы водорода щелочной раствор не в состоянии сильно разрушить прочный каркас, следовательно чего являются незначительные количества в растворе  $\text{SiO}_2$ .

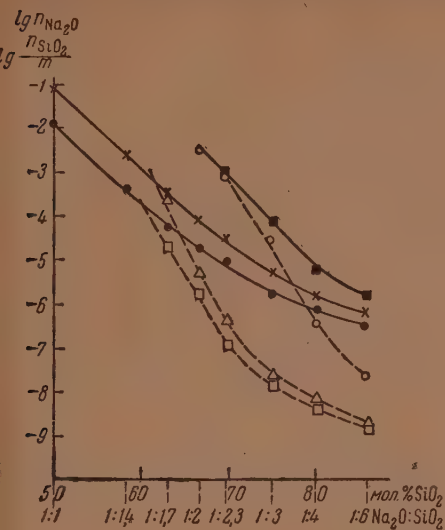
В случае таких силикатов, как  $\text{Na}_2\text{O} \cdot 1,4\text{SiO}_2$ ,  $\text{Na}_2\text{O} \cdot 1,7\text{SiO}_2$ , а при повышении температуры и  $\text{Na}_2\text{O} \cdot 2\text{SiO}_2$ , обладающих относительно слабо полимеризованным каркасом, образование щелочи в растворе приводит к переходу в него  $\text{SiO}_2$  из поверхностного защитного слоя в молекулярной степени дисперсности и в конечном счете происходит как бы растворение стекла.

Большое влияние на вторичный процесс растворения кремневой кислоты с поверхности оказывает изменение температуры. На фиг. 6 приводятся зависимости доли кремневой кислоты  $\alpha$ , перешедшей в раствор при взаимодействии стеклообразных силикатов натрия с водой в течение 1 часа, от состава и температуры. Как видно из фиг. 4 и 6 с повышением температуры значительно увеличиваются количества перешедших в раствор компонентов, при этом граница области растворимых силикатов сдвигается в сторону большего содержания кремнезема в исходном стекле.

Влияние концентрации водородных ионов на переход ионов натрия из стекла в результате обмена видно из сопоставления наших данных по выщелачиванию водой и растворами кислот. В последнем случае значительно большие количества  $\text{Na}_2\text{O}$  переходят в раствор с поверхности исследованных силикатов, что связано с резким повышением концентрации водородных ионов при переходе от воды к растворам кислот. При изменении концентрации воздействующей кислоты в пределах от 0,01 до 1 N не происходит столь резкого изменения концентрации водородных ионов, поэтому существенной разницы в выщелачивании силиката  $\text{Na}_2\text{O} \cdot 2,6\text{SiO}_2$  при обработке этими кислотами не наблюдалось. Как указывалось выше, в случае воздействия растворов кислот на исследованные силикаты имеет место процесс выщелачивания. Переходящая в раствор щелочь, вследствие большого избытка применяемых в опытах растворов кислоты, мало меняет концентрацию водородных ионов в них. Растворы с высокой концентрацией водородных ионов, способствуя полимеризации кремневой кислоты, слабо действуют на защитный поверхностный слой, вследствие чего при воздействии кислот в растворе не обнаруживается кремневой кислоты даже в случае силикатов с не особенно высоким содержанием кремнезема.

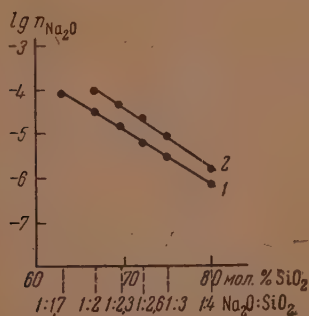
Толщина остаточного слоя кремневой кислоты на поверхности силикатов натрия меняется со временем весьма различно в зависимости от исходного состава и от воздействующего реагента, что иллюстрируется кривыми фиг. 7. Эти кривые рассчитаны из данных табл. 4 и 5 по приведенной выше формуле.

В случае состава  $\text{Na}_2\text{O} \cdot 1,7\text{SiO}_2$  толщина остаточного слоя вначале быстро растет, однако в дальнейшем в результате растворения кремневой кислоты начинает уменьшаться. Таким образом, пленка кремневой кислоты в этом случае непрочна и не в состоянии защитить силикат от взаимодействия с раствором. Указанная кривая также

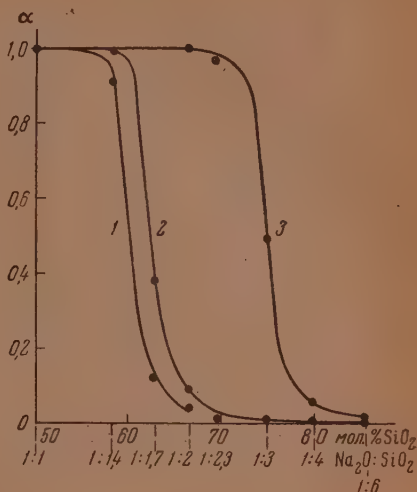


Фиг. 4. Зависимость количества компонентов, перешедших в раствор при взаимодействии с водой стеклообразных силикатов натрия от состава:

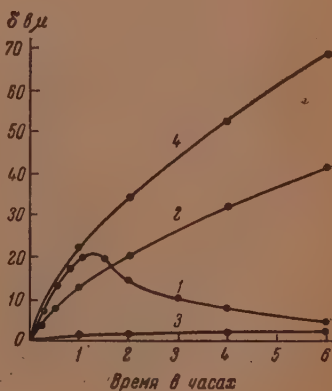
—•—  $\lg n_{\text{Na}_2\text{O}}$ , 40°, 1 час.; —x—  $\lg n_{\text{Na}_2\text{O}}$ , 40°, 6 час.; —■—  $\lg n_{\text{Na}_2\text{O}}$ , 100°, 1 час.; —□—  $\lg \frac{n_{\text{SiO}_2}}{m}$ , 40°, 1 час.; —△—  $\lg \frac{n_{\text{SiO}_2}}{m}$ , 40°, 6 час.; —○—  $\lg \frac{n_{\text{SiO}_2}}{m}$ , 100°, 1 час.



Фиг. 5. Зависимость количества  $\text{Na}_2\text{O}$ , перешедшей в раствор при взаимодействии силикатов натрия с 0,1 N соляной кислотой от состава: 1 — 1 час.; 2 — 6 час.



Фиг. 6. Зависимость доли кремневой кислоты  $\alpha$ , перешедшей в раствор за 1 час взаимодействия с водой стеклообразных силикатов натрия от состава и температуры: 1 — 25°; 2 — 40°; 3 — 100°



Фиг. 7. Зависимость толщины остаточного слоя кремневой кислоты для некоторых силикатов натрия от времени при 40°: 1 —  $\text{Na}_2\text{O} \cdot 1,7\text{SiO}_2$  в воде; 2 —  $\text{Na}_2\text{O} \cdot 2\text{SiO}_2$  в воде; 3 —  $\text{Na}_2\text{O} \cdot 4\text{SiO}_2$  в воде; 4 —  $\text{Na}_2\text{O} \cdot 2\text{SiO}_2$  в 0,1 N HCl

наглядно иллюстрирует то, что первичным процессом взаимодействия является переход в раствор  $\text{Na}_2\text{O}$  (точнее, обмен ионов натрия стекла на ионы водорода раствора). Растворение же остаточной пленки кремневой кислоты определяется в основном щелочностью раствора и значительно отстает по времени от момента ее образования, что свидетельствует о вторичном характере этого процесса.

В опытах с бисиликатом натрия при  $40^\circ$  наблюдается непрерывный рост толщины пленки. Однако и эта пленка является, повидимому, недостаточно плотной и количества переходящей в раствор  $\text{Na}_2\text{O}$  сравнительно еще очень велики. С увеличением содержания кремнезема в стекле толщина остаточного слоя кремневой кислоты уменьшается, а ее относительное возрастание в ходе опыта становится менее значительным, как это видно на примере стекла  $\text{Na}_2\text{O} \cdot 4\text{SiO}_2$ . Так как при взаимодействии с водными растворами силикатов натрия с повышенным содержанием кремнезема процесс состоит в основном из выщелачивания из поверхности  $\text{Na}_2\text{O}$ , то толщина остаточного слоя кремневой кислоты в этих случаях практически становится равной толщине вступающего во взаимодействие слоя стекла.

Толщина остаточного слоя кремнезема на поверхности силикатов натрия больше при воздействии растворов кислот, нежели в случае взаимодействия с водой. Однако защитное действие этого слоя зависит не только от толщины его, а и от структуры, которая, вероятно, определяется состоянием кремнезема в исходном силикате. Увеличение содержания кремнезема в силикатах натрия, повидимому, приводит к упрочению связей натрия — кислород, т. е. к уменьшению активности ионов натрия в стекле, что затрудняет их переход в раствор из стекла.

### ВЫВОДЫ

1. Изучено взаимодействие с водой и растворами соляной кислоты стеклообразных силикатов натрия, по составу, соответствующих инвариантным точкам на диаграмме состояния системы  $\text{Na}_2\text{O} - \text{SiO}_2$  и промежуточным точкам, а также силикатов натрия с повышенным содержанием кремнезема.

2. Процесс взаимодействия силикатов натрия с водой распадается на 2 стадии: обмен ионов натрия стекла на ионы водорода раствора, в результате чего на поверхности образуется остаточный слой кремневой кислоты, составляющий вместе с кремнеземом исходного стекла защитный слой на его поверхности, и взаимодействие защитного слоя с образовавшимся щелочным раствором, вызывающее растворение кремневой кислоты с поверхности.

3. Для силикатов натрия с низким содержанием кремнезема между первичной и вторичной реакциями равновесие со временем устанавливается таким образом, что в результате происходит как бы растворение стекла. Для высококремнеземистых силикатов натрия основным процессом является выщелачивание  $\text{Na}_2\text{O}$  из стекла.

4. При взаимодействии силикатов натрия с растворами соляной кислоты происходит более резкое отставание перехода в раствор  $\text{SiO}_2$  от  $\text{Na}_2\text{O}$ , чем в случае воды. Для стекол с более высоким содержанием кремнезема, нежели в бисиликате,  $\text{SiO}_2$  в растворе вовсе не был обнаружен.

5. Зависимость логарифма количеств перешедших в раствор компонентов от молекулярного процента кремнезема в стекле во всем изученном интервале составов выражается плавными кривыми или прямыми (в случае воздействия кислоты) без существенных отклонений для составов, соответствующих инвариантным точкам на диаграмме состояния  $\text{Na}_2\text{O} - \text{SiO}_2$ .

6. С повышением температуры значительно увеличиваются количества переходящих в раствор компонентов, при этом граница области растворимых силикатов сдвигается в сторону большего содержания кремнезема в исходном стекле.

Институт химии силикатов  
Академии наук СССР

Поступило  
27. IX. 1952

### ЛИТЕРАТУРА

1. Б. П. Никольский, Ж. физ. хим. 10, № 3, 495 (1937).
2. И. В. Гребенщиков, А. Г. Власов, Е. С. Непорент, И. В. Суйковская, Просветление оптики, ОГИЗ, Гостехиздат, 1946.
3. V. Dimbleby and A. Turner, J. Soc. Gl. Techn. 10, 304 (1926).
4. А. И. Крупкин, Зав. лаб., № 1, 31 (1950).
5. М. М. Пирютко и Ю. А. Шмидт, Изв. АН СССР, ОХН, № 4, 607 (1953).
6. Ю. И. Усатенко и Н. Я. Орлова, Зав. лаб. 15, № 11, 1365 (1949).
7. Tago Moriga, J. Japan Ceram. Assoc. 52, (618), 227 (1944); J. Am. Ceram. Soc. 33, № 8, 121 (1950).



М. М. ПИРЮТКО и Ю. А. ШМИДТ

## СОСТОЯНИЕ КРЕМНЕВОЙ КИСЛОТЫ В РАСТВОРЕ И МЕТОДЫ ЕЕ КОЛОРИМЕТРИЧЕСКОГО ОПРЕДЕЛЕНИЯ

Колориметрическое определение кремния, основанное на образовании желтого кремнемолибденового комплекса  $H_8[Si(Mo_2O_7)_6]$ , получило за последнее время широкое распространение [1, 2]. Однако, несмотря на большое число исследований, относящихся к методике определения кремневой кислоты, вопрос о влиянии формы, в которой кремневая кислота находится в растворе, на результаты ее определения колориметрическим методом остается пока недостаточно изученным.

Кремневая кислота может существовать в растворе как в виде сравнительно простых ионов или молекул, так и в виде более сложных полимерных частиц коллоидной степени дисперсности. В зависимости от условий равновесие между этими формами может быть смещено в ту или иную сторону. В литературе имеются указания, что колориметрическое определение кремневой кислоты с молибдатом аммония возможно только в первом случае; коллоидная же кремневая кислота не может быть определена полностью при применении обычной методики. Несмотря на то что это обстоятельство может играть существенную роль при колориметрическом определении кремневой кислоты, оно не всегда учитывается.

Настоящая работа была предпринята в связи с ведущимися в институте исследованиями, которые потребовали определения малых количеств кремневой кислоты в растворах различного состава и различной кислотности. Для решения этой задачи мы считали необходимым изучить условия перехода кремневой кислоты в «колориметрически не определяемую» форму и проверить описанные в литературе методы, позволяющие определять общее количество присутствующей в растворе кремневой кислоты, независимо от ее состояния.

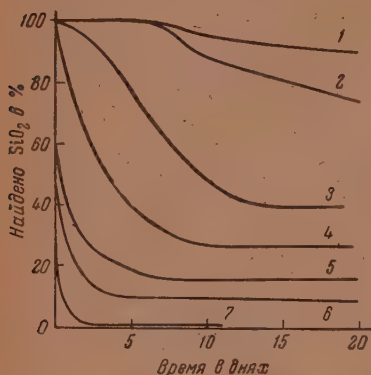
### ЭКСПЕРИМЕНТАЛЬНАЯ ЧАСТЬ

Для определения содержания кремневой кислоты в растворе нами применялась следующая методика. Заданный объем исследуемого раствора помещался в мерную колбу на 25 мл, подкислялся нужным количеством 2 N соляной кислоты с таким расчетом, чтобы окончательная ее концентрация была приблизительно 0,1 N, затем добавлялся 1 мл 5%-ного раствора молибдата аммония; раствор доводился до метки и через 20 мин. колориметрировался. Работа велась на фотоэлектроколориметре ФЭК-М. Точность методики составляла  $\pm 2\%$ .

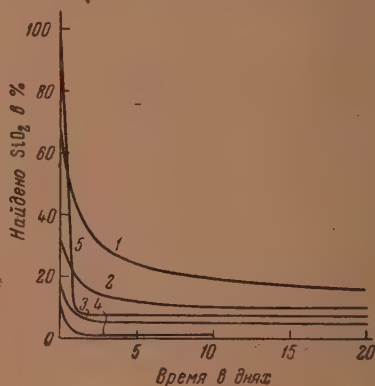
Опыты, имевшие целью выяснить влияние степени полимеризации кремневой кислоты на результаты колориметрического определения, производились следующим образом. Заданные объемы стандартного раствора кремнекислого натрия, приготовленного путем растворения в воде сплавленной с содой навески кремнезема, подкислялись определенным количеством соляной кислоты. Таким образом были получены растворы с заданными концентрациями кремневой и соляной кислот. Концентрация кремневой кислоты выражалась нами в виде содержания

$\text{SiO}_2$  в г/мл и варьировалась в пределах от  $1 \cdot 10^{-4}$  до  $1 \cdot 10^{-2}$  г/мл  $\text{SiO}_2$ . Концентрация соляной кислоты изменялась в пределах от 0,1 до 5 N. Растворы хранились в парафинированных колбах. Через определенные промежутки времени отбирались пробы растворов и разбавлялись до удобных для колориметрирования концентраций.

Опыт показал, что при концентрации  $\text{SiO}_2$   $1 \cdot 10^{-4}$  г/мл и менее при любой кислотности раствора не наблюдается перехода кремневой кислоты в «колориметрически не определяемую» форму, т. е. полимеризация кремневой кислоты практически не имеет места. При большей концентрации кремневой кислоты количество ее, найденное в растворе, как правило, меньше истинного ее содержания. Для растворов, содержащих  $3-5 \cdot 10^{-4}$  г/мл  $\text{SiO}_2$  при небольших концентрациях соляной кислоты (0,1—



Фиг. 1. Количества кремневой кислоты, найденные при колориметрическом определении ее из кислых растворов, в процентах от истинной концентрации, равной  $5 \cdot 10^{-4}$  г/мл  $\text{SiO}_2$ . Концентрации соляной кислоты: 1—0,1 N; 2—0,2 N; 3—0,5 N; 4—1 N; 5—2 N; 6—3 N и 7—5 N.



Фиг. 2. Количества кремневой кислоты, найденные при колориметрическом определении ее из кислых растворов в процентах от истинной концентрации, равной  $2 \cdot 10^{-3}$  г/мл  $\text{SiO}_2$ . Концентрации соляной кислоты: 1—0,1 N; 2—0,5 N; 3—2 N; 4—5 N; 5—нейтральный раствор.

0,2 N), происходит постепенное уменьшение количеств кремневой кислоты, найденных в растворе колориметрическим методом. С повышением концентрации соляной кислоты до 0,5 N и выше скорость перехода кремневой кислоты в колориметрически не определяемую форму увеличивается. При этом значительное уменьшение найденных количеств кремневой кислоты наблюдается в течение первых дней, в дальнейшем же эти количества для каждой данной кислотности становятся практически постоянными (фиг. 1).

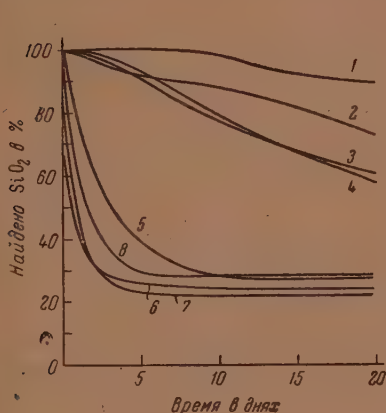
Опыты при концентрациях  $1 \cdot 10^{-3}$ — $1 \cdot 10^{-2}$  г/мл  $\text{SiO}_2$  показали, что увеличение концентрации кремневой кислоты ускоряет переход ее в колориметрически не определяемую форму, в связи с чем он резко проявляется даже при небольшой кислотности. На фиг. 2 изображены кривые, характерные для этого интервала концентраций кремневой кислоты.

Опыты с раствором, доведенным, по возможности, точно до нейтральной реакции, показали, что его поведение отличается от поведения других растворов; уже через сутки после приготовления из раствора выпали хлопья. Колориметрическое определение обнаружило в растворе лишь 7% кремневой кислоты от исходного количества.

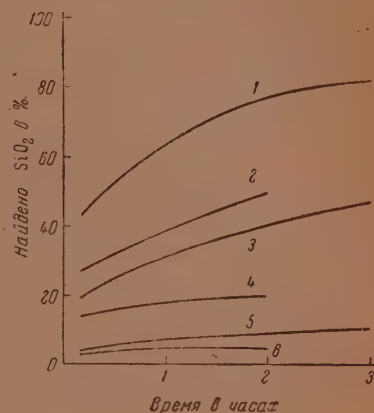
Для исследования влияния хлоридов натрия, кальция и алюминия на скорость перехода кремневой кислоты в колориметрически не определяемую форму было приготовлено четыре серии растворов. Во всех

растворах концентрация кремневой кислоты составляла  $5 \cdot 10^{-4}$  г/мл, кислотность растворов — 0,1, 0,5 и 1 N. Кроме того, растворы второй серии содержали  $4 \cdot 10^{-2}$  г/мл NaCl, третьей серии  $4 \cdot 10^{-2}$  г/мл  $\text{CaCl}_2$  и четвертой серии  $3,8 \cdot 10^{-2}$  г/мл  $\text{AlCl}_3$ .

Результаты этих опытов, приведенные на фиг. 3, показывают, что при небольших кислотностях раствора присутствие солей ускоряет переход кремневой кислоты в колориметрически не определяемую форму и увеличивает долю ее, находящуюся в неопределяемом состоянии. При увеличении кислотности (до 1 N) влияние солей сказывается только в некотором ускорении процесса полимеризации, но почти не изменяет состояния равновесия.



Фиг. 3. Влияние солей на количества кремневой кислоты, найденные при колориметрическом определении ее из кислых растворов. Истинная концентрация  $5 \cdot 10^{-4}$  г/мл  $\text{SiO}_2$ ; 1 — 0,1 N HCl; 2 — 0,1 N HCl +  $3,8 \cdot 10^{-2}$  г/мл  $\text{AlCl}_3$ ; 3 — 0,1 N HCl +  $4 \cdot 10^{-2}$  г/мл  $\text{CaCl}_2$ ; 4 — 0,1 N HCl +  $4 \cdot 10^{-2}$  г/мл NaCl; 5 — 1 N HCl; 6 — 1 N HCl +  $3,8 \cdot 10^{-2}$  г/мл  $\text{AlCl}_3$ ; 7 — 1 N HCl +  $4 \cdot 10^{-2}$  г/мл  $\text{CaCl}_2$ ; 8 — 1 N HCl +  $4 \cdot 10^{-2}$  г/мл NaCl



Фиг. 4. Рост интенсивности окраски во времени после прибавления реактивов. Истинная концентрация  $2 \cdot 10^{-3}$  г/мл  $\text{SiO}_2$ ; 1 — 0,1 N HCl через сутки; 2 — 0,1 N HCl через 4 дня; 3 — 0,5 N HCl через сутки; 4 — 0,5 N HCl через 4 дня; 5 — 3 N HCl через сутки; 6 — 3 N HCl через 4 дня

Таким образом, мы видим, что при каждой кислотности раствора в нем через некоторое время устанавливается равновесие между определяемой и колориметрически не определяемой формами кремневой кислоты, далее практически не изменяющееся. Концентрации кремневой кислоты, остающейся в определяемой форме, при установившемся равновесии зависят, как показывают приведенные в табл. 1 данные, от кислотности раствора и не зависят от исходной концентрации кремневой кислоты.

При колориметрировании растворов кремневой кислоты, не подвергавшихся старению в кислой среде, интенсивность окраски раствора, достигнув через 15—20 мин. после добавления реактивов максимального значения, остается в течение определенного времени постоянной. Однако при определении кремневой кислоты из «состарившихся» кислых растворов нами замечено, что интенсивность окраски колориметрируемого раствора после добавления реактивов непрерывно возрастает.

Для исследования этого явления были поставлены специальные опыты, результаты которых приведены на фиг. 4. По мере старения растворов увеличение интенсивности окраски становится менее заметным. Увели-



Таблица 1

Равновесные концентрации колориметрически определяемой кремневой кислоты в кислых растворах

Концентрация SiO <sub>2</sub> в г/мл	3·10 <sup>-4</sup>		5·10 <sup>-4</sup>		1·10 <sup>-3</sup>		2·10 <sup>-3</sup>	
	Найдено SiO <sub>2</sub>							
Кислотность раствора в N	в %	в г/мл·10 <sup>-4</sup>	в %	в г/мл·10 <sup>-4</sup>	в %	в г/мл·10 <sup>-4</sup>	в %	г/мл·10 <sup>-4</sup>
0,1	—	—	87	4,4*	—	—	16	3,2
0,2	—	—	74	3,7*	—	—	14	2,8
0,5	—	—	39	1,95	20	2,03	10	2,00
1,0	~50	~1,5	27	1,35	14	1,38	7	1,40
2,0	28	0,83	17	0,85	8	0,77	4	0,80
3,0	—	—	9	0,45	—	—	2	0,40

\* Равновесие не было достигнуто.

чение кислотности раствора также уменьшает скорость возрастания интенсивности окраски со временем. Так же действует уменьшение начальной концентрации кремневой кислоты.

Разбавление раствора и выдерживание его в течение нескольких часов до добавления реактивов приводит к небольшому увеличению интенсивности окраски по сравнению с растворами, к которым реактивы добавлялись сразу после разбавления. С увеличением кислотности, а также по мере старения растворов этот эффект увеличения интенсивности значительно уменьшается. Так как интенсивность окраски при колориметрировании «состарившихся» кислых растворов со временем непрерывно увеличивается, сопоставление проделанных опытов производилось во всех случаях на основании результатов, полученных через 20 мин. после прибавления реактивов.

Результаты приведенных опытов показывают, что в кислых растворах кремневой кислоты происходит ее полимеризация, т. е. переход из молекулярно-дисперсной в коллоидно-дисперсную форму, чем и объясняется уменьшение количеств кремневой кислоты, найденных в растворе колориметрическим методом. Равновесие между молекулярно-дисперсной и колориметрически не определяемой коллоидно-дисперсной формами кремневой кислоты подвижно и стремится к пределу, определяемому главным образом кислотностью среды. Введение в раствор молибдата аммония приводит к связыванию молекулярно-дисперсной кремневой кислоты в кремнемолибденовый комплекс; вследствие этого равновесие может сместиться в сторону перехода части коллоидной кремневой кислоты в колориметрически определяемую форму. Так как количество кремневой кислоты, находящейся в коллоидной форме, относительно велико, то переход небольшой ее части в колориметрируемую форму вызывает значительное увеличение интенсивности окраски, хотя найденные при этом количества все же остаются значительно ниже действительного содержания кремневой кислоты.

С ростом концентрации кремневой кислоты количество ее, находящееся в коллоидной форме, возрастает, что благоприятствует возрастанию интенсивности окраски в ходе определения. Напротив, увеличение кислотности и старение раствора приводят, вероятно, к образованию более крупных и труднее распадающихся комплексов, в результате чего уменьшается скорость нарастания интенсивности окраски со временем. Конечно, колориметрическое определение не позволяет строго количественно харак-

теризовать соотношение между молекулярно-дисперсной и коллоидно-дисперсной формами кремневой кислоты, так как само оно несколько смещает равновесие между ними. К тому же, между этими двумя крайними состояниями в растворе существует непрерывный ряд промежуточных состояний. На основании колориметрического определения нельзя также делать количественных заключений относительно степени полимеризации кремневой кислоты, находящейся в коллоидно-дисперсном состоянии.

Тем не менее, сопоставления, основанные на результатах колориметрических определений, позволяют сделать ряд выводов относительно старения кислых растворов кремневой кислоты и влияния на это старение ряда факторов. Следует также отметить, что сделанные нами выводы хорошо согласуются с результатами электрономикроскопического исследования  $\text{SiO}_2$ -золей, проведенного Берестневой и Каргиным [4].

Таким образом, непосредственное колориметрическое определение кремневой кислоты не всегда дает истинное ее количество. Для определения в растворе всей кремневой кислоты, независимо от того, в каком состоянии она находится, необходима дополнительная обработка раствора. В литературе описаны методы, основанные на нагревании растворов с добавлением  $\text{NaHCO}_3$  [1] или фтористого натрия [5]. В нашей работе растворы нагревались после добавления соды или щелочи. Первый способ имеет то преимущество, что получить соду, содержащую достаточно малые количества кремневой кислоты, значительно легче. Однако выделение  $\text{CO}_2$  при подщелачивании раствора содой (а тем более  $\text{NaHCO}_3$ ) и обратном его подкислении перед определением затрудняет ряд операций. Обработка раствора щелочью свободна от этого недостатка.

Методика определения кремневой кислоты в том случае, когда часть ее присутствует в колориметрически не определяемой форме, такова: исследуемый раствор в платиновом тигле нейтрализуется раствором соды или щелочи, после чего добавляется избыток, достаточный для получения 0,1—0,2 *N* концентрации. Если раствор содержит большое количество хлористого натрия (~8%), количество вводимой соды или щелочи должно быть увеличено до получения 0,5—0,8 *N* концентрации. Пипетка, которой отмеривалась сода или щелочь, немедленно тщательно промывается дистиллированной водой, в противном случае при последующих определениях будут получены завышенные результаты. Раствор нагревается 8—10 мин. на водяной бане и после охлаждения подкисляется в тигле с таким расчетом, чтобы окончательная кислотность была приблизительно децинормальной. После подкисления раствор переносится в мерную колбу, которая после добавления реактива доводится до метки. Холостая проба не требует нагревания и готовится путем введения в мерную колбу сначала нужного количества кислоты, затем того же количества соды или щелочи, какое было добавлено к исследуемому раствору, и молибдата аммония. Растворы соды или щелочи должны быть проверены на содержание кремневой кислоты и должны храниться в парафинированной колбе. Вместо платиновых тиглей можно употреблять серебряные, но перед определением их следует прокипятить с водой для удаления образующихся на поверхности следов окиси серебра.

Проверка методики на чистых растворах кремневой кислоты показала, что можно вполне удовлетворительно определять кремневую кислоту, независимо от того, в какой форме она находится. В случае раствора, содержавшего  $1 \cdot 10^{-2}$  г/мл  $\text{SiO}_2$  в 1 *N*  $\text{HCl}$ , мы могли наблюдать, что даже тогда, когда раствор в результате старения приобрел сильную опалесценцию, колориметрическое определение после обработки содой дало правильные результаты. В качестве иллюстрации мы приводим определения кремневой кислоты в ходе старения одного из растворов (табл. 2). Совпадение полученных результатов с начальной концентрацией удовлетворительное, хотя непосредственное определение дает сильно заниженные значения.

Аналогичные результаты были получены нами также и при всех других концентрациях кремневой и соляной кислот. Точность методики составила приблизительно  $\pm 3\%$ .

Значительно сложнее обстоит дело в том случае, когда в растворе, кроме кремневой кислоты, присутствуют другие элементы. Способ перевода кремневой кислоты в колориметрически определяемую форму в этом случае должен выбираться с учетом поведения отдельных элементов в процессе обработки раствора. Так, в присутствии алюминия обработка раствора содой не дает правильных результатов, так как выпадающий при этом гидрат окиси алюминия препятствует полному переходу кремневой

Таблица 2

Определение истинного содержания кремневой кислоты в «состарившемся» кислом растворе путем добавления соды и нагревания

Концентрация  $\text{SiO}_2$   $1 \cdot 10^{-3}$  в г/мл; кислотность — 1 N HCl

Время в днях	Найдено $\text{SiO}_2$ в г/мл $\cdot 10^{-3}$	
	прямое определение	после добавления соды
1	0,240	1,03 0,97
2	0,190	1,00 1,01
5	0,185	1,02 0,98
10	0,158	1,01 1,03
15	0,142	0,99 0,99
24	0,138	1,00 1,03
30	0,138	1,01 0,99

Таблица 3

Определение истинного содержания кремневой кислоты в «состарившемся» в присутствии алюминия кислом растворе путем добавления щелочи и нагревания

Концентрация  $\text{SiO}_2$   $1 \cdot 10^{-3}$  г/мл; концентрация  $\text{Al}_2\text{O}_3$   $5 \cdot 10^{-3}$  г/мл; кислотность — 1 N HCl

Время в днях	Найдено $\text{SiO}_2$ в г/мл $\cdot 10^{-3}$	
	прямое определение	после добавления щелочи
1	0,26	1,05 1,05
3	0,20	1,02
7		0,98
10	0,18	1,00
15	0,16	1,01 0,99
	0,16	1,00 1,00

кислоты в колориметрируемую форму, увлекая часть ее в осадок. В то же время добавление щелочи в количестве, достаточном для полного растворения гидрата окиси алюминия, позволяет получить вполне удовлетворительные результаты. Некоторые из полученных нами в этом случае данных приведены в табл. 3.

Обработка раствора щелочью также не всегда может дать благоприятные результаты, она не применима, когда в растворе содержатся ионы, осаждаемые щелочью (железо, титан, марганец и т. д.). Поэтому были предприняты опыты по переводу кремневой кислоты в колориметрируемую форму также и при помощи фтористого натрия, который, реагируя в кислой среде с полимеризованными молекулами  $\text{SiO}_2$ , образует кремнефтористоводородную кислоту, способную вступать во взаимодействие с молибдатом аммония. Избыток ионов фтора, мешающий определению кремневой кислоты, должен быть связан прибавлением борной кислоты или ионов алюминия.

Опыты проводились следующим образом: раствор, содержащий кремневую кислоту в колориметрически не определяемой форме объемом  $\sim 12$  мл, помещался в парафинированный стаканчик, после чего к нему добавлялось 1,2 мл 2 N HCl и 1,5 мл 2,5%-ного раствора фтористого натрия. Через 10 мин. для связывания избытка ионов фтора добавлялось



Таблица 4

Определение истинного содержания кремневой кислоты в «состарившихся» в присутствии кальция, алюминия или железа кислых растворах путем добавления фтористого натрия

Концентрация  $\text{SiO}_2$   $5 \cdot 10^{-4}$  г/мл; кислотность — 1 N HCl

Концентрация мешающих веществ	Время в днях	Найдено $\text{SiO}_2$ в г/мл $\cdot 10^{-4}$	
		до обработки NaF	после добавления NaF
0	4	2,50	5,05
	7	1,75	4,95
	9	1,60	5,00
$1 \cdot 10^{-2}$ г/мл $\text{CaCl}_2$	4	2,20	4,90
	7	1,70	4,90
	9	1,50	4,95
$2 \cdot 10^{-3}$ г/мл $\text{Al}_2\text{O}_3$	4	2,20	5,00
	7	1,65	4,90
	9	1,40	4,85
$2 \cdot 10^{-3}$ г/мл $\text{Fe}_2\text{O}_3$	4	2,40	5,00
	7	1,75	5,10
	9	1,75	4,90

2,5 мл раствора, содержавшего  $3 \cdot 10^{-3}$  г/мл  $\text{AlCl}_3$ , 2 мл 5%-ного молибдата аммония; раствор переносился в мерную колбу на 25 мл, доводился до метки и затем колориметрировался. В отличие от описанной в литературе [5] методики все операции производились нами при комнатной температуре. Приведенные в табл. 4 результаты показывают, что такая обработка позволяет определять кремневую кислоту в кислых растворах при наличии в них солей кальция, алюминия и железа.

### ВЫВОДЫ

1. В кислых растворах происходит полимеризация кремневой кислоты, которая приводит к уменьшению ее количества, определяемых колориметрическим методом. Равновесие между молекулярно-дисперсной и колориметрически не определяемой формами кремневой кислоты устанавливается в соответствии с кислотностью среды. Присутствие в растворе хлористых солей натрия, кальция или алюминия ускоряет достижение равновесия, но почти не влияет на его положение.

2. При колориметрировании растворов, содержащих кремневую кислоту частично в неопределяемой форме, наблюдается непрерывное возрастание интенсивности их окраски со временем. Это объясняется тем, что добавление молибдата аммония способствует частичному смещению равновесия в сторону молекулярно-дисперсной формы.

3. Определение кремневой кислоты в тех случаях, когда она находится в растворе в полимерной форме, требует предварительного переведения ее в молекулярно-дисперсную форму. Для достижения этого было применено нагревание растворов с добавлением соды или щелочи, а также добавление к подкисленному раствору фтористого натрия (при комнатной температуре). Все три метода дали вполне удовлетворительные результаты. Выбор того или другого из них зависит от присутствия в растворе других веществ.

## ЛИТЕРАТУРА

1. Н. Гусев, Гидрохимические материалы, 12, 47 (1941).
  2. А. К. Бабко и А. Т. Пилипенко, Колориметрический анализ, Госхимиздат, М.—Л., 1951.
  3. В. Я Тартаковский, Легкие металлы, 5, № 2, 7 (1936).
  4. З. Я. Берестнева, Т. А. Корецкая и В. А. Каргин, Колл. ж. 11, 6, 369 (1949).
  5. Б. В Михальчук и Е. Б. Бруцкус, Зав. лаб. 6, 160 (1937).
-

С. Г. МАЙРАНОВСКИЙ

## О ПРЕДЕЛЬНЫХ ТОКАХ ПРИ КАТАЛИТИЧЕСКОМ РАЗРЯДЕ ВОДОРОДА ПОД ДЕЙСТВИЕМ АМИНОВ

### СООБЩЕНИЕ 1. ТЕОРИЯ ПРЕДЕЛЬНЫХ КАТАЛИТИЧЕСКИХ ТОКОВ РАЗРЯДА ВОДОРОДА

Под каталитическим выделением водорода подразумевают разряд его на электроде при менее отрицательных потенциалах, чем это обычно имеет место для данного электрода при данном значении рН. Каталитический ток является следствием снижения перенапряжения в присутствии некоторых веществ — катализаторов.

Экспериментальному изучению каталитических волн водорода на ртутном капельном электроде посвящено большое число исследований. Кольтофф и Лингейн в своей монографии [1] приводят сводку работ до 1940 г., посвященных каталитическому действию ряда алкалоидов, а также соединений с сульфгидрильной группой. Значительное число алкалоидов исследовал полярографически Киркпатрик [2]. Подробно изучал каталитическое выделение водорода в присутствии никотинамида и других производных пиридина Кноблех [3]. Он нашел, что изменение высоты каталитической волны в зависимости от концентрации катализатора подчиняется уравнению, аналогичному изотерме адсорбции Лэнгмюра, и предположил, что каталитический ток пропорционален количеству адсорбированного на поверхности электрода катализатора. Опыт показывает, что при достижении некоторой концентрации катализатора в растворе высота каталитической волны достигает максимального значения и остается постоянной при дальнейшем увеличении концентрации. Кноблех приписывает это полному насыщению поверхности капельного электрода молекулами катализатора. Однако неясно, почему при различных концентрациях донора протонов требуется различное количество молекул катализатора для заполнения одной и той же поверхности электрода. Кноблех не объяснил и наблюдавшееся им отклонение теоретически вычисленных значений тока от найденных экспериментально при малых концентрациях катализатора.

Советский ученый Стромберг [4] впервые использовал представления о кинетических и адсорбционных ограничениях предельного тока для описания каталитических волн водорода. Развита им теория объясняет поведение каталитической системы: вещество с сульфгидрильной группой — ионы металла — комплексообразователя. Однако количественного экспериментального подтверждения этой теории Стромберг не дал.

По каталитическому выделению водорода собран большой фактический материал. Однако исследования каталитического тока проводились в недостаточно широких пределах изменения концентраций донора протонов и катализатора. Это не дало возможности разработать теорию, которая объяснила бы все явления, наблюдаемые при каталитическом разряде водорода.

Нам исследована зависимость величины предельного каталитического тока от концентрации донора и катализатора в широких пределах их



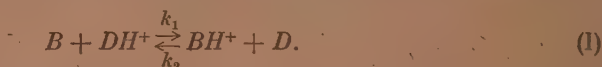
изменения. На основе полученных данных сделана попытка дать количественное объяснение наблюдаемым закономерностям. При этом мы учитывали кинетику процессов [5], имеющих, по нашему мнению, место на поверхности ртутного капельного электрода.

В настоящей работе изложена теория предельных каталитических токов. Экспериментальные данные будут приведены в следующем сообщении.

### Вывод уравнений для предельных токов катализа

Каталитический ток обычно превышает то значение, которое следовало бы ожидать в случае простого, ограниченного диффузией процесса разряда молекул катализатора. Следовательно, каждая молекула катализатора «перерабатывается» некоторое число частиц донора протонов.

Механизм каталитического разряда ионов водорода на ртутном капельном электроде можно представить следующим образом. Катализатор, существующий в двух равновесных формах, — кислотной и основной (по Бренстеду)  $BH^+$  и  $B$ , — играет роль переносчика протонов:



Кислотная форма катализатора  $BH^+$  принимает с катода электрон, превращаясь в разряженный комплекс основной формы с атомом водорода  $BH$ :



Далее следует процесс, в результате которого образуется молекула водорода и регенерируется катализатор в основной форме:



Если у поверхности электрода имеются частицы донора протонов  $DH^+$ , то они реагируют с основной формой катализатора по формуле (I), стремясь восстановить равновесную концентрацию кислотной формы, которая немедленно разряжается на электроде, и весь цикл повторяется. Величины константы равновесия между кислотной и основной формами и константы скорости образования кислотной формы  $k_1$  зависят от природы катализатора и донора протонов. Константа  $k_3$  зависит лишь от характера катализатора. Очевидно, что каталитический эффект может иметь место лишь в том случае, если кислотная форма катализатора, по сравнению с донором протонов, разряжается при менее отрицательном потенциале.

Скорости изменения концентраций отдельных форм катализатора на поверхности капельного электрода описываются следующими уравнениями:

$$\frac{d[B]_s}{dt} = \frac{\alpha_B}{sF} \left( [B]_0 - \frac{[B]_s}{a_B} \right) + k_3 [BH]_s^2 - k_1 [B]_s [DH^+]_s + k_2 [BH^+]_s [D]_s. \quad (1)$$

$$\begin{aligned} \frac{d[BH^+]_s}{dt} = \frac{\alpha_{BH^+}}{sF} \left( [BH^+]_0 - \frac{[BH^+]_s}{a_{BH^+}} \right) + k_1 [B]_s [DH^+]_s - \frac{i}{sF} - \\ - k_2 [BH^+]_s [D]_s, \end{aligned} \quad (2)$$

$$\frac{d[BH]_s}{dt} = \frac{i}{sF} - k_3 [BH]_s^2 - \frac{\alpha_{BH}}{sF a_{BH}} [BH]_s. \quad (3)$$

В этих уравнениях  $[Z]_0$  и  $[Z]_s$  — объемная и поверхностная концентрации веществ;  $\alpha_z = 607 D_z^{1/2} m^{1/2} t^{1/2}$  — константа уравнения Ильковича;

$s$  — средняя поверхность капельного электрода;  $F$  — число Фарадея;  $a_z$  — константа равновесия между поверхностной и объемной концентрациями вещества [6]:

$$a_z = \frac{[Z]_s}{[Z]_0}, \quad (4)$$

$i$  — каталитический ток.

Для донора протонов можно написать аналогичное уравнение:

$$\frac{d[DH^+]_s}{dt} = \frac{\kappa_{DH^+}}{sF} \left( [DH^+]_0 - \frac{[DH^+]_s}{a_{DH^+}^*} \right) - k_1 [B]_s [DH^+]_s + k_2 [BH^+]_s [D]_s. \quad (5)$$

В этом уравнении  $a_{DH^+}^*$  не является постоянной величиной. Дело в том, что концентрация донора протонов обычно на несколько порядков превышает концентрацию катализатора и часто достигает довольно высоких значений (до 0,1  $M$ ). В этом случае необходимо уже принять во внимание, что часть поверхности электрода занята донором протонов и для выражения его поверхностной концентрации следует пользоваться уравнением Лэнгмюра; таким образом,

$$a^* = \frac{a_{DH^+}}{1 + b[DH^+]_0}. \quad (6)$$

При малых значениях  $[DH^+]_0$  величина  $a_{DH^+}^*$  совпадает с  $a_{DH^+}$ , являющейся постоянной величиной (константой Генри).

При установившемся режиме на поверхности капли

$$\frac{d[Z]_s}{dt} = 0. \quad (7)$$

Для предельного каталитического тока существует еще одно дополнительное соотношение: концентрация кислотной формы на поверхности электрода падает до нуля, что описывается равенством

$$[BH^+]_s = 0. \quad (8)$$

Складывая уравнения (1), (2), (3) и принимая во внимание (7) и (8), получим

$$[B]_s = \frac{a_B}{\kappa_B} (\kappa_B [B]_0 + \kappa_{BH^+} [BH^+]_0) - \frac{\kappa_{BH} a_B}{\kappa_B a_{BH}} [BH]_s. \quad (9)$$

Практически можно считать [6], что

$$\kappa_B = \kappa_{BH^+}, \quad (10)$$

тогда

$$[B]_s = a_B ([B]_0 + [BH^+]_0) - \frac{\kappa_{BH} a_B}{\kappa_B a_{BH}} [BH]_s = a_B [K]_0 - \frac{\kappa_{BH} a_B}{\kappa_B a_{BH}} [BH]_s, \quad (11)$$

где  $[K]_0$  — общая (аналитическая) концентрация катализатора в растворе.

Для поверхностной концентрации донора протонов получим из формул (2) и (5):

$$[DH^+]_s = \frac{a_{DH^+}^*}{\kappa_{DH^+}} (\kappa_{DH^+} [DH^+]_0 + \kappa_{BH^+} [BH^+]_0 - i). \quad (12)$$

Подставляя значение для  $[B]_s$  и  $[DH^+]_s$  в формулу (2) и учитывая условия (7) и (8), найдем:

$$\frac{i}{sF} = \frac{x_{BH^+}}{sF} [BH^+]_0 + \frac{k_1 a_{B^a} x_{DH^+}^*}{x_{DH^+}} \left( [K]_0 - \frac{x_{BH}}{x_{B^a BH}} [BH]_s \right) (x_{DH^+} [DH^+]_0 + x_{BH^+} [BH^+]_0 - i), \quad (13)$$

откуда

$$i = \frac{x_{BH^+} [BH^+]_0 + \frac{k_1 a_{B^a} x_{DH^+}^* sF}{x_{DH^+}} \left( x_{DH^+} [DH^+]_0 + x_{BH^+} [BH^+]_0 \right) \left( [K]_0 - \frac{x_{BH}}{x_{B^a BH}} [BH]_s \right)}{1 + \frac{k_1 a_{B^a} x_{DH^+}^* sF}{x_{DH^+}} \left( [K]_0 - \frac{x_{BH}}{x_{B^a BH}} [BH]_s \right)} \quad (14)$$

Принимая во внимание, что концентрация катализатора обычно на два-три порядка ниже концентрации донора протонов, т. е.

$$[K]_0 \ll [DH^+]_0, \quad (15)$$

можно пренебречь величиной диффузионного тока разряда кислотной формы катализатора  $x_{BH^+} [BH^+]_0$  и по сравнению с величиной диффузионного тока донора протонов членом  $-x_{DH^+} [DH^+]_0$ , и по сравнению с каталитическим током, т. е. со вторым членом числителя уравнения (14). Тогда выражение для величины предельного каталитического тока примет вид:

$$i = \frac{k_1 a_{B^a} x_{DH^+}^* sF [DH^+]_0 \left( [K]_0 - \frac{x_{BH}}{x_{B^a BH}} [BH]_s \right)}{1 + \frac{k_1 a_{B^a} x_{DH^+}^* sF}{x_{DH^+}} \left( [K]_0 - \frac{x_{BH}}{x_{B^a BH}} [BH]_s \right)}. \quad (16)$$

Такое же выражение получается и в том случае, если каталитической волне предшествует волна восстановления («гидрирования») самого катализатора, как это часто имеет место.

Пусть  $B'$  и  $B'H^+$  — основная и кислотная формы невосстановленного катализатора. Если считать, что кислотная форма благодаря различию зарядов восстанавливается легче, то на электроде катализу предшествуют следующие процессы:



и



В кислом растворе катализатор присутствует главным образом в кислотной форме, и для диффузионной волны «гидрирования» катализатора можно написать

$$i_{\text{гидр.}} = n x_B [K]_0. \quad (17)$$

Введение множителя  $n$  обусловлено тем, что в уравнениях (1), (2) и (3)  $x_B$  учитывало лишь скорость поступления вещества и  $n$  принималось равным единице.

Для каталитического процесса будут справедливы схемы (I), (II) и (III). Скорости изменения концентраций отдельных веществ на катоде выразятся посредством уравнений:



$$\frac{d[B]_s}{dt} = \frac{i_{\text{гидр.}}}{n s F} + k_3 [BH]_s^2 + k_2 [BH^+]_s [D]_s - k_1 [B]_s [DH^+]_s - \frac{x_B [B]_s}{s F a_B}, \quad (18)$$

$$\frac{d[BH^+]_s}{dt} = k_1 [B]_s [DH^+]_s - \frac{i}{s F} - k_2 [BH^+]_s [D]_s - \frac{x_{BH^+} [BH^+]_s}{s F a_{BH^+}}, \quad (19)$$

$$\frac{d[BH]_s}{dt} = \frac{i}{s F} - k_3 [BH]_s^2 - \frac{x_{BH} [BH]_s}{s F a_{BH}}, \quad (20)$$

$$\begin{aligned} \frac{d[DH^+]_s}{dt} = \frac{x_{DH^+}}{s F} \left( [DH^+]_0 - \frac{[DH^+]_s}{a_{DH^+}^*} \right) - k_1 [B]_s [DH^+]_s - \frac{i_{\text{гидр.}}}{s F} + \\ + k_2 [BH^+]_s [D]_s. \end{aligned} \quad (21)$$

Учитывая условия (7) и (8), найдем из формулы (19):

$$i = k_1 s F [B]_s [DH^+]_s. \quad (22)$$

Из выражений (18), (19), (21) и (22) следует:

$$[B]_s = \frac{i_{\text{гидр.}} \cdot a_B}{n \cdot x_B} - \frac{x_{BH} a_B}{x_B a_{BH}} [BH]_s \quad (23)$$

и

$$[DH^+]_s = a_{DH^+}^* [DH^+]_0 - \frac{a_{DH^+}^*}{x_{DH^+}} (i + i_{\text{гидр.}}). \quad (24)$$

Подставляя формулы (23) и (24) в уравнение (22), найдем

$$\frac{i}{s F} = k_1 a_B a_{DH^+}^* \left( [DH^+]_0 - \frac{i + i_{\text{гидр.}}}{x_{DH^+}} \right) \left( \frac{i_{\text{гидр.}}}{n x_B} - \frac{x_{BH}}{x_B a_{BH}} [BH]_s \right) \quad (25)$$

и

$$i = \frac{k_1 a_B a_{DH^+}^* s F \left( [DH^+]_0 - \frac{n x_B [K]_0}{x_{DH^+}} \right) \left( [K]_0 - \frac{x_{BH}}{x_B a_{BH}} [BH]_s \right)}{1 + \frac{k_1 a_B a_{DH^+}^* s F}{x_{DH^+}} \left( [K]_0 - \frac{x_{BH}}{x_B a_{BH}} [BH]_s \right)}. \quad (26)$$

Если справедливо (15), то, пренебрегая величиной  $n x_B [K]_0 / x_{DH^+}$  по сравнению с  $[DH^+]_0$ , получим:

$$i = \frac{k_1 a_B a_{DH^+}^* s F [DH^+]_0 \left( [K]_0 - \frac{x_{BH}}{x_B a_{BH}} [BH]_s \right)}{1 + \frac{k_1 a_B a_{DH^+}^* s F}{x_{DH^+}} \left( [K]_0 - \frac{x_{BH}}{x_B a_{BH}} [BH]_s \right)}. \quad (27)$$

Легко видеть, что выражение (27) тождественно уравнению (16).

В выражениях (16) и (27) остается неопределенным значение концентрации  $[BH]_s$ . Выражение для  $[BH]_s$  легко находится из формулы (3):

$$[BH]_s^2 + \frac{x_{BH} [BH]_s}{k_3 a_{BH} s F} - \frac{i}{k_3 s F} = 0. \quad (28)$$

Следовательно,

$$[BH]_s = -\frac{x_{BH}}{2 k_3 a_{BH} s F} + \sqrt{\left( \frac{x_{BH}}{2 k_3 a_{BH} s F} \right)^2 + \frac{i}{k_3 s F}}. \quad (29)$$

Перед корнем взят лишь знак  $+$ , так как величина  $[BH]_s$  не может быть отрицательной. Если обозначить постоянные

$$\frac{x_{BH}^2}{2k_8 F a_{BH}^2 x_B} = r \text{ и } \frac{4k_8 a_{BH}^2 sF}{x_{BH}^2} = p, \quad (30), (31)$$

то выражение для  $[BH]_s$  будет иметь вид:

$$[BH]_s = \frac{x_{B^* BH}}{x_{BH}} \cdot r (\sqrt{1 + ip} - 1). \quad (32)$$

Подставляя выражение для  $[BH]_s$  из формулы (32) и  $a_{(DH^+)}^*$  из формулы (6) в (16), получим общее уравнение, связывающее величину каталитического тока с концентрациями компонентов раствора:

$$i = \frac{k_1 a_{B^* DH^+} sF x_{DH^+} [DH^+]_0 \{ [K]_0 - r (\sqrt{1 + ip} - 1) \}}{x_{DH^+} (1 + b [DH^+]_0) + k_1 a_{B^* DH^+} sF \{ [K]_0 + r (\sqrt{1 + ip} - 1) \}}. \quad (33)$$

Необходимо иметь в виду, что при очень низких значениях отношения  $[DH^+]_0/[K]_0$  (порядка десятков и ниже), когда нарушается условие (15), нельзя уже пренебречь диффузионным током разряда основной формы катализатора или током его «гидрирования». Тогда следует пользоваться не уравнением (33), а уравнениями (14) или (26), подставляя в них значения  $a_{DH^+}^*$  и  $[BH]_s$  из формул (6) и (32). Низкая величина  $[DH^+]_0/[K]_0$  встречается в полярографической практике при работе с каталитическими волнами в растворах с высоким рН. В этом случае донор протонов (чаще всего кислая соль многоосновной кислоты или аммиачный буфер, где донором служит  $NH_4^+$ ) довольно инертен и скорость его взаимодействия с катализатором  $k_1$  невелика. Поэтому, чтобы получить удобные для измерения величины каталитического тока, приходится значительно увеличивать концентрацию катализатора.

### Случай высоких концентраций донора протонов

Как будет показано в следующем сообщении, каталитический ток при достаточно высоких значениях отношения  $[DH^+]_0/[K]_0$  не зависит от концентрации донора в растворе. Поверхностная концентрация донора в этом случае настолько велика, что донор покрывает значительную часть поверхности электрода, причем, вследствие небольшой концентрации катализатора, удаление донора с поверхности за счет каталитического разряда невелико.

Если концентрация кислоты намного превышает концентрацию катализатора, то в знаменателе уравнения (33) можно пренебречь членами  $x_{DH^+}$  и  $k_1 a_{B^* DH^+} sF \{ [K]_0 - r (\sqrt{1 + ip} - 1) \}$  по сравнению с  $b \cdot x_{DH^+} [DH^+]_0$ . Тогда выражение для каталитического тока принимает вид:

$$i = \frac{k_1 a_{B^* DH^+} sF}{b} \{ [K]_0 - r (\sqrt{1 + ip} - 1) \} \quad (34)$$

или

$$i = Q \{ [K]_0 - r (\sqrt{1 + ip} - 1) \}, \quad (35)$$

причем

$$Q = k_1 a_{B^* DH^+} sF / b. \quad (36)$$

Если при малых концентрациях катализатора концентрация кислоты достаточно высока, так что в знаменателе (33) можно пренебречь членом  $k_1 a_{B^* DH^+} sF \{ [K]_0 - r (\sqrt{1 + ip} - 1) \}$ , то уравнение (33) приобре-

тает вид:

$$i = \frac{k_1 a_{B^{a_{DH}} sF} [DH^+]_0}{1 + b [DH^+]_0} \{ [K]_0 - r(\sqrt{1 + ip} - 1) \}, \quad (37)$$

или

$$i = Q' \{ [K]_0 - r(\sqrt{1 + ip} - 1) \}, \quad (38)$$

где

$$Q' = \frac{b [DH^+]_0}{1 + b [DH^+]_0} Q. \quad (39)$$

Этому случаю соответствуют условия опытов в 0,05 N HCl, данные которых будут приведены в следующем сообщении.

Как будет показано, величина константы  $p$  для хинина имеет значение порядка  $10^5 \text{ pA}^{-1}$ . Это позволяет пренебречь в выражении (38) единицами по сравнению с величинами  $ip$  и  $\sqrt{ip}$ , так как при значениях тока не ниже  $1 \text{ pA}$ , справедливы соотношения.

$$ip \gg 1 \text{ и } \sqrt{ip} \gg 1, \quad (40)$$

тогда

$$i = Q'([K]_0 - \sqrt{r^2 p i}). \quad (41)$$

Находя из формулы (41) выражение для тока, получим

$$i = Q' [K]_0 + \frac{(Q')^2 r^2 p}{2} - \sqrt{\frac{(Q')^4 r^4 p^2}{4} + (Q')^3 r^2 p [K]_0}. \quad (42)$$

Производная тока по концентрации катализатора имеет вид:

$$\frac{di}{d[K]_0} = Q' - \frac{(Q')^3 r^2 p}{\sqrt{(Q')^4 r^4 p^2 + 4(Q')^3 r^2 p [K]_0}}. \quad (43)$$

Таким образом, наклон кривой  $i = f([K]_0)$  возрастает с увеличением концентрации хинина, стремясь к значению  $Q'$ .

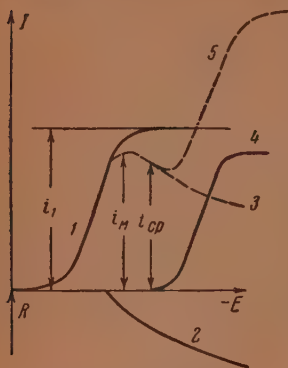
### О форме каталитической волны

Особенностью каталитических волн является наличие на них выпуклости с плоским максимумом и следующей за ней впадины. Характер каталитических волн не изменяется при добавлении в раствор поверхностно-активных веществ. Следовательно, природа максимума не связана с движением поверхности ртуты капельного электрода, а обусловлена природой самого каталитического эффекта.

Необходимо отметить, что в настоящей работе, как и в цитированных работах [1, 2, 3], допускалось, что величина предельного каталитического тока соответствует высоте каталитической волны в ее максимуме. Такое допущение удобно при использовании каталитических волн в аналитических целях, однако теоретически оно не оправдано. Каталитическую волну можно представить в виде суммы трех кривых (см. фигуру). Кривая 1 представляет собой «исходную» каталитическую волну обычной формы. На нее алгебраически накладывается кривая 2, передающая зависимость величины  $R = k_1 a_{B^{a_{DH}} sF}$  от потенциала (возможными изменениями величины  $\sqrt{r^2 p}$  при различных потенциалах можно пренебречь, так как  $gr$  является постоянной, и влияние слагаемого  $\text{const} \cdot \sqrt{gr}$  незначительно).



Эта зависимость может быть представлена в виде  $R = Ae^{\beta(E_0 - E)}$ , где  $E_0$  — потенциал, при котором  $R$  имеет максимальное значение,  $E$  — катодный потенциал;  $A$  и  $\beta$  — константы. Наложение кривых 1 и 2 обуславливает форму каталитической волны, если обычный разряд донора протонов не следует сразу же за каталитическим разрядом. Если за каталитическим разрядом непосредственно следует обычный разряд донора протонов, не разрядившихся каталитически, то на каталитическую волну 3 накладывается волна разряда, оставшегося на поверхности электрода донора (кривая 4). На каталитической волне начинается подъем (кривая 5), переходящий в волну донора протонов.



Схема, поясняющая форму каталитической волны: 1 — «исходная» каталитическая волна; 2 — кривая зависимости  $R$  от  $E$ ; 3 — каталитическая волна без наложения тока разряда донора; 4 — волна разряда донора; 5 — суммарная волна

Величина предельного каталитического тока является функцией потенциала, ее наибольшее значение  $i_1$  соответствует максимальному  $R$ . Ток в максимуме наблюдаемой волны  $i_m$  составляет некоторую часть тока  $i_1$ , причем отношение  $i_1/i_m$  зависит от соотношения между концентрациями катализатора и донора. При больших значениях  $[K]_0/[DH^+]_0$ , как следует из формулы (46), изменения  $R$  почти не влияют на величину предельного тока, который определяется подачей донора. При этом волна не имеет максимума и  $i_1/i_m$  имеет минимальную величину. При малых значениях  $[K]_0/[DH^+]_0$  волна обычного разряда донора начинается

при менее отрицательных потенциалах, начало ее подъема полностью компенсирует спад кривой за счет падения  $R$  и волна имеет обычный вид S-образной кривой. Однако сама каталитическая волна, получающаяся из общей волны при вычитании волны донора, имеет свой обычный спад.

Автор пользуется случаем выразить глубокую признательность М. Б. Нейману за постоянное внимание к работе, а также А. Н. Фрумкин — за ценные указания.

## ВЫВОДЫ

1. Дано кинетическое толкование явлениям, наблюдающимся при каталитическом разряде ионов водорода.
2. Выведены соотношения, связывающие величину предельного каталитического тока с концентрациями компонентов раствора.

Институт химической физики  
Академии наук СССР

Поступило  
30.X.1952

## ЛИТЕРАТУРА

1. И. М. Кольтгоф и Дж. Лингейп, Полярография, Госхимиздат, М., 1948.
2. Н. F. W. Kirkpatrick, Quart. J. Pharm. Pharmac. 19, 526 (1946).
3. E. Knobloch, Coll. Czech. Chem. 12, 407 (1947).
4. А. Г. Стромберг, Ж. физ. хим. 20, 409 (1946).
5. K. Wiesner, Z. Elektrochem. 49, 164 (1943).
6. С. Г. Майрановский и М. Б. Нейман, ДАН 82, 93 (1952).

А. А. ДОБРИНСКАЯ и М. Б. НЕЙМАН

## ИССЛЕДОВАНИЕ УСЛОВИЙ ВОСПЛАМЕНЕНИЯ ГАЗОВЫХ СМЕСЕЙ

### СООБЩЕНИЕ 22. ВЛИЯНИЕ ПРИМЕСИ ПЕРЕКИСИ ЭТИЛА И АЦЕТАЛЬДЕГИДА НА КИНЕТИКУ ХОЛОДНОПЛАМЕННОГО ОКИСЛЕНИЯ БУТАНА

В ряде работ Нейман, Тутакин, Блат и Гербер [1, 2] изучали влияние примеси перекиси этила на период индукции холодного пламени бутана. Было показано, что период индукции холодного пламени бутана зависит от количества  $x$  прибавленной перекиси; эта зависимость может быть выражена следующей формулой:

$$K_1\tau = a - \ln x. \quad (1)$$

Нейман с сотрудниками [3, 4] показали применимость этой формулы при окислении пропана и метилового эфира. Аналогичные данные получены Эгертоном и Гаррисом [5] при исследовании влияния примеси перекиси этила на период индукции холодного пламени пропана.

В настоящей работе была поставлена задача более подробно изучить влияние перекиси этила, а также ацетальдегида на процесс холодного пламенного окисления бутана, исследуя кинетику образования активных продуктов во время периода индукции. Кинетика накопления промежуточных активных продуктов во время периода индукции холодного пламени бутана в отсутствие примесей изучалась и ранее [6, 7].

## ЭКСПЕРИМЕНТАЛЬНАЯ ЧАСТЬ

### Методика исследования

а) **Описание установки.** Для настоящего исследования применялась с незначительными изменениями методика, подробно описанная в предыдущей работе [6, 7]. Холодное пламя получалось путем впуска смеси бутана с кислородом в предварительно эвакуированный кварцевый сосуд, нагретый до определенной температуры; образование пламени наблюдалось визуально. Периоды индукции определялись при помощи секундомера. Отбор проб газовой реакционной смеси по ходу процесса производился следующим образом. В определенное время газовая смесь из реакционного сосуда выпускалась в промежуточную колбу и медленно откачивалась через U-образный сосуд, охлаждаемый жидким кислородом. После этого сконденсировавшиеся продукты реакции нагревались и струей водорода выдувались в два последовательно соединенных сосуда для поглощения. Затем растворы подвергались полярографическому анализу на содержание органических перекисей и альдегидов [8—13].

б) **Приготовление и очистка исходных веществ.** Б у т а н готовился гидрированием псевдобутилена, очищался от непредельных углеводородов и проверялся на содержание органических перекисей и альдегидов, как это было указано [5]. Д и э т и л п е р е к и с ь готовилась из диэтилсульфата и 12%-ной перекиси водорода [14]. 105 ч. диэтилсульфата и 125 ч.

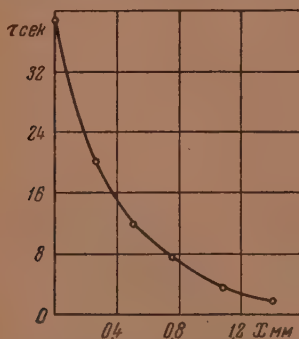
перекиси водорода тщательно перемешивались в колбе при температуре  $15^\circ$ . К раствору по каплям добавлялось 180 ч. 50%-ного раствора КОН. Реакция велась при тщательном охлаждении в течение 6 час., а затем продукты реакции разгонялись на масляной бане. Выделена фракция, кипящая от  $55$  до  $76^\circ$ , которая промывалась 30%-ным раствором NaOH и водой для удаления спирта и эфира. Полученная перекись этила подвергалась повторной перегонке. Для опытов использовалась фракция, кипящая от  $63,5$  до  $65^\circ$ . Показатель преломления ( $n_D^{20}$ ) перекиси этила равен 1,37014, что хорошо совпадает с определенным Нейманом, Блатом и Гербером значением  $n_D^{20}$  1,37009 [2].

Так же измерялась зависимость упругости пара диэтилперекиси от температуры. Из полученных данных следует, что скрытая теплота парообразования диэтилперекиси  $\lambda = 7400$  кал/мол. Это значение хорошо совпадает с полученной Блатом величиной  $\lambda = 7300$  кал/мол. [2]. Уксусный альдегид  $\text{CH}_3\text{CHO}$  готовился деполимеризацией чистого паральдегида и подвергался тщательной разгонке. Для опытов использовалась фракция, кипящая при  $20^\circ$ . Чтобы избежать образования перекисей, уксусный альдегид хранился в запаянных ампулах в отсутствие кислорода. Перед опытом производились качественные пробы на перекиси, которые во всех случаях давали отрицательный результат. Кислород и водород готовились электролизом 15%-ного раствора NaOH и затем очищались, как указано в работах [6, 7].

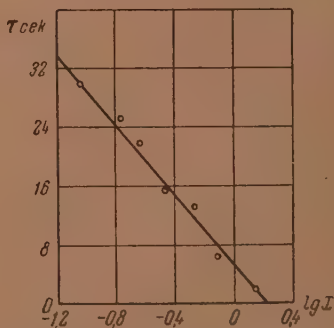
## РЕЗУЛЬТАТЫ ОПЫТОВ

### 1. Влияние примеси диэтилперекиси на кинетику холоднопламенного окисления бутана

а) Сокращение периода индукции под влиянием примеси диэтилперекиси. Нами исследовалось сокращение периода индукции под влиянием примеси диэтилперекиси при температуре  $310^\circ$  и давлении 333 мм. Как



Фиг. 1. Влияние примеси перекиси этила на период индукции холодного пламени бутана



Фиг. 2. Зависимость периода индукции холодного пламени бутана от концентрации перекиси этила

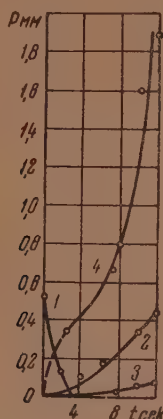
видно из кривой (фиг. 1), по мере прибавления перекиси этила период индукции закономерно сокращался.

Для проверки формулы (1) мы нанесли экспериментальные точки в координатах  $\lg x$  и  $\tau$ . На фиг. 2 экспериментальные точки в пределах погрешности опыта лежат на прямой линии в согласии с требованиями формулы (1). Из наклона этой прямой следует, что  $K = 0,09$ .

б) Накопление перекисей и альдегидов. Мы исследовали накопление перекисей и альдегидов во время периода индукции в случае примеси

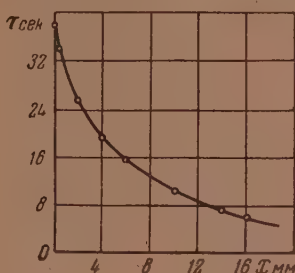


перекиси этила. В этой серии опытов, проведенных при температуре  $310^\circ$  и давлении 333 мм, к бутано-кислородной смеси добавлялось 0,54 мм перекиси этила. Количество перекисей и альдегидов определялось полярно-графическим методом, как описано выше. Результаты наших анализов изображены на фиг. 3.



Фиг. 3. Изменение содержания перекиси этила (1), перекисей А и В (2 и 3) и альдегидов (4) во время периода индукции в смеси  $C_4H_{10} + O_2 + 0,5 \text{ мм } (C_2H_5O)_2$  при  $310^\circ$  и 333 мм

Из фиг. 3 видно, что концентрация перекиси этила тотчас после впуска смеси в нагретый сосуд быстро уменьшается. Одновременно с этим в смеси начинают накапливаться перекиси, восстанавливающиеся при  $-0,2$  и  $-0,1 \text{ V}$  (кривые 2 и 3), и альдегиды (кривая 4). При распаде перекиси этила появляются значительные коли-



Фиг. 4. Влияние примеси ацетальдегида на период индукции холодного пламени бутана

чества альдегидов и, повидимому, образуется большое число начальных активных центров, за счет чего ускоряется реакция окисления.

## 2. Влияние примеси ацетальдегида на кинетику холоднопламенного окисления бутана

а) Сокращение периода индукции под влиянием примеси ацетальдегида. В работе Айвазова и Неймана [15] показано, что примесь уксусного альдегида сокращает период индукции холодного пламени пентана. Мы исследовали влияние примеси ацетальдегида на период индукции холодного пламени бутана при 333 мм и  $310^\circ$ . По мере прибавления  $CH_3CHO$  период индукции холодного пламени плавно сокращался (фиг. 4). Добавление значительно больших количеств  $CH_3CHO$ , чем то количество, которое, согласно нашим анализам, накапливается к концу периода индукции, хотя и сокращает период индукции, но не ликвидирует его полностью. Таким образом, гипотеза Ньюитта и Торнеса [14], согласно которой холодное пламя возникает в результате накопления альдегидов до критической концентрации, повидимому, неверна.

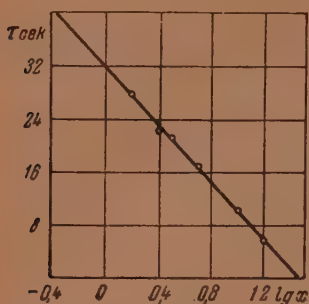
Зависимость величины периода индукции от количества добавленного альдегида [Ald] хорошо описывается уравнением

$$\lg [Ald] = b - 0,4343 K_2 \tau, \quad (2)$$

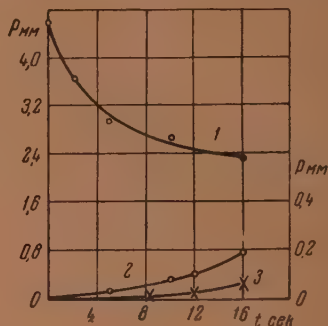
что видно из фиг. 5, где экспериментальные точки отложены в координатах  $\lg [Ald]$  и  $\tau$ . Экспериментальные точки лежат на прямой, из наклона которой следует, что величина  $b$ , входящая в уравнение (2), равна 0,1. Таким образом, сокращение периода индукции холодного пламени бутана под влиянием примеси уксусного альдегида происходит по такому же закону, как и под влиянием примеси перекиси этила.

Следует также отметить хорошее количественное совпадение коэффициентов  $K_1$  и  $K_2$ , входящих в формулы (1) и (2). Постоянные члены  $a$  и  $b$  в упомянутых формулах отличаются друг от друга по своему значению.

б) Изменение концентрации перекисей и альдегидов. Мы провели серию опытов со смесью  $C_4H_{10} + O_2$  в присутствии 4,5 мм ацетальдегида. В этих опытах давление смеси равно 333 мм, а температура 310°. Результаты определения перекисей в этих условиях приведены на фиг. 6. Из рас-



Фиг. 5. Зависимость периода индукции холодного пламени бутана от концентрации ацетальдегида



Фиг. 6. Изменение концентрации альдегидов (1) и перекисей, восстанавливающихся при  $-0,25$  и  $-0,6$  В (2 и 3) во время периода индукции в смеси 164 мм  $C_4H_{10} + O_2 + 4,5$  мм  $(C_2H_5O)_2$  при 310° и 333 мм

смотрения фиг. 6 видно, что одновременно с падением концентрации ацетальдегида в смеси накапливаются перекиси, восстанавливающиеся при  $-0,25$  и  $-0,6$  В. При этом последней образуется примерно в два раза больше, чем первой.

### ОБСУЖДЕНИЕ РЕЗУЛЬТАТОВ ОПЫТОВ

Рассмотрим возможный механизм индуцирования холодного пламени примесями. Наши опыты дают возможность предположить, что при добавлении некоторого количества перекиси этила, последняя распадается, причем образуются перекиси А и Б (восстанавливающиеся при  $-0,2$  и  $-1,0$  В).

Допустим, начальная концентрация образовавшейся перекиси пропорциональна скорости распада перекиси этила, а константа скорости распада перекиси этила равна  $k_1$ , тогда можно написать:

$$[Per]_0 = k_1 [Per]_0' \quad (3)$$

Сделаем такое же предположение в случае примеси ацетальдегида. Пусть константа скорости распада альдегида  $k_2$ ; при этом начальная концентрация перекиси выразится формулой (4):

$$[Per]_0 = k_2 [Ald]_0 \quad (4)$$

Блат, Гербер и Нейман [2] предполагают, что во время периода индукции идет медленная автокаталитическая реакция, в течение которой образуются активные продукты окисления. Скорость образования активных продуктов выражается уравнением

$$\frac{d[Prod]}{dt} = K [Prod] \quad (5)$$

Холодное пламя возникает тогда, когда концентрация активных продуктов достигает значения, названного авторами критическим.

Допустим далее, что в начальный момент концентрация активных продуктов была  $[\text{Prod}]_0$ , тогда, интегрируя уравнение (5), получим:

$$\ln \frac{[\text{Prod}]_{\text{к}}}{[\text{Prod}]} = K\tau. \quad (6)$$

Таким активным продуктом может быть перекись, образующаяся из добавленной перекиси этила.

Подставляя значение  $[\text{Per}]_0$  из уравнения [3] в уравнение [6], получим:

$$\ln \frac{[\text{Per}]_{\text{к}}}{k_1 [\text{Per}]_0} = K\tau \quad (7)$$

Аналогично подставляя  $[\text{Per}]_0$  из уравнения (4) в уравнение (6), будем иметь:

$$\ln \frac{[\text{Per}]_{\text{к}}}{k_2 [\text{Ald}]_0} = K\tau. \quad (8)$$

Исходя из формул (7) и (8), определим отношение таких концентраций перекиси и альдегида, которые одинаково сокращают период индукции холодного пламени.

Считая величины  $\tau$ , входящие в формулы (7) и (8), одинаковыми, получим, приравнявая левые части этих формул:

$$\ln \frac{[\text{Per}]_{\text{к}}}{k_1 [\text{Per}]_0} = \ln \frac{[\text{Per}]_{\text{к}}}{k_2 [\text{Ald}]_0}. \quad (9)$$

Отсюда вытекает, что одинаковое сокращение периода индукции холодного пламени можно наблюдать, если концентрации добавленных альдегида или перекиси обратно пропорциональны константам их распада:

$$\frac{[\text{Ald}]_0}{[\text{Per}]_0} = \frac{k_1}{k_2}. \quad (10)$$

Отношение констант скоростей распада ацетальдегида и перекиси можно определить по отношению промежутков времени, в течение которых эти вещества распадаются на определенный процент:

$$\frac{k_1}{k_2} = \frac{t_2}{t_1}. \quad (11)$$

В табл. 1 сопоставлены промежутки времени, в течение которых перекись этила и ацетальдегид, введенные в смесь  $\text{C}_4\text{H}_{10} + \text{O}_2$ , распадаются на 25, 33 и 50%.

Как видно из табл. 1, отношение

$$\frac{t_{\text{Ald}}}{t_{\text{Per}}} = \frac{k_1}{k_2} \approx 15. \quad (12)$$

Это значит, что в условиях описанных опытов перекись распадалась приблизительно в 15 раз быстрее, чем ацетальдегид.

В табл. 2 сопоставлены количества альдегидов и перекисей, которые в одинаковой степени сокращают период индукции холодного пламени.

Данные, на основе которых составлена табл. 2, взяты из фиг. 1 и 4. Как видно из табл. 2, отношение

$$\frac{[\text{Ald}]}{[\text{Per}]} \approx 16. \quad (13)$$



Вычисленное из наших опытов отношение  $\frac{[Ald]}{[Per]}$  в пределах погрешности совпадает с отношением скоростей их распада, как видно из сравнения формул (12) и (13).

Таблица 1

Сравнение скоростей распада уксусного альдегида и перекиси этила, добавленных к смеси бутана с кислородом при 310°

Процент распада	Время распада в сек.		$\frac{t_{Ald}}{t_{Per}}$
	$t_{Ald}$	$t_{Per}$	
25	3	0,2	15
33	6	0,4	15
50	20	1,2	16

Таблица 2

Сравнительная эффективность альдегида и перекиси, как веществ, сокращающих период индукции холодного пламени бутана

$t$ сек.	Добавка альдегида в мм	Добавка перекиси в мм	$\frac{Ald}{Per}$
32	0,9	0,06	15
24	2,5	0,16	15
16	5,8	0,36	16
8	12,8	0,75	17
4	19,5	1,15	17

Таким образом, предложенный нами механизм сокращения периода индукции холодного пламени под влиянием активных примесей хорошо объясняет наблюдаемые факты.

### ВЫВОДЫ

1. Показано, что примесь перекиси этила к бутано-кислородной смеси сокращает период индукции холодного пламени.

2. Во время периода индукции в случае добавления перекиси этила в смеси образуются органические перекиси и альдегиды.

3. Показано, что примесь ацетальдегида сокращает период индукции холодного пламени бутана. В смеси образуются органические перекиси, восстанавливающиеся при  $-0,25$  и  $-0,6$  V.

4. Примеси перекисей и альдегидов в количествах  $x$  сокращают период индукции  $\tau$  по закону:

$$\lg x = b - k\tau.$$

Институт химической физики  
Академии наук СССР

Поступило  
17.XI.1950

### ЛИТЕРАТУРА

1. М. Б. Нейман и П. М. Тутакин, Изв. АН СССР, серия хим. № 2, 329 (1938).
2. М. Б. Нейман, Э. И. Блат и М. И. Гербер, ЖОХ 9, 732 (1939).
3. М. Б. Нейман, Усп. хим., 7, 341 (1938).
4. К. П. Ермакова, П. А. Ермолова и М. Б. Нейман, Ж. физ. хим. 8, 88 (1936).
5. A. Egerston and E. Haggis, Proc. Roy Soc. 168, 1 (1938).
6. М. Б. Нейман, А. А. Добринская и В. П. Гнзюбкин, Механизм образования холодного пламени бутана. Изд. физ. хим. пис-та им. Н. Д. Зелинского, М. 1940.
7. А. А. Добринская и М. Б. Нейман, Ж. физ. хим., 25, 1169 (1951).
8. А. А. Добринская и М. Б. Нейман, Зав. лаб. 8, 280 (1939).
9. М. Б. Нейман, М. П. Гербер и А. А. Добринская, Труды конференции по анал. хим., т. 2, Изд. АН СССР, М., 1943.
10. В. П. Гнзюбкин, А. А. Добринская и М. Б. Нейман, Зав. лаб. 8, 1229 (1939).
11. С. С. Поляк и В. Я. Штерн, ЖОХ 10, 21 (1940).
12. М. Б. Нейман и М. И. Гербер, Ж. анал. хим. 1, 211 (1946).
13. М. Б. Нейман и М. И. Гербер, Ж. анал. хим. 2, 135 (1947).
14. A. Baeyer and V. Viliger, Ber. 33, 3387 (1900).
15. Б. В. Айвазов и М. Б. Нейман, Ж. физ. хим. 8, 543 (1936).

Е. Н. НИКИТИН

## НОВОЕ В АППАРАТУРЕ ДЛЯ ИЗМЕРЕНИЯ СОРБЦИИ

Высокая точность сорбционных измерений, достигнутая главным образом благодаря работам школы акад. М. М. Дубинина [1, 2], позволяет успешно измерять поверхность и пористость тонких порошков и гелей. В настоящее время сорбционные измерения осуществляются почти исключительно весовым или объемным методом с применением высокого вакуума. Совершенствование сорбционной аппаратуры развивалось, с одной стороны, по пути создания особо чувствительных весов, позволяющих регистрировать изменения в весе сорбента менее  $10^{-5}$  г; с другой стороны, усилия экспериментаторов были направлены по пути создания аппаратуры для сорбционных измерений объемным методом, основанном на учете изменения давления, вызванного введением сорбента. Нижний предел применимости весового метода определяется чувствительностью и грузоподъемностью кварцевой спирали. Объемный метод имеет более широкие пределы применения; наиболее плодотворным оказался он для исследования поверхности и пористости мало активных сорбентов.

В печати опубликованы многочисленные конструкции сорбционной аппаратуры [3]. Ниже приводится описание еще одной более простой конструкции прибора, обеспечивающей, на наш взгляд, значительно более высокую точность объемных сорбционных измерений. Кроме того, приведены результаты определения оптимальных размеров кварцевой спирали для сорбционных весов. Упрощение прибора при повышении точности должно способствовать внедрению сорбционной техники в лабораторную практику.

### Объемная сорбционная установка

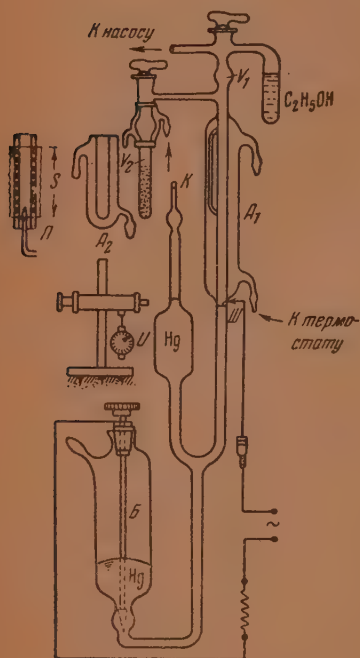
Предлагаемый прибор объединяет в себе элементы манометра Мак-Леода, U-образного манометра, газовой бюретки и термостатированной ампулки для сорбента (фиг. 1). В отличие от существующей аппаратуры [3] прибор не имеет капиллярных коммуникаций. Капиллярные трубки настолько сильно затрудняют вакуумирование, что адсорбент, повидимому, редко удается освободить от сорбированных примесей [4]. Принцип действия прибора общепринят и основан на учете изменения давления в пространстве, после того как в это пространство вводится сорбент.

Ртуть из баллона *Б* может поступать в манометрическую часть прибора, производя сжатие газа в левом колене до объема, заключенного в кончике капилляра *К*. Вследствие этого в правом колене ртуть установится выше, чем в левом. Положение ртути фиксируется при помощи пришлифованного стержня из нержавеющей стали. Объемы капилляра и левого колена определяются «по наполнению ртути», благодаря этому прибор может служить в качестве манометра Мак-Леода.

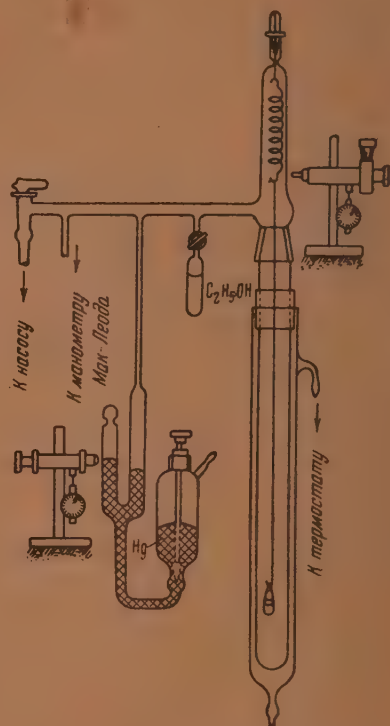
Для того чтобы прибор использовать в качестве U-образного манометра с возобновляющимся вакуумом, достаточно ртуть в обоих коленах поднять примерно наполовину. Так как сорбционные измерения ведутся при строго постоянном объеме, в правом колене имеется впаянный платиновый шип *Ш*. При соприкосновении ртути с платиновым шипом замы-

кается электрический контакт, при этом вспыхивает небольшая неоновая лампочка. Превышение ртути в левом колене измеряется при помощи катетометра, снабженного микроскопом и механическим индикатором *И*.

Все пространство правого колена выше впаивного шипа окружено термостатированной стеклянной рубашкой  $A_1$ , по которой циркулирует вода из ультратермостата. Объем пространства  $V_1$  определяется по напол-



Фиг. 1. Объемная сорбционная установка



Фиг. 2. Схема сорбционных весов

нению ртути, поэтому это пространство может служить заменой газовой бюретки. Ампулка с адсорбентом  $V_2$  может приключаться или отключаться от термостатированного пространства  $V_1$  при помощи крана. Объем этой ампулки  $V_2$  также определяется по наполнению ртути. В период измерений ампулка  $V_2$  термостатируется путем надевания небольшой стеклянной рубашки  $A_2$ ; в период вакуумирования рубашка  $A_2$  заменяется трубчатой нихромовой печкой *П*.

В верхней части прибора имеется трехходовой кран, который позволяет соединять прибор с вакуумной магистралью или с ампулкой, наполненной сорбируемой жидкостью (например метиловым или этиловым спиртом, водой и т. п.). Внутри нетермостатированных трубок вставлены стеклянные вкладыши, назначение которых — уменьшить объем нетермостатированного пространства.

При градуировке прибора определение объемов в левом колене удобно производить до присоединения его к вакуумной магистральной. Объемы  $V_1$  и  $V_2$  определяются по выливанию ртути при помощи дребезельной склянки, присоединенной к водоструйному насосу. Последней операции должно предшествовать хорошее вакуумирование всей аппаратуры с последующим заполнением всего прибора ртутью (включая и ампулку для сорбента).



Техника сорбционных измерений достаточно проста. Перед началом опыта весь прибор, включая и ампулку с сорбентом, тщательно вакуумируем. Далее, поворачивая краны, разобщаем объемы  $V_1$  и  $V_2$ ; в первый из них вводим некоторое количество пара. Подводя ртуть в правом колене до соприкосновения с шипом (при этом вспыхивает неоновая лампочка), измеряем давление пара  $P$ . Затем следующим поворотом крана объемы  $V_1$  и  $V_2$  соединяем, при этом часть пара идет на наполнение ампулки  $V_2$ , а часть поглощается сорбентом. Вновь подводя ртуть к шипу, измеряем равновесное давление паров  $P$ . Пользуясь газовыми законами, можно вычислить дефицит пара, обусловленный поглощением сорбентом:

$$P_1 V_1 = P_2 (V_1 + V_2 + V_{\text{адс.}}). \quad (1)$$

Несмотря на свою простоту, прибор обеспечивает высокую точность и надежность сорбционных измерений. Это достигается благодаря следующим усовершенствованиям: 1) отсутствию капиллярных коммуникаций; 2) сокращению до минимума нетермостатированного объема; 3) сокращению ошибки на неточность градуировки прибора ( $V_1$  и  $V_2$ ); 4) повышению точности измерения давления благодаря применению электрического контакта; 5) минимальному количеству кранов в приборе.

О степени точности можно судить по тому, что нами были получены воспроизводимые изотермы сорбции паров этилового спирта стенками порожней ампулки. Прибор весьма удобен в эксплуатации, и время для проведения опыта значительно сокращается по следующим обстоятельствам: 1) быстрое вакуумирование благодаря коротким и широким коммуникациям; 2) по той же причине быстро устанавливается сорбционное равновесие; 3) запирающий штифт позволяет быстро производить подъем и опускание ртути.

### Выбор оптимальных размеров спирали для сорбционных весов

Для измерения сорбции весовым методом используются сорбционные весы, одной из существенных деталей которых является спираль из тонкой кварцевой нити. Схема сорбционных весов представлена на фиг. 2; назначение отдельных деталей не нуждается в особых пояснениях. От выбора размеров кварцевой спирали зависит точность взвешивания. Обычно при выборе размеров спирали пользуются «эмпирическими соображениями». Однако нам не известны какие-либо эксперименты или расчеты, выполненные в этом направлении. Остается открытым вопрос: выгодно ли пользоваться для изготовления спиралей весьма тонкими кварцевыми нитями? Грузоподъемность весов, изготовленных из очень тонких нитей, будет ничтожно мала и, следовательно, на такие весы не удастся повесить ощутимой навески.

Легко убедиться, что качество спирали для взвешивания определяется произведением грузоподъемности\* на чувствительность\*\*; эта величина и будет характеризовать собой точность взвешивания\*\*\*. Таким образом, чтобы прийти к заключению, какая из двух спиралей лучше (т. е. точнее) проявит себя в работе, нужно вычислить для каждой из них грузоподъемность и чувствительность, а затем эти величины перемножить; спираль, для которой это произведение окажется большим, — выгоднее в работе. Если спираль  $A$  вдвое чувствительнее  $B$ , но грузоподъемность первой вдвое меньше второй, то, очевидно, для целей взвешивания обе спирали будут равноценны с той только существенной разницей, что спираль

\* Под грузоподъемностью следует понимать предельную нагрузку на спираль, при которой еще сохраняется линейная зависимость удлинения от нагрузки.

\*\* Под чувствительностью следует понимать удлинение спирали в миллиметрах, вызванное нагрузкой в 1 г.

\*\*\* Под точностью взвешивания следует понимать отношение абсолютной погрешности к весу навески, выраженное в процентах

А легче случайно сломать вследствие того, что она приготовлена из более тонкой нити.

При изготовлении спирали следует стремиться к тому, чтобы число витков было максимальным, так как это способствует повышению чувствительности без снижения грузоподъемности. Обычно число витков ограничивается длиной нити, а последняя часто определяется размахом рук кварцедува. Практически нет необходимости получать очень длинные нити: отдельные спирали можно последовательно подвешивать на крючках.

Из курса сопротивления материалов [5] известно, что удлинение спирали связано с ее размерами соотношением:

$$\frac{\lambda}{P} = \frac{4R^3n}{Gr^4} \quad (2)$$

где  $\lambda$  — удлинение спирали в мм;  $P$  — нагрузка в г;  $\frac{\lambda}{P}$  — чувствительность спирали в мм/г;  $R$  — радиус витка спирали;  $r$  — радиус нити;  $n$  — число витков, в условиях нашей задачи принимаем за 10;  $G$  — модуль сдвига для кварца, по собственным определениям равен  $0,24 \cdot 10^7$  г/мм<sup>2</sup>. Допустимая максимальная нагрузка на спираль, в пределах которой удлинение пропорционально нагрузке, связана с размерами соотношением:

$$P_{\max} = \frac{\pi \sigma r^3}{2R} \quad (3)$$

где  $P_{\max}$  — максимально допустимая нагрузка (грузоподъемность) на спираль в г;  $\sigma$  — допустимая нагрузка на сдвиг для кварца, по собственным измерениям, равная  $0,265 \cdot 10^4$  г/мм<sup>2</sup>.

Величины  $G$  и  $\sigma$  были найдены как среднее трех испытаний кварцевых спиралей. Величина  $G$  находилась подстановкой в формулу (2) значений  $R$ ,  $r$ ,  $n$  (полученных путем промера испытуемых пружиннок); значения  $\lambda$  и  $P$  заимствовались из градуировочных кривых \*. Величина  $\sigma$  находилась подстановкой в формулу (3) значений  $R$ ,  $r$ ;  $P_{\max}$  заимствовалась также из градуировочных кривых.

Пользуясь соотношениями (2) и (3), нами были вычислены чувствительность и грузоподъемность для кварцевых спиралей различных размеров, состоящих из 10 витков. Данные сведены в таблицу, в которой на пересечениях  $R$  и  $r$  помещены:

Множимое — чувствительность спирали в мм/г

Множитель — грузоподъемность в г

Произведение характеризует собою точность взвешивания

Например спираль с радиусом витка  $R = 8$  мм и радиусом нити  $r = 0,1$  мм обладает чувствительностью в 85 мм/г; грузоподъемность ее равна 0,334 г, а произведение этих величин, характеризующее качество спирали, составляет 28,3 мм. Из таблицы видно, что другая спираль, для которой  $R = 50$  и  $r = 0,2$ , обладает чувствительностью в 1300 мм/г, грузоподъемность ее составляет 0,668 г. В общем же взвешивание при помощи второй спирали при прочих равных условиях обеспечит точность в 30,7 раза выше, чем для первой.

Таким образом, аналитическое исследование показывает, что повышение точности взвешивания может быть достигнуто не столько сокращением толщины нити, сколько увеличением радиуса витка спирали. В заключение была проделана опытная проверка приведенных расчетов для спиралей различных размеров, сделанных из стекла. Эта опытная проверка полностью подтвердила вывод о том, что для целей взвешивания целесообразно пользоваться тонкими спиралями с большим радиусом витка.

\* В тексте градуировочные кривые спиралей, т. е. кривые  $\lambda = f(P)$ , не приводятся.

Таблица 1

мм → ↓	R = 6		R = 8		R = 10		R = 12		R = 14		R = 20		R = 50	
	R <sup>3</sup> = 216		R <sup>3</sup> = 512		R <sup>3</sup> = 1000		R <sup>3</sup> = 1728		R <sup>3</sup> = 2444		R <sup>3</sup> = 8000		R <sup>3</sup> = 125 000	
r = 1	0,0036 × 250 = 0,9		0,0085 × 334 = 2,83		0,0166 × 416 = 6,9		0,0284 × 346 = 9,8		0,0405 × 296 = 12		0,133 × 208 = 27,7		208 × 83,2 = 173	
r = 0,5	0,057 × 32,3 = 1,84		0,136 × 41,5 = 5,65		0,265 × 52,0 = 13,8		0,459 × 43,5 = 20		0,645 × 37 = 23,8		2,42 × 26 = 54,8		33,2 × 10,4 = 346	
r = 0,2	2,25 × 2,0 = 4,5		5,33 × 2,67 = 14,3		10,4 × 3,34 = 34,6		18,0 × 2,77 = 50		25,4 × 2,37 = 60		83 × 1,67 = 138		1300 × 0,668 = 870	
r = 0,1	36 × 0,25 = 9,0		85 × 0,334 = 28,3		166 × 0,416 = 69,0		284 × 0,346 = 98		405 × 0,296 = 120		1330 × 0,208 = 277		20 700 × 0,0832 = 1730	
r = 0,05	572 × 0,0323 = 18,4		1360 × 0,0415 = 56,5		2650 × 0,052 = 138		4590 × 0,0435 = 200		6450 × 0,037 = 238		21 200 × 0,026 = 548		332 000 × 0,0104 = 3460	
r = 0,02	22 500 × 0,002 = 45,0		53 300 × 0,00267 = 143		104 000 × 0,00334 = 346		180 000 × 0,00277 = 500		254 000 × 0,00237 = 600		830 000 × 0,00167 = 1380		43 000 000 × 0,000668 = 8700	

Условные обозначения: множимое — чувствительность пружинки в мм/г; множитель — грузоподъемность в г.

$$P_{\max} = \frac{\pi \sigma r^3}{2R} ; \frac{\lambda}{P} = \frac{4R^3 n}{Gr^4}$$

$$G = 0,24 \cdot 10^7 \text{ г/мм}^2; \sigma = 0,265 \cdot 10^4 \text{ г/мм}^2, n = 10 \text{ витков}$$



Таким образом, правильный выбор размеров кварцевой спирали при изготовлении весов может в несколько раз повысить точность взвешивания, что чрезвычайно важно для изучения сорбционных процессов.

### ВЫВОДЫ

1. Дано описание прибора для измерения сорбции объемным путем. Прибор прост в изготовлении и обеспечивает высокую точность сорбционных измерений.

2. Произведен расчет оптимальных размеров кварцевой спирали для сорбционных весов, который показал, что повышение точности взвешивания может быть достигнуто не столько сокращением толщины нити, сколько увеличением радиуса витка спирали.

Институт химии силикатов  
Академии наук СССР

Поступило  
23.I.1953

### ЛИТЕРАТУРА

1. Н. Н. Авгуль, О. М. Джигит, А. В. Киселев и К. Д. Щербакова, Ж. физ. хим. 26, 7, 977 (1952).
2. Б. П. Беринг и В. В. Серпинский, Ж. физ. хим. 22, 1058 (1948).
3. С. Брунауер, Адсорбция газов и паров, 1, Госиниздат, М., 1948.
4. С. Дэшман, Научные основы вакуумной техники, перев. с англ. 1950, стр. 144, Изд. ин. лит., М. 1950.
5. М. Н. Беляев, Сопротивление материалов, Гостехтеоретиздат, М.—Л. 1951.

И. С. КАНЦЕПОЛЬСКИЙ

## ГИДРОТЕХНИЧЕСКИЕ ЦЕМЕНТЫ В РЕСПУБЛИКАХ СРЕДНЕЙ АЗИИ \*

Решения XIX съезда партии налагают на работников силикатной промышленности и научных работников ответственные и почетные задачи.

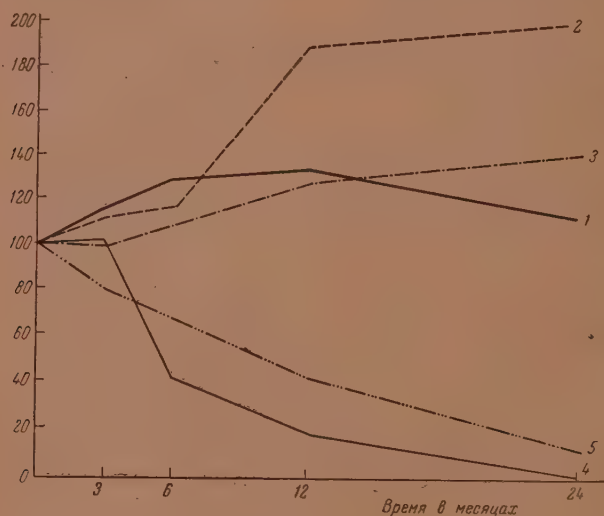
Коллектив лаборатории химии силикатов Института химии Академии наук Узб. ССР в течение ряда лет занимается изучением местного минерального сырья с целью получения водостойких и сульфатостойких цемента. Известно, что способность многих вяжущих веществ отвердевать в воде основана на образовании мало растворимых гидросиликатов и гидроалюминатов кальция. Из всех известных вяжущих веществ эта способность к гидравлическому отверждению наиболее ярко выражена у глиноземистого цемента. Второе место принадлежит портландцементу. Современная химия и технология позволяют получить цемент с прочностью, приближающейся к такому естественному камню, как мрамор; но, улучшая механическую прочность цемента, мы все больше и резче обнажаем его слабые стороны, которые заложены в самом существе процесса отверждения цемента. Цемент состоит в основном из:  $3\text{CaO} \cdot \text{SiO}_2$ ,  $2\text{CaO} \cdot \text{SiO}_2$ ,  $3\text{CaO} \cdot \text{Al}_2\text{O}_3$  и  $4\text{CaO} \cdot \text{Al}_2\text{O}_3 \cdot \text{Fe}_2\text{O}_3$ . В результате обстоятельных исследований процессов гидролиза, гидратации и твердения отдельных клинкерных минералов и цемента установлено, что основной минерал цементного клинкера, обуславливающий гидравлическое отверждение цемента, трехкальциевый силикат при действии ограниченного количества воды, необходимого для получения пластичного теста, подвергается гидролизу с образованием менее основного гидрогеля ортосиликата кальция и выделением свободной извести. Двухкальциевый силикат гидратируется очень медленно и образует гидрогель ортосиликата кальция. Трехкальциевый алюминат гидратируется в четырехкальциевый гидроалюминат.

Вопрос о гидролизе и гидратации  $4\text{CaO} \cdot \text{Al}_2\text{O}_3 \cdot \text{Fe}_2\text{O}_3$  остается открытым. Таким образом, из всех минералов цементного клинкера подвергается гидролизу с выделением свободной извести  $3\text{CaO} \cdot \text{SiO}_2$ . Содержание  $3\text{CaO} \cdot \text{SiO}_2$  в современном цементе доходит до 70%. Поэтому в длительно гидратированном цементе накапливается много извести — до 15%. Образование кристаллического сростка гидроокиси кальция в условиях, исключающих его растворение, служит положительным фактором в отверждении цемента; но при действии больших количеств воды, так, как это имеет место в гидротехнических сооружениях, известь выщелачивается тем быстрее, чем менее плотен бетон. Выщелачивание свободной извести приводит к гидролизу остальных продуктов отверждения цементных растворов и бетонов. Однако в пресной воде разрушение гидротехнических сооружений совершается медленно, исключительно благодаря образованию защитной пленки карбоната кальция, которая замедляет диффузию воды через наружную поверхность, но совершенно предотвратить выщелачивание извести защитная корка не

\* Доклад на Объединенной сессии Отделения химических наук АН СССР и Академии наук Узбекской ССР, 25.X.1952 г., Ташкент.

может, так как ее толщина даже после продолжительного твердения достигает всего лишь 5—10 мм.

В своем классическом труде о гидравлических цементах Байков [1] указывает, что гидравлические цементы могут дать устойчивые в природных условиях системы только в том случае, если значительная часть извести в них успевает перейти в карбонат кальция раньше, чем произойдет выщелачивание извести как свободной, так и связанной в виде силикатов и алюминатов. Поэтому Байков приходит к заключению, что гидротехнические сооружения из портландцемента неизбежно должны разрушаться вследствие выщелачивания извести. Если в пресных водах благодаря созданию плотного бетона, что связано с большим расходом цемента, гидротехнические сооружения на портландцементе все же сохраняются в течение многих десятилетий, то в минерализованных сернокислых водах процесс разрушения совершается довольно быстро. При действии сульфатов из четырехкальцевого гидроалюмината образуется сульфоалюминат кальция. Кристаллы сульфоалюмината кальция, образующиеся при соединении к исходной твердой фазе 3 мол. гипса и 31 мол. воды, занимают значительно больший объем, чем  $4\text{CaO} \cdot \text{Al}_2\text{O}_3 \cdot \text{aq}$ . Возникают напряжения, приводящие к разрушению гидратированного цемента.



Изменение прочности портландцемента при твердении в различных средах в процентах от прочности цемента 28-дневного возраста, принятой за 100: 1 — в воде; 2 — влажное пространство; 3 — на воздухе; 4 — в 5%-ном растворе  $\text{Na}_2\text{SO}_4$ ; 5 — в бухарской воде

Изложенные в общих чертах теоретические представления о процессе твердения портландцемента подтверждаются поведением его в разных средах (см. фигуру). Наилучшим образом твердеет цемент в атмосфере, насыщенной парами воды, так как в этой среде создаются наиболее благоприятные условия для гидратации цемента. Прирост прочности от 28 дней до 2 лет составляет 100% (кривая 2). Несмотря на исключительно суровые условия, которые мы специально создали для твердения цемента на воздухе (образцы были перенесены на воздух после предварительного твердения во влажном пространстве всего лишь одни сутки), образцы обнаруживают плавный рост прочности, тогда как рост прочности образцов водного хранения к 6 месяцам приостанавливается. В 5%-ном растворе



$\text{Na}_2\text{SO}_4$  цемент уже к 6 месяцам теряет 65% своей прочности и к 2 годам превращается в бесформенную массу (кривая 5). В сульфатном растворе, близком по составу к агрессивным подпочвенным водам Бухары, цемент с течением времени неуклонно понижает свою прочность и к 2 годам практически разрушается. Таким образом, портландцемент, являясь весьма эффективным вяжущим материалом в надземном строительстве, не может быть рационально использован в гидротехническом строительстве и совершенно не применим в минерализованных сернокислых водах.

Чтобы получить качественные водостойкие и сульфатостойчивые цементы, необходимо идти по пути, проложенному старшим поколением советских ученых: Байковым [1], Дружининым [2], Киндом [3], Юнгом [4] и Будниковым [5]. Этот путь сводится к связыванию свободной извести активным кремнеземом в мало растворимый гидросиликат кальция. Как установлено многочисленными исследованиями, состав гидросиликата кальция находится в зависимости от pH раствора и при достаточном количестве активного кремнезема образуется метасиликат кальция, предельная концентрация  $\text{CaO}$  у которого при  $30^\circ$  составляет 0,052 г на 1 л. Таким образом, растворимость извести в присутствии активного кремнезема уменьшается почти в 30 раз.

Поэтому, как указывает Байков, карбонизация извести в присутствии достаточного количества активного кремнезема совершается ранее его растворения. Кстати, следует отметить, что замечательная идея Байкова о том, что процесс твердения гидравлических цементов сводится к образованию карбоната кальция, была впервые экспериментально подтверждена научным сотрудником нашей лаборатории Мякинченко [6] на глинистом цементе. Установлено, что в конечном итоге гидравлическое отверждение глинистого цемента действительно сводится к образованию карбоната кальция. В присутствии достаточного количества активного кремнезема устраняется также сульфатная агрессия портландцемента. Хотя введением гидродобавок возможность образования сульфатоалюмината кальция не устраняется, но в присутствии достаточного количества аморфного кремнезема его образование не приводит к разрушению гидратированного цемента. Юнг [7] объясняет это тем, что образующийся в этих условиях через жидкую фазу сульфатоалюминат кальция отлагается в порах цемента, не нарушая его структуры. Такое объяснение часто наталкивается на большие затруднения.

Многочисленные исследования нашей лаборатории показывают, что содержание свободной извести в образцах, погружаемых в сульфатные среды, доходит до 7%. При таком большом содержании свободной извести четырехкальциевый гидроалюминат не может подвергаться гидролизу. Мы считаем, что механизм образования сульфатоалюмината кальция в цементе с гидродобавками такой же, как и в цементе без гидродобавок. Образование сульфатоалюмината кальция в этих цементах происходит через твердую фазу непосредственным присоединением сульфата кальция к нерастворимому четырехкальциевому алюминату.

Сульфатостойкость цемента в присутствии достаточного количества активного кремнезема мы объясняем благоприятными условиями кристаллизации сульфатоалюмината кальция в эластичной среде, богатой коллоидными образованиями.

Благодаря обширным исследованиям советских ученых у нас в Союзе, начиная с 1930 г., налажено производство нового гидротехнического цемента под названием пудцоланового портландцемента. Гидротехнический цемент получается введением гидравлических добавок к портландцементному клинкеру перед его помолотом. Наиболее широкое применение получили пудцолановые портландцементы с добавками трепела, содержащего много активного кремнезема. Большой опыт массового производства и многообразного применения этого цемента в строительстве, а также богатый экспериментальный материал, накопленный в научно-исследователь-

ских институтах, позволили отчетливо установить достоинства и недостатки пуццоланового портландцемента. Имея значительные преимущества перед портландцементом в отношении водостойкости и сульфатостойкости, пуццолановые цементы имеют ряд недостатков. Пуццолановые цементы, вследствие медленного взаимодействия активного кремнезема с известью и большой водопотребности, твердеют медленнее, чем портландцементы. Кроме того, пуццолановые цементы менее стойки, чем портландцемент при переменном воздействии воды и мороза.

Поэтому секция строительных материалов Комитета содействия строительству гидроэлектростанций, каналов и оросительных систем при Президиуме Академии наук СССР, под председательством Будникова, рекомендует применять для гидротехнического бетона три вида цемента, в зависимости от условий твердения бетона и железобетона в сооружениях. Для бетонов и железобетонов, подверженных систематическому воздействию воды и мороза, предлагается цемент без гидродобавок с содержанием  $C_3A$  не выше 5%. Для внутренней части массивного бетона и железобетона предлагается пуццолановый портландцемент. Содержание  $C_3A$  в исходном цементе должно быть не выше 7%. Для бетонов и железобетонов, находящихся во внешних частях сооружения, предлагается цемент с содержанием  $C_3A$  до 8%. Количество гидродобавок допускается до 10%. Таково в общих чертах состояние вопроса по гидротехническим цементам.

Республики Средней Азии испытывают острую нужду в сульфатостойких цементах, что объясняется большой минерализацией подпочвенных вод ряда районов. Учитывая большую актуальность этого вопроса, лаборатория химии силикатов, как уже указывалось, в течение ряда лет занимается изучением местного минерального сырья с целью получения водостойких и сульфатостойких цемента.

Наиболее реальными добавками для пуццоланизации портландцемента в республиках Средней Азии являются естественно обожженные глины. К этим глинам привилось введенное геологом Цыбышевым название «глиежи». Глиежи получились в результате подземных пожаров углей и обнаружены в Средней Азии во всех районах залегания каменного угля. Наиболее подробно изучены глиежи Кзыл-Кийского месторождения [8]. По своему химическому и минералогическому составу глиежи довольно однородны и представляют собой обожженные каолиновые глины, в значительной мере запесоченные. Так как вопрос о применении глиниста для получения сульфатостойкого цемента оставался неразрешенным, то вопросу влияния глиежа на сульфатостойкость цемента нами уделялось особое внимание.

В результате исследований положительно решен оставшийся долгое время спорным вопрос о влиянии глиниста на сульфатостойкость цемента. Доказана возможность получения сульфатостойких цемента на основе глиниста двумя методами [9]: первый метод — получение сульфатостойких цемента введением в портландцемент глиниста, полученного обжигом каолиновых глин при полной дегидратации каолинита ( $600-800^\circ$ ).

В этом случае, как установил старший научный сотрудник нашей лаборатории Таппулатов [10], получают сульфатостойкие пуццолановые портландцементы при обычных дозировках цемента и гидродобавок (60% цемента + 40% глиниста). Хотя наш общепризнанный специалист по цементам Юнг [7] относится скептически к возможности получения сульфатостойких пуццолановых портландцементов на основе глиниста, мы считаем, что научно-обоснованные факты пробуют себе дорогу и глинистпортландцемент, разработанный Таппулатовым, найдет широкое применение в минерализованных сернокислых водах.

Второй метод, разработанный автором совместно с Газкиной и Мякинченко, сводится к введению в портландцемент глиниста, полученного обжигом каолиновых глин при температуре перехода глинозема из аморфного состояния в кристаллическое ( $900-1000^\circ$ ). Этот метод как наиболее

присмлемый для глиежей и явился основой для организации производства пуццоланового портландцемента на цементных заводах республики. Предельным содержанием активного глинозема в глиеже является 3,5%. Глиеж с таким содержанием активного глинозема повышает сульфатостойкость цемента пропорционально добавке. Наилучшим соотношением цемента и глиежа в отношении сульфатостойкости является 30% портландцемента и 70% глиежа, так как только при таком соотношении цемента и глиежа вся известь, выделяющаяся при твердении цемента, связывается глиежом.

По способности придавать извести свойства отвердевать в воде глиеж является активной гидравлической добавкой и уступает брянскому трепелу только в интенсивности проявления этих свойств. Введением глиежа до 30% мы значительно улучшили водостойкость и сульфатостойкость цемента.

Многолетние исследования свойств глиежа и глиежпортландцемента, опыт его массового производства и многообразного применения в строительстве показывают, что глиеж — ценная и надежная гидравлическая добавка. За счет применения глиежей цементные заводы республики выпускают ежегодно дополнительно десятки тысяч тонн доброкачественного цемента.

Вопрос о получении высококачественных, водостойких, сульфатостойчивых, морозо- и атмосфероустойчивых и низкотермичных цементов приобретает народнохозяйственное значение. Над разрешением этой проблемы работает ряд научно-исследовательских институтов нашей страны. В разрешение этой почетной задачи включилась и наша лаборатория. Мы поставили перед собой задачу повысить сульфатостойкость цемента и пуццоланового портландцемента путем изменения минералогического состава цементного клинкера. С этой целью научный сотрудник нашей лаборатории Жабицкий синтезировал из карбоната кальция, силикагеля, глинозема и окиси железа ряд цементов, отличающихся по минералогическому составу. Сульфатостойкость изучалась в соответствии с требованием технических условий на гидротехнический бетон (ГОСТ 4798—49).

Сущность метода заключается в установлении предела прочности при изгибе образцов из исследуемого цемента, твердеющих как в агрессивных растворах, так и в питьевой воде. Количественной характеристикой устойчивости является коэффициент стойкости цемента в данной среде —  $K_{C_6}$ , представляющий собой отношение величины среднего предела прочности при изгибе призмочек из данного цемента после 6 месяцев твердения их в агрессивном растворе к величине среднего предела прочности при изгибе призмочек из того же цемента после шести месяцев твердения их в питьевой воде. Испытываемая вода — среда — считается агрессивной по отношению к бетону на данном цементе, если величина коэффициента стойкости цемента через 6 месяцев  $K_{C_6}$  не ниже 0,8. Образцы, предназначенные для испытания на сульфатостойкость, после предварительного твердения в течение 14 дней в воде переносились в наиболее характерный по своему агрессивному действию 3%-ный раствор сернокислого натрия. На каждый образец давалось 100 мл раствора. Раствор заменялся через каждые два месяца. Результаты исследований показывают, что портландцемент без гидродобавок в 3%-ном растворе сернокислого натрия разрушается. Коэффициент стойкости ниже 0,8. Особенно быстро разрушаются цементы с большим содержанием  $C_3A$ . Пуццолановые портландцементы, приготовленные на основе цементного клинкера с содержанием  $C_3A$  до 5%, испытание выдержали ( $K_{C_6}$  не ниже 0,8). Результаты лабораторных исследований были проверены в производственных условиях на одном из цементных заводов Узбекистана. Введением железных огарков в шихту мы получили 4 партии цемента измененного минералогического состава (табл. 1). Полученные цементы в производственных



условиях отвечают требованиям технических условий на высококачественные цементы. Приготовленные на основе цемента пуццолановые портландцементы с 30 и 50% глиежа имеют прочность на сжатие через 28 дней твердения в воде  $300\text{--}400\text{ кг/см}^2$  в трамбованных растворах и  $180\text{--}240\text{ кг/см}^2$  — в пластичных. Изучалось влияние добавок глиежа, дарбазинской опоки и брянского трепела на морозостойкость цемента; химсостав приводится в табл. 1 под названием Ф. Испытание производилось в пластичных растворах 1 : 3 с вольским песком. Температура в холодильной камере была —  $14\text{--}24^\circ$ .

Портландцемент без добавок и с добавками 15% глиежа обнаружил после 100 циклов замораживания большую морозостойкость. Цементы с добавками 15% опоки, 15% трепела, 30 и 50% глиежа после 100 циклов замораживания потеряли прочность от 10 до 27% (по отношению к прочности их близнецов, твердевших во влажных опилках). Резко отрицательное действие на морозостойкость оказывает дарбазинская опока. По своей морозостойкости цемент с 15% опоки равноценен пуццолановому портландцементу с 50% глиежа. Учитывая, что при установлении сульфатостойкости цемента в 3%-ном растворе  $\text{Na}_2\text{SO}_4$  по указанной методике все полученные в лабораторных условиях цементы, независимо от содержания  $\text{C}_3\text{A}$  и степени основности, разрушаются, для установления сульфатостойкости цемента, полученных в производственных условиях, мы, кроме 3%-ного раствора  $\text{Na}_2\text{SO}_4$ , применяли растворы солей, близкие по составу к подпочвенным водам ряда районов Средней Азии. Кроме того, цемент под названием высокоалитовый — аломоферритный ВФ — испытывался также в насыщенном растворе сульфата кальция и в растворе  $\text{Na}_2\text{SO}_4$  с содержанием ионов  $\text{SO}_4^{2-}$  до 8000 мг/л. Химический состав агрессивных вод дан в табл. 2.

Параллельно с установлением сульфатостойкости мы изучали кинетику накопления сульфата и сульфалоумината кальция при твердении цемента в агрессивных средах. Определялось также количество свободной извести в цементах, твердевших в воде и в агрессивных средах (табл. 3, 4, 5).

Если обратиться к кинетике образования сульфата и сульфалоумината кальция в цементах, твердевших в 3%-ном растворе  $\text{Na}_2\text{SO}_4$ , то бросается в глаза обильное накопление в них сульфата кальция. Несмотря на большое различие минералогического состава, количество сульфата кальция во всех пробах цемента почти одинаковое и доходит к шести месяцам до 30%.

Особенно интенсивно процесс образования сульфата кальция протекает в первые сроки нахождения цемента в 3%-ном растворе  $\text{Na}_2\text{SO}_4$ . Так, уже по истечении месяца количество сульфата кальция в цементах доходит до 22%, что составляет 70% от всего количества сульфата кальция, образовавшегося за 6 месяцев.

Судя по кинетике и количеству образовавшегося сульфата кальция в исследуемых цементах, можно было ожидать одинаковую устойчивость их в растворе сернокислого натрия. А между тем, устойчивость их в этом растворе разная и находится в прямой зависимости от интенсивности и количества образовавшегося сульфалоумината кальция. Наиболее интенсивно сульфалоуминат кальция образуется в цементе В, наиболее богатом трехкальциевым алюминатом. Содержание связанного сульфата кальция в виде сульфалоумината кальция после одного месяца пребывания в 3%-ном растворе  $\text{Na}_2\text{SO}_4$  доходит до 10%, достигая максимума к двум месяцам 14%, что составляет ~ 50% от всего накопившегося сульфата кальция в цементе. Этот цемент (табл. 6) уже по истечении одного месяца потерял 50% своей прочности. Коэффициент стойкости —  $K_{\text{C}}$  составляет лишь 0,52.

Содержание связанного сульфата кальция в виде сульфалоумината кальция в цементе ВФ с минимальным содержанием трехкальцевого

Таблица 1

Химический и минералогический состав цементов, полученных в производственных условиях

Наименование цемента	Химический состав в %										Минералогический состав (расчетный) в %												
	SiO <sub>2</sub>	Al <sub>2</sub> O <sub>3</sub>	Fe <sub>2</sub> O <sub>3</sub>	TiO <sub>2</sub>	CaO	MgO	SO <sub>3</sub>	П.П.П.	H <sub>2</sub> O при 105°	Σ	Свободный СаО					C <sub>3</sub> S	C <sub>2</sub> S	C <sub>3</sub> A	C <sub>4</sub> AF	C <sub>3</sub> A + C <sub>4</sub> AF	КН	SiO <sub>2</sub> / Al <sub>2</sub> O <sub>3</sub>	Al <sub>2</sub> O <sub>3</sub> / Fe <sub>2</sub> O <sub>3</sub>
Цемент ВФ	21,40	4,30	6,00	0,27	64,62	4,68	0,40	0,65	0,20	99,52	0,28	62	15	2	18	20	0,92	2,02	0,73				
Цемент Ф	22,35	5,31	5,81	—	63,90	4,62	0,61	0,18	0,23	100,01	0,08	44	31	4	18	22	0,84	2,01	0,91				
Цемент А	21,62	5,24	4,48	0,27	65,75	4,59	0,72	0,68	0,12	100,47	0,45	55	23	7	14	21	0,89	2,46	1,23				
Цемент В	21,79	4,75	2,94	0,29	67,15	4,71	0,02	0,53	0,27	99,45	0,22	70	9	8	9	17	0,95	2,74	1,68				

Таблица 2

Химический состав искусственно приготовленных агрессивных вод

Состав раствора	Раствор №										Раствор 3%-ный Na <sub>2</sub> SO <sub>4</sub>
	1	2	3	4	0,59%-ный Na <sub>2</sub> SO <sub>4</sub>	1,18%-ный Na <sub>2</sub> SO <sub>4</sub>	Раствор 1,18%-ный Na <sub>2</sub> SO <sub>4</sub>	Раствор 3%-ный Na <sub>2</sub> SO <sub>4</sub>	Раствор 3%-ный Na <sub>2</sub> SO <sub>4</sub>	Раствор 3%-ный Na <sub>2</sub> SO <sub>4</sub>	
Временная жесткость pH	30°	14°	—	—	—	—	—	—	—	—	—
Свободная CO <sub>2</sub> , мг/л	7	7	—	—	—	—	—	—	—	—	—
HCO <sub>3</sub> , мг/л	427	43	—	—	—	—	—	—	—	—	—
Ca <sup>++</sup> , мг/л	660	305,0	421	—	562	—	—	—	—	—	—
Mg <sup>++</sup> , мг/л	350	265,2	746	—	837	—	—	—	—	—	—
Cl <sup>-</sup> , мг/л	600	432,4	1 020	—	2 141	—	—	—	—	—	—
SO <sub>4</sub> <sup>==</sup> , мг/л	1 920	4695,0	5 489	—	7 462	—	—	—	—	—	—
Na <sup>+</sup> (по разности), мг/л	4 480	4382,4	4 388	—	2 738	—	—	—	—	—	—
Сумма ионов, мг/л	2 104	1318,3	9 064	—	13 740	—	—	—	—	—	—
Ca(HCO <sub>3</sub> ) <sub>2</sub> мг/л	40 114	5098,3	—	—	—	—	—	—	—	—	—
CaSO <sub>4</sub> мг/л	876	405	—	—	—	—	—	—	—	—	—
CaSO <sub>4</sub> мг/л	455	561	1 431	—	1 910	—	—	—	—	—	—
MgSO <sub>4</sub> мг/л	2 964	662	3 730	—	4 140	—	—	—	—	—	—
Na <sub>2</sub> SO <sub>4</sub> мг/л	2 655	675	2 222	—	4 160	—	—	—	—	—	—
NaCl, мг/л	3 164	2795	1 681	—	3 530	—	—	—	—	—	—
Сумма солей, мг/л	40 114	5098,3	9 064	—	13 740	—	—	—	—	—	—

Таблица 3

Анализ цементных образцов, твердевших в 3%-ном растворе  $\text{Na}_2\text{SO}_4$ 

(Результаты пересчитаны на выжущее и выражены в % на прокаленную нивеску)

Наименование цемента	Возраст месяцев	Свобод- ный СаО	СаSO <sub>4</sub>		
			общий	в гипсе	в сульфо- алюмини- ате
Цемент ВФ	1	2,49	17,96	11,06	6,90
»	2	0,85	20,53	13,27	7,26
»	3	Следы	26,52	18,13	8,39
»	6	»	29,37	21,28	8,09
Цемент ВФ с 30% глиежа	1	1,18	13,77	7,48	6,29
»	2	0,33	13,79	6,39	7,40
»	3	0	17,42	10,64	6,78
Цемент ВС с 50% глиежа	1	0,37	9,87	3,43	6,44
»	2	Следы	9,99	3,01	6,98
»	3	0	9,78	3,40	6,38
»	6	0	9,53	4,52	5,01
Цемент А	1	2,25	22,51	14,53	7,98
»	2	0,40	22,96	18,41	8,55
»	3	Следы	31,53	22,93	8,60
»	6	»	30,72	20,19	10,53
Цемент А с 30% глиежа	1	0,46	13,39	6,92	6,47
»	2	Следы	14,53	6,68	7,85
»	3	»	15,93	8,59	7,34
»	6	»	15,75	8,46	7,29
Цемент А с 50% глиежа	1	0,26	9,35	3,72	5,63
»	2	Следы	8,95	2,74	6,21
»	3	»	9,91	3,86	6,05
»	6	»	6,60	2,58	4,02
Цемент В	1	3,05	19,00	9,15	9,85
»	2	1,37	27,45	13,48	13,97
»	3	1,23	28,00	16,48	11,52
»	6	0,24	30,46	20,25	10,21
Цемент В с 50% глиежа	1	0,42	13,08	6,42	6,66
»	2	0,55	11,05	2,96	8,09
»	3	0,44	10,69	2,58	8,11
»	6	0,11	10,71	3,07	7,64
Пудцлавовый портландцемент с трепелом	1	1,20	13,50	6,15	7,35
»	2	0,77	14,40	7,16	7,24
»	3	0,37	13,75	6,53	7,22
»	6	0,10	15,31	6,81	8,50

алюмината по истечении одного месяца составляет 7%, достигая максимума через три месяца 8%, а это составляет только 27% от всего количества сульфата кальция, накопившегося в цементе за шесть месяцев. Прочность этого цемента в течение двухмесячного пребывания в 3%-ном растворе  $\text{Na}_2\text{SO}_4$  почти такая же, как и в воде.  $\text{КС}_1$  и  $\text{КС}_2$  составляют 0,93 и 0,91. Резкое падение прочности наступает только от двух до трех месяцев.  $\text{КС}_3$  оставляет 0,47, составляя на этом уровне и по истечении 6 месяцев.

Таким образом, несмотря на одинаковое накопление сульфата кальция в исследуемых цементах, интенсивность превращения его в сульфоалюминат кальция находится в зависимости от процентного содержания трехкальцевого алюмината и четырехкальцевого алюмоферрита в цементах. При одинаковом содержании глинозема и сульфата кальция количество сульфоалюмината кальция в цементе В почти вдвое больше, чем в цементе ВФ. Итак, можно считать установленным, что и при большом накоплении сульфата кальция в алюмоферритном цементе процесс превращения его в гидросульфоалюминат кальция протекает очень медленно и это сказывается положительно на его сульфатостойкости.

Таблица 4

## Анализ цементных образцов, твердевших в агрессивном растворе № 1

(Результаты пересчитаны на вяжущее и выражены в % на прокаленную навеску)

Наименование цемента	Возраст (в месяцах)	Свободный СаО	СаSO <sub>4</sub>		
			общий	в гипсе	в сульфатоалюминате
Цемент ВФ	1	2,95	7,17	2,14	5,03
»	2	2,13	7,33	2,24	5,09
»	3	Следы	7,94	3,16	4,78
»	6	0	8,36	3,47	4,89
Цемент ВФ с 30% глиежа	1	1,33	6,10	1,46	4,64
»	2	0,58	6,05	1,42	4,63
»	3	0,14	6,55	2,07	4,48
»	6	0	7,25	2,68	4,57
Цемент ВФ с 50% глиежа	1	0,24	6,82	2,01	4,81
»	2	0	7,33	1,82	5,51
»	3	0	8,48	3,11	5,37
»	6	0	9,87	4,67	5,20
Цемент А	1	3,45	9,92	4,06	5,86
»	2	—	12,56	5,54	7,02
»	3	1,26	12,51	5,90	6,61
»	6	—	13,81	6,83	6,98
Цемент А с 30% глиежа	1	0,38	8,76	3,09	5,67
»	2	0,29	9,43	3,26	6,17
»	3	Следы	11,31	4,55	6,76
»	6	»	11,20	4,61	6,59
Цемент А с 50% глиежа	1	0,11	6,76	1,34	5,42
»	2	Следы	7,07	1,54	5,53
»	3	0	9,16	3,50	5,66
»	6	0	8,13	2,14	5,99
Цемент В	1	3,11	8,74	3,07	5,67
»	2	—	11,99	4,54	7,45
»	3	1,60	12,51	4,37	8,14
»	6	0,16	14,75	4,32	10,43
Цемент В с 50% глиежа	1	—	8,00	2,92	5,08
»	2	—	9,35	3,01	6,34
»	3	0,37	9,95	3,42	6,53
»	6	Следы	10,95	4,09	6,86
Пуццолановый портландцемент с трепелом	1	0,65	8,18	2,85	5,33
»	2	Следы	9,33	3,33	6,00
»	3	»	8,90	3,20	5,70
»	6	0	11,59	4,52	7,07

Преимущество алиоферритного цемента перед обычным цементом особенно наглядно выявляется при твердении в маломagneзиальных растворах сульфатов с содержанием ионов  $\text{SO}_4^{--}$  до 4480 мг на 1 л. Процесс образования сульфата и сульфатоалюмината кальция в течение первого месяца твердения в растворе № 1 протекает с одинаковой скоростью. Однако в более поздние сроки — от одного до шести месяцев — картина резко меняется. Так, в цементе В количество сульфата кальция с течением времени непрерывно возрастает и в шестимесячном возрасте доходит до 15%, из которых в виде сульфатоалюмината — 70%, тогда как в цементе ВФ количество сульфата кальция составляет 8,4% против 7,2% в месячном возрасте, в том числе в виде сульфатоалюмината кальция 5%, что составляет 60% от всего сульфата кальция.

Таким образом, твердение цемента с содержанием 8% трехкальциевого алюмината в маломagneзиальных сульфатных растворах сопровождается неуклонным образованием сульфатоалюмината кальция. В образцах шестимесячного твердения количество сульфатоалюмината доходит до 30%. Такое большое количество сульфатоалюмината кальция неминуемо



Таблица 5

## Анализ цементных образцов, твердевших в агрессивном растворе № 2

(Результаты пересчитаны на вяжущее и выражены в % на прокаленную навеску)

Наименование цемента	Возраст (в месяцах)	Свободный СаО	СаSO <sub>4</sub>		
			общий	в гипсе	в сульфате алюмината
Цемент ВФ	1	2,42	7,49	1,32	6,17
»	2	0,79	6,55	0,43	6,12
»	3	—	8,35	2,02	6,33
»	6	—	9,07	2,68	6,39
Цемент ВФ с 30 % глиежа	1	1,35	6,27	1,00	5,27
»	2	—	7,92	1,82	6,10
»	3	—	7,04	2,12	4,92
»	6	—	7,97	2,75	5,22
Цемент ВФ с 50% глиежа	1	—	5,30	1,80	3,50
»	2	—	5,66	1,02	4,64
»	3	—	5,72	2,51	3,21
»	6	—	6,06	1,59	4,47
Цемент А	1	—	7,39	2,17	5,22
»	2	—	8,21	1,75	6,46
»	3	—	7,88	2,04	5,85
»	6	—	12,45	4,61	7,84
Цемент А с 30% глиежа	1	—	6,21	1,26	4,95
»	2	—	6,00	1,05	4,95
»	3	0,11	7,51	2,23	5,28
»	6	0	7,80	2,38	5,42
Цемент А с 50% глиежа	1	—	5,90	1,52	4,38
»	2	—	5,70	0,78	4,92
»	3	—	—	—	—
»	6	—	5,66	1,53	4,13
Цемент В	1	2,43	6,50	1,16	5,34
»	2	—	—	—	—
»	3	2,27	8,82	1,41	7,41
»	6	0	9,58	2,94	6,64
Цемент В с 50% глиежа	1	—	—	—	—
»	2	—	5,98	2,58	3,40
»	3	0,38	7,19	0,98	6,21
»	6	—	—	—	—
Щуцолоановый портландцемент с трепелом	1	1,43	4,59	0,93	3,66
»	2	—	—	—	—
»	3	0,72	6,37	0,97	5,40
»	6	—	6,88	1,37	5,51

приводит к разрушению цемента, что мы и наблюдаем. Снижение прочности начинается уже по истечении двух месяцев пребывания в растворе № 1 и к шести месяцам  $KC_6$  составляет 0,68.

В алюмоферритном цементе ВФ процесс образования сульфоалюмината кальция в маломagneзиальном растворе сульфата натрия происходит только в первые сроки, в основном за счет трехкальциевого алюмината, содержащегося в этом цементе. Этот цемент до 6 месяцев не подвергается агрессии в маломagneзиальных сульфатных средах с содержанием ионов  $SO_4^{--}$  до 5000 мг/л, а в чистых растворах сульфата кальция он обнаруживает устойчивость при содержании 8000 мг/л ионов  $SO_4^{--}$  (табл. 7). Согласно нормам агрессивности воды — среды для гидротехнического бетона (ГОСТ 4796—41) при содержании ионов  $SO_4^{--}$  выше 4000 мг/л вода считается агрессивной не только для портландцемента, но и для щуцолоановых портландцементов. Следовательно, можно считать установленным, что полученный нами в производственных условиях алюмоферритный цемент отвечает требованиям упомянутого стандарта на сульфатостойкий цемент.

Наконец, остановимся на кинетике накопления сульфата и сульфоалюмината кальция в пуццолановых портландцементе. Процесс накопления сульфата и сульфоалюмината кальция в пуццолановых портландцементе с достаточным количеством гидродобавки в 3%-ном растворе  $\text{Na}_2\text{SO}_4$  протекает только в первые сроки твердения в агрессивном растворе и к одному месяцу практически приостанавливается. К этому сроку общее содержание сульфата кальция в пуццолановых цементах составляет 10—15%, из которых в виде сульфоалюмината кальция 6—8%.

Следует отметить, что в пуццолановом портландцементе с трепелом накапливается больше сульфатов, чем в пуццолановом цементе с 50% глиежа, максимальное содержание сульфатов 13% достигается после месячного твердения в 3%-ном растворе  $\text{Na}_2\text{SO}_4$ . С течением времени не только не происходит большего накопления сульфата кальция, но, наоборот, даже несколько уменьшается за счет частичного его выщелачивания из образцов. Поэтому пуццолановые портландцементы, в отличие от портландцемента, обнаруживают хорошую устойчивость в растворах сульфата натрия, что мы в действительности наблюдаем. Так, рассматривая результаты испытаний цемента в 3%-ном растворе  $\text{Na}_2\text{SO}_4$ , видим, что пуццолановые цементы, приготовленные на цементах В и ВФ, приобретают требуемую техническими условиями сульфатостойкость при 50%-ной добавке глиежа. Пуццолановый цемент, приготовленный на цементе А, приобретает необходимую сульфатостойкость только в присутствии 60% глиежа.

В искусственно приготовленных маломagneзиальных растворах с содержанием  $\text{SO}_4^{--}$  до 5000 мг/л процесс накопления сульфата и сульфоалюмината кальция в пуццолановых портландцементе опять-таки происходит в основном в первые сроки твердения. В пуццолановых цементах, независимо от минералогического состава цементного клинкера, большая часть накопленного сульфата кальция находится в связанном состоянии в виде сульфоалюмината кальция. Максимальное количество сульфата кальция в виде сульфоалюмината составляет 8%, причем 3% из этого количества связывается в сульфоалюминат уже при схватывании цемента за счет вводимого сульфата кальция для регулирования сроков схватывания. Таким образом, за счет взаимодействия свободной извести с сульфатом натрия образуется дополнительно всего лишь 5% связанного  $\text{CaSO}_4$  в виде сульфоалюмината. Такое количество сульфоалюмината кальция в пуццолановом портландцементе не может отразиться отрицательно на устойчивости в маломagneзиальных растворах солей. Поэтому все изученные пуццолановые цементы не только с 50%, но и с 30% глиежа твердеют в маломagneзиальных растворах солей, близких по составу к подпочвенным водам ряда районов Средней Азии, так же, как в воде.

Основные результаты исследований могут быть коротко сформулированы следующим образом:

1. Цемент с содержанием до 5% трехкальциевого алюмината при общем содержании минералов-плавней до 22%, даже при коэффициенте насыщения 0,92, обнаруживает устойчивость в маломagneзиальных сульфатных растворах (содержание сернокислого магния до 3000 мг/л) с содержанием ионов  $\text{SO}_4^{--}$  до 5000 мг/л. Образование сульфата и сульфоалюмината кальция происходит только в первые сроки твердения и практически к одному месяцу заканчивается.

2. Добавка глиежа к цементу с малым содержанием трехкальциевого алюмината до 5% оказывает исключительно благотворное влияние на его сульфатостойкость. Эффективное действие сказывается уже при 15%-ной добавке глиежа. Такой цемент в смеси с 15% глиежа не подвергается агрессии в растворах маломagneзиальных сульфатов с содержанием ионов  $\text{SO}_4^{--}$  до 7000 мг/л.

3. Пуццолановый цемент с 30% глиежа, приготовленный на основе портландцемента с содержанием трехкальциевого алюмината до 8% при

Таблица 6

Сульфатостойкость цемента, полученных в производственных условиях, пуццолановых цементов, приготовленных на их основе с глиежем и пуццоланового цемента

Наименование и состав цемента	Предел прочности на изгиб раствора 1: 3,5 в кг/см <sup>2</sup>										в растворе Na <sub>2</sub> SO <sub>4</sub>																	
	в питьевой воде										в растворе № 1						в растворе № 2											
	Вода затворения в %										1 месца						12 месцев											
	остаток на сите 900 отв/см <sup>2</sup> прошло через сито 4900 отв/см <sup>2</sup>	15 дней	1 месца	2 месца	3 месца	6 месцев	9 месцев	12 месцев	1 месца	2 месца	3 месца	6 месцев	9 месцев	12 месцев	1 месца	2 месца	3 месца	6 месцев	9 месцев	12 месцев								
Цемент ВФ	0,5	95,2	8,9	26	30	33	38	33	35	33	34	36	45	42	40	41	33	31	30	32	32	35	28	30	18	16	16*	19*
Цемент ВФ с 30% глие- жа	0,4	95,5	8,5	26	34	35	40	44	41	47	38	48	60	55	50	55	36	49	44	47	42	48	39	41	50	27	25	17
Цемент ВФ с 50% глие- жа	0,4	95,0	8,1	21	34	37	41	42	46	47	37	49	48	53	51	55	30	45	41	47	56	49	36	44	43	35	22	20
Цемент А	0,5	95,9	9,6	25	34	36	38	42	42	41	34	32	33	32	36	36	34	28	26	25	33	36	20	25	22	18	16*	16*
Цемент А с 30% глиежа	0,4	95,3	9,3	24	37	38	41	46	42	40	37	47	44	54	52	54	33	36	39	42	36	40	35	37	41	33	24	27
Цемент А с 50% глиежа	0,4	94,9	8,2	20	30	33	34	38	39	36	37	42	41	48	48	47	31	36	41	42	40	38	32	40	51	49	25	17
Цемент В	0,1	96,3	9,6	31	29	32	37	38	44	35	31	25	29	26	22	20	27	30	29	29	29	33	15	14	14	18*	21*	18*
Цемент В с 50% глиежа	0,2	97,6	8,9	21	24	28	36	37	36	39	29	34	45	45	43	44	26	28	35	36	36	33	22	28	29	42	35	25
Пуццолановый портландцемент с брянским тре- пелом	0,4	93,9	10,7	22	27	29	31	41	45	40	36	35	46	48	48	49	29	35	33	35	37	34	36	32	36	43	36	31

\* Звездочки у цифр указывают на момент появления трещин на образцах.

общем содержании минералов-плавной до 20%, твердеет в сульфатных растворах, близких по составу к агрессивным под почвенным водам Средней Азии, так же, как в пресной воде.

4. Пуццолановый цемент с 50% глиежа, приготовленный на основе портландцемента с содержанием трехкальциевого алюмината до 5%, при общем содержании минералов-плавной до 21% с коэффициентом насыщения 0,80—0,92, приобретает устойчивость в 3%-ном растворе сернокислого натрия. Коэффициент стойкости —  $K_{CS}$  не ниже 0,80. Образование сульфата и сульфоалюмината кальция наблюдается только в первые сроки твердения до одного месяца. С течением времени этот процесс затухает.

Таким образом, доказана возможность получения на одном из цементных заводов республики целой серии специальных цементов, удовлетворяющих требованиям строителей Главного туркменского канала для разных зон канала.

Значительный интерес для получения гидротехнических цементов в республиках Средней Азии представляют местные лессовидные суглинки. Мы установили [11], что лессовидные суглинки, обожженные в температурном интервале 650—750°, приобретают свойства гидравлического вяжущего вещества. Гидравлические вяжущие свойства обуславливаются образованием при обжиге моноалюмината и  $\beta$ -ортосиликата кальция. Полученный цемент назван «лессовым цементом». Твердение его происходит с образованием гидрогеля моносиликата кальция и двухкальциевого гидроалюмината. По своей прочности он значительно выше лучших сортов роман-цемента. В растворах

Таблица 7

Сульфатостойкость цемента ВФ с добавкой 50% глиежа в различных средах

Наименование и состав цемента	Тонкость помола (в %)	Предел прочности на изгиб раствора 1 : 3,5 в кг/см <sup>2</sup>											
		в питьевой воде				в насыщенном растворе CaSO <sub>4</sub>				в растворе № 3			
		15 дней	1 месяц	3 месяца	6 месяцев	12 месяцев	1 месяц	3 месяца	6 месяцев	12 месяцев	1 месяц	3 месяца	6 месяцев
Цемент ВФ	остаток на сите 300 отб./см <sup>2</sup>	0,4	98	10	18	26	29	32	35	38	42	43	44
	прошло через сито 4900 отб./см <sup>2</sup>	0,2	96	11,7	20	23	28	35	42	49	54	57	58
Цемент ВФ с 50% глиежа	остаток на сите 300 отб./см <sup>2</sup>	0,2	96	11,7	20	23	28	35	42	49	54	57	58
	прошло через сито 4900 отб./см <sup>2</sup>	0,2	96	11,7	20	23	28	35	42	49	54	57	58
	в растворе 0,58% Na <sub>2</sub> SO <sub>4</sub> (4000 мг/л SO <sub>4</sub> <sup>2-</sup> )	1 месяц	26	28	31	34	1 месяц	26	28	31	1 месяц	26	28
	в растворе 1,48% Na <sub>2</sub> SO <sub>4</sub> (8000 мг/л SO <sub>4</sub> <sup>2-</sup> )	1 месяц	28	32	35	38	1 месяц	28	32	35	1 месяц	28	32



сульфатов лессовый цемент твердеет лучше, чем в пресной воде. Малая воздухоустойчивость лессового цемента, обуславливающаяся отрицательным влиянием углекислого газа воздуха, полностью устраняется добавками силикатцемента.

В результате лабораторных, полупроизводственных и производственных исследований [12] установлена возможность получения трех марок лессового цемента по прочности:

- 1 марка «250» с 50% портландцемента
- 2 марка «200» с 30% портландцемента
- 3 марка «100» с 10% портландцемента

Цементы марок «200» и «250» могут применяться наравне с пуццолановыми портландцементами в бетоне и железобетоне в гидротехническом строительстве; лессовый цемент с 10% портландцемента — для растворов. Лессовый цемент с 50% портландцемента апробирован в гидротехническом строительстве и зарекомендовал себя как качественный гидротехнический цемент.

К числу больших вопросов в области химии и технологии цементов, не получивших пока положительного разрешения, но имеющих большое практическое значение, относится магниезиальная агрессия цементов. В маломagneзиальных сульфатных растворах (до 1%) сульфатостойкие пуццолановые цементы не подвергаются агрессии, но в растворах большей концентрации они разрушаются даже быстрее, чем портландские цементы. Поэтому вопрос о получении цементов, устойчивых в растворах сульфата магния повышенной концентрации, является весьма актуальным.

В этом свете большой интерес представляет исследование старшего научного сотрудника нашей лаборатории Рагозиной. Занимаясь изучением процессов твердения синтетических цементов, состоящих из различных количеств моноалюмината и ортосиликата кальция в солевых растворах Рагозина установила их высокую сопротивляемость сульфатной и магниезиальной агрессии. В развитие этих исследований Рагозина получила глиноземисто-белитовый цемент. Этот цемент в смеси с 15% ангидрита, имея прочность в пластичных растворах 200 кг/см<sup>2</sup>, обнаруживает большую устойчивость в 3%-ном растворе сернокислого магния.

Химический институт  
Академии наук Уз. ССР

Поступило  
10.II.1953

#### ЛИТЕРАТУРА

1. А. А. Байков, Гидравлические цементы и гидравлические добавки, их состав, твердение и разрушение в природных условиях, Пуццолановые цементы, М., НКПС, 1927, 56.
2. С. Н. Дружинин, Гидравлические добавки и пуццолановые портландцементы, Пуццолановые цементы, М., НКПС, 1927, 14.
3. В. А. Кинд, Труды конференции по коррозии бетона, Изд. АН СССР, 1937, вып. 1, 113.
4. В. Н. Юнг, Пуццолановые цементы, Изд. Ин-та цементов, 1936.
5. П. П. Будников, Труды конференции по коррозии бетона, Изд. АН СССР, 1937, вып. 1, 145.
6. М. И. Мякинченко, Труды Института химии АН Узб. ССР, 1952.
7. В. Н. Юнг, Основы технологии вяжущих веществ, Госстройиздат, М., 1951.
8. И. С. Канцепольский, Глиез — портландцемент, Труды Узб. филиала АН СССР, 1941.
9. И. С. Канцепольский, Гидравлические цементы на местном сырье, Юбилейный сборник, посвященный 25-летию Узб. ССР, 1949.
10. Ю. Т. Ташпулатов и И. Х. Колонтаров, Труды Института химии АН Узб. ССР, 1952.
11. И. С. Канцепольский, Г. В. Галкина, Т. А. Рагозина, Л-цемент, Сырьевые ресурсы Узбекистана, Изд. Узб. филиала АН СССР, 1940.
12. И. С. Канцепольский, Л-цемент, Строительные материалы Узбекистана, Институт сооружений АН Узб. ССР, 1951.

А. Н. НЕСМЕЯНОВ, О. А. РЕУТОВ, С. С. ПОДДУБНАЯ

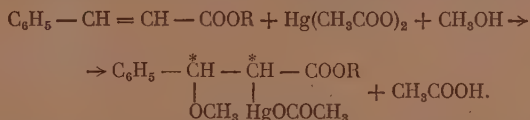
# ИССЛЕДОВАНИЕ ОПТИЧЕСКИ АКТИВНЫХ РТУТНООРГАНИЧЕСКИХ СОЕДИНЕНИЙ

## СООБЩЕНИЕ 1. ПОЛУЧЕНИЕ ДИАСТЕРЕОМЕРНЫХ 1-МЕНТИЛОВЫХ ЭФИРОВ α-БРОММЕРКУРФЕНИЛУКСУСНОЙ КИСЛОТЫ

Оптически активные металлоорганические соединения, содержащие атом металла, связанный с асимметрическим атомом углерода, изучены весьма слабо. В литературе описаны работы только по получению оптически активных металлоорганических соединений щелочных металлов, магния и ртути. Несмотря на многочисленные попытки [1—7], до самого последнего времени не удавалось получить оптически активные металлоорганические соединения щелочных металлов. В 1950 г. Летзингеру [8] удалось получить оптически активный 2-литийоктан; об оптической активности последнего он судил по продукту его карбонизации.

Попытки получения оптически активных магнийорганических соединений до сих пор не увенчались успехом [9—11], а работа Уитмора и Гарримана [12] по получению оптически активного магнийорганического соединения из 1-бром-2-метилбутана, в котором магний связан с углеродным атомом, соседним с асимметрическим, вызывает сомнения, так как ее экспериментальные результаты недостаточно четки.

Оптически активные ртутноорганические соединения были получены Марвелом с сотрудниками при присоединении уксуснокислой ртути к ментиловому [13] и борниловому [14] эфирам коричной кислоты:

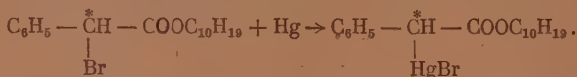


Действием хлористого, бромистого или иодистого калия ацетат превращался в хлорид, бромид или иодид, после чего производилось разделение диастереомеров. Во всех случаях было выделено лишь два диастереомера вместо четырех теоретически возможных; последнее обстоятельство послужило Пфайферу основанием подвергнуть сомнению правильность вышеприведенной формулы для продуктов присоединения уксуснокислой ртути к эфирам коричной кислоты и предположить, что эти продукты присоединения представляют собой комплексные соединения [15]. В настоящее время, в связи с результатами исследования одного из нас с сотрудниками [16—19] строения и причин двойственной реакционной способности продуктов присоединения галогенидов тяжелых металлов к ацетилену и этилену, едва ли можно сомневаться в том, что продукты присоединения ацетата ртути к эфирам коричной кислоты представляют собой также истинные металлоорганические соединения.

В связи с этим возможны два предположения. Одно из них заключается в том, что Сэндборну и Марвелу не удалось выделить всех четырех диастереомеров. Второе заключается в том, что при присоединении ацетата ртути к эфирам коричной кислоты действительно образуются только два диастереомера из четырех возможных вследствие определенной сте-

реохимической направленности реакции присоединения солей ртути по двойной углерод-углеродной связи (транс-присоединение).

Мы решили получить оптически активное ртутноорганическое соединение, строение которого допускало бы возможность существования только двух диастереомеров, применив для этой цели реакцию бромпроизводных с металлической ртутью \*, разработанную двумя из нас и Беспрозванным [20]. *l*-Ментиловый эфир  $\alpha$ -бромфенилуксусной кислоты при энергичном встряхивании реагирует с металлической ртутью, давая оптически активное ртутноорганическое соединение:



Эта реакция проведена нами для двух стереоизомерных ментиловых эфиров  $\alpha$ -бромфенилуксусной кислоты. В литературе [21] даны следующие константы для обоих стереоизомеров: стереоизомер (I) — т. пл. 78—79°;  $[\alpha]_D +9,4^\circ$ ; стереоизомер (II) — т. пл. 40—41°;  $[\alpha]_D -139,8^\circ$ . Константы полученного нами изомера (I) совпадают с литературными, однако, несмотря на то что мы проводили синтез ментилового эфира  $\alpha$ -бромфенилуксусной кислоты в общей сложности не менее 15 раз двумя различными путями, нам ни разу не удалось получить изомер (II) в кристаллическом виде ни при продолжительном стоянии вещества (два месяца), ни при попытке перекристаллизовать его из какого-либо растворителя. Удельное вращение полученного нами изомера (II):  $[\alpha]_D^{18} -98,5^\circ$ .

Оба стереоизомера реагируют со ртутью с различной скоростью. Так, реакция жидкого изомера (II) с избытком ртути при энергичном встряхивании реакционной смеси протекает на холоду в течение 0,5—1 часа с выходом 29% от теоретич. Твердый же стереоизомер (I) в бензольном растворе при встряхивании со ртутью на холоду в течение 250 час. дает ртутноорганическое соединение только с выходом 2,4%. Столь медленное течение реакции, повидимому, связано с уменьшением концентрации ментилового эфира; кроме того, наилучшим растворителем для проведения реакций галоидопроизводных жирных или жирно-ароматических соединений со ртутью обычно является этиловый спирт (а не бензол), который в данном случае применить нельзя, так как твердый изомер ментилового эфира растворяется в нем плохо. Различная скорость реакции, повидимому, хотя бы отчасти зависит от того обстоятельства, что оба изомера являются не антиподами, а диастереомерами и, следовательно, в общем случае могут обладать различной реакционной способностью. Если проводить взаимодействие твердого изомера ментилового эфира  $\alpha$ -бромфенилуксусной кислоты со ртутью при 95—100° без растворителя, реакция заканчивается за 4 часа и приводит к образованию ртутноорганического соединения с выходом в 36%.

При взаимодействии металлической ртути как с жидким, так и с твердым изомерами ментилового эфира  $\alpha$ -бромфенилуксусной кислоты образуется смесь двух диастереомерных ментиловых эфиров  $\alpha$ -броммеркурфенилуксусной кислоты. Ртутноорганические диастереомеры удалось разделить дробной кристаллизацией из метилового спирта или ацетона. Константы полученных соединений: диастереомер (I) — т. пл. 162—163°;  $[\alpha]_D^{18} \sim 96,5^\circ \pm 1^\circ$ ; диастереомер (II) — т. пл. 152—154°;  $[\alpha]_D^{18} -49,3^\circ \pm 1^\circ$ .

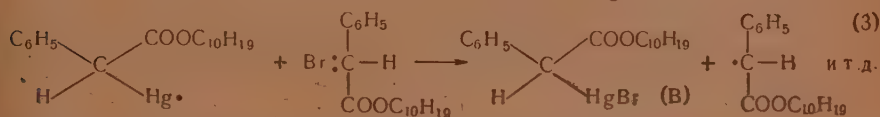
Следует отметить, что при взаимодействии как жидкого \*\*, так и твер-

\* Другие методы синтеза ртутноорганических соединений (посредством гриньярова реактива, действием амальгамы натрия на галоидопроизводные и т. п.) в данном случае не применимы, так как не дают возможности получить ртутноорганические соединения с активными группами, без которых невозможно разделить стереоизомеры.

\*\* То обстоятельство, что жидкий изомер ментилового эфира  $\alpha$ -бромфенилуксусной кислоты возможно содержал примесь своего диастереомера, при нашем методе работы не имеет значения.

дого изомеров ментилового эфира  $\alpha$ -бромфенилуксусной кислоты со ртутью образуется эквимолекулярная смесь ртутьорганических диастереомеров (углы вращения образующейся в различных случаях смеси диастереомеров равны:  $-71,1^\circ$ ;  $-73,8^\circ$ ;  $-75,7^\circ$ ; вычисленный угол вращения эквимолекулярной смеси диастереомеров равен  $(-\frac{96,5^\circ + 49,3^\circ}{2} = -72,9^\circ \pm 1^\circ)$ . Этот факт свидетельствует о том, что свободный радикал с нечетным электроном на углеродном атоме не сохраняет конфигурации того соединения, из которого он образуется, а становится плоским\*.

Как было показано [20], взаимодействие металлической ртути с галоидными алкилами представляет собой гомолитическую реакцию, ускоряющуюся при добавлении органических перекисей и при облучении ультрафиолетовым светом. Таким образом, механизм взаимодействия ментилового эфира  $\alpha$ -бромфенилуксусной кислоты [будь то изомер (I) или изомер (II)] со ртутью может быть представлен следующим образом:



В первой стадии происходит гомолитический разрыв связи углерод-бром в результате атаки атома ртути (или под действием света) и образование свободного радикала.

Если бы неспаренный электрон свободного радикала способен был закреплять конфигурацию, происходило бы образование (хотя бы преимущественно) одного из ртутьорганических диастереомеров. Так как в действительности из обоих изомеров ментилового эфира  $\alpha$ -бромфенилуксусной кислоты образуется эквимолекулярная смесь ртутьорганических диастереомеров, то, очевидно, что радикал (A) имеет плоскую конфигурацию, вследствие чего атака его атомом ртути равновероятна как с одной, так и с другой стороны.

## ЭКСПЕРИМЕНТАЛЬНАЯ ЧАСТЬ

### 1. Получение диастереомерных *l*-ментиловых эфиров $\alpha$ -бромфенилуксусной кислоты

Ментиловый эфир рацемической  $\alpha$ -бромфенилуксусной кислоты был получен с выходом 68,5% от теоретич. при этерификации  $\alpha$ -бромфенилуксусной кислоты *l*-ментолом в присутствии хлористого водорода [21]. При стоянии вещество отчасти закристаллизовывалось. Неделию спустя осадок отфильтрован и дважды перекристаллизован из метилового спирта; т. пл.  $80^\circ$ ;  $[\alpha]_D^{18} +10,9^\circ \pm 0,3^\circ$  (в спирте);  $C=2,333^{**}$ ;  $l=2$ ;

\* В литературе по этому вопросу имеются противоречивые предположения. Так, Уэллис, Адамс [22], а также Браун, Хараш и Чао [23] считают, что свободный радикал имеет плоскую конфигурацию; Дрикс и Карагунис [24] считают, напротив, что нечетный электрон свободного радикала способен закреплять конфигурацию.

\*\* Концентрация  $C$  везде выражена в граммах вещества в 100 г растворителя



$\alpha_D^{18} + 0,66^\circ \pm 0,02^\circ$ ); литературные данные: т. пл.  $78-79^\circ$ ;  $[\alpha]_D + 9,4^\circ$  (в спирте) [21].

Найдено %: С 61,30; 61,32; Н 7,24; 7,28  
 $C_{13}H_{25}O_2Br$ . Вычислено %: С 61,19; Н 7,13

Изомер (II) был получен в виде густой жидкости. Вещество не кристаллизуется при стоянии в течение двух месяцев, а также не кристаллизуется из водного спирта, гептана, бензола, эфира и других растворителей: т. кип.  $223-225^\circ$  (22 мм);  $[\alpha]_D^{18} - 98,5^\circ$  (в спирте); ( $C = 0,739$ ;  $l = 2$ ;  $\alpha_D^{18} - 1,13^\circ$ ). Литературные данные: т. пл.  $40-41^\circ$ ;  $[\alpha]_D^{18} - 139,8^\circ$  [21]; т. кип.  $225^\circ$  (22 мм) [25].

## 2. Взаимодействие *l*-ментиловых эфиров *d*- и *l*- $\alpha$ -бромфенилуксусных кислот с металлической ртутью

а) Взаимодействие жидкого изомера *l*-ментилового эфира  $\alpha$ -бромфенилуксусной кислоты со ртутью. Смесь 149 г (0,42 мол.) *l*-ментилового эфира  $\alpha$ -бромфенилуксусной кислоты с  $[\alpha]_D^{18} - 98,5^\circ$  и 1177 г (5,86 г-ат.) металлической ртути энергично встряхивалась до загустевания (полчаса). Сутки спустя загустевшая реакционная смесь промывалась 96%-ным спиртом, а ртутноорганическое соединение экстрагировано из осадка горячим ацетоном. После испарения ацетона получено 68 г неперекристаллизованного *l*-ментилового эфира  $\alpha$ -броммеркурфенилуксусной кислоты с выходом в 29,2% от теоретич. Угол вращения неперекристаллизованного вещества (промытого циклопентаном):  $[\alpha]_D^{18} - 71,1^\circ$  ( $C = 0,777$ ;  $l = 2$ ;  $\alpha_D^{18} - 0,98^\circ$ ). После перекристаллизации из спирта т. пл.  $158-161^\circ$ ;  $[\alpha]_D^{18} - 74,6^\circ$  ( $C = 2,037$ ;  $l = 2$ ;  $\alpha_D^{18} - 2,67^\circ$ ).

Найдено %: С 39,02; 39,14; Н 4,59; 4,55  
 $C_{16}H_{25}O_2HgBr$ . Вычислено %: С 39,03; Н 4,55

Полученный *l*-ментиловый эфир  $\alpha$ -броммеркурфенилуксусной кислоты хорошо растворим в хлороформе, ацетоне, хуже — в бензоле, толуоле, плохо — в эфире; кристаллизуется из этилового спирта, метилового спирта, четыреххлористого углерода, бензола, ацетона. Вещество описывается впервые.

После перекристаллизации из различных растворителей вещество обладает различным удельным вращением; из ацетона:  $[\alpha]_D^{18} - 91,2^\circ$  ( $C = 0,731$ ;  $l = 2$ ;  $\alpha_D^{18} - 1,17^\circ$ ); из четыреххлористого углерода:  $[\alpha]_D^{18} - 64^\circ$  ( $C = 0,95$ ;  $l = 2$ ;  $\alpha_D^{18} - 1,07^\circ$ ); из бензола:  $[\alpha]_D^{18} - 75,2^\circ$  ( $C = 0,643$ ;  $l = 2$ ;  $\alpha_D^{18} - 0,85^\circ$ ).

Столь большая зависимость угла вращения от характера растворителя, из которого кристаллизуется вещество, дает основание считать, что последнее представляет собой смесь двух диастереомеров, обладающих различной растворимостью и различной вращательной способностью.

б) Взаимодействие твердого изомера *l*-ментилового эфира  $\alpha$ -бромфенилуксусной кислоты со ртутью в бензоле. Смесь 35 г (0,09 мол.) ментилового эфира  $\alpha$ -бромфенилуксусной кислоты с т. пл.  $80^\circ$  и удельным вращением  $[\alpha]_D^{18} + 10,9^\circ$  в бензольном растворе и 88 г (0,44 г-ат.) металлической ртути встряхивалась  $\sim 250$  час. Бензол испарен, остаток промыт спиртом и экстрагирован горячим ацетоном. В ацетоновый раствор переходит ртутноорганическое соединение вместе с непрореагировавшим исходным ментиловым эфиром  $\alpha$ -бромфенилуксусной кислоты. Ацетон испарен, ртутноорганическое соединение отмыто эфиром от исходного вещества. Получено 1,3 г ментилового эфира  $\alpha$ -броммеркурфенилуксусной кислоты

\* Здесь, как и везде, далее, удельное вращение измерено в бензоле.

(2,4% от теоретич.) с т. пл. 155—156°. После перекристаллизации из метилового спирта т. пл. 157—158°. Смешанная проба плавления с известным ментиловым эфиром  $\alpha$ -броммеркурфенилуксусной кислоты (т. пл. 157—158°;  $[\alpha]_D^{18} = 75,8^\circ$ ) депрессии температуры плавления не дает. Удельное вращение  $[\alpha]_D^{18} = 73,8^\circ$  ( $C = 0,783$ ;  $l = 2$ ;  $\alpha_D^{18} = 1,02^\circ$ ).

в) Взаимодействие твердого изомера ментилового эфира  $\alpha$ -бромфенилуксусной кислоты со ртутью при 95—100°. Смесь 79 г (0,22 мол.) ментилового эфира  $\alpha$ -бромфенилуксусной кислоты (т. пл. 79—80°;  $[\alpha]_D^{18} + 11,2^\circ$ ) и 235 г (0,86 г-ат.) металлической ртути нагревалась в течение 4 час. до 95—100° при энергичном перемешивании. К концу этого времени жидкая вначале реакционная смесь затвердевает. Спустя сутки, смесь промыта эфиром для удаления непрореагировавшего исходного вещества, а образовавшееся ртутноорганическое соединение экстрагировано хлороформом. После испарения хлороформа получено 44,5 г ментилового эфира  $\alpha$ -броммеркурфенилуксусной кислоты (35,9% от теории), который после перекристаллизации из метилового спирта имеет т. пл. 155—157°;  $[\alpha]_D^{18} = 75,7^\circ$  ( $C = 0,764$ ;  $l = 2$ ;  $\alpha_D^{18} = 1,02^\circ$ ).

### 3. Разделение диастереомерных *l*-ментиловых эфиров *d*- и *l*- $\alpha$ -броммеркурфенилуксусных кислот

Разделение веществ проводилось путем многократной перекристаллизации. Попытки применить в качестве растворителей для кристаллизации бензол и четыреххлористый углерод к успеху не привели. После трехкратной перекристаллизации из бензола угол вращения уменьшился до  $-58,1^\circ$ , а вещество потемнело вследствие частичного разложения с выделением металлической ртути. При кристаллизации вещества из четыреххлористого углерода угол вращения меняется незначительно. Так, после трех перекристаллизаций  $[\alpha]_D^{18} = 73,8^\circ$ ; после четырех  $[\alpha]_D^{18} = 78,5^\circ$ ; для полного разделения диастереомеров необходимо еще несколько перекристаллизаций.

Полное разделение диастереомеров удалось осуществить перекристаллизацией из большого количества метилового спирта. 6 г ментилового эфира  $\alpha$ -броммеркурфенилуксусной кислоты перекристаллизованы из 200 мл метилового спирта. После первой кристаллизации получено вещество с т. пл. 159—160° и  $[\alpha]_D^{18} = 89,7^\circ$  ( $C = 0,656$ ;  $l = 2$ ;  $\alpha_D^{18} = 1,03^\circ$ ). После второй перекристаллизации получено 2,5 г вещества с т. пл. 162—163° и  $[\alpha]_D^{18} = 96,7^\circ$  ( $C = 0,658$ ;  $l = 2$ ;  $\alpha_D^{18} = 1,12^\circ$ ).

При дальнейшей перекристаллизации угол вращения и температура плавления не изменяются. Так, после третьей перекристаллизации т. пл. 162—163°;  $[\alpha]_D^{18} = 96,4^\circ \pm 1^\circ$  ( $C = 0,635$ ;  $l = 2$ ;  $\alpha_D^{18} = 1,10^\circ \pm \pm 0,01^\circ$ ). Вещество описывается впервые.]

Найдено %: C 39,18; 39,19; H 4,55 4,74  
C<sub>18</sub>H<sub>25</sub>O<sub>2</sub>HgBr. Вычислено %: C 39,03; H 4,78;

Изомер (II) ментилового эфира  $\alpha$ -броммеркурфенилуксусной кислоты (легко растворимый) выделен из фильтрата. Фильтрат после первой кристаллизации выпарен досуха. Полученный остаток подвергнут дробной кристаллизации из метилового спирта. С этой целью осадок растворен в минимальном количестве кипящего метилового спирта; после охлаждения раствора выпал осадок (фракция I) с т. пл. 159—160° и  $[\alpha]_D^{18} = 85,5^\circ$  ( $C = 0,666$ ;  $l = 2$ ;  $\alpha_D^{18} = 1,00^\circ$ ). Каждая из последующих фракций представляла собой осадок, выпадавший при упаривании фильтрата до половины объема. Угол вращения фракции (III):  $[\alpha]_D^{18} = 52,5^\circ$  ( $C = 0,703$ ;  $l = 2$ ;

$\alpha_D^{18} - 0,65^\circ$ ); угол вращения фракции (IV):  $[\alpha]_D^{18} - 50,9^\circ \pm 1$  ( $C = 0,483$ ;  $l = 2$ ;  $\alpha_D^{18} - 0,43 \pm 0,01^\circ$ ). В дальнейшем угол вращения не изменяется. Так, для фракции (V):  $[\alpha]_D^{18} - 49,3^\circ \pm 1^\circ$  ( $C = 0,671$ ;  $l = 2$ ;  $\alpha - 0,57^\circ \pm 0,01^\circ$ ); т. пл.  $152-154^\circ$ . Вещество описывается впервые.

Найдено %: С 39,31; 39,35; Н 4,75; 4,74  
 $C_{18}H_{26}O_2HgBr$ . Вычислено %: С 39,03; Н 4,55

Разделение диастереомеров может быть также осуществлено путем перекристаллизации из ацетона. После двух перекристаллизаций из ацетона получено вещество с т. пл.  $160-161^\circ$ ;  $[\alpha]_D^{18} - 92,4^\circ$  ( $C = 0,695$ ;  $l = 2$ ;  $\alpha_D^{18} - 1,13^\circ$ ). После трех перекристаллизаций из ацетона вещество имеет т. пл.  $162-163^\circ$ ;  $[\alpha]_D^{18} - 95,9 \pm 1^\circ$  ( $C = 0,725$ ;  $l = 2$ ;  $\alpha_D^{18} - 1,36^\circ \pm 0,01^\circ$ ).

### ВЫВОДЫ

1. При взаимодействии стереоизомерных *l*-ментиловых эфиров  $\alpha$ -бромфенилуксусной кислоты с металлической ртутью образуется эквимолекулярная смесь диастереомерных ментиловых эфиров  $\alpha$ -броммеркурфенилуксусной кислоты.

2. Факт образования эквимолекулярной смеси диастереомерных *l*-ментиловых эфиров  $\alpha$ -броммеркурфенилуксусной кислоты является доводом в пользу того предположения, что свободный радикал с неспаренным электроном на углеродном атоме имеет плоскую конфигурацию.

3. Получены в чистом виде два диастереомера *l*-ментилового эфира  $\alpha$ -броммеркурфенилуксусной кислоты при дробной кристаллизации их смеси из метилового спирта или ацетона.

Московский государственный университет  
им. М. В. Ломоносова

Поступило  
2.XI.1952

### ЛИТЕРАТУРА

1. W. Schlenk, E. Bergmann, Ann. 463, 98, 106 (1928).
2. E. Ott, Ber. 61, 2124 (1928).
3. G. F. Wright, J. Am. Chem. Soc. 61, 2106 (1939).
4. E. S. Wallis, F. H. Adams, J. Am. Chem. Soc. 55, 3838 (1923).
5. D. S. Tarbell, M. Weiss, J. Am. Chem. Soc. 61, 1203 (1939).
6. K. Ziegler, A. Wenz, Ber. 83, 354 (1950).
7. G. Wittig, F. Vigal, E. Bohnert, Ber. 83, 359 (1950).
8. R. Letsinger, J. Am. Chem. Soc. 72, 4848 (1950).
9. R. Pickard, J. Kenyon, J. Chem. Soc. 99, 65 (1911).
10. A. Schwartz, J. Johnson, J. Am. Chem. Soc. 53, 1063 (1931).
11. C. Porter, J. Am. Chem. Soc. 57, 1436 (1935).
12. F. Whitmore, B. Harriman, J. Am. Chem. Soc. 60, 2821 (1938).
13. L. Sandborn, C. Marvel, J. Am. Chem. Soc. 48, 1409 (1926).
14. E. Griffith, C. Marvel, J. Am. Chem. Soc. 53, 789 (1931).
15. P. Pfeiffer, Naturwissenschaften 14, 1100 (1926).
16. А. Н. Несмеянов и Р. Х. Фрейдлина, Изв. АН СССР, ОХН, № 1, 14 (1942).
17. А. Н. Несмеянов, Р. Х. Фрейдлина и А. Е. Борисов, Изв. АН СССР, ОХН № 2, 137 (1945).
18. А. Н. Несмеянов, Изв. АН СССР, ОХН, № 3, 239 (1945).
19. А. Н. Несмеянов, Р. Х. Фрейдлина, А. Е. Борисов, Юбилейный сборник, посвященный тридцатилетию Великой Октябрьской социалистической революции, ч. I, М.—Л., АН СССР, 1947, стр. 658—682.
20. О. А. Реутов и М. А. Беспрозванный, ДАН 80, № 5, 765 (1951); О. А. Реутов и А. Н. Несмеянов, Изв. АН СССР, ОХН, № 4 (1953).
21. A. McKenzie, J. Smith, J. Chem. Soc. 125, 1586 (1924).
22. E. S. Wallis, F. H. Adams, J. Am. Chem. Soc. 55, 3838 (1933).
23. H. Brown, M. Kharasch, T. Chao, J. Am. Chem. Soc. 62, 3435 (1940).
24. C. Karagunis, C. Drikos, Z. phys. Chem. 26, 428 (1934).
25. J. Cohen, J. Chem. Soc. 99, 1065 (1911).

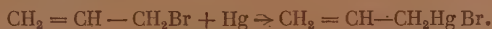
О. А. РЕУТОВ и А. Н. НЕСМЕЯНОВ

# СИНТЕЗ РТУТНООРГАНИЧЕСКИХ СОЕДИНЕНИЙ ПУТЕМ ВЗАИМОДЕЙСТВИЯ ОРГАНИЧЕСКИХ ГАЛОИДОПРОИЗВОДНЫХ СОЕДИНЕНИЙ С МЕТАЛЛИЧЕСКОЙ РТУТЬЮ

В литературе описаны немногочисленные примеры реакций органических подпроизводных с металлической ртутью, приводящих к образованию ртутноорганических соединений. Таковы реакции подистого метила [1], иодистого этила [2], иодистого аллила [3], иодистого пропаргила [4], ω-иодфенилацетилена [5], иодистого метилена, иодоформа [6] и иодистого бензила [7] с металлической ртутью. При этом считалось, что хлор- и бромпроизводные жирного и жирно-ароматического ряда (за исключением бромбензилцианида [8]), а также все ароматические галоидопроизводные с металлической ртутью не реагируют.

В настоящей и в ранее опубликованной [9] работах показано, что бромпроизводные, в молекуле которых связь углерод-бром активирована сопряжением с двойной связью ( $>C = \overset{|}{\underset{|}{C}} - \overset{|}{\underset{|}{C}} - Br$  или  $O = \overset{|}{\underset{|}{C}} - \overset{|}{\underset{|}{C}} - Br$ ), способны реагировать с металлической ртутью, давая ртутноорганические соединения типа  $R - HgBr$ ; ароматические подпроизводные способны взаимодействовать со ртутью, давая ртутноорганические соединения только при облучении ультрафиолетовым светом.

Бромистый аллил медленно взаимодействует со ртутью в темноте, образуя аллилмеркурбромид:



Реакция ускоряется при облучении реакционной смеси светом ртутно-кварцевой лампы, помещенной в стеклянный сосуд, и значительно ускоряется при замене стеклянного сосуда кварцевым, который пропускает ультрафиолетовые лучи; в последнем случае необходимо весьма энергичное перемешивание \*, так как иначе у стенок кварцевого сосуда быстро образуются ртутноорганические полимеры. В табл. 1 приведены результаты взаимодействия бромистого аллила с избытком металлической ртути в различных условиях.

Бромистый циннамил быстро реагирует со ртутью без облучения, образуя циннамилмеркурбромид с выходом в 82%:



Реакция идет настолько энергично, что во избежание полимеризации и осмоления бромистого циннамила последний необходимо разбавлять этиловым спиртом.

\* Наиболее пригодной оказалась быстeroxодная мешалка, изготовленная из ерша для мытья посуды. Такая импровизированная мешалка хорошо эмульгирует ртуть в галоидопроизводном соединении и непрерывно удаляет со стенок пробирки пленку твердых продуктов реакции, которая обычно препятствует облучению реакционной смеси.

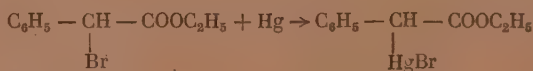


Таблица 1

## Взаимодействие бромистого аллила с металлической ртутью

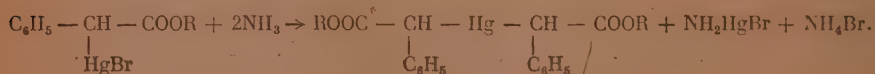
№ по пор.	Источник облучения	Реакционный сосуд	Перемешивание	Количество бромистого аллила в г	Время реакции в час.	Выход в %	Примечания
1	Лампа ПРК-4	Кварцевая пробирка	Вибрационная машина	10	48	9	Наряду с $\text{CH}_2=\text{CHCH}_2\text{HgBr}$ образуются ртутноорганические полимеры (в 1,5 раза больше)
2	То же	Стеклянная пробирка	»	11	48	20	Образуется чистый аллилмеркуробромид без заметной примеси полимерных соединений
3	»	Кварцевая пробирка	Мешалка	11,7	19	30	То же
4	»	Стеклянная пробирка	»	14,8	28	4	»
5	Без облучения в темноте	То же	Вибрационная машина	5,2	48	Менее 1	»
6	То же	»	»	5,2	120	5	»
7	»	»	»	5,2	600	32	»

Этиловый эфир бромфенилуксусной кислоты легко взаимодействует со ртутью без облучения, давая  $\alpha$ -броммеркурифенилуксусный эфир с выходом в 73%:

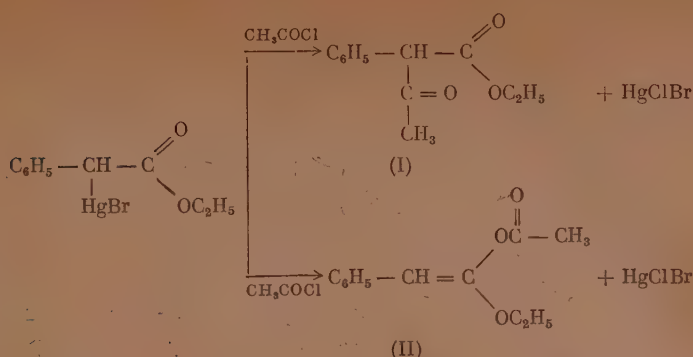


Аналогично реагирует и *l*-ментоловый эфир  $\alpha$ -бромфенилуксусной кислоты.

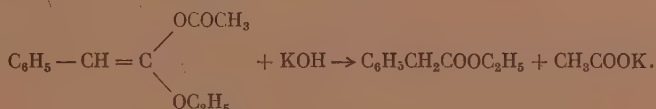
Нам представлялось интересным изучить некоторые свойства полученных представителей класса  $\alpha$ -меркурированных сложных эфиров, ранее не описанного. При действии сухого аммиака на хлороформный раствор этилового и *l*-ментолового эфиров  $\alpha$ -бромфенилуксусной кислоты последние симметризируются по уравнению:



Мы изучили также реакцию  $\alpha$ -броммеркурифенилуксусного эфира с хлористым ацетилом в среде абсолютного толуола. При нагревании реакционной смеси на водяной бане происходило отщепление галогенной ртути и образование двух продуктов: *S*-ацетилфенилуксусного эфира (I) и ацетата энольной формы фенилуксусного эфира (II):



Образование вещества (II) доказано получением фенолуксусного эфира и уксусной кислоты при обработке смеси веществ (I) и (II) 2,5 %-ным водным раствором едкого калия на холоду:



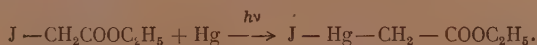
Таким образом, в отличие от  $\alpha$ -меркурированных альдегидов и кетонов, реагирующих с галогенными ацилами исключительно с образованием сложных виниловых эфиров [10, 11], например



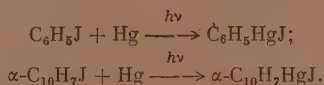
$\alpha$ -бромфенилуксусный эфир реагирует с хлористым ацетилом как с образованием О-производного (с переносом реакционного центра), так и с образованием С-производного (без переноса реакционного центра).

Попытка получения простейшего  $\alpha$ -меркурированного сложного эфира из этилового эфира бромуксусной кислоты не увенчалась успехом. При облучении реакционной смеси ультрафиолетовым светом образуются лишь небольшие количества бромистой и бромной ртути.

Этиловый эфир иодуксусной кислоты, напротив, реагирует с металлической ртутью при облучении, давая этиловый эфир  $\alpha$ -иодмеркуруксусной кислоты, хотя и с малым выходом:



При облучении ультрафиолетовым светом с металлической ртутью реагируют даже ароматические иодпроизводные, давая соответствующие ртутноорганические соединения\*, например:



При взаимодействии ртути с полибром- и полихлорметанами ртутноорганические соединения не образуются. Бромформ медленно реагирует со ртутью даже без облучения. Реакция значительно ускоряется в присутствии перекиси бензоила или при облучении ультрафиолетовым светом. При этом образуется смесь бромистой и бромной ртути, а также, небольшие количества пентабромэтана в результате каких-то вторичных процессов.

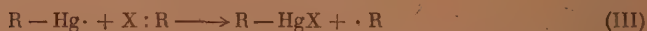
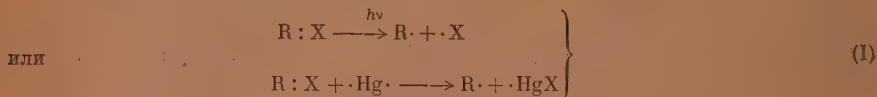
\* Почти одновременно с нами [9], синтез фенолмеркуриодида из иодбензола и металлической ртути при облучении осуществили Разуваев и Шубенко [17].

Четыреххлористый углерод при температуре кипения практически не взаимодействует со ртутью. Реакция идет медленно при облучении ультрафиолетовым светом при комнатной температуре, быстрее — при температуре кипения четыреххлористого углерода в присутствии перекиси бензоила или при нагревании смеси четыреххлористого углерода и ртути, нанесенной на сульфат бария, в запаянной ампуле при 120—130°:



Хлороформ, как и четыреххлористый углерод, очень медленно реагирует со ртутью при облучении без нагревания, образуя каломель. Другие изученные нами случаи взаимодействия галоидопроизводных с металлической ртутью приведены в табл. 2.

Образование ртутноорганических соединений, по всей вероятности, происходит в результате гомолитической реакции, которая может быть представлена следующей схемой:



В зависимости от характера радикала и галоида, в той или иной степени, могут идти различные побочные реакции (димеризация радикалов, взаимодействие их с молекулами галоидопроизводных и т. п.).

### ЭКСПЕРИМЕНТАЛЬНАЯ ЧАСТЬ\*

#### 1. Взаимодействие бромистого аллила с металлической ртутью

а) 10 г бромистого аллила и 34 г металлической ртути (двухкратный избыток) облучали \*\* в кварцевой пробирке ультрафиолетовым светом в течение 48 час. при механическом встряхивании. Из загустевшей реакционной смеси отгоняли непрореагировавший бромистый аллил, после чего смесь экстрагировали ацетоном. По испарении ацетона сухой остаток экстрагировали спиртом и получали 2,4 г аллилмеркуробромид (9% от теоретич.). Остаток, не растворимый в спирте, имеет низкую нечеткую точку плавления и представляет собой, по-видимому, полимер аллилмеркуробромид. Аллилмеркуробромид хорошо растворим в ацетоне, диоксане и бромистом аллиле, плохо растворим в эфире, не растворим в петролейном эфире. После кристаллизации из водного спирта т. пл. 116—118° (при быстром нагревании). При медленном нагревании капилляра вещество превращается в неплавкий полимер. Анализ на ртуть дает несколько завышенные результаты, так как при нагревании с соляной кислотой вещество частично обугливается.

Найдено %: С 11,26; 11,08; Н 1,70; 1,78  
 $\text{C}_3\text{H}_5\text{HgBr}$ . Вычислено %: С 11,48; Н 1,55

Литературные данные [12]: т. пл. 124—125°.

б) 11 г бромистого аллила и 36 г ртути (двухкратный избыток) облучали в стеклянной пробирке в течение 48 час. при механическом встряхивании. В результате такой же обработки реакционной смеси, как в предыдущем опыте, получали 6,3 г аллилмеркуробромид (20% от теоретич.). Полимерные ртутноорганические соединения в этом опыте, как и в трех последующих, в сколь-либо заметной степени не образуются.

в) 11,7 г бромистого аллила и 60 г металлической ртути (трехкратный избыток) облучали в течение 19 час. при перемешивании в кварцевой пробирке, снабженной мешалкой, изготовленной из ерша, и обратным холодильником. По окончании реакции в результате обычной обработки получали 9,3 г аллилмеркуробромид (30% от теоретич.).

\* В проведении опытов принимали участие студ. М. А. Беспрозванный и С. С. Поддубная.

\*\* Во всех случаях облучение производилось ртутно-кварцевой лампой ПРК-4, горелка которой располагалась на расстоянии 20 см от реакционного сосуда.

Таблица 2

Взаимодействие органических галлоидпроизводных соединений с металлической ртутью

Исходное галогидпроизводное соединение		Условия реакции	Образующееся ртутно-органическое соединение	Выход в %	Другие продукты реакции
название	формула				
Аллил бромистый	$\text{CH}_2=\text{CHCH}_2\text{Br}$	Без облучения, комнатная температура	$\text{CH}_2=\text{CHCH}_2\text{HgBr}$	32	Нет
Аллил хлористый	$\text{CH}_2=\text{CHCH}_2\text{Cl}$	Облучение, 40°	Нет	—	$\text{Hg}_2\text{Cl}_2$
Циннамил бромистый	$\text{C}_6\text{H}_5\text{CH}=\text{CHCH}_2\text{Br}$	Без облучения, комнатная температура	$\text{C}_6\text{H}_5\text{CH}=\text{CHCH}_2\text{HgBr}$	82	Нет
Циннамил хлористый	$\text{C}_6\text{H}_5\text{CH}=\text{CHCH}_2\text{Cl}$	То же	Нет	—	Нет
		Облучение, 40°	Нет	—	Нет
Бензил бромистый	$\text{C}_6\text{H}_5\text{CH}_2\text{Br}$	а) Без облучения, комнатная температура б) Без облучения, 80°	Нет	—	Нет
		в) Облучение, комнатная температура	Нет	—	$\text{Hg}_2\text{Br}_2$ , $\text{HgBr}_2$ , $\text{HBr}$ , смола
$\alpha$ -Бромэтилбензол	$\text{C}_6\text{H}_5\text{CHBrCH}_3$	Облучение, 40°	Нет	—	$\text{Hg}_2\text{Br}_2$ , $\text{HgBr}_2$ , $\text{HBr}$ , смола
Этиловый эфир $\alpha$ -бромпропионовой кислоты	$\text{CH}_3\text{CH}(\text{COOC}_2\text{H}_5)\text{CH}_2\text{Br}$	Облучение, 40°	Нет	—	$\text{Hg}_2\text{Br}_2$ , $\text{HBr}$ , смола
Этиловый эфир $\alpha$ -броммасляной кислоты	$\text{CH}_3\text{CH}_2\text{CH}(\text{COOC}_2\text{H}_5)\text{Br}$	Облучение, 40°	Нет	—	$\text{Hg}_2\text{Br}_2$
Броммалоновый эфир	$\text{CH}_2(\text{COOC}_2\text{H}_5)_2$	Облучение, 40°	Ртутноорганический полимер	—	Нет
$\alpha$ -Бромацетоуксусный эфир	$\text{CH}_3\text{C}(\text{COOC}_2\text{H}_5)(\text{Br})\text{COOC}_2\text{H}_5$	Без облучения, комнатная температура	»	—	Нет



Таблица 2 (продолжение)

Исходное галоидопронзводное соединение		Условия реакции	Образующееся ругтно-органическое соединение	Выход в %	Другие продукты реакции
название	формула				
Этиловый эфир $\alpha$ -бромфенилуксусной кислоты	$\text{C}_6\text{H}_5\text{CH}(\text{Br})\text{COOC}_2\text{H}_5$	Без облучения, комнатная температура	$\text{C}_6\text{H}_5\text{CH}(\text{Br})\text{COOC}_2\text{H}_5$	73	Нет
<i>l</i> -Ментиловый эфир $\alpha$ -бромфенилуксусной кислоты	$\text{C}_6\text{H}_5\text{CH}(\text{Br})\text{COOC}_{10}\text{H}_{19}$	»	$\text{C}_6\text{H}_5\text{CH}(\text{Br})\text{COOC}_{10}\text{H}_{19}$	34	Нет
Этиловый эфир $\alpha$ , $\alpha$ -бромфенил- <i>p</i> -толилуксусной кислоты	$\text{C}_6\text{H}_5\text{CH}(\text{Br})\text{CH}(\text{Br})\text{COOC}_2\text{H}_5$	»	Нет	—	Нет
Этиловый эфир $\alpha$ , $\alpha$ -бромметилфенилуксусной кислоты	$\text{C}_6\text{H}_5\text{CH}(\text{Br})\text{CH}(\text{Br})\text{COOC}_2\text{H}_5$	»	Нет	—	Нет
Этиловый эфир бромуксусной кислоты	$\text{CH}_3\text{CH}(\text{Br})\text{COOC}_2\text{H}_5$	Облучение, 40°	Нет	—	$\text{Hg}_2\text{Br}_2$ , $\text{HgBr}_2$
Этуловый эфир иодуксусной кислоты	$\text{ICH}_2\text{COOC}_2\text{H}_5$	»	$\text{IHC}_2\text{H}_4\text{COOC}_2\text{H}_5$	—	$\text{Hg}_2\text{I}_2$ , $\text{HgI}_2$
$\alpha$ -Бромпропионовый альдегид	$\text{CH}_3\text{CH}(\text{Br})\text{CHO}$	»	Нет	—	$\text{Hg}_2\text{Br}_2$ , $\text{HgBr}_2$
$\alpha$ -Бромфенилуксусный альдегид	$\text{C}_6\text{H}_5\text{CH}(\text{Br})\text{CHO}$	Без облучения, комнатная температура	Ртутноорганический полимер	—	Нет
$\omega$ -Броманетофенон	$\text{C}_6\text{H}_5\text{COCCH}_2\text{Br}$	Облучение, 60°	Нет	—	Нет
Бромформ	$\text{CHBr}_3$	а) Без облучения, 100° б) Облучение, 40°	Нет	—	$\text{Hg}_2\text{Br}_2$ , $\text{HgBr}_2$ , $\text{CBr}_3-\text{CHBr}_2$ То же
Хлорформ	$\text{CHCl}_3$	Облучение, 40°	Нет	—	$\text{Hg}_2\text{Cl}_2$ То же
Четыреххлористый углерод	$\text{CCl}_4$	а) Кипячение в присутствии перекиси бензоила б) Нагревание в запаянных ампулах (120—130°)	Нет	—	»
Иодбензол	$\text{C}_6\text{H}_5\text{I}$	Облучение, 40°	Нет	—	$\text{Hg}_2\text{I}_2$ $\text{HgI}_2$
$\alpha$ -Иоднафталин	$\alpha\text{-C}_{10}\text{H}_7\text{I}$	Облучение, 40°	$\text{C}_6\text{H}_5\text{HgI}$ $\alpha\text{-C}_{10}\text{H}_7\text{HgI}$	8 6—8	

г) 14,8 г бромистого аллила и 47 г ртути (двухкратный избыток) облучали в течение 28 час. при перемешивании в стеклянной пробирке, снабженной мешалкой из ерша и обратным холодильником. В результате обычной обработки получали 1,5 г аллилмеркурбромид (4% от теории).

д) 5,2 г бромистого аллила и 22 г ртути (150%-ный избыток) встряхивали в пробирке, обернутой в черную бумагу, в течение 600 час. В результате обычной обработки получали 4,5 г аллилмеркурбромид (32% от теоретич.). При проведении этого опыта в течение 120 час. аллилмеркурбромид образуется с выходом в 5%, а при проведении опыта в течение 48 час.— выход ртутноорганического соединения составляет менее 1%.

## 2. Взаимодействие бромистого циннамила с металлической ртутью

19,7 г бромистого циннамила (0,1 мол.) смешивали с равным объемом 96%-ного этилового спирта и с 100,3 г металлической ртути (0,5 мол.). После 15-минутного энергичного встряхивания реакционная смесь слегка разогревается и загустевает. Непрореагировавшую ртуть сливали, в смесь добавляли этиловый спирт до кашецеобразного состояния и осадок отфильтровывали. Из осадка экстрагировали ртутноорганическое соединение горячим бензолом. Бензольный раствор упаривали до начала кристаллизации. После окончания кристаллизации (2—3 часа) циннамилмеркурбромид отсасывали и промывали холодным бензолом. Вес вещества 32,7 г (82% от теоретич.). Вещество представляет собой белые, слегка желтоватые чешуйки, хорошо растворимые в холодном ацетоне, горячем бензоле, горячем метилом и горячем этиловом спирте; плохо растворимы в холодном бензоле, холодном метилом и этиловом спиртах. Наиболее благоприятным растворителем для кристаллизации является бензол; при кристаллизации из метилового или этилового спирта вещество в значительной мере разлагается с выделением металлической ртути и образованием полимерных продуктов; т. пл. 340—345° (при быстром нагревании). При медленном нагревании в капилляре вещество полимеризуется, не плавясь. Вещество описывается впервые.

Найдено %: С 27,33; 27,15; Н 2,41; 2,49  
 $C_9H_8HgBr$ . Вычислено %: С 27,18; Н 2,28

Найдено %: Hg 50,42; 50,34  
 $C_9H_8HgBr$ . Вычислено %: Hg 50,45

## 3. Взаимодействие этилового эфира $\alpha$ -бромфенилуксусной кислоты с металлической ртутью

150 г бромфенилуксусного эфира (0,617 мол.) и 480 г ртути (2,38 2 г.-ат.) встряхивали в склянке с притертой пробкой в течение получаса. После затвердевания смесь оставили стоять 2—3 часа. Ртутноорганическое соединение извлекали кипящим хлороформом. После испарения хлороформа кристаллы промывали небольшим количеством четыреххлористого углерода для удаления непрореагировавшего бромфенилуксусного эфира и кристаллизовали из этилового спирта. Выход 200 г (73% от теоретич.); т. пл. 125—126°.  $\alpha$ -Броммеркурфенилуксусный эфир легко растворим в хлороформе, горячем ацетоне, горячем этаноле, хуже растворим в бензоле, холодном этаноле, четыреххлористом углероде, не растворим в петролейном эфире. Легко разлагается концентрированной соляной кислотой с образованием этилового эфира фенилуксусной кислоты и сулемы. Вещество описывается впервые.

Найдено %: Hg 45,42; 45,72  
 $C_{10}H_{11}O_2HgBr$ . Вычислено %: Hg 45,21

## 4. Взаимодействие $\gamma$ -метилового эфира $\alpha$ -бромфенилуксусной кислоты с металлической ртутью

33,4 г  $\gamma$ -метилового эфира  $\alpha$ -бромфенилуксусной кислоты \* (0,09 мол.) и 135 г ртути (0,68 2 г.-ат.) встряхивали в течение получаса. После затвердевания реакционную смесь оставляли стоять 2—3 часа, после чего экстрагировали ацетоном, ацетоновый аствор испаряли, а остаток промывали холодным спиртом. После кристаллизации спирта т. пл. 158—161°; выход 15,5 г (31% от теоретич.). Вещество описывается впервые.

Найдено %: С 39,02; 39,14; Н 4,59; 4,55  
 $C_{18}H_{25}O_2HgBr$ . Вычислено %: С 39,03; Н 4,55

\* Применяется свежеприготовленная (жидкая) смесь диастереомеров.

## 5. Симметризация этилового эфира $\alpha$ -броммеркурфенилуксусной кислоты

В раствор 8 г  $\alpha$ -броммеркурфенилуксусного эфира в сухом хлороформе на холоду в течение 10 мин. пропустили ток сухого аммиака. Выпавший хлормеркурамин ( $\sim 3,5$  г) отфильтровывали, хлороформный фильтрат испаряли под тягой. Масло, оставшееся после испарения хлороформа, закристаллизовывается при стоянии (20—30 час). Вещество промывали холодным петролевым эфиром и холодным метанолом. После двух кристаллизаций из метанола т. пл. 105,5—106,5°; выход 2,0 г (42% от теоретич.). Вещество описывается впервые.

Найдено %: Hg 38,39; 38,44  
 $C_{20}H_{22}O_4Hg$ . Вычислено %: Hg 38,12

## 6. Взаимодействие $\alpha$ -броммеркурфенилуксусного эфира с хлористым ацетилом

К суспензии 88,72 г (0,2 мол.)  $\alpha$ -броммеркурфенилуксусного эфира в 100 мл абсолютного толуола приливали 31,4 г (0,4 мол.) дважды перегнанного хлористого ацетила. Реакция на холоду не идет. Реакционная смесь нагревалась на водяной бане до кипения (2 часа) при тщательной изоляции от влаги воздуха. Неорганический осадок галоидной ртути (49,2 г) отфильтровывался; из фильтрата, окрашенного в светлоричневый цвет, при атмосферном давлении отгонялись избыток хлористого ацетила, уксусная кислота и большая часть толуола. Остаток перегнан при 18 мм давления, причем после перегона собраны две фракции:

Фр. I, т. кип. 121—125°; 11,8 г  
 Фр. II, т. кип. 140—160°; 10,4 г

Фракция (I) в основном кипит при 225—226° при нормальном давлении и представляет собой этиловый эфир фенилуксусной кислоты. Жидкость, собранная во фракции (II), быстро обесцвечивает щелочной раствор перманганата и раствор брома в четыреххлористом углероде, а также окрашивается (в спиртовом растворе) в фиолетовый цвет при прибавлении хлорного железа. С фенилгидразином в спиртовом растворе образуется фенилгидразон  $\alpha$ -фенилацетоксусного эфира (т. пл. 104°). При нагревании последнего получен 3-метил-1,4-дифенилпиразолон-(5). После двух перекристаллизаций из спирта т. пл. 195,5—196°. Литературные данные [13]: т. пл. 196°.

Найдено %: N 11,55; 11,34  
 $C_{16}H_{14}ON_2$ . Вычислено %: N 11,20

Таким образом, доказано, что фракция (II) представляет собой С-ацетилфенилуксусный эфир. Для того чтобы установить, содержится ли изомерный О-ацетилфенилуксусный эфир в этой фракции, 5 г последней подвергнуты действию избытка водного 2,5%-ного раствора КОН на холоду (встряхивание в течение часа и оставление на сутки). Образующееся при стоянии масло (1,2 г), которое представляет собой фенилуксусный эфир, отделено. Фенилуксусный эфир омылен щелочью при нагревании. Выделено 0,7 г фенилуксусной кислоты с т. пл. 76° после перекристаллизации из лигроина. Из оставшегося раствора, после подкисления и экстрагирования эфиром, извлечены уксусная и фенилуксусная кислоты; последняя, после кристаллизации из лигроина, плавилась при 76°. На основании выхода фенилуксусного эфира можно заключить, что фракция (II) по меньшей мере на 30% состоит из ацетата энольной формы фенилуксусного эфира.

## 7. Взаимодействие этилового эфира иодуксусной кислоты с металлической ртутью при облучении ультрафиолетовым светом

5 г иодуксусного эфира, 15 мл абсолютного бензола и 25 г ртути помещали в кварцевую пробирку. Реакционную смесь облучали в течение 16 час. ультрафиолетовым светом при перемешивании мешалкой, изготовленной из ерша. Неорганический осадок, состоявший из непрореагировавшей ртути, иодистой и подной ртути, отфильтровывали и промывали бензолом. Бензол отгоняли из фильтрата в вакууме. Масло, оставшееся после отгонки бензола, закристаллизовывалось после двухнедельного стояния в вакуум-эксикаторе. Кристаллы переносили на пористую пластинку, отжимали и перекристаллизовывали из метанола. Выход 0,2 г; т. пл. 56—57°.

Этиловый эфир иодмеркуруксусной кислоты представляет собой желтое кристаллическое вещество, хорошо растворимое в горячем метиловом и горячем этиловом спирте, растворимое в ацетоне и иодуксусном эфире. Холодная концентрированная соляная кислота разлагает его с образованием подной ртути. Вещество описывается впервые.

Найдено %: C 11,50; 11,33; H 1,78; 1,77  
 $JHgCH_2CO_2C_2H_5$ . Вычислено %: C 11,57; H 1,72

## 8. Взаимодействие иодбензола с металлической ртутью

10,2 г иодбензола (0,05 мол.) и 50 г ртути (0,25 г-ат.), помещенные в кварцевую пробирку, снабженную мешалкой из ерша, облучали при перемешивании в течение 40 час. По окончании реакции осадок отфильтровывали, промывали петролейным эфиром и экстрагировали ацетоном. По испарении ацетона получали 1,6 г фенилмеркуриодида (8% от теоретич.). После кристаллизации из бензола т. пл. 266°. Литературные данные [14]: т. пл. 266°. Смешанная проба с заведомым фенилмеркуриодидом депрессии температуры плавления не дает. Наряду с фенилмеркуриодидом образуется иодистая ртуть.

## 9. Взаимодействие $\alpha$ -иоднафталина с металлической ртутью

12,7 г  $\alpha$ -иоднафталина (0,05 мол.) и 50 г ртути (0,25 г-ат.) встряхивали в кварцевой пробирке в течение 50 час. При обработке реакционной смеси, как в предыдущем опыте, получали 1,4 г  $\alpha$ -нафтилмеркуриодида (6% от теории). После кристаллизации из смеси бензола и спирта т. пл. 184,5°. Литературные данные [14]: т. пл. 185°. Наряду с  $\alpha$ -нафтилмеркуриодидом образуется иодистая ртуть.

## 10. Взаимодействие полигалондметанов с металлической ртутью

а) Взаимодействие бромформа со ртутью в присутствии перекиси бензоила. 126,5 г бромформа (0,5 мол.), 20 г ртути, нанесенной на сульфат бария (0,1 г-ат.), и 0,5 г перекиси бензоила помещали в колбу, снабженную мешалкой и капельной воронкой. Реакционную смесь нагревали при перемешивании на кипящей водяной бане 8—10 час., после чего трижды через каждые 2—3 часа добавляли по 0,5 г перекиси бензоила в 10 мл бромформа. Реакция оканчивается в 16—20 час. (осадок становится белым). Осадок отсасывали и экстрагировали ацетоном. В ацетон переходит бромная ртуть (7,0 г). В остатке остается смесь бромистой ртути и сернохлористого бария. Из фильтрата отгоняли бромформ при 60 мм (67°); остаток — представлял собой загрязненную бензойную кислоту.

б) Взаимодействие бромформа со ртутью при облучении. 126,5 г бромформа (0,5 мол.) и 20 г ртути на сульфате бария (0,12 г-ат.) помещали в кварцевую колбу и облучали ультрафиолетовым светом при перемешивании. Реакция заканчивалась в 28 час. Реакционную смесь разбавляли эфиром и отсасывали осадок, состоявший из бромной ртути, бромистой ртути и сульфата бария. Отгоняли эфир из фильтрата при нормальном давлении, а бромформ — при 60 мм. Остаток, представляющий собой пентабромэтан, перегоняется при 120° (12 мм). Вес 0,5 г; т. пл. 52—53°. Литературные данные [15]: т. пл. 54°.

в) Взаимодействие бромформа со ртутью при 100°. 126,5 г бромформа и 20 г ртути на сульфате бария нагревали на кипящей водяной бане до тех пор, пока осадок не становился белым. На это требуется ~60 час. Реакционную смесь обрабатывали, как в предыдущем опыте, и выделяли бромную и бромистую ртуть, а также 0,3 г пентабромэтана.

г) Взаимодействие четыреххлористого углерода со ртутью в присутствии перекиси бензоила. В колбу, снабженную обратным холодильником с хлоркальциевой трубкой и мешалкой, помещали 100 г четыреххлористого углерода, 20 г ртути на сульфате бария и 1 г перекиси бензоила. Нагревали реакционную смесь до кипения и непрерывно перемешивали, прибавляя еще дважды по 0,5 г перекиси бензоила через интервалы в 15 час. Через 50 час. осадок становился совершенно белым. Он состоит из каломели и сульфата бария. Фильтрат испаряли, а остаток, состоявший из гексахлорэтана, подвергали возгонке. Выход гексахлорэтана 1,5 г. После вторичной возгонки т. пл. 185,5—186,5°. Литературные данные [16]: т. пл. 186,85—187,40°.

д) Взаимодействие четыреххлористого углерода со ртутью при 120—130°. 77 г четыреххлористого углерода (0,5 мол.) и 100 г ртути на сульфате бария (0,5 г-ат.) нагревали в запаянной ампуле 40 час. при 120—130°. При вскрытии ампулы выделяется небольшое количество хлористого водорода. Содержимое ампулы разбавляли эфиром и отфильтровывали от осадка, состоящего из каломели и сульфата бария. Эфирный раствор испаряли, а остаток подвергали возгонке. Выход чистого гексахлорэтана 3,5 г (6% от теоретич.).

## ВЫВОДЫ

1. Исследованы реакции некоторых жирных и ароматических галоидопроизводных с металлической ртутью.

2. Показано, что реакция галоидопроизводных с металлической ртутью активируется ультрафиолетовым светом и перекисью бензоила; это служит доводом в пользу гомолитического механизма изученных реакций.



3. Найдено, что ароматические подпроизводные, а также жирные и жирно-ароматические бромпроизводные способны реагировать с металлической ртутью, образуя ртутноорганические соединения.

Московский государственный университет  
им. М. В. Ломоносова

Поступило  
20.X.1952

#### ЛИТЕРАТУРА

1. E. Frankland, Ann. 85, 365 (1853).
  2. A. Strecker, Ann. 92, 75 (1854).
  3. Н. Н. Зинин, Ann. 96, 363 (1855).
  4. L. Henry, Ber. 17, 1132 (1884).
  5. I. Nef, Ann. 308, 299 (1899).
  6. I. Sakurai, J. Chem. Soc. 37, 658 (1880); 39, 485 (1881); 41, 360 (1882).
  7. I. Maynard, J. Am. Chem. Soc. 54, 2108 (1932).
  8. А. Е. Кретов и В. А. Абрамов, ЖОХ 7, 1572 (1937).
  9. О. А. Реутов и М. А. Беспрозванный, ДАН 80, 765 (1951).
  10. А. Н. Несмеянов и И. Ф. Луценко, ДАН 59, 707 (1948).
  11. А. Н. Несмеянов, И. Ф. Луценко и З. М. Туманова, Уч. зап. МГУ, вып. 132, 44 (1950).
  12. K. V. Vijayaraghavan, J. Ind. Chem. Soc. 17, 589 (1940).
  13. W. Beckh, Ber. 31, 3164 (1898).
  14. W. Steinkopf, Ann. 413, 329 (1917).
  15. L. Densel, Ber. 12, 2208 (1879).
  16. W. Stadel, Ber. 11, 1738 (1878).
  17. Г. А. Разуваев, М. А. Шубенко, ЖОХ 21, 1974 (1951).
-

К. А. АНДРИАНОВ и А. В. ТОПЧИЕВ

## ОСНОВЫ НОМЕНКЛАТУРЫ И КЛАССИФИКАЦИИ ВЫСОКОМОЛЕКУЛЯРНЫХ КРЕМНИЙОРГАНИЧЕСКИХ СОЕДИНЕНИЙ

Химия высокомолекулярных кремнийорганических соединений в последние два десятилетия оформилась как важнейшее направление развития кремнийорганической химии будущего. Для дальнейшего успешного ее развития необходимо систематизировать уже накопленный материал и разработать номенклатуру и классификацию высокомолекулярных кремнийорганических соединений. Разработка номенклатуры и классификации для этого важнейшего раздела химии кремнийорганических соединений облегчает ее изучение и успех ее дальнейшего развития. В настоящее время названия высокомолекулярных кремнийорганических соединений образуются без определенной системы и очень часто они произвольны и не отражают химического строения самого высокомолекулярного кремнийорганического соединения, а потому по ним нельзя получить представления о возможных химических превращениях и свойствах вещества. В литературе не была еще предложена номенклатура и классификация высокомолекулярных кремнийорганических соединений.

В одной из наших статей были изложены [1] основные принципы предлагаемой нами номенклатуры и классификации низкомолекулярных кремнийорганических соединений. В основу рациональной номенклатуры высокомолекулярных кремнийорганических соединений предлагается положить строение основной цепи макромолекулы. Названия высокомолекулярных кремнийорганических соединений слагаются из числа и названия конечных групп, названия радикалов, атомных групп или атомов, которые связаны с атомом кремния или другими атомами звена цепи молекулы, и указывается их число, названия радикалов, атомных групп или атомов, из которых построена цепь макромолекулы. Число звеньев цепи обозначается приставкой «поли». Для конечных групп указывается их положение у первого и конечного атома ( $1 - n$ ); аналогично строятся названия и сополимеров. Атом кремния называется «силан».

В основу классификации высокомолекулярных кремнийорганических соединений кладем структуру основной цепи молекулы. Исходным веществом для классификации принимается полимерный кремнийводород  $H_3Si-[SiH_2]_x-SiH_3$ , а все остальные высокомолекулярные кремнийорганические соединения рассматриваются как производные последнего, т. е. как вещества, образовавшиеся от замещения в нем атомов водорода на органические радикалы или атомные группы, и для некоторых классов соединений с одновременным замещением Si—Si-связи на двухвалентный радикал, кислород, аминогруппу ( $-NH$ )— и т. д.

При замещении в полимерном кремневодороде водорода на радикалы или атомные группы, например:

Метил  $CH_3-$   
Этил  $C_2H_5-$   
Пропил  $C_3H_7-$   
Бутил  $C_4H_9-$   
Фенил  $C_6H_5-$

Радикалы  
Хлорметил  $ClCH_2-$   
Хлорэтил  $ClCH_2CH_2-$   
Хлорфенил  $ClC_6H_4-$   
Винил  $CH_2=CH-$   
Ацетинил  $CN\equiv C-$  и т. д.

Атомные группы  
Метокси  $CH_3O-$   
Этокси  $C_2H_5O-$   
Фенокси  $C_6H_5O-$   
Анилино  $C_6H_5NH-$  и т. д.

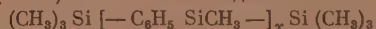
и одновременном замещении Si — Si-связи на двухвалентные радикалы ( $—R—$ ) или двухвалентную атомную группу ( $—NH—$ ;  $—OM''—$ , где М — металл) или атом кислорода, — соответственно образуются классы высокомолекулярных кремнийорганических соединений.

Наиболее соответствует современному состоянию и изучению высокомолекулярных кремнийорганических веществ разделение их на следующие классы.

1. **Силаноцепные полимеры или алкил(арил)полисиланы.** Силаноцепные полимеры — вещества, имеющие цепь, состоящую только из атомов кремния. Этот класс веществ образуется при замещении водородов в полимерном кремневодороде  $—SiH_3$ ,  $—[H_2Si]_x SiH_3$  на органические радикалы или атомные органические группы. Названия их складываются из числа и названия конечных групп, названия радикалов или атомных групп (указывается их число в звене цепи молекулы), названия атомов, из которых построена основная цепь молекулы полимера, и приставки «поли», например:



(1 — n) Гексаметилполидиметилсилан



(1 — n) Гексаметилполифенилметилсилан



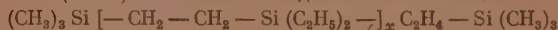
Полифенилметилсилан

Этот класс соединений получается при действии на алкил(арил)галогосиланы щелочными металлами, а также может быть получен и другими методами. Цепь из атомов кремния при гидролизе, особенно в щелочной среде, разрушается. При пиролизе силаноцепные полимеры распадаются с образованием низкомолекулярных продуктов, легко окисляющихся кислородом воздуха.

2. **Карбосиланоцепные полимеры или органополиалкил(арил)силаны.** Карбосиланоцепные полимеры — вещества, имеющие цепь, состоящую из атомов углерода и кремния. Этот класс веществ образуется при замещении водорода в полимерном кремневодороде  $H_3Si — [SiH_2—]_x SiH_3$  на радикалы или атомные группы с одновременным замещением Si — Si-связи на двухвалентные алкильные или арильные радикалы. Названия их складываются из числа и названия конечных групп, приставки «поли», названия и числа радикалов или атомных групп звена цепи молекулы и названия радикалов и атомов, из которых построена цепь макромолекулы, например



(1 — n) Гексаметилполидиметилметиленилсилан



(1 — n) Гексаметилполидиэтилэтиленилсилан

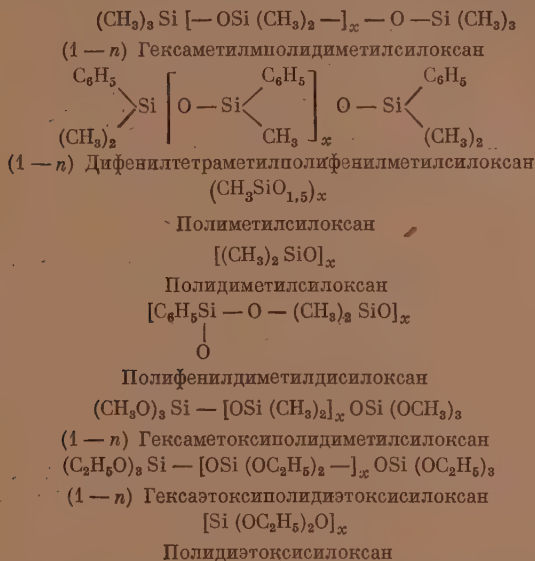


(1 — n) Гексаметилполидиметилфениленилсилан

Этот класс соединений получается при действии на алкил(арил)галогосиланы и дигалогидные производные щелочными металлами и т. д. Цепь из атомов углерода и кремния в полимерной молекуле не разрушается водой при гидролизе. При пиролизе карбосиланоцепных полимеров очень часто образуются низкомолекулярные полимерные соединения с аналогичным строением цепи молекулы.

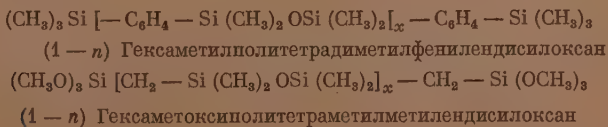
**Кислородсиланоцепные полимеры или органополиалкил(арил)силоксаны.** Органополиалкил(арил)силоксаны — вещества, имеющие цепь

макромолекулы, состоящую из атомов кислорода и кремния. Этот класс веществ образуется при замещении водородов в полимерном кремневодороде  $\text{H}_3\text{Si} - [\text{SiH}_2]_x - \text{SiH}_3$  на радикалы или атомные группы с одновременным замещением  $\text{Si} - \text{Si}$ -связи на кислород. Названия их складываются из числа и названия конечных групп, приставки «поли», названия и числа радикалов и атомных групп, связанных с кремнием в звене цепи, и названия радикалов и атомов, из которых построена цепь макромолекулы:



Этот класс соединений получается при гидролизе водой органогалогенидов, органозамещенных эфиров ортокремневой кислоты и других соединений, содержащих гидролитически отщепляющиеся группы у атома кремния; может быть получен и другими методами. Кислородсодержащая цепь в полимере не разрушается при гидролизе. Органополиалкил(арил)силоксаны, устойчивые к температуре соединения, однако при очень высоких температурах полимеры с линейной цепью молекул деполимеризуются, очень часто образуются низкомолекулярные соединения такого строения  $(\text{R}_2\text{SiO})_x$ , где  $x = 3, 4, 5, 6$  и т. д. При пиролизе в присутствии кислорода воздуха могут переходить в пространственный полимер за счет срыва органических групп и образования связи  $\text{Si} - \text{O}$ .

4. Углеродсилоксаноцепные полимеры или органополиалкил(арил)силоксаны. Углеродсилоксаноцепные полимеры — вещества, имеющие цепь, состоящую из углерода, кремния и кислорода. Этот класс веществ образуется при замещении водородов в полимерном кремневодороде  $\text{H}_3\text{Si} - [\text{SiH}_2]_x - \text{SiH}_3$  на органические радикалы или группы, с одновременным замещением  $\text{Si} - \text{Si}$ -связи на органические двухвалентные радикалы и кислород. Названия их складываются из числа и названия конечных групп, приставки «поли», названия и числа радикалов и атомных групп, связанных с кремнием в звене цепи, и названия радикалов и атомов, из которых построена цепь макромолекулы, например:

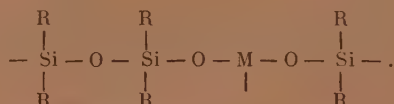




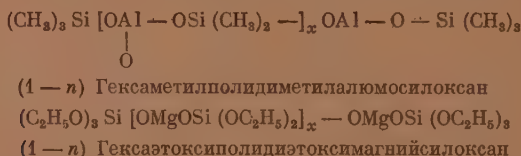
Этот класс соединений получается при действии на органогалогенсиланы и органогалогендисилоксаны щелочными металлами. Они могут быть получены и другими способами. Цепь этих молекул не разрушается при гидролизе водой; они устойчивы к действию температуры, но при высоких температурах подвергаются пиролизу с распадом основной цепи молекулы.

**5. Металлоксилородсиланоцепные полимеры или органополиалкил(арил)-металлосилоксаны.** Металлоксилородсиланоцепные полимеры — вещества, имеющие цепь, состоящую из атомов металла, кислорода и кремния. В качестве металла может быть двухвалентный или любой поливалентный металл (магний, алюминий, хром, свинец, олово и т. д.).

Цепь строения молекулы может быть выражена так:

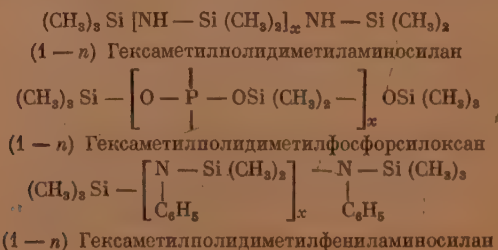


Этот класс соединений образуется при замещении водородов в полимерном кремневодороде  $\text{H}_3\text{Si} - [\text{SiH}_2]_x - \text{SiH}_3$  на радикалы или атомные группы, с одновременным замещением  $\text{Si} - \text{Si}$ -связи на кислород  $\text{O}$  или  $-\text{OM}$ -группы, где  $\text{M}$  — двухвалентный, поливалентный металл. Названия этого класса соединений складываются из названия и числа конечных групп, приставки «поли», числа и названия радикалов или атомных групп, связанных с кремнием или металлами в звене цепи полимера, и названия атомов, из которых построена цепь макромолекулы, например:



**6. Металлоидкислородсиланоцепные полимеры или органополиалкил(арил)металлоидсилоксаны.** Металлоидкислородсиланоцепные полимеры — вещества, имеющие цепь, состоящую из атомов азота, кислорода и кремния или другого металлоида: фосфора, серы и т. д. Этот класс полимерных соединений образуется при замещении водородов в полимерном кремневодороде  $\text{H}_3\text{Si} - [\text{SiH}_2]_x - \text{SiH}_3$  на радикалы или атомные группы, с одновременным замещением  $\text{Si} - \text{Si}$ -связи на металлоид  $\text{S}$  и т. д. или металлоидную группу, например  $-\text{NH}-$ ;  $-\text{OPO}-$  и т. д.

Названия высокополимерных кремнийорганических соединений этого класса складываются из названия и числа конечных групп, приставки «поли», числа и названия радикалов и атомных групп, связанных с кремнием и металлоидами в звене цепи полимера, и названия атомов и металлоидных групп, из которых построена цепь макромолекулы, например:



Этот класс соединений мало изучен, известно только очень небольшое число полимеров. Высокополимерные вещества, содержащие азот, получают при действии на алкиларилгалогосиланы действием аммиака или аминов. Соединения, содержащие в составе цепи молекулы фосфора, получают при действии фосфорного ангидрида или эфиров фосфорной кислоты на кремнийорганические соединения, содержащие гидроксильные группы у атома кремния, и т. д. Цепь этих молекул разрушается при гидролизе водой. При пиролизе цепь молекулы распадается.

Предлагаемая схема классификации высокомолекулярных кремнийорганических соединений является только принципиальной; в ней рассмотрены линейные и циклические полимеры, но не нашли отражения разветвленные цепи; возможность их включения в рассмотренную классификацию не вызывает сомнений.

Так же легко укладываются в рассматриваемую схему классификации и такие высокополимерные кремнийорганические соединения, которые содержат в своем составе не только атомные группы или органические радикалы, но одновременно и те и другие. Введение в органический радикал, связанный с атомом кремния в звене цепи молекулы любой органической группы не изменяет класса данного вещества, так как классификация основана на строении цепи молекулы.

Все свойства высокомолекулярных кремнийорганических соединений в большей степени, чем у органических высокополимеров, определяются строением основной цепи макромолекулы, поэтому классификация полимеров по строению цепи молекулы позволяет предсказывать свойства полимеров.

### ВЫВОДЫ

1. Предложена номенклатура и классификация высокомолекулярных кремнийорганических соединений.
2. В основу классификации высокомолекулярных кремнийорганических соединений положена структура основной цепи молекулы.
3. Исходным веществом для классификации принят полимерный кремневодород  $H_3Si[SiH_2]_xSiH_3$ , а все другие высокомолекулярные кремнийорганические соединения рассматриваются как производные последнего.

Поступило  
11.IX.1953

### ЛИТЕРАТУРА

1. А. В. Топчиев и К. А. Андрианов, Изв. АН СССР, ОХН, № 3, 490 (1953).

Б. А. КАЗАНСКИЙ, И. В. ГОСТУНСКАЯ и А. М. ГРАНАТ

# КАТАЛИТИЧЕСКОЕ ГИДРИРОВАНИЕ ДВУНЕПРЕДЕЛЬНЫХ СОЕДИНЕНИЙ С СОПРЯЖЕННОЙ СИСТЕМОЙ ДВОЙНЫХ СВЯЗЕЙ

## СООБЩЕНИЕ 2. ГИДРИРОВАНИЕ ИЗОПРЕНА В ПРИСУТСТВИИ ПЛАТИНЫ, ПАЛЛАДИЯ И НИКЕЛЯ

В работе Казанского и Поповой [1] показано, что в присутствии платины, палладия и скелетного никеля диизокротил (2,5-диметилгексадиен-2,4) гидрируется, присоединяя водород одновременно по всем возможным направлениям, и поэтому, согласно классификации Лебедева, гидрирование диизокротила должно быть отнесено ко второму типу гидрирования 1,3-диенов. Преимущественно, хотя и в разной степени, в зависимости от природы катализатора водород присоединяется к диизокротилу в положение 1,2. Одновременно с моноолефинами всегда в той или иной степени образуется и продукт полного гидрирования — диизобутил; больше всего его образуется в присутствии платины, с которой гидрирование идет наименее избирательно, и меньше всего — в присутствии скелетного никеля; в последнем случае гидрирование протекает наиболее избирательно и основным продуктом реакции (~90%) оказывается 2,5-диметилгексен-2. Кривые скорости гидрирования диизокротила не характеризуют действительного течения реакции.

Влияние природы катализатора на характер присоединения водорода к диизокротилу, наблюдавшееся в упомянутой работе, побудило нас провести сравнительное исследование гидрирования изопрена в присутствии тех же катализаторов, несмотря на то что эта реакция в присутствии платиновой черни уже была описана в 1928 г. Лебедевым и Якубчик [2]. Последние нашли, что изопрен принадлежит ко второму типу диенов по классификации Лебедева.

Авторы не выделяли индивидуальных углеводородов из продуктов гидрирования изопрена на 50%, а, удалив предварительно непрореагировавший изопрен при помощи  $\text{SO}_2$ , судили об их природе, анализируя кинетические кривые реакций присоединения к этим продуктам водорода до полного насыщения и учитывая его количество (разница вычисленного объема водорода с фактически наблюдаемым давала возможность судить о содержании изопентана в продуктах первой стадии гидрирования). При присоединении 50% водорода (одной молекулы) из изопрена может образоваться смесь изопропилэтилена (3-метилбутена-1), несимметричного метилэтилэтилена (2-метилбутена-1) и триметилэтилена (2-метилбутена-2), которые далее будут гидрироваться с различными скоростями [3], давая на кинетических кривых гидрирования отдельные участки. Поэтому, прибавляя к лишенному изопрена продукту гидрирования определенные навески изопропилэтилена или триметилэтилена и гидрируя эти смеси, можно было по кривым контролировать содержание перечисленных углеводородов в исследуемых продуктах путем сравнения найденных таким путем данных с данными анализа кинетических кривых, полученных без таких добавок.

На основании всех достигнутых таким образом результатов Лебедев и Якубчик пришли к выводу, что состав продукта присоединения одной

молекулы водорода к изопрену в присутствии платиновой черни таков:

Изопрен	30 мол. %
Изопентан	30 »
Изопропилэтилен	12 »
Несимметричный метилэтилэтилен	13 »
Триметилэтилен	15 »
	<hr/> 100%

Кроме Лебедева, каталитическое гидрирование изопрена изучалось Дюпоном [4] в присутствии скелетного никеля. Полученная им смесь продуктов гидрирования исследовалась методом спектров комбинационного рассеяния света и в ней были обнаружены эквимолекулярные количества изопропилэтилена и триметилэтилена. Отсутствие несимметричного метилэтилэтилена в продуктах гидрирования изопрена у Дюпона вызывает некоторое недоумение и сомнения в достаточной точности анализа смеси.

В настоящей работе мы поставили себе целью разобраться в составе продуктов присоединения одной молекулы водорода к изопрену в присутствии платины, палладия и скелетного никеля путем выделения компонентов смеси перегонкой на колонке эффективностью ~70 теоретических тарелок. Основная трудность, с которой нам пришлось столкнуться, заключалась в летучести углеводородов (т. кип. от 20 до 39°), вызывавшей потери при обработке их смесей (главным образом промывании, разделении, переливании и т. д.), несмотря на применявшееся охлаждение. Ввиду того что потери при перегонках на колонках были сравнительно невелики, мы полагаем, что их можно отнести в более или менее равной степени на счет всех компонентов смесей.

В результате измерения скорости гидрирования изопрена в присутствии трех катализаторов были получены кривые гидрирования, которые по своему характеру отличались друг от друга. Кривые гидрирования в присутствии платиновой черни имеют перелом в момент присоединения 70% водорода, что соответствует израсходованию всего изопрена; Лебедев назвал эту точку «критической точкой гидрирования сопряженной системы». На кривых гидрирования изопрена в присутствии палладиевой черни и скелетного никеля виден один перелом, наступающий в случае палладия, несколько позже присоединения одной молекулы водорода (50%), а в случае скелетного никеля — в момент присоединения одной молекулы водорода. Судя по кривым, можно предположить, согласно классификации Лебедева, что процесс гидрирования с двумя последними катализаторами идет довольно избирательно, но детальное исследование продуктов реакции показало, что здесь, как и с платиной, присоединение водорода идет по всем возможным направлениям. Роль природы катализатора сказывается в том, что при присоединении первой молекулы водорода в присутствии палладиевой черни и скелетного никеля сполна насыщенный углеводород образуется в меньшем количестве, чем в случае платиновой черни (2—3% вместо 25—30%), а также в том, что с разными катализаторами получаются разные соотношения между тремя амиленами. Так, в случае платиновой черни основными направлениями реакции были присоединение водорода в положение 3,4 сопряженной системы с образованием несимметричного метилэтилэтилена и присоединение двух молекул водорода до изопентана; в случае палладиевой черни — присоединение водорода в положение 1,4 с образованием триметилэтилена, а в случае скелетного никеля — также присоединение водорода в положение 1,4, но наряду с этим и в положение 3,4 с образованием несимметричного метилэтилэтилена.

По сравнению с диизокротилом изопрен, представляющий собою дивинил с одним заместителем у второго углеродного атома, при гидрировании присоединяет больше водорода к первому и четвертому атомам углерода; особенно сильно это выражено в случаях палладия и никеля. Такие же



особенности в направлении реакции, но в более ярко выраженной форме, наблюдаются и при присоединении водорода в момент выделения к этим двум углеводородам: при действии кальцийаммония динизокротил также присоединяет водород главным образом в положение 1,2 [5] (то же наблюдается под влиянием системы натрий — жидкий аммиак [6]); изопрен в этих условиях присоединяет водород преимущественно в положение 1,4 [5].

## ЭКСПЕРИМЕНТАЛЬНАЯ ЧАСТЬ

**1. Характеристика исходного изопрена.** Исходный изопрен перегонялся на колонке для точной ректификации в 70 теоретических тарелок и имел следующие свойства: т. кип.  $33,5^\circ$  при 750 мм;  $n_D^{20}$  1,4224;  $d_4^{20}$  0,6798; найдено  $MR$  24,45; вычислено для  $C_5H_8$  2F 24,33; инкремент молекулярной рефракции 1,12. Литературные данные [2]: т. кип.  $34,5^\circ$  при 765 мм;  $n_D^{20}$  1,42207;  $d_4^{20}$  0,6803; найдено  $MR$  24,40; вычислено для  $C_5H_8$  2F 24,33.

**2. Методика гидрирования и исследования продуктов реакции.** Гидрирование изопрена проводилось при комнатной температуре и атмосферном давлении в качающейся стеклянной утке со скоростью перемешивания  $\sim 300$  двойных качаний в минуту. Количество поглощенного водорода измерялось в газовой бюретке на 100 мл с делениями на 0,2 мл. Отсчеты при построении кривой гидрирования производились через каждые 0,5 мин. Знаком (X) на кривых гидрирования обозначен конец присоединения первой молекулы водорода.

Платиновая и палладиевая черни готовились по Вильштеттеру [7]; скелетный никель — по Адкинсу [8]. Растворителем служил 96%-ный спирт. В опытах, поставленных с целью изучения состава продуктов присоединения одной молекулы водорода к изопрену, реакция велась до поглощения заранее вычисленного для данной навески изопрена объема водорода, затем катализатор отфильтровывался и спиртовой раствор продуктов гидрирования перегонялся на колонке для выделения азеотропных смесей углеводородов, образующихся при гидрировании, со спиртом. Спирт отмывался охлажденным раствором хлористого кальция; из полученной смеси углеводородов в опытах с платиной и палладием изопрен удалялся по способу Дильса и Альдера [9] реакцией с малеиновым ангидридом в бензольной среде, так как присутствие изопрена затрудняет дальнейшее разделение смеси; после этого углеводороды разгонялись на колонке в 70 теоретических тарелок. Идентификация полученных углеводородов проводилась на основании определения температур кипения, показателя преломления, удельного веса и бромного числа фракций. Бромные числа определялись по способу Кауфмана, видоизмененному Гальперном и Виноградовой [10]. На основании данных кривой разгонки и свойств функций производился расчет количеств различных углеводородов, получившихся в процессе гидрирования.

**3. Гидрирование изопрена в присутствии платиновой черни.** В табл. 1 даны условия проведения двух опытов гидрирования изопрена.

Таблица 1

№ опыта	Количество изопрена в мол.	Количество Pt в мол.	Количество спирта в мл	Температура опыта в $^\circ C$	Давление в мм рт. ст.	Количество водорода в мл	
						поглощено	вычислено
1	0,0127	0,0011	25	19	748	670	618
2	0,0105	0,0012	25	22	754	536	512

Таблица 2

№ фракции	Т. кип. в °С при 760 мм рт. ст.	Количество в г	$n_D^{20}$	$d_4^{20}$	MR		Бромное число *	Количество	
					найдено	вычислено		олефинов в %	изопентана в г
I	19,9—27,7	3,2	1,3635**	0,6301**	—	—	99,0	43,2	1,8
II	27,8	2,5	1,3553**	0,6176**	25,44	25,29	18,5	8,1	2,3
III	27,9—31,1	3,6	1,3618	0,6284	—	(C <sub>5</sub> H <sub>12</sub> )	67,1	29,4	2,5
IV	31,2	4,3	1,3780	0,6500	24,65	24,82 (C <sub>5</sub> H <sub>10</sub> )	—	—	—
V	31,3—38,4	2,1	1,3844	0,6583	—	—	—	—	—
VI	38,4—39,9	2,4	1,3887	0,6606	—	—	—	—	—
Остаток	—	5,0	1,5000	—	—	—	—	—	—

\* В графе «бромное число» приводятся данные только для тех фракций, которые содержат предельный углеводород; бромные числа остальных фракций близки к теоретическим.

\*\* При 15°.

Кривая гидрирования (фиг. 1) показывает, что процесс протекает сложно. Присоединение одного моля водорода никак не сказывается на кривой; изменение скорости гидрирования начинается после присоединения приблизительно 70% водорода. Аналогично кривой гидрирования, полученной Лебедевым, на кривых, полученных в данной работе, можно различить четыре участка.

С целью более подробного изучения процесса гидрирования изопрена в присутствии платиновой черни было прогидрировано на 50% 44,8 г изопрена. После отгонки и отмывки спирта и удаления изопрена малеиновым ангидридом смесь продуктов гидрирования с примесью бензола, оставшегося от предыдущей обработки, перегонялась на колонке в 70 теоретических тарелок. Получено шесть фракций, характеристика которых приведена в табл. 2; кривая разгонки дана на фиг. 2.

Физические свойства углеводородов, которые могут образоваться при присоединении водорода к изопрену, приведены в табл. 3 [11].

Принимая во внимание свойства полученных фракций, их бромные числа и свойства углеводородов, приведенных в табл. 3, можно подсчитать состав смеси продуктов гидрирования.

Фр. I содержит 1,4 г изопропилэтилена и 1,8 г изопентана

Фр. II содержит 0,2 г изопропилэтилена и 2,3 г изопентана

Фр. III содержит 1,1 г несимм. метилэтилэтилена и 2,5 г изопентана

Фр. IV содержит 4,3 г несимм. метилэтилэтилена

Фр. V содержит 0,8 г несимм. метилэтилэтилена и 1,3 г триметилэтилена

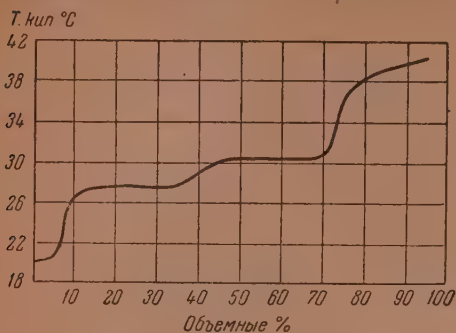
Фр. VI содержит 2,4 г триметилэтилена

Остаток в колбе — бензол



Фиг. 1. Кривые гидрирования изопрена в присутствии платиновой черни: 1 — опыт 1; 2 — опыт 2

Просуммировав содержание отдельных углеводов в различных фракциях и приняв во внимание правило Лебедева о том, что молярные количества диенового и насыщенного углеводов в момент присоеди-



Фиг. 2. Кривая разгонки продукта присоединения одной молекулы водорода к изопрену в присутствии платины

нения одной молекулы водорода к диену равны, получим следующий состав смеси продуктов гидрирования:

Изопропилэтилен	1,6 г	7,0 мол. %
Несимметричный метилэтилэтилен	6,2 »	26,0 »
Триметилэтилен	3,7 »	15,0 »
Изопрен	6,2 »	26,0 »
Изопентан	6,6 »	26,0 »

Отсюда видно, что гидрирование изопрена на 50% в присутствии платиновой черни идет по всем теоретически возможным направлениям, но больше всего образуется изопентана и несимметричного метилэтилэтилена — продукта присоединения одной молекулы водорода в положение 3,4 сопряженной системы.

Таблица 3

Углеводород	Т. кип. в °C при 760 мм рт. ст.	$d_4^{20}$	$n_D^{20}$
Изопропилэтилен	20,1	0,6340 (15°)	1,3677 (15°)
Несимметричный метилэтилэтилен	31,0	0,6504	1,3785
Триметилэтилен	38,6	0,6596	1,3876
Изопентан	27,9	0,6196	1,3579 (15°)

4. Гидрирование изопрена в присутствии палладиевой черни. Условия проведения двух опытов гидрирования приведены в табл. 4.

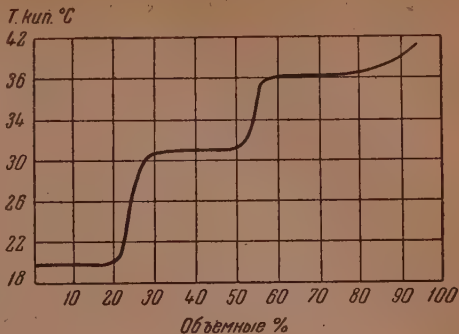
Таблица 4

№ опыта	Количество изопрена в мол.	Количество Pd в мол.	Количество спирта в мл	Температура в °C	Давление в мм рт. ст.	Количество водорода в мл	
						поглощено	вычислено
1	0,0060	0,0008	25	21,0	754	272	292
2	0,0103	0,0020	25	23,5	752	512	506



Фиг. 3. Кривые гидрирования изопрена в присутствии палладиевой черни: 1 — опыт 1; 2 — опыт 2

Кривые гидрирования изопрена в присутствии палладиевой черни (фиг. 3) имеют перелом немного спустя после присоединения одной молекулы водорода. Скорость гидрирования резко падает после перелома и затем медленно убывает. Для подробного изучения продуктов присоединения одной молекулы водорода к изопрену в присутствии палладия было прогидрировано 44,3 г изопрена. Продукт гидрирования выделен из спиртового раствора и освобожден от изопрена, как было указано выше. При разгонке на колонке в 70 теоретических тарелок получена кривая, приведенная на фиг. 4. Результаты разгонки и свойства полученных фракций приведены в табл. 5.



Фиг. 4. Кривая разгонки продукта присоединения одной молекулы водорода в присутствии палладия

Принимая во внимание свойства полученных фракций, их бромные числа и свойства индивидуальных углеводородов, которые могут получиться при гидрировании изопрена, был произведен расчет состава смеси продуктов гидрирования, аналогично тому, как это было сделано в опыте с платиной. Получены такие результаты:

Изопропилэтилен	25 мол. %
Несимметричный метилэтилэтилен	30 »
Триметилэтилен	41 »
Изопентан	2 »
Изопрен	2 »

Таким образом, процесс гидрирования изопрена в присутствии палладиевой черни протекает во всех возможных направлениях, но преобладающим направлением реакции является присоединение одной молекулы водорода в положение 1,4 сопряженной системы с образованием триметилэтилена.

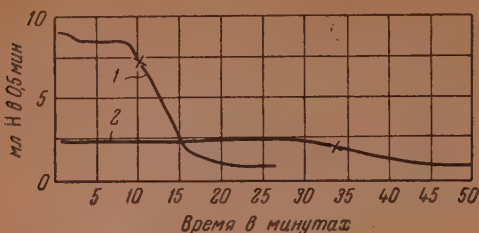
Таблица 5

№ фракций	Т. кип. в °C при 760 мм рт. ст.	Количество в г	$n_D^{20}$	$d_4^{20}$	MR		Бромное число	Количество	
					найдено	вычислено для $C_5H_8$		олефинов в %	изопентана в г
I	20,1—20,2	2,9	1,3685 (15°)	0,6320 (15°)	24,92	24,82	—	—	—
II	20,3—28,6	1,3	1,3675 (15°)	0,6379 (15°)	—	—	198,3	84,1	0,2
III	28,7—30,9	1,0	1,3739	0,6489	—	—	—	—	0,2*
IV	31,0—31,1	2,9	1,3785	0,6506	24,82	—	—	—	—
V	31,2—38,3	2,3	1,3834	0,6566	—	—	—	—	—
VI	38,4—38,5	3,5	1,3879	0,6615	24,92	—	—	—	—
VII	38,6—40,0	1,8	1,3887	0,6618	—	—	—	—	—
Остаток		3,4	1,5022	—	—	—	—	—	—

\* Содержание предельного углеводорода в фр. III было вычислено на основании удельного веса и показателя преломления, так как бромное число фракции определить не удалось.



5. Гидрирование изопрена в присутствии скелетного никеля. Условия проведения двух опытов приводятся в табл. 6.



Фиг. 5. Кривые гидрирования изопрена в присутствии скелетного никеля: 1 — опыт 1; 2 — опыт 2

прена в присутствии скелетного никеля изопрена. Продукты присоединения одной молекулы водорода к изопрену были обработаны по-предыдущему, исключая операцию удаления изопрена при помощи малеинового ангидрида, так как предполагалось, что в смеси он отсутствует. В действительности оказалось, что изопрен в небольшом количестве в продуктах реакции имелся.

При разгонке выделенного из спиртового раствора продукта реакции гидрирования изопрена в присутствии никеля были получены результаты, приведенные в табл. 7 (кривая фиг. 6). С целью более полной отгонки полученных углеводов к разгоняемой смеси было добавлено 6 мл циклогексана.

Расчет содержания отдельных углеводов, образовавшихся при присоединении одной молекулы водорода к изопрену в присутствии никеля, привел к следующим результатам:

Изопропилэтилен	16 мол. %
Несимметричный метилэтилэтилен	40 »
Триметилэтилен	40 »
Изопентан	2 »
Изопрен	2 »

Таблица 6

№ опыта	Количество изопрена в мол.	Количество Ni в мол.	Количество спирта в мл	Температура опыта в °C	Давление в мм рт. ст.	Количество водорода в мл	
						поглощено	вычислено
1	0,0066	0,0028	30	20,5	759	218*	318
2	0,0067	0,0015	30	20,8	748	190*	328

\* Ввиду того что гидрирование на последней стадии шло с очень малой, но остоянной скоростью, реакция не была доведена до конца.

Таблица 7

№ фракции	Т. кип. в °C при 760 мм	Количество в %	$n_D^{20}$	$d_4^{20}$	MR		Бромное число	Количество	
					найдено	вычислено (C <sub>5</sub> H <sub>10</sub> )		олефинов в %	изопентана в %
I	20,0—20,1	4,4	1,3672 (15°)	0,6316 (15°)	25,05	24,82	—	—	—
II	20,2—27,3	0,9	1,3636 (15°)	0,6305 (15°)	—	—	218,5	95,5	0,04
III	27,4—31,0	3,4	1,3712	0,6397	—	—	183,5	80,2	0,68
IV	31,1	9,1	1,3783	0,6502	24,84	—	—	—	—
V	31,2—38,3	4,0	1,3936 *	0,6595	—	—	—	—	—
VI	38,4	10,8	1,3882	0,6606	25,00	—	—	—	—
VII	38,4—46,2	1,3	1,3883	0,6605	—	—	—	—	—

\* Высокий показатель преломления фр. V объясняется присутствием некоторого количества изопрена.

Таким образом, в присутствии скелетного никеля присоединение водорода к изопрену идет по всем возможным направлениям. Преобладает присоединение в положение 1,4 сопряженной системы (образуется триметилэтилен) и в положение 3,4 (образуется несимметричный метилэтилэтилен).

### ВЫВОДЫ

1. Гидрирование изопрена в присутствии палладия и никеля, так же как и гидрирование изопрена в присутствии платины, изученное ранее Лебедевым, идет по второму типу гидрирования диенов.

2. В присутствии платины наблюдается меньшая избирательность при присоединении водорода, чем в присутствии палладия и никеля, которые в этом отношении близки друг к другу.

3. Формы кривых скоростей гидрирования ни в одном случае не характеризуют действительного течения реакции.

Московский государственный университет  
им. М. В. Ломоносова

Поступило  
11.X.1952

### ЛИТЕРАТУРА

1. Б. А. Казанский и Н. И. Попова, Изв. АН СССР, ОХН № 3, 422 (1952).
2. С. В. Лебедев и А. И. Якубчик, ЖРХО 59, 981 (1927).
3. С. В. Лебедев, Г. Г. Коблянский и А. И. Якубчик, ЖРХО 56, 265 (1924).
4. G. Dupont, C. Raquet, C. r. 205, 805. (1937).
5. Б. А. Казанский и И. В. Гостунская, ДАН 71, 295 (1950).
6. Р. Я. Левица и В. Р. Скварченко, Вестник МГУ, 10, 123 (1948).
7. R. Wilstätter, Ber. 41, 2198 (1908).
8. H. Adkins, V. Covert, J. Am. Chem. Soc. 51, 4116 (1929).
9. O. Diels, K. Alder, Ann. 740, 101 (1929).
10. Г. Д. Гальперн, Е. В. Виноградова, Химия твердого топлива 8, 384 (1937).
11. G. Egloff, Physical Constants of Hydrocarbons, V. I. N.-Y., 1939.

Н. Н. ШУЙКИН и Е. А. ТИМОФЕЕВА

# ИССЛЕДОВАНИЕ ПРЕВРАЩЕНИЙ ИНДИВИДУАЛЬНЫХ УГЛЕВОДОРОДОВ В КОНТАКТЕ С АКТИВИРОВАННОЙ ТРОШКОВСКОЙ ГЛИНОЙ

## СООБЩЕНИЕ 1. ПРЕВРАЩЕНИЯ ЦИКЛОГЕКСЕНА, 4-МЕТИЛЦИКЛОГЕКСЕНА-1 И ОКТЕНА-1

Превращения непредельных углеводородов в контакте с синтетическими алюмосиликатами изучены довольно подробно [1—7]. Эти превращения состоят в перераспределении водорода, приводящего к образованию ароматических и предельных углеводородов. Наряду с перераспределением водорода идут реакции дегидроциклизации, изомеризации, уплотнения исходных углеводородов и расщепления углерод-углеродных связей, сопровождающиеся образованием углистых отложений на катализаторе. Так, в катализатах циклогексена, полученных в присутствии алюмосиликатных катализаторов, были обнаружены метилциклопентены, метилциклопентан и смесь ароматических углеводородов, содержание которых в катализатах возрастало с повышением температуры катализа; при этом значительная часть циклогексена подвергалась уплотнению.

Блох и Томас [2] из циклогексена в присутствии катализатора  $\text{SiO}_2$ — $\text{Al}_2\text{O}_3$ — $\text{ThO}_2$  при  $400^\circ$  получили 97,1% жидкого катализата, в котором содержалось:

Алканов состава $\text{C}_5$ и $\text{C}_6$	3,5%
Метилциклопентана	26,3%
Метилциклопентенов	23,5%
Циклогексена	1,5%
Высококипящих углеводородов	42,2%
(в том числе диметилнафталина)	7,0%

Гринсфельдер и Воге [3] изучали превращения циклогексена в контакте с алюмосиликатно-циркониевым катализатором при  $500^\circ$ . Авторы пришли к выводу, что основными реакциями в этом процессе являются изомеризация, насыщение водородом, уплотнение и крекинг.

При изучении поведения бутенов, пентенов, гексенов и октенов в присутствии различных образцов алюмосиликатного катализатора найдено, что они претерпевают глубокие изменения: изомеризацию с последующим гидрированием образующихся продуктов, частичное уплотнение, расщепление по углерод-углеродным связям и, в некоторых случаях, превращение с образованием ароматических углеводородов.

Маслянский и Велтистова [4] при контактировании смеси н.бутенов с синтетическим алюмосиликатом при  $370^\circ$  получили в качестве главного продукта реакции октены и, кроме того, 19% ароматических углеводородов, содержание которых в катализате возрастало при повышении температуры до  $450^\circ$  почти вдвое (до 37,2%). В газообразных продуктах найдено значительное количество изобутана.

Томас [1] изучал превращения октенов на алюмосиликатно-циркониевом катализаторе при  $375^\circ$ . В катализатах, кроме алкенов, было найдено

7—13% ароматических углеводородов, 55—63% алканов и 4—13% цикланов. Автор отмечает, что в результате крекинга замечается тенденция предпочтительного образования углеводородов состава  $C_3$  и  $C_4$  по сравнению с  $C_1$  и  $C_2$ .

Петров и Фрост [7] нашли, что в присутствии алюмосиликатного катализатора при 250° октен-1 почти полностью превращается в смесь октенов и октанов разветвленного строения, среди которых главное место занимают 2-метил- и 3-метилгептаны.

Поведение индивидуальных углеводородов в контакте с природными алюмосиликатами почти не изучено, несмотря на то, что они, так же как и синтетические алюмосиликаты, имеют большое значение в переработке нефтепродуктов и их очистке. В предыдущей нашей работе [8] было показано, что природный алюмосиликат — трошковская активированная глина — является хорошим катализатором облагораживания средней фракции (170—300°) первичного дегтя будаговских сапропелитов. При 450° и объемной скорости пропускания 0,3 значительная часть непредельных углеводородов этой фракции превращается в ароматические. Трошковская глина обладает также высокой обессеривающей способностью [9].

В настоящей работе мы решили изучить поведение индивидуальных углеводородов в контакте с трошковской активированной глиной. В результате исследования был выяснен характер превращений циклогексена, 4-метилциклогексена-1 и октена-1. В присутствии трошковской активированной глины эти углеводороды претерпевают реакции изомеризации, гидрирования, дегидроциклизации, алкилирования, уплотнения и частичный распад по углерод-углеродным связям.

### ЭКСПЕРИМЕНТАЛЬНАЯ ЧАСТЬ

**Исходные углеводороды.** Циклогексен и 4-метилциклогексен-1 получались дегидратацией циклогексанола и 1-метилциклогексанола-4 в присутствии концентрированной серной кислоты. Октен-1 готовился дегидратацией октанола-1 в контакте с окисью алюминия при 350°. Тщательно обезвоженные и перегнанные над натрием на колонке эффективностью в 70 теоретических тарелок углеводороды обладали свойствами, приведенными в табл. 1.

Таблица 1

Свойства углеводородов

Углеводород	Т. кип. в °С (испр.)	20 $n_D$	$d_4^{20}$	Иодное число
Циклогексен	82,5—83,5	1,4470	0,8111	311
Метилциклогексен	102,0—104,0	1,4435	0,8040	264
Октен	122,5—124,0	1,4120	0,7170	220

Судя по константам, второй углеводород представлял собой в основном 4-метилциклогексен-1, а третий углеводород — октен-1.

**Условия проведения опытов и методика анализа.** Контактное проведение проводилось в обычной аппаратуре проточного типа при атмосферном давлении с объемной скоростью 0,3 при 450°. Катализатор готовился из активированной трошковской глины; активация проводилась серной кислотой (состав глины указан в нашей предыдущей работе [8]). Все опыты проведены с одной и той же порцией катализатора. После каждого опыта катализатор регенерировался путем пропускания через него воздуха при 500° в течение 5—6 час. Приемник катализата охлаждался смесью льда с солью; поставленная после приемника ловушка охлаждалась твердой углекислотой в ацетоне. Образующийся газ анализировался.

В жидких катализатах определялись коэффициент рефракции, удельный вес, сульфлирующие углеводороды и иодное число по Маргонесу. Для отделения нафтеново-парафиновой части катализата от ароматических и непредельных углеводоро-



дов использовался адсорбционный метод. Нами было замечено, что в случае наличия в исследуемой смеси небольшого количества непредельных углеводородов последние при адсорбции силикагелем почти целиком попадают в ароматическую часть этой смеси. Таким образом удавалось разделить катализаты на нафтенно-парафиновую часть и смесь ароматических и непредельных углеводородов.

Кривые разгонки катализатов и их нафтенно-парафиновых частей сняты на колонке эффективностью в 70 теоретических тарелок, а смесей ароматических и непредельных углеводородов этих катализатов — на колонке эффективностью в 20 теоретических тарелок. Пунктирные линии на кривых разгонки указывают на то, что в этом температурном интервале жидкость перегонялась не на колонке, а из небольшой колбочки с елочным дефлегматором.

Контактно-каталитические превращения циклогексена. Циклогексен пропускался порциями по 50 мл (40,6 г). Было проведено два опыта; катализаты соединены. Свойства их представлены в табл. 2.

Таблица 2

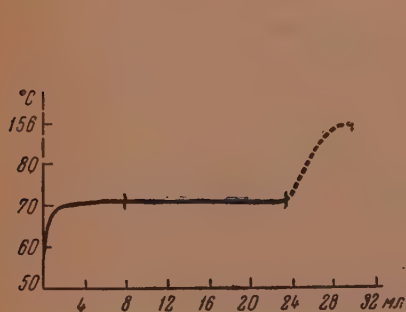
Свойства катализатов циклогексена

№ опыта	Количество катализата в г	Выход катализата в весов. %	Выход газа в л (НТД)	$n_D^{20}$	$d_4^{20}$	Сульфлирующийся в объ-емн. %	Иодное число
1	34,7	85,6	2,53	1,4700	0,8460	45,0	1,1
2	35,4	87,1	2,00	1,4690		45,0	1,2

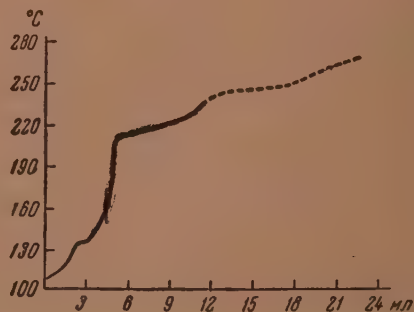
## Анализ газа

Непредельные углеводороды	15,9%
Водород	29,9%
Парафиновые углеводороды	54,2%

Катализат в количестве 55 мл (45,5 г), при помощи адсорбционного метода (на силикагеле) был разделен на ароматическую и нафтенно-парафиновую части. Иодное число ароматической части 2,5; она нацело сульфировалась. Формолитовая проба нафтенно-парафиновой части отрицательна. Кривые разгонки обеих частей катализата даны на фиг. 1 и 2.



Фиг. 1. Кривая разгонки нафтенно-парафиновой части катализата циклогексена



Фиг. 2. Кривая разгонки ароматической части катализата циклогексена

Нафтенно-парафиновая часть катализата была разогнана на фракции. Результаты разгонки и свойства выделенных фракций представлены в табл. 3.

Анализ методом комбинационного рассеяния света, произведенный М. И. Батуевым, показал, что первые две фракции в основном состоят из метилциклопентана, что хорошо подтверждается и свойствами этих фракций. На основании сравнительно низкой анилиновой точки фракции III можно предполагать, что она состоит также из цикланов. Ароматическая часть катализата была разделена на две фракции, свойства которых приведены в табл. 4.

Таблица 3

Свойства фракций нафтеново-парафиновой части катализата циклогексена

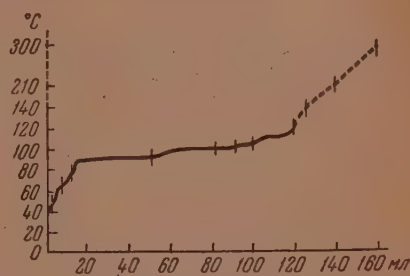
№ фракции	Пределы выкипания в °С	Количество		Свойства		
		в г	в вес. %	$n_D^{20}$	$d_4^{20}$	англино- вая точка
I	58,8—71,2	5,9	26,0	1,4095	0,7431	35,6
II	71,2—71,5	11,6	51,2	1,4088	0,7495	35,2
III	71,5—156,0	5,0	22,2	1,4312	0,7813	58,0
Остаток	—	0,2	0,6	—	—	—

Таким образом, в результате контактирования циклогексена с трюшковской активированной глиной при 450° получается катализат с содержанием 47% ароматических углеводородов, основная масса которых кипит выше 160°. Бензол не образуется

Таблица 4

Свойства фракций ароматической части катализата циклогексена

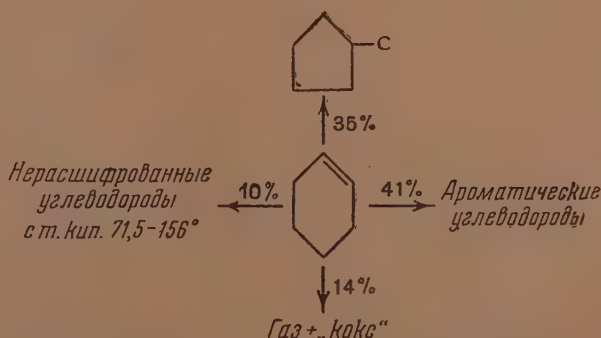
№ фракции	Пределы выкипания в °С	Количество		$n_D^{20}$
		в г	в вес. %	
I	110—160	3,9	19,2	1,4990
II	160—276	16,2	79,5	1,5570
Остаток	—	0,3	1,3	—



Фиг. 3. Кривая разгонки катализата метилциклогексена

совсем, толуол, возможно, содержится в виде следов, очень немного получается ксилолов или этилбензола (см. фиг. 2). Кроме того, в катализате обнаружен метилциклопентан в количестве 41%. Остальные 12% катализата не расшифрованы, но, по видимому, эта часть также состоит в основном из цикланов. В процессе катализа ~14% исходного циклогексена распадается с образованием газообразных углеводородов и «кокса». Собранный для анализа газ состоял из 29,9% водорода, 15,9% непредельных и 54,2% парафиновых углеводородов.

Схематически контактно-каталитические превращения циклогексена в принятых условиях можно представить следующим образом (данные пересчитаны на исходный углеводород):



Контактно-каталитические превращения 4-метилциклогексена-1. В первых двух опытах метилциклогексен пропускался порциями по 100 мл (80,4 г); для третьего опыта было взято 120 мл (95,5 г) этого углеводорода. Полученные результаты представлены в табл. 5.

Таблица 5

## Свойства катализаторов 4-метилциклогексена-1

№ опыта	Количество катализатора в г	Выход катализатора в вес. %	Выход газа в л (НТД)	$n_D^{20}$	$d_4^{20}$	Сульфидующие в объемн. %	Иодное число
1	71,2	88,5	1,42	1,4550	0,8050	55,0	72,4
2	69,9	87,0	1,35	1,4530	0,8012	53,0	71,2
3	83,8	86,8	1,38	1,4535	0,8020	56,0	73,0

## Анализ газа

Непредельных углеводородов	28,4%
Водорода	18,3%
Парафиновых углеводородов	53,3%

Часть соединенного катализатора в количестве 170 мл (136,5 г) была разогнана на колонке в 70 теоретических тарелок на узкие фракции (фиг. 3). Свойства этих фракций приведены в табл. 6.

Таблица 6

## Свойства фракций катализатора 4-метилциклогексена-1

№ фракции	Пределы выпаривания в °C	Количество		$n_D^{20}$	$d_4^{20}$	Иодное число	Содержание		
		в г	в вес. %				непредельных углеводородов в вес. %	сульфидующих углеводородов в вес. %	ароматических углеводородов в вес. %
I	27,9—50,9	2,6	1,9	—	—	—	—	—	—
II	50,9—66,4	3,5	2,6	1,3920	0,6959	80,6	27	26	Отсутствуют
III	66,4—79,1	2,8	2,1	1,4170	0,7564	82,1	31	39	8
IV	79,1—91,9	28,4	21,1	1,4109	0,7464	25,8	10	12	2
V	91,9—100,9	23,8	17,7	1,4230	0,7683	46,7	18	18	Отсутствуют
VI	100,9—102,9	8,5	6,3	1,4252	0,7756	30,3	13	13	Отсутствуют
VII	102,9—104,9	6,6	4,9	1,4360	0,7914	79,2	35	34	Отсутствуют
VIII	104,9—122,0	17,1	12,7	1,4750	0,8405	54,1	24	89	65
IX	122,0—149,0	5,0	3,7	1,4680	0,8303	40,5	20	79	59
X	149,0—210,0	12,3	9,1	1,5025	0,8785	7,4	4	100	96
XI	210,0—302,0	19,3	14,3	1,5720	0,9646	—	Отсутствуют	100	100
XII	Остаток	4,8	3,6	Смолообразная густая, темная жидкость					

В табл. 7. представлены свойства фракций катализатора после удаления из них ароматических и непредельных углеводородов сульфированием.

На основании данных, содержащихся в табл. 6 и 7, полученные при разгонке фракции можно характеризовать следующим образом:

Фракция I, пределы выпаривания 27,9—50,9°. Очень летучая подвижная жидкость, содержащая непредельные углеводороды; из-за недостатка вещества исследованию не подвергалась.

Фракция II, пределы выпаривания 50,9—66,4°, состояла из 26—27% непредельных и 74—73% насыщенных углеводородов. Можно предполагать, что в состав непредельной части ее входят гексены и, возможно, метилциклопентены. Свойства насыщенной части фракции указывают на то, что в ней находится изомеры гексана.

Фракция III, пределы выпаривания 66,4—79,1°, содержала 31% непредельных углеводородов, 8% бензола и 61% насыщенных углеводородов. Основная масса предельных углеводородов состояла, повидимому, из метилциклопентана.

Фракция IV, пределы выпаривания 79,1—91,9°, состояла из 10% непредельных, 2% бензола и 88% насыщенных углеводородов. Так как после удаления ароматических

и непредельных углеводородов из фракции она выкипала в пределах 89,3—90,5° (на колонке в 70 теоретических тарелок на «подушке» из декана), то можно заключить, что в предельной части ее находился 1,3-диметилциклопентан. Анилиновая точка и коэффициент рефракции подтверждают этот вывод.

Фракция V, пределы выкипания 91,9—100,9°, содержала 18% непредельных и 82% насыщенных углеводородов. После удаления непредельных углеводородов фракция выкипала в пределах 92,0—99,0°. Пределы выкипания фракции, анилиновая точка, удельный вес и коэффициент рефракции соответствуют 1,2-диметилциклопентану.

Фракция VI, пределы выкипания 100,9—102,9°, состояла из 13,0% непредельных и 87,0% насыщенных углеводородов (повидимому, смесь 1,2-диметилциклопентана и этилциклопентана).

Фракция VII, пределы выкипания 102,9—104,9°, содержала 35% непредельных и 65% предельных углеводородов (судя по свойствам — этилциклопентан).

Фракция VIII, пределы выкипания 104,9—122,0°, состояла из 65% толуола, 24% непредельных углеводородов и 11% цикланов.

Фракция IX, пределы выкипания 122,0—149,0°, содержала 59% ароматических углеводородов, 20% непредельных и 21% предельных углеводородов.

Фракция X, пределы выкипания 149,0—210°, и фракция XI 210—302°, почти целиком состояли из ароматических углеводородов.

Другая часть катализата 4-метилциклогексена-1 в количестве 60 мл (48,2 г) была пропущена через силикагель. В качестве вытесняющей жидкости применялся изопентан. Нафтенно-парафиновая часть катализата давала отрицательную формолитовую пробу и имела иодное

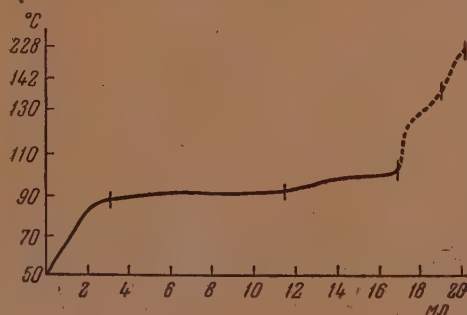
Таблица 7  
Свойства фракций катализата 4-метилциклогексена-1 после удаления из них ароматических и непредельных углеводородов

№ фракции	$n_D^{20}$	$d_4^{20}$	Анилиновая точка
II	1,3722	0,6550	74,1
III	1,4111	—	36,0
IV	1,4102	0,7480	46,2
V	1,4253	0,7718	40,9
VI	1,4227	0,7682	39,3
VII	1,4200	0,7650	38,0
VIII	1,4190	0,7708	48,7
IX	1,4285	—	—

число 1,2. Смесь ароматических и непредельных углеводородов сульфировалась полностью и имела иодное число 35,8. Таким образом можно считать, что разделение катализата прошло удовлетворительно. Кривые разгонки обеих частей катализата показаны на фиг. 4 и 5.

В табл. 8 представлены свойства фракций, полученных в результате разгонки нафтенно-парафиновой части катализата. В табл. 9 приведены свойства фракций, выделенных из смеси ароматических и непредельных углеводородов катализата.

Данные табл. 8 и 9 подтверждают высказанные предположения о со-



Фиг. 4. Кривая разгонки нафтенно-парафиновой части катализата метилциклогексена

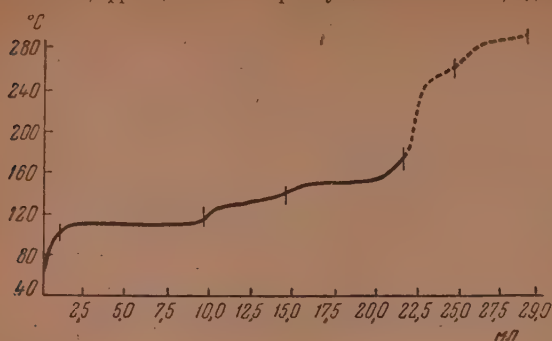
Таблица 8

Свойства фракций нафтенно-парафиновой части катализата 4-метилциклогексена-1

№ фракции	Пределы выкипания в °C	Количество		$n_D^{20}$	$d_4^{20}$	Анилиновая точка
		в г	в вес. %			
I	50—87,2	2,2	14,5	1,3892	0,7302	68,2
II	87,2—92,5	5,7	37,5	1,4082	0,7460	46,4
III	92,5—102,0	4,9	32,3	1,4155	0,7702	39,0
IV	102,0—142,0	1,5	9,9	1,4273	0,7722	45,0
V	142,0—228	0,7	4,7	1,4320	—	69,2
	Остаток	0,2	1,1	—	—	—



ставе насыщенных и ароматических углеводородов узких фракций катализатора. Фракция II (табл. 8), судя по ее свойствам, почти целиком состоит из 1,3-диметилциклопентана, фракция III — преимущественно из 1,2-диметилциклопентана.



Фиг. 5. Кривая разгонки ароматических и непредельных углеводородов катализатора метилциклогексена

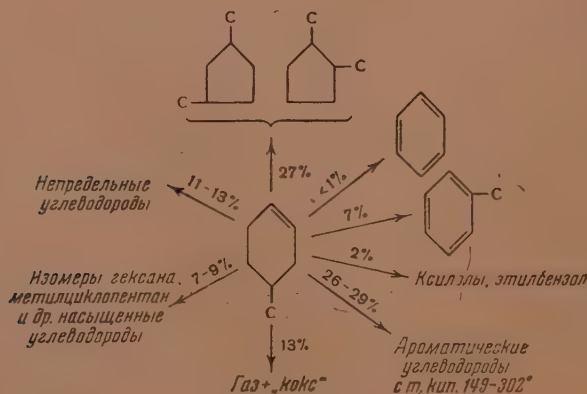
Таким образом, 4-метилциклогексен-1 в контакте с тропиковской активированной глиной претерпевает глубокие изменения, в результате которых в катализате образуются ароматические углеводороды в количестве 38—40%, непредельные углеводороды (13-15%) и диметилциклопентаны (31%). Обнаружены небольшие количества изомеров гексана, метилциклопентана, а также высококипящие насыщенные углеводороды, строение которых установить пока не удалось.

Таблица 9

Свойства фракций, полученных из ароматических и непредельных углеводородов катализатора 4-метилциклогексена-1

№ фракции	Пределы выкипания в °C	Количество		$n_{D}^{20}$	$d_4^{20}$	Иодное число
		в г	в вес. %			
I	50,0—100,0	0,7	2,8	1,3982	—	255,0
II	100,0—121,0	7,5	30,1	1,4860	0,8470	63,0
III	121,0—148,2	4,1	16,5	1,4840	0,8460	39,5
IV	148,2—170,0	6,0	24,1	1,4910	0,8681	6,8
V	170,0—260,0	2,7	10,8	1,5210	0,8703	} Непред. отсутствуют
VI	260,0—292,0	3,6	14,4	1,5640	0,8794	
	Остаток	0,3	1,3	—	—	—

Схематически контактно-каталитические превращения 4-метилциклогексена-1 можно изобразить следующим образом (цифровые данные пересчитаны на исходный углеводород):



Контактно-каталитические превращения октена-1. Октен-1 пропускался в контакте с той же глиной и в тех же условиях порциями по 100 мл каждая. Результаты опытов представлены в табл. 10.

Таблица 10

Свойства катализаторов октена-1

№ опыта	Выход				$n_D^{20}$	$d_4^{20}$	Сульфидующие углеводороды в объемн. %	Иодное число
	жидкого катализатора		газа, сконденсировавшегося в ловушке (–60–70°)					
	в г	в вес. % к пропущенному октену	в г	в вес. % к пропущенному октену				
1	41,7	57,9	28,0	38,9	1,4100	0,7011	60,0	98,1
2	45,9	63,8	24,4	33,9	1,4115	0,7029	55,0	101,1
3	43,8	60,8	26,0	36,2	1,4160	0,7017	62,0	96,0
4	45,2	62,8	20,5	28,5	1,4135			
Среднее	44,2	61,3	24,5	34,4	—	—	—	—

Образовавшиеся легкие углеводороды (выкипающие ниже 20°) были разделены на три части. Объемные соотношения этих частей и их приблизительный состав указаны в табл. 11.

Таким образом, октен-1 в контакте с активированной тропиковской глиной подвергается в значительной степени крекингу (39% газообразных углеводородов и «кокса»).

Найдено, что в газе приблизительное соотношение объемов  $C_1 + C_2 : C_3 : C_4$  равно 1,3 : 3,9 : 1,6, причем 70—75% этих газов состоят из непредельных углеводородов.

Соединенный жидкий катализат из двух последних опытов в количестве 50 мл (35,2 г) был разогнан на эффективной колонке на узкие фракции. Свойства их представлены в табл. 12. Кривая разгонки катализатора показана на фиг. 6.

На основании данных табл. 12 можно сделать следующее заключение:

Фракция I, пределы выкипания 24,5—51,0°, состоит из смеси непредельных и предельных углеводородов  $C_5$ .

Фракция II, пределы выкипания 51,0—100,0°, состоит из 32% непредельных углеводородов ( $C_6$  и  $C_7$ ), 30% ароматических углеводородов (главным образом бензола) и 38% насыщенных углеводородов.

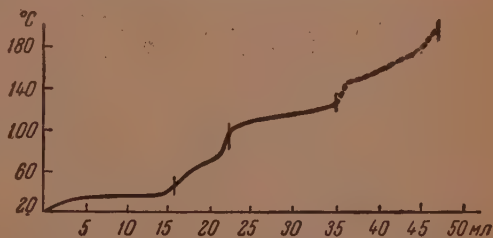
Фракция III, пределы выкипания 100,0—124,0°, состоит из 26% толуола, 11% непредельных и 63% насыщенных углеводородов.

Фракция IV, пределы выкипания 124,0—197°, в основном состоит из ароматических углеводородов, о чем говорит высокая рефракция и высокий процент сульфидующихся углеводородов. Содержание непредельных углеводородов, вычисленное по иодному числу, равно 14%. Следовательно, фракция содержит 81% ароматических углеводородов.

Для того чтобы разобраться в углеводородном составе более подробно, соединенный катализат двух первых опытов был разделен при помощи адсорбционного метода на нафтеново-парафиновую часть и смесь ароматических и непредельных углеводородов. На адсорбцию было взято 60 мл (42,5 г) катализатора. Кривые разгонок обеих частей катализатора показаны на фиг. 7 и 8.

Свойства фракций, выделенных из нафтеново-парафиновой части катализатора, представлены в табл. 13.

На основании кривой разгонки и свойств полученных фракций можно сказать, что фракция I состоит в основном из н. пентана и изо-пентана, во фракции II могут присут-



Фиг. 6. Кривая разгонки катализатора октена

Таблица 11

## Состав газа, образовавшегося в результате крекинга октена-1

№ опыта	Газ из системы после долушки (при — 60—70°)				Газ из долушки при —8°				Газ из долушки и катализата при комн. температуре			
	количество в л (НТД)	групповой состав в %			количество в л (НТД)	групповой состав в %			количество в л (НТД)	групповой состав в %		
		непредельные углеводороды	алканы	водород		непредельные углеводороды	алканы	непредельные углеводороды		алканы		
1	2,70	70,8	28,0	1,2	8,14	80,0	20,0	3,2	69,2	30,8		
2	2,98	65,8	30,9	3,3	7,93	68,2	31,8	2,8	81,3	18,6		
3	2,23	75,9	24,1	Нет	7,23	75,3	24,7	3,8	73,1	26,9		
4	2,62	69,0	31,0	Нет	7,81	72,8	27,2	3,0	72,8	27,2		
Среднее	2,63	70,4	28,5	1,1	7,8	74,1	25,9	3,2	74,1	25,9		
Состав	—	Этилен	Этан, метан	Водород	—	Пропен	Пропан	—	Бутены, изобутен	Бутан, изобутан		

Таблица 12

## Свойства фракций, полученных из катализата октена-1

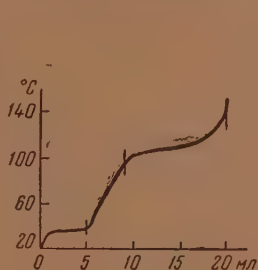
№ фракции	Пределы выпаривания в °C	Количество		n <sub>D</sub> <sup>20</sup>	d <sub>4</sub> <sup>20</sup>	Сульфирование углеводородов в вес. %	Иодное число	Непредельные углеводороды в вес. %	Ароматические углеводороды в вес. %	Состав ароматических углеводородов
		в г	в вес. %							
I	24,5—51,0	10,0	29,1	1,3795	0,6481	63,0	232,5	64	—	—
II	51,0—100,0	4,6	43,4	1,4475	0,7127	62,0	89,4	32	30	Гл. обр. бензол
III	100,0—124,0	11,2	32,6	1,4295	0,7312	37,0	25,1	11	26	Гл. обр. толуол
IV	124,0—197,0	7,7	22,4	1,4980	0,8598	95,0	24,1	44	84	Высшая ароматика
Остаток	Остаток	0,9	2,5	—	—	—	—	—	—	—

Таблица 13

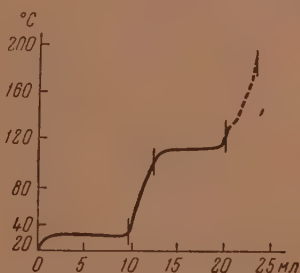
Свойства фракций нафтенно-парафиновой части катализата октена-1

№ фракции	Пределы выкипания °C	Количество		$n_D^{20}$	$d_4^{20}$	Анилин- новая точка
		в г	в вес. %			
I	28,0—38,2	3,4	25,0	1,3568	0,6253	—
II	38,2—100,0	2,3	17,0	1,3790	0,6610	71,7
III	100,0—146,2	7,7	56,5	1,4010	0,7162	70,8
	Остаток	0,2	1,5	—	—	—

ствовать гексан, гептан и их изомеры, во фракции III—октан, его изомеры и углеводороды более сложного состава.



Фиг. 7. Кривая разгонки парафино-нафтенной части катализата октена



Фиг. 8. Кривая разгонки ароматических и непредельных углеводородов катализата октена

Свойства фракций, полученных из смеси ароматических и непредельных углеводородов катализата, приведены в табл. 14.

Таблица 14

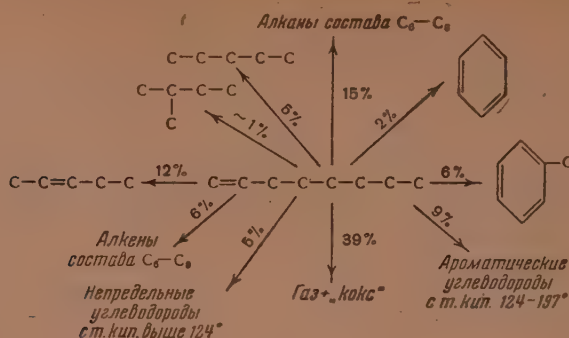
Свойства фракций, выделенных из смеси ароматических и непредельных углеводородов катализата октена-1

№ фракции	Пределы выкипания в °C	Количество		$n_D^{20}$	$d_4^{20}$
		в г	в весов. %		
I	30—36,3	6,5	27,8	1,3800	0,6472
II	36,3—100,0	1,8	7,7	1,4218	0,7212
III	100,0—133,8	9,8	41,9	1,4633	0,7832
IV	133,8—190,0	5,0	21,7	1,4992	0,8611
	Остаток	0,3	0,9	—	—

Кривая разгонки и свойства показывают, что фракция I состоит главным образом из пентена-2; фракция II состоит, повидимому, из изомеров гексена и гептана и небольшого количества бензола; фракция III — из толуола и, вероятно, из изомеров гептана и октена; фракция IV — из высшей ароматики и высококипящих непредельных углеводородов. Таким образом, в жидком катализате находится ~28% ароматических углеводородов, из них 4% бензола, 9% толуола и ~15% высших гомологов бензола. Непредельные углеводороды (32—34%) состоят из пентена-2 и, повидимому, из изомеров гексена, гептана, октена и вышекипящих углеводородов. Предельная часть катализата состоит на 27% из н.пентана, небольшого количества изопентана и, вероятно, из изомеров гексана, гептана и октана.



Полученные данные, после пересчета на исходный октен-1, можно представить схематически следующим образом:



### ВЫВОДЫ

1. Изучены превращения циклогексена, 4-метилциклогексена-1 и октена-1 в контакте с трешковской активированной глиной при  $450^\circ$ .
2. Найдено, что в результате катализа идет перераспределение водорода с образованием ароматических и насыщенных углеводородов, при этом шестичленные циклены частично изомеризуются со сжатием цикла в пятичленные.
3. Установлено, что образование ароматических углеводородов из шестичленных цикленов сопровождается реакциями алкилирования.
4. Показано, что в принятых условиях октен-1 претерпевает дегидроциклизацию с образованием ароматических углеводородов.
5. В исследованных условиях циклогексен, 4-метилциклогексен-1 и октен-1 подвергаются частичному крекингу, при этом часть продуктов распада октена изомеризуется.

Институт органической химии  
Академии наук СССР

Поступило  
15.X.1952

### ЛИТЕРАТУРА

1. Ch. Thomas, J. Am. Chem. Soc. **66**, 1586 (1944).
2. H. S. Bloch a. Ch. L. Thomas, J. Am. Chem. Soc. **66**, 1589 (1944).
3. B. S. Greensfelder a. H. H. Voge, Ind. Eng. Chem. **37**, 983 (1945).
4. Г. Н. Маслянский и М. В. Велтистова, ЖОХ **16**, 2132 (1946).
5. H. H. Voge, G. M. Good a. R. S. Greensfelder, Ind. Eng. Chem. **38**, 1033 (1946).
6. М. В. Юшкевич-Гавердовская, К. П. Лавровский, А. А. Млхновская, З. М. Зиновьева и В. И. Якимочкина, Вестник МГУ, № 11, 141 (1948).
7. А. А. Петров и А. В. Фрост, ДАН **65**, 851 (1949).
8. Н. И. Шуйкин и Е. А. Тимофеева, Изв. АН СССР, ОХН № 6, 728 (1951).
9. Е. А. Тимофеева, Н. И. Шуйкин и В. М. Клейменова, Изв. АН СССР, ОХН № 3, 489 (1952).

А. Ф. ПЛАТЭ, А. Л. ЛИБЕРМАН и Н. А. МОММА

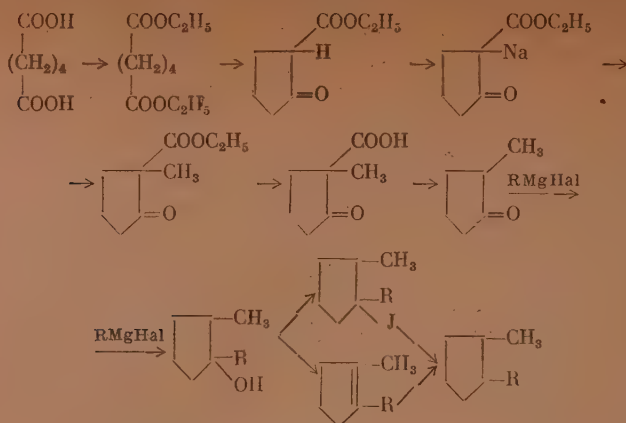
ПОЛУЧЕНИЕ 1,2-ДИАЛКИЛЦИКЛАНОВ  
СИНТЕЗ СТЕРЕОИЗОМЕРНЫХ  
1-МЕТИЛ-2-н.БУТИЛЦИКЛОПЕНТАНОВ

Получение диалкилциклопентанов и диалкилциклогексанов представляет собой в препаративном отношении довольно сложную и трудоемкую задачу, но так как в нефтяных фракциях наftenовые углеводороды содержатся в значительных количествах, знание физических свойств этих углеводородов имеет большое значение. В частности, для детального изучения индивидуального химического состава бензинов комбинированным методом [1] необходимо изучать спектры комбинационного рассеяния углеводородов, для чего углеводороды приходится получать в качестве эталонов методами, обеспечивающими высокую степень чистоты препаратов. Между тем, методов получения диалкилцикланов, в частности 1,2-диалкилцикланов, которые имели бы препаративное значение, известно немного. Так, 1,2-диалкилциклогексаны обычно получают из соответствующих ароматических углеводородов, не всегда доступных в чистом виде; 1-метил-2-алкилциклогексаны могут быть также получены и из 2-метилциклогексанона. Последний метод имеет, однако, тот недостаток, что 2-метилциклогексанон, имеющийся в продаже, может содержать некоторое количество изомерных метилциклогексанонов, поскольку он обычно готовится из *o*-крезола, получаемого из природных источников и не свободного от других крезолов.

Диалкилциклопентаны получают обычно из соответствующих алкилциклопентанонов. Особый интерес представляет способ получения метилалкилциклопентанов, предложенный Казанским, Копериной и Земской [2], при котором исходят не из индивидуальных метилциклопентанов, а из смеси изомеров, и разделение 1,2- и 1,3-изомеров производят на стадии циклоолефинов при помощи эффективной ректификационной колонки.

Основным способом получения 1,2-диалкилциклопентанов является метод, по которому Зелинский и Пржевальский [3] получили 1,2-диметилциклопентан еще в 1905 г. Он заключается в циклизации диэтилового эфира адипиновой кислоты по методу Буво с образованием 2-карбэтоксициклопентанона-1, замещении подвижного водорода на алкильную группу через натриевое производное с последующим омылением и декарбоксилированием. Полученный таким путем 2-метилциклопентанон-1 взаимодействием с алкилмагнигиалогенидом переводился в третичный спирт, который обычным путем превращался в двузамещенный циклопентан по схеме (см. стр. 690).

Этот метод, в котором необходимыми промежуточными продуктами являются 2-алкилциклопентаноны-1, в дальнейшем был широко использован Риссельбержем [4] для получения ряда 1,2-двузамещенных циклопентанов, в результате чего в литературе этот метод совершенно обоснованно называют иногда методом Риссельбержа. Получение по этой схеме 2-алкилциклопентанов-1, например 2-метилциклопентанона-1, требует нескольких и притом весьма трудоемких стадий, что делает эти препараты трудно доступными, несмотря на ряд внесенных в методику усовершенствований [5].



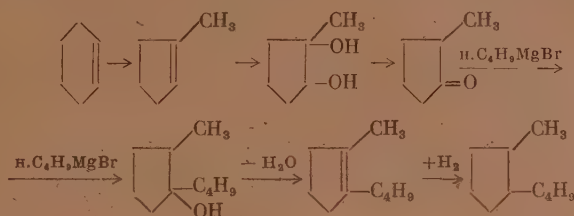
Нам казалось, что новым возможным препаративным путем для получения 2-метилциклопентанона-1 и 2-метилциклогексана-1 могла бы явиться дегидратация вторично-третичных диолов, учитывая, что дегидратация третичных спиртовых групп протекает значительно легче, чем вторичных, и что, следовательно, в качестве промежуточных продуктов в данном случае можно было ожидать образования соответствующих энолов, с последующей их перегруппировкой в кетоны. Вторично-третичные диолы легко могут быть получены окислением в определенных условиях доступных непредельных циклических углеводородов с метильной группой у углеродного атома, несущего двойную связь. В литературе имеются указания на то, что при действии на транс-1-метилциклопентандиол-1,2 серной кислоты при нагревании образуется 1-метилциклопентанон-2 [6]. Правда, Тиффено и Чубарь [7] указывают, что при дегидратации транс-1-метилциклогександиола-1,2 над гетерогенным катализатором, в качестве которого была взята окись алюминия, наряду с 2-метилциклогексаном-1, образуется также и продукт его изомеризации — 1-метил-1-формилциклопентан. Можно было, однако, ожидать, что путем дегидратации таких гликолей в более мягких условиях этот метод получения циклических  $\alpha$ -метилкетонов удастся сделать препаративным.

В настоящее время 1-метилциклопентен-1 является легко доступным углеводородом, поскольку он может быть получен изомеризацией циклогексена по методу Зелинского и Арбузова [8]. 1-Метилциклопентен-1 окислялся по двойной связи смесью перекиси водорода и муравьиной кислоты до 1-метилциклопентандиола-1,2. Дегидратацией гликоля в присутствии йода нами был получен 2-метилциклопентанон-1 с выходом 70,7% от теории. Одновременно с выходом 5,0% образуется продукт отщепления двух молекул воды — метилциклопентадиен. При таком пути синтеза 2-метилциклопентанона-1 удается избежать ряда трудоемких операций и достигнуть значительной экономии во времени по сравнению с методом Буво.

В случае дегидратации вторично-третичного диола с шестичленным циклом результаты оказались иными, чем при дегидратации гликоля с пятичленным кольцом. Из 1-метилциклогександиола-1,2 в результате дегидратации в присутствии кристаллика йода было получено лишь 42,3% 2-метилциклогексана-1, который удалось выделить только перегонкой в вакууме с применением колонки эффективностью в 20 теоретических тарелок. При этом, наряду с 2-метилциклогексаном-1, образовалось немного метилциклогексадиена, который для доказательства его строения был подвергнут дегидрогенизации и превращен в толуол, а также значительное количество продукта изомеризации 2-метилциклогексана-1, природа которого не была установлена. Таким образом, в случае шестичленного

цикла дегидратация гликоля не может служить препаративным методом для получения 2-метилциклогексана-1.

Полученный, как указано выше, 2-метилциклопентанон-1 взаимодействием с бромистым н.бутилмагнием был превращен в третичный спирт — 1-метил-2-н.бутилциклопентанол-2, в результате дегидратации которого был получен 1-метил-2-н.бутилциклопентен, а гидрированием последнего — 1-метил-2-н.бутилциклопентан, ранее описанный Денисенко и Фроловой [9]. Этот углеводород был разделен на не известные ранее стереоизомеры путем разгонки в вакууме на колонке эффективностью в 80 теоретических тарелок. Таким образом, синтез 1-метил-2-н.бутилциклопентанов был проведен по схеме:



В табл. 1 приведены константы полученных в данной работе стереоизомерных 1-метил-2-н.бутилциклопентанов, а также свойства их низших гомологов 1,2-диметилциклопентанов, 1-метил-2-этилциклопентанов и 1-метил-2-пропилциклопентанов, полученных и разделенных на дис-транс-изомеры Шиурдоглу [10].

Из двух полученных нами стереоизомеров 1-метил-2-н.бутилциклопентана изомеру с более низкими константами и более высокой величиной молекулярной рефракции по правилу Ауверса — Скита следует приписать транс-конфигурацию. Как видно из табл. 1, с увеличением радикала разность между константами транс- и дис-изомеров уменьшается.

## ЭКСПЕРИМЕНТАЛЬНАЯ ЧАСТЬ

### Синтез 2-метилциклопентанона-1 и 2-метилциклогексана-1

1-Метилциклопентен-1 получался изомеризацией циклогексена над окисью алюминия [8] при 450° и объемной скорости пропускания 0,4 объема жидкости над одним объемом катализатора в 1 час. Высушенный катализат разгонялся на колонке эффективностью в 45 теоретических тарелок, в результате чего был выделен 1-метилциклопентен-1 со следующими константами: т. кип. 74,2—75,2° (760 мм);  $n_D^{20}$  1,4325;  $d_4^{20}$  0,7821; найдено  $MR$  27,27; вычислено для  $C_6H_{10}$   $MR$  27,24. Выход составлял 44—47%, считая на пропущенный циклогексен, и ~54% — на прореагировавший циклогексен. Одновременно был получен другой изомер — 1-метилциклопентен-2 (т. кип. 64—65° при 760 мм;  $n_D^{20}$  1,4219;  $d_4^{20}$  0,7654; найдено  $MR$  27,26) с выходом 15—16% на пропущенный циклогексен.

Транс-1-метилциклопентандиол-1,2 получался окислением 1-метилциклопентена-1 смесью 30%-ной перекиси водорода и 88%-ной муравьиной кислоты по методике, предложенной для окисления 1-метилциклогексена-1 [11], но с той разницей, что температура реакционной смеси поддерживалась при 30—35°; после отгонки растворителя гликоль перегонялся в вакууме. Всего было получено 371,2 г 1-метилциклопентандиола-1,2 в виде белых кристаллов со следующими константами: т. кип. 93—95° (5 мм); т. пл. 64,0—64,3°. Выход в отдельных опытах колебался от 62 до 66% от теоретического. Литературные данные для транс-1-метилциклопентандиола-1,2 [12]: т. кип. 88—90° (1 мм); т. пл. 65°. Полученный препарат перегонялся при атмосферном давлении без разложения и дегидратации; т. кип. 210—211° (760 мм).

\* В одном опыте температура во время окисления поднялась до 45—48°, в результате чего произошла частичная этерификация гликоля муравьиной кислотой и получилась смесь, кипящая в широких пределах при 80—117° (5 мм). После гидролиза этой смеси 5%-ной спиртовой щелочью был выделен чистый гликоль.



Таблица 1

Углеводород	Конфигурация	Т. кип. в °С при 760 мм рт. ст.	$\Delta t$	Показатель преломления	$\Delta n$	$d_4^{20}$	$\Delta d$	Молекулярная рефракция	
								найденная	вычисленная
1,2-Диметилциклопентан	Транс-	91,78	7,4	$n_D^{20}$ 1,41203	0,01027	0,75137	0,02129	32,51	
	Цис-	99,23		$n_D^{20}$ 1,42230		0,77266		32,31	
1-Метил-2-этилциклопентан	Транс-	124,4 — 121,75	6,3	$n_D^{20}$ 1,4220	0,0071	0,7696	0,0150	37,02	36,94
	Цис-	127,7 — 128,0		$n_D^{20}$ 1,4291		0,7846		36,85	
1-Метил-2-н.пропилциклопентан	Транс-	146,37 — 146,38	6,2	$n_D^{20}$ 1,4274	0,00692	0,7774	0,0147	41,69	41,56
	Цис-	152,58		$n_D^{20}$ 1,4343		0,7921		41,49	
1-Метил-2-н.бутилциклопентан	Транс-	168,9 — 169,0 (751 мм)		$n_D^{20}$ 1,4321	0,0060	0,7847	0,0133	46,37	46,18
	Цис-	174,5 (751 мм)	5,6	$n_D^{20}$ 1,4381		0,7980		46,15	

2-Метилциклопентанон-1 был получен дегидратацией 1-метилциклопентандиола-1,2. Для этого гликоль (371,0 г) нагревался в течение 30 мин. в колбе Фаворского на воронке Бабо с кристалликом йода. Образующийся кетон затем медленно отгонялся, отделялся от воды, промывался раствором тиосульфата натрия, раствором соды и водой, сушился над поташом и перегонялся на колонке эффективностью в 20 теоретических тарелок при 100—115 мм остаточного давления. Кривая разгонки изображена на фиг. 1. Результаты разгонки приведены в табл. 2.

Фракция III представляла собой 2-метилциклопентанон-1, выход которого (после указанной перегонки на колонке) составил 70,7% от теоретического. Его свойства следующие: т. кип. 138,7° (760 мм);  $n_D^{20}$  1,4351;

$d_4^{20}$  0,9197; найдено  $MR$  27,85; вычислено для  $C_6H_{10}O$   $MR$  27,72. Литературные данные для 2-метилциклопентанона-1 [13]: т. кип. 138,4—138,5° (742 мм);  $n_D^{20}$  1,4350;  $d_4^{20}$  0,9191.

Для идентификации полученного кетона был приготовлен его 2,4-динитрофенилгидразон с т. пл. 154,3—154,8°. 2,4-Динитрофенилгидразон заведомого 2-метилциклопентанона-1 плавился при 154,0—154,7°; смешанная проба плавилась при 154,3—154,8°. По литературным данным [6] 2,4-динитрофенилгидразон 2-метилциклопентанона-1 имеет т. пл. 153—154°.

Фракция I по запаху напоминала цикlopentadiен и, повидимому, представляла собой метилциклопентадиен. При перегонке этой фракции при атмосферном давлении из нее было выделено два основных погона:

Фракция А, т. кип. 73—76° (747 мм);  $n_D^{20}$  1,4444;  $d_4^{20}$  0,8147; найдено  $MR$  26,14;

вычислено для  $C_6H_8$   $MR$  26,77

Фракция Б, т. кип. 138—160° (747 мм)

Фракция Б состояла, повидимому, в основном из смеси димеров метилциклопентадиена, скорость самопроизвольной полимеризации которого близка к скорости полимеризации самого цикlopentadiена [14].

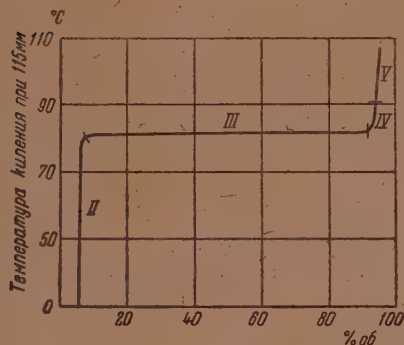
Литературные данные для метилциклопентадиенов неизвестного строения [15]:

т. кип. 69—70° (736 мм);  $n_D^{18}$  1,4460;  $d_4^{18}$  0,8200; найдено  $MR$  26,04; [14] т. кип. 73° (760 мм);  $n_D^{20}$  1,4509;  $d_4^{20}$  0,8112. Для димера метилциклопентадиена [14]: т. кип. 98° (30 мм).

1-Метилциклогексанол-1 был получен из 730 г продажного циклогексанона, очищенного через бисульфитное соединение, и йодистого метилмагния, приготовленного из 1055 г йодистого метила. Синтез проводился порциями по 2,2—2,6 мол. Разложение магнийорганического комплекса проводилось путем выливания реакционной массы

на лед. Продукт реакции обрабатывался обычным образом, и после отгонки эфира остаток перегонялся из колбы Фаворского, причем дистиллат застывал в холодильнике. Выход составлял 62—70% от теоретического. Всего было получено 553,6 г 1-метилциклогексанола-1 (66,4% от теоретического) со следующими свойствами: т. кип. 55,5—56,2° (9 мм); т. замерзания 25,9° (по способу кривых охлаждения).

Литературные данные для 1-метилциклогексанола-1 [16]: т. кип. 56,5° (10 мм); т. пл. 26°.



Фиг. 1. Кривая разгонки 2-метилциклопентанона-1

Таблица 2

№ фракции	Т. кип. в °С (р в мм рт. ст.)	Количество в г
I	До 28 (115)	12,8
II	28,0—81,0 (115)	3,7
III	81/115; 78,4 (105)	221,5
IV	78,4—92,5 (102)	3,4
V	92,5—105,3 (103)	2,3
Остаток	—	10,0
Потери	—	2,1

1-Метилциклогексен-1 был получен дегидратацией 1-метилциклогексанола-1 (519 г) путем перегонки его с иодом (2 г). Полученный 1-метилциклогексен-1 (422,7 г, или 96,8% от теоретич.) после перегонки на колонке эффективностью в 80 теоретических тарелок имел следующие свойства: т. кип. 110,3—110,4° (760 мм);  $n_D^{20}$  1,4510;  $d_4^{20}$  0,8113; найдено  $MR$  31,91; вычислено для  $C_7H_{12}$   $MR$  31,86.

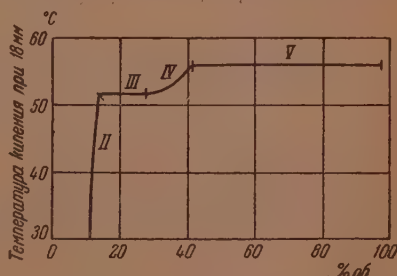
Литературные данные для 1-метилциклогексена очень противоречивы [17].

1-Метилциклогександиол-1,2 был получен окислением 1-метилциклогексана-1 смесью 29%-ной перекиси водорода и 88%-ной муравьиной кислоты [11] при температуре 30—35°. Всего из 292,5 г 1-метилциклогексана-1 получено 286 г 1-метилциклогександиола-1,2 с т. кип. 123—127° (13 мм), или 72% от теоретического; т. пл. 80—81°. По литературным данным транс-1-метилциклогександиол-1,2 имеет т. пл. 84° [12].

Дегидратация 1-метилциклогександиола-1,2. В колбу Фаворского было помещено 282,7 г 1-метилциклогександиола-1,2 и 2,5 г иода. При нагревании сначала вся масса расплавилась, а затем началось энергичное кипение и стали отгоняться вода и не смешивающееся с ней вещество при температуре в парах 92—157°. Воды выделилось 48 мл, при отщеплении одной молекулы воды должно было выделиться 39 мл. После промывания раствором соды и высушивания над поташом продукт реакции был перегнан из колбы Фаворского при атмосферном давлении. До 137° собралось 9,3 г вещества (с водой), затем было собрано 106,5 г фракции с т. кип. 137—158°, после чего в колбе началось разложение с выделением воды. Остаток перегонялся в вакууме, причем была собрана фракция, которая при повторной перегонке перешла при 70,0—71,5° (27 мм) и составила 62,0 г.

Из фракции с т. кип. до 137° после высушивания и повторной перегонки было выделено вещество со следующими свойствами: т. кип. 108—113° (745 мм);  $n_D^{20}$  1,4713;  $d_4^{20}$  0,8352.

В результате гидрогенизации в присутствии платинированного угля из этого вещества получен толуол, который был превращен в 2,4-динитротолуол с т. пл. 69,0—69,7°. С заводским 2,4-динитротолуолом (т. пл. 70,2—70,5°) этот препарат давал смешанную пробу с т. пл. 69,4—69,7°. Таким образом, головная фракция, полученная при дегидратации 1-метилциклогександиола-1,2, повидимому, представляет собой метилциклогексадиен — продукт отщепления двух молекул воды.



Фиг. 2. Кривая разгонки продукта дегидратации транс-1-метилциклогександиола-1,2 (фр. с т. кип. 137—158° при 760 мм рт. ст.)

Свойства 1-метилциклогексана-1,3 в литературе не описаны; 2-метилциклогексанадиен-1,3, по данным Зелинского и Горского, имеет свойства [18]: т. кип.  $110^{\circ}$  (741 мм);  $n_D^{20}$  1,4710;  $d_4^{20}$  0,8292; по данным Хориути, Отуки и Окуда [19]: т. кип.  $110-111^{\circ}$  (769 мм);  $n_D^{20}$  1,4783;  $d_4^{20}$  0,8451.

Фракция с т. кип.  $137-158^{\circ}$  была перегнана в вакууме на колонке эффективно в 20 теоретических тарелок. Кривая разгонки изображена на фиг. 2. При этом были собраны следующие фракции (табл. 3):

Таблица 3

№ фракции	Т. кип. $^{\circ}\text{C}$ (р в мм рт. ст.)	Количество в г	$n_D^{20}$	$d_4^{20}$
I	Ниже $31(20,5)$	9,9	1,4750	0,8415
II	$31(20,5)-51,7(17,5)$	4,3	1,4512	0,7945
III	$51,7(17,5)-52,0(18)$	13,6	1,4389	0,9147
IV	$52,0(18)-56,1(18)$	13,2	1,4435	0,9151
V	$56,1(18)$ в точке	54,1	1,4481	0,9250
Остаток	—	1,9	—	—
Потери	—	8,4	—	—

Фракция I представляет собой метилциклогексанадиен. Фракция III дала 2,4-динитрофенилгидразон с т. пл.  $150,5-151^{\circ}$ ; семикарбазон из нее получался с трудом и с низким выходом и имел т. пл.  $165,4-166,4^{\circ}$  при предварительном разогревании бани до  $155^{\circ}$ . Фракция III не обеспечивала бром и холодный раствор перманганата и мгновенно обесцвечивала теплый раствор перманганата. С димедомом никакого кристаллического вещества не получалось. Фуксинсернистая кислота очень слабо окрашивала слой органического вещества в фиолетовый цвет. Природа этой фракции пока не установлена. Фракция V дала 2,4-динитрофенилгидразон с т. пл.  $119,5-120,3^{\circ}$ , который после двух перекристаллизаций имел т. пл.  $132,0-133,0^{\circ}$ . 2,4-Динитрофенилгидразон известного 2-метилциклогексана-1 без перекристаллизации плавился при  $134,5-135,5^{\circ}$ ; смешанная проба плавилась при  $134,0-134,5^{\circ}$ .

#### Анализ 2-метилциклогексана-1

Найдено %: C 74,55; 74,59; H 10,86; 10,86

$\text{C}_7\text{H}_{12}\text{O}$ . Вычислено %: C 74,95; H 10,78

Фракция с т. пл.  $70,0-71,5^{\circ}$  (27 мм) продукта дегидратации при перегонке на колонке перешла почти вся в точку при  $56,1^{\circ}$  (18 мм). Продукта, кипящего при этой температуре, было собрано 48,8 г; фракции с т. кип.  $56,1-57,5^{\circ}$  (18 мм) — 5,1 г; остатка — 5,8 г; потери составили 2,3 г. Фракция с т. кип.  $56,1^{\circ}$  (18 мм) имела  $n_D^{20}$  1,4481;  $d_4^{20}$  0,9250; найдено  $MR$  32,47; вычислено для  $\text{C}_7\text{H}_{12}\text{O}$   $MR$  32,34. Следовательно, эта фракция, как и фракция V предыдущей разгонки, представляла собой 2-метилциклогексана-1. Общий выход этого цикланона составил 102,9 г, или 42,3% от теоретического.

Для отдельных порций 2-метилциклогексана-1 была определена температура замерзания по способу кривых охлаждения. Наиболее чистая порция имела т. замерзания  $-9,15^{\circ}$ . По литературным данным 2-метилциклогексана-1 имеет свойства [20]: т. кип.  $165,08^{\circ}$  (760 мм); т. пл.  $-14^{\circ}$ ;  $d_4^{20}$  0,92500, [21]:  $n_D^{20}$  1,4483.

#### Синтез 1-метил-2-н.бутилциклопентана и разделение его на цис- и транс-изомеры

1-Метил-2-н.бутилциклопентанол-1 был получен при действии 2-метилциклопентана-1 на бромистый н.бутилмагний. Учитывая меньшую доступность кетона по сравнению с бромистым н.бутилом, последний был взят с избытком в 30 мол.%. Синтез проводился порциями по 0,5—1,0 мол. Всего было взято 356,2 г бромистого н.бутила, 63,2 г магния и 196,0 г 2-метилциклопентанола. Реакционная смесь обрабатывалась, как обычно, и после отгонки эфира продукт реакции перегонялся в вакууме из колбы Фаворского. Результаты разгонки одной порции полученного спирта приведены в табл. 4.

Фракции II—V представляли собой смесь цис- и транс-изомеров 1-метил-2-н.бутилциклопентанола-1, чем и объясняется широкий интервал температур кипения. Попытка разделить стереоизомерные спирты перегонкой другой порции полученного спирта в вакууме на колонке при остаточном давлении 6 мм не увенчалась успехом ввиду того, что спирт при этом частично дегидратировался. Для двух фракций спирта, полученных при повторной перегонке в вакууме, были определены константы:

Фракция А, т. кип. 100,8° (16 мм);  $n_D^{20}$  1,4563;  $d_4^{20}$  0,8942; найдено  $MR$  47,53

Фракция В, т. кип. 103,7—103,8° (16 мм);  $n_D^{20}$  1,4576;  $d_4^{20}$  0,8970; найдено  $MR$  47,50; вычислено для  $C_{10}H_{22}O$   $MR$  47,70

Литературные данные для 1-метил-2-н.бутилциклопентанола-1 (смесь стерео-изомеров) [9]: т. кип. 101—102° (6 мм);  $n_D^{20}$  1,4560;  $d_4^{20}$  0,8947; найдено  $MR$  47,44.

Всего было получено 148 г 1-метил-2-н.бутилциклопентанола-1, что составляет 54% от теоретического количества.

1-Метил-2-н. бутилциклопентен был получен дегидратацией спирта в присутствии иода. Полученный углеводород перегонялся на колонке эффективностью в 20 теоретических тарелок. Результаты разгонки приведены в табл. 5.

Таблица 4

№ фракции	Т. кип. в °С (р в мм рт. ст.)	Количество в г	$n_D^{20}$
I	До 72(12)	14,2	1,4362
II	72— 86 (10)	17,8	1,4540
III	86—92 (12)	43,0	1,4558
IV	92— 95 (13)	6,1	1,4575
V	95— 98 (13)	17,0	1,4580
VI	98—108 (13)	10,0	1,4627

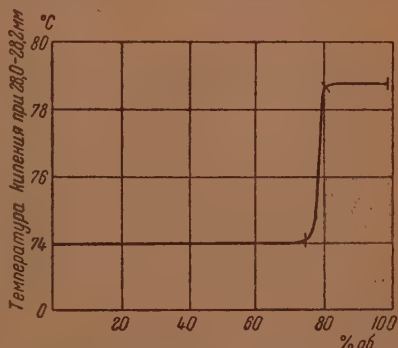
Таблица 5

№ фракции	Т. кип. в °С (р в мм рт. ст.)	Количество в г	$n_D^{20}$
I	71,0—88,9 (45,5)	14,3	1,4501
II	88,9 (45,5); 73,3—73,5 (22)	83,7	1,4515
III	73,5—74,0 (22)	1,1	—
Остаток	—	3,6	—
Потери	—	4,0	—

Фракция II представляет собой чистый 1-метил-2-н.бутилциклопентен. Выход чистого препарата составил 70% от теоретич.; т. кип. 169,7—170,0° (760 мм);  $n_D^{20}$  1,4515;  $d_4^{20}$  0,8109; найдено  $MR$  45,94; вычислено для  $C_{10}H_{18}$   $F$   $MR$  45,71.

Литературные данные для 1-метил-2-н. бутилциклопентена [9]: т. кип. 169,5—170,5° (752 мм);  $n_D^{20}$  1,4480;  $d_4^{20}$  0,8085; найдено  $MR$  45,68.

1-Метил-2-н.бутилциклопентан и его разделение на цис- и транс-изомеры. Гидрирование циклена проводилось на холоду без растворителя в присутствии платинированного угля, активированного хлористым палладием [22]. Окончательная очистка полученного 1-метил-2-н. бутилциклопентана проводилась при помощи хроматографического адсорбционного метода Цвета. В качестве адсорбента применялся силикагель. Всего получено 72,2 г углеводорода с выходом 87% от теоретического. Полученный углеводород для разделения на цис- и транс-изомеры был перегнан в вакууме с манометром на колонке с медной насадкой эффективностью в 80 теоретических тарелок. Получены две фракции, которым на основании правила Ауверса — Скита приписаны конфигурации цис- и транс-изомеров. Выход транс-изомера с т. кип. 74,0—74,1° (28 мм) составил 53,3 г, или 74,8% от теоретич.; выход цис-изомера с т. кип. 78,7° (28 мм) — 14,1 г, или 19,8%; 3,1 г, или 4,3%, составили промежуточную фракцию и 0,8 г, или 1,1% — потери. Ни головной, ни хвостовой фракции получено не было, хотя вещество было отогнано из колбы досуха. Кривая разгонки приведена на фиг. 3. Температуры кипения стереоизомеров при атмосферном давлении, а также их физические свойства были приведены выше, в табл. 1.



Фиг. 3. Кривая разгонки 1-метил-2-н. бутилциклопентана с разделением на цис- и транс-изомеры



## Анализ дис-1-метил-2-н. бутилциклопентана:

Найдено %: С 85,84; 85,84; Н 14,36; 14,16

## Анализ транс-1-метил-2-н. бутилциклопентана:

Найдено %: С 85,86; Н 14,18

C<sub>10</sub>H<sub>20</sub>. Вычислено %: С 85,63; Н 14,37

## ВЫВОДЫ

1. Предложен препаративный метод получения 2-метилциклопентана-1 дегидратацией гликоля, получаемого окислением 1-метилциклопентана-1 смесью перекиси водорода и муравьиной кислоты.

2. Показано, что для препаративного получения 2-метилциклогексана-1 этот метод служить не может, поскольку в случае шестичленного цикла реакция дегидратации гликоля сопровождается побочными реакциями изомеризации.

3. Исходя из полученного по данному методу 2-метилциклопентана-1, синтезирован 1-метил-2-н.бутилциклопентан, который разделен на дис- и транс-изомеры.

Московский государственный университет  
им. М. В. Ломоносова

Поступило  
22.XI.1952

и  
Институт органической химии  
Академии наук СССР

## ЛИТЕРАТУРА

1. Г. С. Ландсберг и Б. А. Казанский, Изв. АН СССР, ОХН, № 2, 100 (1951).
2. Б. А. Казанский, А. В. Коперина, О. А. Земская, ЖОХ 20, 1212 (1950).
3. Н. Д. Зелинский, Е. С. Пржевальский, ЖРХО, 37, 628 (1905).
4. M. Russelberge, Bull. Soc. chim. Belg. 35, 311 (1926).
5. R. Cornubert, Ch. Borrel, Bull. Soc. chim. (4), 47, 301 (1930).
6. G. A. Lutz, A. E. Bearse, J. E. Leonard, F. C. Croxton, J. Am. Chem. Soc. 70, 4139 (1948).
7. M. Tiffeneau, B. Tchoubar, С. r. 199, 4624 (1934).
8. Н. Д. Зелинский, Ю. А. Арбузов, ДАН 23, 793 (1939).
9. Я. И. Денисенко, А. Д. Фролова, Изв. АН СССР, ОХН, № 5, 361 (1944).
10. G. Chiurdoglu, Bull. Soc. chim. Belg., 43, 35 (1934); 44, 527 (1935); Bull. Acad. Roy. Belg., Classe Sciences (5) 17, 1404 (1932).
11. Org. Syntheses, 28, 35 (1948).
12. H. Adkins, A. K. Roebuck, J. Am. Chem. Soc. 70, 4041 (1948).
13. Я. И. Денисенко, А. Д. Набер, Изв. АН СССР, ОХН № 1, 35 (1945).
14. K. C. Edson, J. S. Powell, E. L. Fisher, Ind. Eng. Chem. 40, 1526 (1948).
15. Н. Д. Зелинский, Р. Я. Левина, Ber. 66, 477 (1933).
16. Н. Ф. Гутт, Ber. 40, 2062 (1907); Н. А. Меншуткин, J. Chem. Soc. 89, 534 (1906); K. Auwers, R. Hinterseber, W. Trappmann, Ann. 410, 274 (1915).
17. G. Egloff, Physical Constants of Hydrocarbons, v. II, 326.
18. Н. Д. Зелинский, А. Горский, ЖРФХО 40, 1397 (1908); Ber. 41, 2630 (1908).
19. R. Horiuti, H. Otuki, O. Okuda, Chem. Abstr. 34, 1983 (1940).
20. G. Chiurdoglu, Bull. Soc. chim. Belg. 47, 244 (1938).
21. A. Skita, Ber. 56, 1016 (1923).
22. Б. А. Казанский, А. Л. Либерман, А. Ф. Платэ, М. Н. Розенгарт, О. Д. Стерлигов, ДАН 71, 477 (1950).

Л. Я. МАРГОЛИС, Е. Г. ПЛЫШЕВСКАЯ

## КАТАЛИТИЧЕСКОЕ ОКИСЛЕНИЕ ПРОСТЕЙШИХ НЕПРЕДЕЛЬНЫХ УГЛЕВОДОРОДОВ ТЯЖЕЛЫМ КИСЛОРОДОМ

В последнее время в литературе появился ряд работ, посвященных механизму каталитического окисления углеводородов. Бутягин и Елович [1] установили связь между поверхностным и объемным окислениями пропилена на платине, нанесенной на сернокислый барий. Они показали, что существуют два механизма при окислительном процессе: 1) чисто поверхностный при отсутствии кислорода в газовой фазе и 2) поверхностно-объемный. Причем последовательность элементарных процессов следующая: активированная адсорбция кислорода, образование поверхностного соединения пропилена с кислородом контакта, образование более окисленного промежуточного соединения и затем четвертая стадия, которая может протекать путем окисления этого соединения, либо на поверхности до  $\text{CO}_2$  и  $\text{H}_2\text{O}$ , либо после десорбции в объеме до  $\text{CO}_2$  и  $\text{H}_2\text{O}$ . Никаких следов кислородосодержащих продуктов, альдегидов и кислот авторы не обнаружили. Шаля, Пионтковская и Поляков [2] в своей работе о механизме «мягкого» катализа утверждают, что все окислительные контакты могут давать продукты неполного окисления в условиях, благоприятных для образования и сохранения этих продуктов. Повышение давления и температуры способствуют вероятности зарождения гомогенной реакции на поверхности платины.

Однако в многочисленных исследованиях по окислению ряда углеводородов на платиновых контактах [3] были обнаружены в продуктах реакции только следы продуктов неполного окисления: процесс всегда протекал до конечных продуктов  $\text{CO}_2$  и  $\text{H}_2\text{O}$ . Бутягин и Марголис [4], используя метод раздельного колориметрирования Ковальского, установили, что на катализаторах глубокого окисления ( $\text{Pt}$ ,  $\text{MgCr}_2\text{O}_4$ ) процесс окисления углеводородов протекает по поверхностно-объемному механизму, а на катализаторах мягкого окисления ( $\text{V}_2\text{O}_5$ , серебряный катализатор) имеет место поверхностная реакция.

Таким образом, основная роль в образовании продуктов неполного окисления одними авторами приписывается реакции, протекающей по поверхностному механизму, причем проводится резкая граница между катализаторами мягкого и глубокого окисления, другие же авторы объясняют образование продуктов неполного окисления наличием объемной стадии реакции. Применение меченых атомов  $\text{O}^{18}$  и  $\text{C}^{14}$  позволит с большей уверенностью разобраться в элементарных стадиях процесса окисления и установить роль их в образовании ценных кислородосодержащих продуктов. Настоящая работа посвящена выяснению роли кислорода контакта и газовой фазы в реакции окисления углеводорода на различных контактах.

### ЭКСПЕРИМЕНТАЛЬНАЯ ЧАСТЬ

**Методика работы.** Окисление углеводородов проводилось в ранее описанной установке [5] в статических условиях при низких давлениях (до 2 мм рт. ст.). Чистые газы этилен и пропилен получены разложением спир-

тов на активной  $Al_2O_3$  и очищены многократной перегонкой в вакууме. Кислород  $O^{16}$  получен разложением дважды перекристаллизованного перманганата калия. Тяжелый кислород  $O^{18}$  получен электролизом тяжелой кислородной воды  $H_2O^{18}$  с содержанием  $O^{18}$ —0,9%. Анализ продуктов реакции, содержащих  $O^{18}$ , производился масспектрометрически в виде  $CO_2$ . В качестве катализаторов были выбраны:

1)  $V_2O_5$  (химически чистая). Удельная поверхность, определенная по сорбции метанола,  $15 \text{ м}^2/\text{г}$ .

2)  $V_2O_4$ , полученная восстановлением  $V_2O_5$ . Структура  $V_2O_4$  проверена рентгенографически. Параметр и решетки совпадают с данными справочников. Удельная поверхность  $26 \text{ м}^2/\text{г}$ .

3)  $MgCr_2O_4$  (хромит магния). Удельная поверхность  $70 \text{ м}^2/\text{г}$ .

4) Платина, нанесенная на асбест (2% Pt).

**Окисление этилена и пропилена.** При изучении окисления смеси этилена с кислородом на хромите магния нами ранее было показано [6], что углеводород сорбируется на поверхности контакта, образуя прочное соединение с ним, которое может быть удалено с поверхности путем его дальнейшего окисления кислородом газовой фазы. Скорость окисления этилена кислородом контакта значительно меньше скорости окисления кислородом газовой фазы.

При анализе баланса реакции можно расчленить процесс окисления на хемосорбцию и поверхностную реакцию. На хромите магния (см. табл. 1)

Таблица 1

Баланс реакции окисления стехиометрической смеси этилена с кислородом на хромите магния при  $350^\circ$ \*

№ опыта	Начальное давление стехиометрической смеси в мм рт. ст.	Количество этилена в %		
		израсходовано на окисление	сорбировано на поверхности	остаток
1	0,182	79,5	14,3	6,2
2	0,172	70,0	26,3	3,7
3	0,172	62,8	32,6	4,6
4	0,172	53,2	42,2	4,3
5	0,172	28,6	66,6	5,8

Впущен кислород 99 мм рт. ст.

6	0,163	78,0	21,0	1,0
---	-------	------	------	-----

\* Продолжительность реакции 60 мин.

по мере протекания реакции окисления стехиометрической смеси этилена с кислородом, доля окисленного этилена непрерывно падает и через 5 опытов составляет 28%, тогда как доля прочно сорбированного этилена на поверхности от опыта к опыту возрастает и достигает 66%. Поверхность контакта восстанавливается после обработки кислородом, но продукты реакции остаются неизменными и состоят из  $CO_2$  и  $H_2O$ .

При анализе баланса реакции окисления стехиометрической смеси этилена с кислородом на пятиокиси ванадия (см. табл. 2) можно утверждать, что поверхность контакта резко меняется при проведении реакции окисления. Так, в первом опыте доля окисленного этилена составляет 90%, а в третьем только 9,5%. При этом доля сорбированного этилена возрастает

Таблица 2

Баланс реакции окисления стехиометрической смеси  
этилена с кислородом на  $V_2O_5$  при  $430^\circ$

№ опыта	Начальное давле- ние стехиометри- ческой смеси в мм рт. ст.	Количество этилена в %		
		израсходовано на окисление	сорбировано на поверхно- сти	остаток
1	0,565	90,5	0,0	9,5
2	0,565	53,6	37,0	9,4
3	0,565	39,5	51,0	9,5

Обработка кислородом

4	0,560	67,0	25,0	8,0
---	-------	------	------	-----

до 51 %. Обработка кислородом поверхности контакта очищает ее от каких-то соединений этилена с кислородом контакта. В табл. 3 приведены резуль-

Таблица 3

Баланс реакции окисления смеси  $C_2H_4 + 3O_2$  на  $V_2O_5$  при различных температурах\*

№ опыта	Начальное давление смеси в мм рт. ст.	Температура в $^\circ C$	Количество израсходованного кисло- рода в %			Доля поверх- ностной реакции в %
			на окисление	на адсорбцию	на неисполь- зованный остаток	
69	0,554	360	79,4	18,1	2,5	11,4
70	0,540	402	67,6	19,5	12,3	22,4
71	0,540	430	53,7	37,0	9,3	42,3

\* Продолжительность реакции 30 мин.

таты окисления смеси  $C_2H_4 + O_2$  на  $V_2O_5$  при различной температуре. С повышением температуры от  $360$  до  $430^\circ$  доля поверхностного окисления  $C_2H_4$  за счет кислорода контакта возрастает с 11 до 42 %, т. е. увеличивается скорость реакции поверхностного окисления по сравнению со скоростью реакции окисления кислородом газовой фазы. В продуктах реакции, наряду с  $CO_2$ , всегда отмечалось большое количество  $CO$ . Специальными опытами установлено, что появление окиси углерода связано с разложением альдегидов в присутствии  $O_2$  в статических условиях при низких давлениях и температурах  $350-450^\circ$  на окись углерода и водород или метан.

Поэтому по количеству  $CO$  можно было судить о количестве образовавшихся альдегидов, т. е. оценить долю реакции неполного окисления в суммарном окислительном процессе.

При анализе баланса реакции стадийного окисления этилена на покрытой кислородом поверхности  $V_2O_5$  можно было установить долю реакции полного и неполного окисления, а также долю необратимой хемосорбции этилена. Величину сорбции углеводородов на  $V_2O_5$  не удается измерить, так как при температурах  $250-450^\circ$  она протекает почти мгновенно и одновременно с ней наблюдается реакция поверхностного окисления кислородом контакта.



Таблица 4

Баланс стадийной реакции окисления этилена на  $V_2O_5$  при различных температурах\*

№ опыта	Начальное давление $C_2H_4$ в мм рт. ст.	Температура в °C	Количество израсходованного этилена в %				Отношение $CO/CO_2$
			на окисление в $CO_2$	на окисление в $CO$	на адсорбцию	остаток	
68	0,500	360	11,3	55,2	6,5	27,0	4,9
70	0,516	402	16,3	64,0	8,4	9,7	3,9
71	0,520	430	16,7	66,2	9,0	8,1	3,9

\* Продолжительность реакции 90 мин.

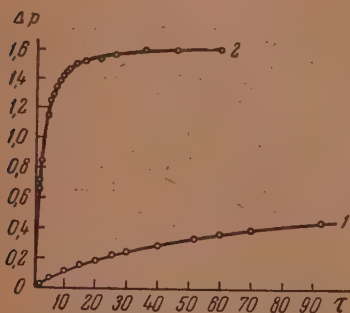
Таблица 5

Баланс стадийной реакции окисления этилена на  $V_2O_5$  при различных температурах и малых давлениях

№ опыта	Начальное давление $C_2H_4$ в мм рт. ст.	Температура в °C	Количество израсходованного этилена в %				Отношение $CO/CO_2$
			на окисление в $CO_2$	на окисление в $CO$	на адсорбцию	остаток	
68a	0,075	360	26,6	40,0	7,6	26,0	1,50
70a	0,080	402	31,5	48,7	9,0	8,7	1,54
71a	0,073	430	36,0	52,3	9,0	1,3	1,45

В табл. 4 и 5 приведены балансы реакции окисления  $C_2H_4$  при различных начальных давлениях и температурах на  $V_2O_5$ . По мере увеличения температуры доля неиспользованного этилена уменьшается, но адсорбция этилена на  $V_2O_5$  невелика и составляет 6—9%. При повышении температуры отношение  $CO/CO_2$  уменьшается, т. е. скорость реакции полного сгорания возрастает. В табл. 5 приведены результаты окисления  $C_2H_4$  на

$V_2O_5$  при малых заполнениях поверхности углеводородом. При сравнении результатов окисления этилена при больших давлениях ясно видно, что отношение  $CO/CO_2$  в продуктах реакции уменьшается, т. е. доля реакции полного сгорания возрастает. Следовательно, количество кислорода на поверхности или концентрация его в газовой фазе существенно влияет на направление реакции окисления. На фигуре приведены кинетические кривые окисления пропилена на  $V_2O_5$  и  $V_2O_4$ . Скорость реакции окисления пропилена на  $V_2O_4$  значительно больше скорости окисления его на  $V_2O_5$ .



Кинетические кривые окисления пропилена с кислородом при 400°: 1 — на  $V_2O_5$ ; 2 — на  $V_2O_4$ ;

В литературе многими исследователями отмечено [7], что наиболее активным контактом окисления углеводородов, на котором получается значительное количество ценных кислородсодержащих продуктов,

является  $V_2O_4$ . В ряде исследований [8] показано, что при переходе пяти-окси ванадия в низший окисел выход кислородсодержащих продуктов растет. Сравнивая степень участия кислорода контакта в реакции окисления углеводородов на различных контактах, можно оценить долю поверхностной стадии за счет кислорода контакта и долю реакции за счет кислорода газовой фазы в окислительном процессе.

**Окисление этилена и пропилена тяжелым кислородом.** Изучение окисления углеводородов с применением изотопа кислорода  $O^{18}$  проводилось по вышеописанной методике. Были проведены 2 серии опытов:

а) на катализаторе, не содержащем изотопа кислорода ( $O^{18}$ ), окислялась стехиометрическая смесь этилена или пропилена тяжелым кислородом;

б) в катализатор вводился  $O^{18}$  и на нем проводилось окисление смеси углеводорода с кислородом  $O^{16}$ .

Таблица 6

Окисление  $C_2H_4$  и  $C_3H_6$  на различных контактах тяжелым кислородом

№ опыта	Катализатор	Исходные вещества	Температура в °C	Коэффициент обогащения $CO^{16}O^{18}/CO_2^{16}$
2	$V_2O_5$ , содерж. $O^{18}$	$C_2H_4 + 3O_2^{16}$	430	1,38
5	$V_2O_5$ , без $O^{18}$	$C_2H_4 + 3O_2^{18}$	450	1,80
6	$V_2O_5$ , без $O^{18}$	$C_2H_4 + 3O_2^{18}$	—	1,84
21	$V_2O_5$ , содерж. $O^{18}$	$C_3H_6 + 4,5 O_2^{16}$	350	1,19
23	$V_2O_5$ , без $O^{18}$	$C_3H_6 + 4,5 O_2^{18}$	350	1,63
27	$V_2O_5$ , без $O^{18}$	$C_3H_6 + 4,5 O_2^{18}$	350	1,66
24	$V_2O_4$ , содерж. $O^{18}$	$C_3H_6 + 4,5 O_2^{18}$	350	1,81

В табл. 6 приведены результаты анализа продуктов реакции на масс-спектрометре. Определен коэффициент обогащения  $CO^{16}O^{18}$  по сравнению с  $CO_2^{16}$ . Естественная углекислота  $CO_2^{16}$  принята за единицу измерения и по отношению к ней коэффициент обогащения исходного кислорода  $O^{18}$  равен 2,36.

Если бы реакция окисления протекала только за счет кислорода газовой фазы, то коэффициент обогащения  $CO_2$  был бы равен единице, а при окислении стехиометрической смеси этилена или пропилена с кислородом на  $V_2O_5$ , содержащей  $O^{18}$ , коэффициент обогащения при  $350^\circ$  равен 1,19, а при  $430^\circ$  — 1,38. Следовательно, в окислении углеводорода участвует как кислород газовой фазы, так и кислород контакта. Степень участия кислорода контакта в процессе окисления можно установить при проведении противоположного опыта: окисления смеси углеводорода с тяжелым кислородом на контакте, не содержащем  $O^{18}$ . На пятиокси ванадия при окислении этилена и пропилена степень участия кислорода контакта в реакции окисления ~30%. На  $V_2O_4$  доля поверхностной реакции значительно возрастает. В табл. 7 приведены данные по окислению различных смесей пропилена с кислородом на  $V_2O_4$ , содержащий  $O^{18}$ . При окислении сорбированного на контакте пропилена (в газовой фазе только кислород  $O^{16}$ ), скорость поверхностной реакции невелика. По мере уменьшения концентрации кислорода в газовой фазе коэффициент обогащения возрастает, т. е. увеличивается скорость поверхностной реакции по сравнению с реакцией за счет кислорода из газовой фазы.

При уменьшении концентрации кислорода в газовой фазе в продуктах реакции появляется значительное количество CO, которая служит мерой реакции неполного окисления. Окись углерода смешивалась с  $O_2^{16}$  и окислялась на платиновой проволоке до углекислого газа, коэффициент обогащения которого измерялся масспектрометрически. Коэффициент

Таблица 7

Окисление  $C_3H_6$  на  $V_2O_4$ , содержащего  $O^{18}$ , различным количеством кислорода

№ опыта	Катализатор	Исходный состав смеси $C_3H_6 : O_2$	Температура в $^{\circ}C$	Коэффициент обогащения $CO^{18}O^{16}/CO_2^{16}$	Примечание
26	$V_2O_4$ , содерж. $O^{18}$	В газовой фазе только кислород	350	1,26	$C_3H_6$ сорбирован на поверхности контакта
24	$V_2O_4$ , содерж. $O^{18}$	1:4,5	350	1,81	В продуктах реакции $CO$ . Коэффициент обогащения $CO$ 2,36
27	$V_2O_4$ , содерж. $O^{18}$	1:1	350	2,18	

обогащения, полученного таким образом углекислого газа  $CO^{18}O^{16}/CO_2^{16}$ , достигает величины 2,35, т. е. образование окиси углерода, а следовательно, альдегидов, протекает за счет кислорода контакта. Иначе говоря, ценные кислородсодержащие продукты неполного окисления углеводородов можно получить на таких контактах, на которых скорость поверхностной реакции значительно больше скорости окисления кислородом из газовой фазы. В табл. 8 приведены коэффициенты обогащения продуктов

Таблица 8

Окисление  $C_3H_6$  тяжелым кислородом на различных контактах, не содержащих  $O^{18}$ 

№ по пор.	Катализатор	Исходные вещества	Температура в $^{\circ}C$	Коэффициент обогащения $CO^{18}O^{16}/CO_2$	Доля поверхностной реакции в %
1	$V_2O_4$	$C_3H_6 + 4,45 O_2^{18}$	350	1,29	42,5
2	$V_2O_5$	$C_3H_6 + 4,5 O_2^{18}$	350	1,66	29,6
3	$MgCr_2O_4$	$C_3H_6 + 4,5 O_2^{18}$	350	1,77	25,0
4	Платина на асбесте	$C_3H_6 + 4,5 O_2^{18}$	280	2,36	0,0

реакции окисления пропилена тяжелым кислородом на различных контактах. Степень участия кислорода контактов в реакции окисления различна. Так, на  $V_2O_4$  доля поверхностной реакции составляет 42%, на  $V_2O_5$ —30%, а на платине при температуре  $280^{\circ}$  окисление протекает только в объеме. Следовательно, как отмечалось нами в более ранних работах [4], можно провести грань между катализаторами глубокого и мягкого окисления. Образование продуктов неполного окисления связано с реакцией, протекающей по поверхностному механизму.

Катализаторы, на которых скорость поверхностного окисления велика, по видимому, являются наиболее активными контактами мягкого окисления ( $V_2O_4$ ).

Уменьшение концентраций кислорода в газовой фазе увеличивает долю реакции поверхностного окисления за счет кислорода контакта и способствует увеличению выхода ценных кислородсодержащих продуктов. Конечно, макрокинетические факторы (тепло, диффузия) и неблагоприятные соотношения скоростей окисления углеводородов и их кислородсодержащих производных сильно влияют на выход альдегидов и кислот на различных катализаторах мягкого окисления.

В работе участвовала дипломантка Т. В. Быкова. В заключение приношу благодарность С. З. Рогинскому за ценные советы и неизменный интерес к работе.

## ВЫВОДЫ

1. Изучено окисление этилена и пропилена на различных контактах ( $V_2O_5$ ,  $V_2O_4$ ,  $MgCr_2O_4$ ).

2. При окислении этилена и пропилена тяжелым кислородом на окислительных контактах показана различная степень участия в процессе кислорода катализатора.

3. Установлена связь между образованием продуктов неполного окисления углеводов (альдегид) и участием в реакции окисления кислорода контакта.

4. Применение масспектрометрической методики анализа продуктов реакции каталитического окисления углеводов позволило выяснить различие в механизме окисления на различных катализаторах.

Институт физической химии  
Академии наук СССР

Поступило  
15.X.1952

## ЛИТЕРАТУРА

1. П. Ю. Бутягин и С. Ю. Елович, ДАН 75, 711 (1950).
2. В. В. Шали, М. А. Пионтковская и М. В. Поляков, ДАН 74, 1113 (1950).
3. Л. Ф. Марек и Д. А. Ган, Каталитическое окисление органических соединений, ОНТИ, 1936.
4. П. Ю. Бутягин и Л. Я. Марголис, ДАН 66, 405 (1949).
5. Л. Я. Марголис и Е. Г. Плышевская, Изв. АН СССР, ОХН, № 3, 415 (1952).
6. Л. Я. Марголис и О. М. Тодес, Изв. АН СССР, ОХН, № 1, 52 (1952).
7. G. Parks a. K. Yula, Ind. Eng. Chem. 33, 892, (1941); Н. Н. Ворожцов и Д. А. Гуревич, ЖОХ 18, 3 (1945).
8. L. Sensman a. K. Nelson, Ind. Eng. Chem. 15, 523 (1923); A. Pongratz, K. Scholtis, Ber. 76, 1179 (1943); W. Schreiber, Kröger Gränzflächen Katalyse, Leipzig, стр. 281, 1933; J. Weiss, Down, Burn, Ind. Eng. Chem. 15, 965 (1923).



Я. Т. ЭЙДУС и Н. И. ЕРШОВ

## О КАТАЛИТИЧЕСКОЙ ГИДРОКОНДЕНСАЦИИ ОКСИ УГЛЕРОДА С ОЛЕФИНАМИ

### СООБЩЕНИЕ 10. ОТНОШЕНИЕ ЦИКЛОГЕКСЕНА К ГИДРОКОНДЕНСАЦИОННОМУ КАТАЛИЗУ

Реакция каталитической гидроконденсации окиси углерода с олефинами до настоящего времени проводилась только с  $\alpha$ -олефинами жирного ряда [1,2], этиленом и его ближайшими гомологами: пропиленом, бутиленом и изобутиленом, которые легко вступают в эту реакцию. Необходимо было выяснить, как относятся к реакции гидроконденсации с окисью углерода симметрично-двузамещенные этиленовые углеводороды, как, например, бутен-2. Для решения этого вопроса нужно было выбрать такой олефин, который не мог бы в условиях реакции изомеризоваться в  $\alpha$ -олефин. Подобная изомеризация с перемещением двойной связи к концу молекулы наблюдалась в условиях реакции оксосинтеза, т. е. реакции получения спиртов из олефинов,  $H_2$  и CO под давлением, для триметилэтилена, тетраметилэтилена и 2,4-диметилпентена-2, о чем можно было судить по характеру продуктов этой реакции [3]. Мы выбрали циклогексен, так как уже самое его строение исключает возможность подобной изомеризации. Из циклогексена  $\alpha$ -олефин может получиться только при размыкании устойчивого шестичленного цикла, что мало вероятно в сравнительно мягких условиях реакции гидроконденсации (температура  $190^\circ$ , давление атмосферное).

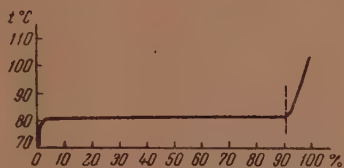
В настоящей работе изложены результаты, полученные при исследовании отношения циклогексена к реакции каталитической гидроконденсации с окисью углерода. Известно, что циклогексен вступает в реакцию оксосинтеза и родственных ей превращений [4]. Присоединяя CO и  $H_2$ , CO и  $H_2O$ , CO и  $C_2H_5OH$  и, наконец, CO и  $NH_3$ , этот циклоолефин превращается соответственно в гексагидробензиловый спирт [3], гексагидробензойную кислоту, этилгексагидробензоат и гексагидробензамид [5].

### ЭКСПЕРИМЕНТАЛЬНАЯ ЧАСТЬ

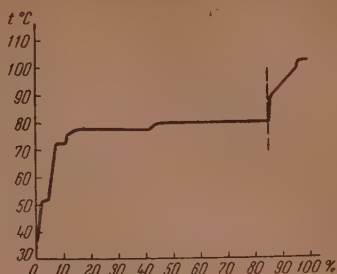
Аппаратура и порядок проведения опытов оставались такими же, как в предыдущих работах [1,2]. Исходный циклогексен получался с выходом  $\sim 80\%$  дегидратацией циклогексанола (т. кип.  $158-161^\circ$  при 750 мм;  $d_4^{20}$  0,9477) в присутствии концентрированной серной кислоты по видоизмененному, согласно Колеману и Джонстону [6], методу Сандерана [7]. В опытах 218, 219 и 221 (табл. 1 и 2) применялся полученный таким образом циклогексен, который кипел в пределах  $82-84^\circ$  при 763 мм и имел  $d_D^{20}$  0,8106;  $n_D^{20}$  1,4468. Во всех остальных опытах применялся циклогексен, отогнанный на колонке в 40 теоретических тарелок в одной температурной точке  $82,0^\circ$  при 750 мм и имевший  $d_4^{20}$  0,8104;  $n_D^{20}$  1,4470; найдено  $MR$  27,04; вычислено для  $C_6H_{10}$   $F$  27,19. Литературные данные: т. кип.  $83,19^\circ$  при 760 мм;  $d_4^{20}$  0,8107;  $n_D^{20}$  1,4467 [8].

Циклогексен поступал в контактную стеклянную трубку (диаметром 10 мм) из автоматической бюретки. Все опыты проводились при атмосферном давлении и температуре  $190^\circ$ . Полученные жидкие катализаты, описанные ниже, сушились над без-

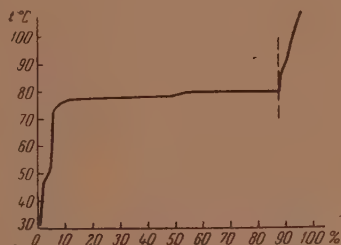
водным сульфатом меди, и основная их часть разгонялась на колонке с насадкой из металлических одновитковых спиралей в 40 теоретических тарелок. Остатки от этих разгонок перегонялись из колбочки с елочным дифлегматором (Фаворского).



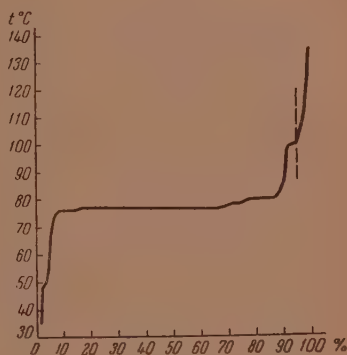
Фиг. 1.



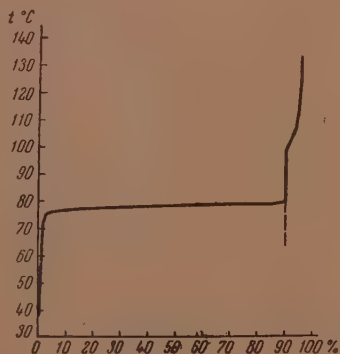
Фиг. 2.



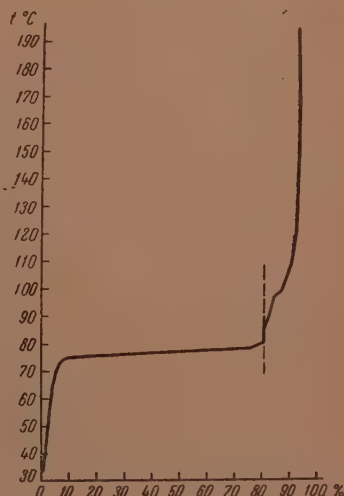
Фиг. 3.



Фиг. 4.



Фиг. 5a



Фиг. 6.

На фиг. 1—6 приведены кривые разгонки катализаторов, причем влево от вертикальной пунктирной линии приводятся кривые разгонки на колонке, а вправо от нее — кривые разгонки остатков из колбочки Фаворского.

## Опыты с циклогексеном без газа-носителя

Прежде чем исследовать отношение циклогексена к реакции гидроконденсации с окисью углерода, т. е. проводить опыты с тройной смесью  $C_6H_{10}-H_2-CO$ , мы изучили поведение одного циклогексена, а также двойной смеси  $C_6H_{10}-H_2$  в аналогичных условиях. Результаты, полученные в опыте с одним циклогексеном, показаны в табл. 1 и 2 (опыт 218).

Таблица 1

№ опыта	Контакт	Длительность опыта в час.	Пропущено циклогексена		Объем исходного газа в л	Объемная скорость в л/л. час			Получено жидкого катализата		Объем конечного газа в л	Контракция газа в %
			в мл	в г-мол.		циклогексена	исходного газа	( $C_6H_{10} + H_2$ )	в мл	в % от исходного $C_6H_{10}$		
218	46	14	111,5	1,09	0,0	0,18	—	39	109,4	98,2	—	—
219	47	16	137,8	1,35	47,0	0,25	84	138	132,0	95,8	28,7	39,0
220	48	10	115,0	1,13	33,5	0,33	95	157	112,0	97,4	17,7	47,2
221	49	20	140,5	1,39	50,2	0,20	74	120	138,2	98,4	28,25	44,0
222	48	23	230,7	2,20	66,0	0,28	82	142	229,0	99,3	34,0	48,5
223	50	27	112,4	1,07	42,9	0,12	45	71	119,6	106,5	19,7	54,1

Таблица 2

№ опыта	Состав исходного газа в объемн. %			Состав исходной парогазовой фазы в объемн. %				Состав конечного газа в объемн. %				
	$H_2$	CO	$C_6H_6$	$C_6H_{10}$	$H_2$	CO	$C_6H_6$	$H_2$	CO	CO <sub>2</sub>	$C_nH_{2n+2}$	$C_nH_{n2}$
218	—	—	—	100	—	—	—	—	—	—	—	—
219	100	—	—	40	60	—	—	95,0	—	—	5,0	—
220	100	—	—	43,5	56,5	—	—	Не определялся				—
221	88,6	11,4	—	38,3	54,7	7,0	—	75,1	—	0,9	24,0	—
222	89,4	10,6	—	42,7	51,2	6,1	—	98,8	—	—	1,2	—
223	63,9	7,0	29,1	35,8	41,0	4,5	18,7	47,7	0,2	0,5	51,3	0,3

Над свежеприготовленным контактом 46 (вес 15,5 г, длина слоя 44 см) в течение 14 час. пропускался циклогексен с объемной скоростью 0,18 л/л. час. Из 111,5 мл пропущенного углеводорода было получено 109,4 мл (98,2%) жидкого катализата имевшего константы  $d_4^{20}$  0,8106;  $n_D^{20}$  1,4470, не отличавшиеся от констант исходного циклогексена (см. выше). Однако разгонка 94 мл катализата на колонке показала, что не весь исходный углеводород получен обратно в неизменном виде. Было отогнано 91,3% (по объему) катализата в пределах 71,5—82° (фиг. 1). Остаток отогнали в пределах 84—102° из колбочки Фаворского. В табл. 3 приведены фракции, отобранные при разгонке катализата опыта 218, их объемный процент по отношению к разгоняемому катализату, удельные веса и показатели лучепреломления. (Промежуточные фракции, составлявшие меньше 0,2% от исходного катализата, в таблицах не приводятся.)

## Опыты с циклогексеном в токе водорода

С циклогексеном, пропускавшимся в токе водорода были проведены два параллельных опыта (219 и 220, табл. 1 и 2) на свежеприготовленных контактах 47 и 48 (каждый весом 15 г и длиной слоя 45 см). Из двух приводимых ниже значений величин первое относится к опыту 219, второе — к опыту 220. Циклогексен пропускался в течение 16 и 10 час. с объемной скоростью 0,25 и 0,33 л/л. час. Объемная скорость водорода была 84 и 95 л/л. час. Объемное отношение  $C_6H_{10}: H_2$  в парогазовой фазе 1 : 1,5 и 1 : 1,3. Контракция водорода составляла 39,0 и 47,2%. Из 137,8 и 115,0 мл пропущенного циклогексена было получено жидкого катализата 132 мл (95,8%) и 112 мл (97,4%).

Таблица 3

(p = 759 мм; опыт 218)

№ фракции	Пределы кипения в °C	Количество в объемн. % от исходного катализата	$d_4^{20}$	$n_D^{20}$
I	71,5—80,5	4,8	—	1,4488
II	80,5—81,5	12,0	0,8114	1,4480
III	81,5—82	74,5	0,8101	1,4465
IV	84—98	6,5	0,8098	1,4470
V	98—102	0,9	0,8110	1,4478
Остаток	—	0,9	—	—
Исходный катализат	71,5—102	—	0,8106	1,4470

Катализаты после сушки имели:  $d_4^{20}$  0,7832;  $n_D^{20}$  1,4340 и  $d_4^{20}$  0,7838;  $n_D^{20}$  1,4320. Высушенные катализаты в количестве 105 и 95 мл были разогнаны на колонке; отогнано 88,5 и 87,6% (по объему) катализата в пределах 38—80° и 32,5—80° (фиг. 2 и 3). Остатки отогнаны в пределах 80—102° и 80—108° из колбочки Фаворского.

Таблица 4

(p = 744 мм; опыт 219)

№ фракции	Пределы кипения в °C	Количество в объемн. % от исходного катализата	$d_4^{20}$	$n_D^{20}$
I	38—56	5,2	0,7199	1,3992
II	62—72	5,4	0,7831	1,4330
III	75—77	34,2	0,7988	1,4394
IV	78—79,5	13,8	0,7876	1,4296
V	79,5—80	29,9	0,7808	1,4243
VI	80—98	9,0	0,7784	1,4255
VII	99—102	4,4	0,7821	1,4285
Остаток	—	0,3	—	—
Исходный катализат	38—102	—	0,7832	1,4320

Таблица 5

(p = 750 мм; опыт 220)

№ фракции	Пределы кипения в °C	Количество в объемн. % от исходного катализата	$d_4^{20}$	$n_D^{20}$
I	32,5—56	4,7	0,7083	1,3960
II	73—77,5	8,1	0,7855	1,4340
III	77,5—78	34,6	0,7915	1,4354
VI	79—80	40,2	0,7852	1,4300
V	86—108	7,4	0,7905	1,4370
Остаток	—	0,5	—	—
Исходный катализат	32,5—108	—	0,7838	1,4320

В табл. 4 и 5 приведены отобранные фракции, их количество в объемных процентах и константы  $d_4^{20}$  и  $n_D^{20}$ .



## Опыты с циклогексеном в токе газовой смеси водорода и окиси углерода

С циклогексеном, пропускавшимся в токе газовой смеси водорода и окиси углерода, были проведены также два параллельных опыта (221 и 222, табл. 1 и 2), причем опыт 221 проводился со свежеприготовленным контактом 49 (вес 15,5 г, длина слоя 43 см), в то время как опыт 222 проводился с контактом 48 после проведения на нем опыта 220). Из двух приведенных ниже значений величин первое относится к опыту 221, второе — к опыту 222. Циклогексен пропускался в течение 20 и 23 час. с объемной скоростью 0,20 и 0,28 л/л. час. Объемная скорость газовой смеси ( $11,4 \text{ CO} : 88,6 \text{ H}_2$  и  $10,6 \text{ CO} : 89,4 \text{ H}_2$ ) 74 и 82 л/л. час. Состав парогазовой фазы был  $\text{C}_6\text{H}_{10}$  38,3%,  $\text{CO}$  7%,  $\text{H}_2$  54,7% и соответственно  $\text{C}_6\text{H}_{10}$  42,7%,  $\text{CO}$  6,1%,  $\text{H}_2$  51,2%. Общая объемная скорость (парогазовой фазы) 120 и 142 л/л. час. Контракция газовой смеси  $\text{H}_2$ — $\text{CO}$  составляла 44 и 48,5%. Состав конечного газа:  $\text{CO}_2$  0,9%,  $\text{H}_2$  75,1%,  $\text{CO}$  0,0%,  $\text{C}_n\text{H}_{2n+2}$  24,0% ( $\text{C}_2\text{H}_6 : \text{C}_3\text{H}_8 = 1 : 10$ , согласно анализу на аппарате Подбильняка) и соответственно  $\text{CO}_2$  0,0%,  $\text{H}_2$  98,8%,  $\text{CO}$  0,0%,  $\text{C}_n\text{H}_{2n+2}$  1,2%. Из 140,5 и 230,7 мл пропущенного циклогексена было получено 138,2 мл (98,4%) и 229,0 мл (99,3%) жидкого катализата с константами (после сушки):  $d_4^{20}$  0,7972;  $n_D^{20}$  1,4413 и  $d_4^{20}$  0,8007;  $n_D^{20}$  1,4440. Высушенные катализаты в количестве 110 и 202 мл были разогнаны на колонке; отогнано 89,6 и 93,0% (по объему) катализата в пределах 35—100° и 38—81° (фиг. 4 и 5). Остатки отгонялись из колбочки Фаворского в пределах 102—152° и 100—133°. В табл. 6 и 7 приведены отобранные фракции, их объемный процент и константы.

Опыты с циклогексеном в токе газовой смеси водорода, окиси углерода и этилена

Представляло интерес исследование добавки этилена к тройной смеси  $\text{C}_6\text{H}_{10}$ — $\text{H}_2$ — $\text{CO}$ . Циклогексен пропускался в токе газовой смеси  $\text{H}_2$ — $\text{CO}$ — $\text{C}_2\text{H}_4$  (опыт 223, табл. 1 и 2) над свежеевстановленным контактом 50 (вес 18 г, длина слоя 45 см) в течение 27 час. со скоростью 0,12 л/л. час. Объемная скорость газовой смеси (7  $\text{CO} : 63,9 \text{ H}_2 : 29,1 \text{ C}_2\text{H}_4$ ) составляла 45 л/л. час., ее контракция — 54,1%. Состав парогазовой фазы:  $\text{C}_6\text{H}_{10}$  35,8%,  $\text{H}_2$  41,0%,  $\text{CO}$  4,5%,  $\text{C}_2\text{H}_4$  18,7%, ее объемная скорость 71 л/л. час. Состав конечного газа  $\text{H}_2$  47,7%,  $\text{CO}$  0,2%,  $\text{CO}_2$  0,5%,  $\text{C}_n\text{H}_{2n}$  0,3%,  $\text{C}_n\text{H}_{2n+2}$  (главным образом  $\text{C}_2\text{H}_6$ ) 51,3%. Из 112,4 мл пропущенного циклогексена получено 119,6 (106,5%) жидкого катализата, имевшего после сушки:  $d_4^{20}$  0,8003;  $n_D^{20}$  1,4422. Высушенный катализат в количестве 100 мл был разогнан на колонке. Отогнано 80,8 % (по объему) катализата в пределах 34,0—81,0° (фиг. 6). Остаток перегнан из колбочки Фаворского на 25 мл в пределах 84—150°, а новый остаток — из колбочки Вюрца на 5 мл. В табл. 8 приведены отобранные фракции, их количества в объемных процентах и константы.

Таблица 6

(p = 753; опыт 221)

№ фракции	Пределы кипения в °C	Количество в объемн. % от исходного катализата	$d_4^{20}$	$n_D^{20}$
I	35—72	5,5	0,7363	1,4011
II	73—76	8,6	0,8090	1,4514
III	77—78	52,8	0,8105	1,4504
IV	78—80	14,6	0,8137	1,4314
V	82—99	4,5	0,7756	1,4255
VI	99—100	3,6	0,7790	1,4330
VII	102—110	2,3	0,8170	1,4458
VIII	110—133	2,2	0,8028	1,4464
IX	133—152	0,4	—	—
Исходный катализат	35—152	—	0,7972	1,4413

## Исследование продуктов реакций

Из табл. 1—8 и фиг. 1—6 видно, что жидкие катализаты, полученные во всех опытах, состоят из трех частей: 1) вышекипящей части, 2) средней части, представленной на кривых разгонок в виде плато, и 3) нижекипящей части.

1. Вышекипящая часть катализатов. Наличие фракций IV и V (табл. 3) показывает, что в условиях опыта 218 образуются продукты, кипящие при более высокой температу-

туре, чем исходный циклогексен. Они составляют 7,4% всего катализата и имеют верхний предел температуры кипения 102°. В опытах 219—223 продукты, кипящие выше исходного циклогексена, составляют 7—14% катализата. В опытах 219 и 220 с водородом в качестве газа-носителя конец кипения катализатов 102—108°. При добавлении окиси углерода (опыты 221 и 222) конец интервала кипения повышается до 133—152°, а добавление еще этилена к исходной смеси повышает его до 195°. Наибольший интерес представляли для исследования вышекипящие продукты, полученные из циклогексена, СО и Н<sub>2</sub>.

Фракции V—IX табл. 6 и фракция VI табл. 7 были соединены вместе. Часть этой смеси в количестве 14 мл в интервалом кипения 95—145° и  $n_D^{20}$  1,4390 была подвергнута дегидрогенизационному катализу, по Зелинскому, путем двукратного пропускания с объемной скоростью 0,12 л/л. час. в токе водорода при 306—308° над катализатором Pt-уголь, приготовленным по Зелинскому [9]. Полученный дегидрогенизат имел  $n_D^{20}$  1,4862, что указывало на большое содержание ароматических углеводородов. Другая часть этой смеси в количестве 10 мл гидрировалась путем двукратного пропускания над тем же катализатором в токе водорода при 162—165°. Полученный катализат имел  $n_D^{20}$  1,4239, близкий к  $n_D^{20}$  1,4230, который имеет метилциклогексан [8]. Гидрогенизат в количестве 5 мл был в свою очередь дегидрирован над тем же катализатором при 307° в слабом токе водорода. Дегидрогенизат имел  $n_D^{20}$  1,4900, т. е. отличался сильно ароматическим характером. Оба дегидрогенизата ( $n_D^{20}$  1,4862 и 1,4900) были слиты вместе и 16,5 мл смеси разогнаны ( $p = 754$  мм) из колбочки Фаворского на три фракции:

Фр. I, т. кип. 95—105°; 4,4 мл;  $d_4^{20}$  0,8458;  $n_D^{20}$  1,4825

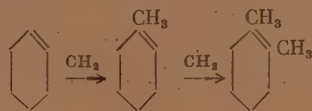
Фр. II, т. кип. 105—118°; 10,2 мл;  $d_4^{20}$  0,8516;  $n_D^{20}$  1,4872

Фр. III, остаток 1,7 мл;  $d_4^{20}$  0,8542;  $n_D^{20}$  1,4882

Фракции I и II давали положительную реакцию на толуол при их испарении по методу Эйдуса и Федичкиной [10]. Фракция II была в свою очередь разогнана. Отобрана толуольная фракция с т. кип. 108—112°. Часть ее в количестве 2,5 г была окислена перманганатом по Ульману [11]; получена чистая бензойная кислота с выходом более 45%, с т. пл. 121,6°. Смешанная проба с чистым препаратом бензойной кислоты не дала понижения температуры плавления.

Таким образом, доказано, что основная масса вышекипящих фракций катализата, полученного из тройной смеси циклогексена, водорода и окиси углерода, представляет собой углеводороды с метилированными шестичленными циклами. Это указывает на то, что в условиях опытов 221 и 222 происходит в значительной степени метилирование циклогексена. Фракция III (остаток) в количестве 0,5 мл подвергалась окислению по Норрису и Ваала [12]. В продуктах реакции была доказана лишь фталевая кислота положительной реакцией с резорцином (зеленая флуоресценция) [13]. Изофталевая и терефталевая кислоты не найдены.

Таким образом, показано, что при гидроконденсации циклогексена с СО образуются думетильные замещенные в положении 1,2 по схеме:



Образования 1,3- и 1,4-диметилзамещенных, повидимому, не происходит. Это объясняется тем, что метиленовый радикал, образующийся восстановлением СО, присоединяется к атому углерода при двойной связи.

2. Средняя часть катализатов. Средняя часть конденсатов, представленная на рисках разгонок в виде плато, содержала во всех опытах не только исходный циклогексен, но и циклогексан и бензол. Наиболее подробно была исследована средняя часть конденсата, полученного из тройной смеси циклогексена, СО и Н<sub>2</sub>, а именно, фракции I—V табл. 7. Было показано, что эти фракции состоят из углеводородов с шестичленным циклом, что видно из следующих опытов. 10 мл смеси фракций II и III табл. 7) дважды пропускались в токе водорода при 160—165° над катализатором Pt-уголь. Вуспенный над безводным сульфатом меди гидрогенизат представлял собой чистый циклогексан ( $n_D^{20}$  1,4260). Литературные данные для циклогексана: т. кип. 80,8°;  $d_4^{20}$  0,77867;  $n_D^{20}$  1,4262 [8].

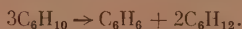
Гидрогенизат в количестве 8 мл далее подвергался дегидрогенизационному катализу двукратным пропусканием над тем же катализатором при 306° в слабом токе

водорода. Полученный дегидрогенизат имел  $n_D^{20}$  1,4918. Чистый циклогексан, пропущенный в количестве 3 мл над свежим катализатором для определения его активности, давал дегидрогенизат с  $n_D^{20}$  1,4930. Аналогичным образом 10 мл смеси фракций IV и V табл. 7 были прогидрированы в тех же условиях. Гидрогенизат перегонялся в пределах 80—81° и имел  $n_D^{20}$  1,4260, т. е. представлял собой чистый циклогексан.

Смесь фракций II, III, IV и V табл. 7 содержала значительное количество бензола. Качественно бензол был определен по методу Эйдуса и Федичкиной [10]. Для этого 10 мл указанной смеси предварительно обрабатывались метанольным раствором уксусной кислоты руги с целью связать циклогексен (который мешает определению бензола в виде его соединения с ругиной солью [14], а не вошедший в реакцию остаток отнялся в вакууме. Дистиллат, содержащий в основном бензол и циклогексан (после неполного нитрования), дал положительную реакцию на бензол с порошкообразным КОН (под петролейным эфиром) — желтое окрашивание щелочи [10].

Та же смесь фракций II, III, IV и V табл. 7, имевшая  $n_D^{20}$  1,4458, содержала по объему 33,2% циклогексана, не поглощавшегося смесью серной кислоты и фосфорного ангидрида, и 54,3% циклогексана (по бромному числу 107, определенному по Кауфману). По разности количества бензола составляло 12,5%. Искусственно составленная смесь такого же состава имела  $n_D^{20}$  1,4456, бромное число 98 и поглощалась смесью серной кислоты с фосфорным ангидридом на 70% по объему.

Ввиду того что условия всех наших опытов 218—223 благоприятны для гидрогенизации и неблагоприятны для дегидрогенизации, остается принять, что в этих условиях бензол образуется в результате протекания необратимого катализа [15, 16] по уравнению:



Сравнивая соотношение бензола и циклогексана в смеси фракций II, III, IV и V табл. 7 с этим соотношением в уравнении, следует считать, что некоторая часть циклогексана непосредственно гидрируется в циклогексан водородом, содержащимся в исходной газовой смеси.

Наличием бензола объясняется и то кажущееся несоответствие, которое наблюдается между температурой кипения, с одной стороны, и  $d_4^{20}$  и  $n_D^{20}$  — с другой, в средних фракциях катализаторов. Действительно, фракция I (табл. 3) имеет  $n_D^{20}$  несколько больший, чем исходный циклогексен, фракция II имеет температуру кипения несколько более низкую, а  $d_4^{20}$  и  $n_D^{20}$  несколько более высокие, чем циклогексен.

В табл. 4 и 5 фракции III кипят ниже, чем циклогексен и циклогексан, а константы  $d_4^{20}$  и  $n_D^{20}$  имеют значения, лежащие между значениями этих констант для указанных двух углеводородов. То же можно сказать о фракции II табл. 5. Кроме того, фракции III имеют гораздо более высокие значения  $d_4^{20}$  и  $n_D^{20}$ , чем следующие фракции IV. В табл. 6 и 7 фракции II и III также имеют  $n_D^{20}$  более высокий, чем фракции IV. В табл. 8 фракции III, IV и V имеют  $d_4^{20}$  и  $n_D^{20}$ , возрастающие с понижением температуры кипения фракции.

Все эти соотношения, как уже указано, объясняются присутствием бензола. Как еще было найдено в 1913 г. Зелинским и Александровым [17], бензол (т. кип. 80,09° [8]) и циклогексан (т. кип. 80,8° [8]) образуют азеотропную смесь, кипящую ниже, чем ее компоненты. Данные, характеризующие эту смесь, следующие: т. кип. 77,5° [18], весовое содержание бензола 55%.

Кроме того, бензол образует также азеотропную смесь с циклогексеном, которая кипит при 79,45° и содержит 64,5 вес.% бензола, по одним данным [19], и т. кип. 79,8° с содержанием 85% бензола — по другим данным [18]. Таким образом, азеотропная смесь бензола и циклогексана, кипящая ниже, чем ее компоненты, должна обладать большими значениями констант  $d_4^{20}$  и  $n_D^{20}$ , чем циклогексен. Согласно Павлову [20], смесь указанного состава имеет  $d_4^{20}$  0,82504 и  $n_D^{20}$  1,46155. Бензол при разгонке естественно попадает в более низкокипящие фракции, которые поэтому должны отличаться большими значениями  $d_4^{20}$  и  $n_D^{20}$ .

В опыте 218 с одним циклогексеном средняя часть конденсата кипела в интервале 80,5—82° и составляла по объему 86,5% катализата. В опытах 219—223 средняя часть катализата кипела в пределах 77—81° и содержала циклогексен, циклогексан и бензол.

**Низкокипящая часть катализаторов.** Фракция I, табл. 3, с интервалом кипения 71—80,5° составляла 4,8% катализата, причем, как видно из фиг. 1, часть катализата, кипящая ниже 77,5°, составляет меньше 0,5% и начинает кипеть при 71,5°. Фракции I табл. 4 и 5 с интервалом кипения 38—56° и 32,5—56° составляют соответственно 5,2 и 4,7%. Из катализата опыта 219 (табл. 4) отобрана промежуточная фракция II с интервалом кипения 62—72°, составляющая 5,4%. Фракции I, табл. 6 и 7, с интервалами кипения 35—72° и 38—56°, составляли 5,5 и 1,5%. В табл. 8 фракция I, 34—55°, составляла 3%, фракция II, 66—75°—6,5%.

Таблица 7

(p = 757; опыт 222)

№ фракции	Пределы кипения в °C	Количество в объём. % от исходного катализата	$d_4^{20}$	$n_D^{20}$
I	38—56	1,5	0,7101	1,3970
II	72—75	4,8	0,7995	1,4464
III	76—78	31,5	0,8076	1,4485
IV	78,5—80	48,0	0,8036	1,4438
V	80—81	8,2	0,7955	1,4370
VI	100—133	5,0	0,8272	1,4392
Остаток	—	0,4	—	—
Исходный катализат	38—133	—	0,8007	1,4440

Таблица 8

(p = 734; опыт 223)

№ фракции	Пределы кипения в °C	Количество в объём. % от исходного катализата	$d_4^{20}$	$n_D^{20}$
I	34—55	3,0	0,7024	—
II	66—75	6,5	0,7817	1,4380
III	76—76,5	17,3	0,8176	1,4554
IV	76,5—79	49,0	0,8079	1,4472
V	79,5—81	5,0	0,7945	1,4362
VII	84—95	3,0	0,7873	1,4338
VIII	98—150	10,0	0,7878	1,4333
	150—195	0,8	0,8064	1,4458
Исходный катализат	34—195	—	0,8003	1,4422

Таким образом, в опытах 219—223 получались низкокипящие фракции с началом кипения 32,5—38,0°. Наименьшее количество таких продуктов разложения было получено в опыте 222, проводившемся не со свежеевстановленным, а с длительно работавшим до этого катализатором. Эти фракции не были ближе исследованы, но по их константам и интервалу температуры кипения видно, что они содержат в основном алифатические углеводороды. Обращают на себя внимание небольшие площадки на кривой разгонки фиг. 2 при температурах 49—50° и 72°, а также задержки при температурах 49—50° на кривых разгонок фиг. 3 и 4. Этим температурам соответствуют циклопентан (т. кип. 49,2° [8]) и метилциклопентан (т. кип. 71,85° [8]).

Из-за малых количеств этих промежуточных фракций мы не могли провести работу по идентификации этих углеводородов, которые могли образоваться путем изомеризации со сжатием шестичленного цикла в пятичленный и дальнейшего деметилирования. Образование этих углеводородов весьма вероятно. До последнего времени подобного рода изомеризацию наблюдали на различных катализаторах при значительно более высоких температурах, чем 190° (над  $V_2O_5$ — $Al_2O_3$  при 400—500° [21],  $Al_2O_3$ ,  $TiO_2$ ,  $BeO$ , силикагеле при 400—450° [22],  $Al_2O_3$ — $Fe_2O_3$  при 300° [23], над глиной при 260° [24], над  $SrO_2$ — $Al_2O_3$ — $ThO_2$  [25]). Однако недавно было отмечено образование циклопентана путем изомеризации циклогексана в метилциклопентан с последующим деметилированием при 200° (над  $Co$ -катализатором синтеза бензина [26]).

### ВЫВОДЫ

1. Исследовалось отношение циклогексена к реакции каталитической гидроконденсации окиси углерода с олефинами.

2. Найдено, что в условиях этого процесса имеют место реакции «необратимого» катализа с образованием бензола и циклогексана, гидрирования в циклогексан и метилирования с образованием монометил- и 1,2-диметилзамещенных циклогексена.



## ЛИТЕРАТУРА

1. Я. Т. Эйдуc, Н. Д. Зелинский, К. В. Пузицкий, Н. И. Ершов, М. И. Батуев, Изв. АН СССР, ОХН, № 1, 110, 3, 326 (1949); № 1, 99, (1950); № 4, 377 (1950); № 6, 647 (1950); № 6, 722 (1951); ДАН 60, 235, 599 (1948).
2. Я. Т. Эйдуc, К. В. Пузицкий, ДАН 54, 35 (1946).
3. A. Willemart, Bull. Soc. Chim. 152 (1947).
4. Я. Т. Эйдуc, Усп. хим. 18, 32 (1950).
5. G. Dupont, P. Riganiol, J. Vialle, Bull. Soc. Chim., 529 (1948).
6. Синтезы органических препаратов, Сб. 1, перев. А. Ф. Платэ, под ред. акад. Б. А. Казанского, ИЛ, М., 1949, стр. 509.
7. J. B. Senderens, С. г. 154, 1169 (1912); Ann. Chim. (9) 18, 140 (1912).
8. M. P. Doss, Physical Constants of the Principal Hydrocarbons, 4 Ed., 1943.
9. Н. Д. Зелинский, Избр. труды, 2, 151. Изд. АН СССР 1941.
10. Я. Т. Эйдуc и Т. Л. Федичкина, Изв. АН СССР, ОХН, № 2, 275, 282 (1940).
11. C. Ullman, Ber. 36, 1798 (1903).
12. J. F. Norris a. G. T. Vaala, J. Am. Chem. Soc. 61, 2131 (1939).
13. Г. Мейер, Анализ и определение органических соединений под ред. В. Родионова, 1937, стр. 318; E. H. Huntress, S. P. Mulliken, Identification of pure organic compounds, order, 1, N. Y., 1941, стр. 148.
14. А. Н. Несмеянов и Р. Х. Фрейдлина, ЖОХ 743 (1937); В. И. Исагулянц и Г. М. Егорова, Химия нефти, 92. Гостоптехиздат (1949).
15. Н. Д. Зелинский, ЖРХО 43, 122 (1911); Избранные труды 2, 191 (1941).
16. Н. Д. Зелинский и Г. С. Павлов, Избранные труды Н. Д. Зелинского, 2, 220 (1941); Ber. 66, 1420 (1933).
17. Н. Д. Зелинский и А. Ф. Александров, ЖРХО 45, 377 (1913).
18. M. Lésat, Azeotropisme, Brussels, 1918; цит. по L. H. Horsley, Ann. Chem (Ind. Eng. Chem., An. Ed.) 19, 561 (1947).
19. J. M. Harrison, L. Berg, Ind. Eng. Chem. 38, 117 (1946).
20. Г. С. Павлов, ЖРХО, 58, 1302, 1309 (1926).
21. А. Ф. Платэ, ЖОХ 15, 156 (1945).
22. Ю. А. Арбузов и Н. Д. Зелинский, ДАН 30, 712 (1941); 23, 793 (1939); Изв. АН СССР, ОХН 667 (1945).
23. Н. И. Шуйкин, Изв. АН СССР, ОХН 440 (1944).
24. А. Ф. Николаева, В. М. Татевский и А. В. Фрост, ЖОХ 15, 796 (1945).
25. А. Д. Петров, ЖРХО 60, 1435 (1928).
26. H. Koch u. W. Filfert, Br.—Chem. 30, 213 (1949); C. A. 43, 7663 (1949).

В. С. ЧУГУНОВ и А. Д. ПЕТРОВ

**МАГНИЙОРГАНИЧЕСКИЙ СИНТЕЗ  $\alpha$ -НАФТИЛФЕНИЛДИ-  
н.БУТИЛСИЛАНА,  $\alpha$ -НАФТИЛТРИ-*p*-ТОЛИЛСИЛАНА,  
 $\alpha$ -НАФТИЛТРИБЕНЗИЛСИЛАНА И  $\alpha$ -НАФТИЛЕФЕНИЛБЕНЗИЛ-  
*p*-ТОЛИЛСИЛАНА**

В первых двух сообщениях [1] нами были описаны методы синтеза как через магнийорганические соединения, так и при помощи соединений лития, впервые полученных нами кремнийуглеводородов, содержащих  $\alpha$ -нафтильные радикалы. Была показана возможность методом магнийорганического синтеза присоединить к атому кремния, исходя из тетраэтоксисилана, не более двух пространственно трудных радикалов  $\alpha$ -C<sub>10</sub>H<sub>7</sub>. Установлено, что  $\alpha$ -нафтилтри-н. бутилсилан и  $\alpha$ -нафтилтри-н. гексилсилан отличаются весьма низкими температурами застывания (порядка —52 и —33°) и даже, что у несимметричного тетраарилсилана —  $\alpha$ -нафтилтрифенилсилана т. пл. 183—185°, в то время как тетрафенилсилан [2], как известно, плавится при 234°.

Продолжая эти исследования, мы сделали попытку получить магнийорганическим синтезом  $\alpha$ -нафталтри-н.октилсилан. Однако в условиях синтеза при повышенных температурах этот кремнийуглеводород был получен лишь в смеси с  $\alpha$ -нафтилди-н.октилсиланом. Получен также  $\alpha$ -нафтилфенилди-н. бутилсилан, оказавшийся густой жидкостью с удельным весом немного больше 1,0, застывающий в виде стекла при —5—7°. Далее было установлено, что если у  $\alpha$ -нафтилтри-*p*-толилсилана т. пл. 174° лишь немного ниже, чем у тетра-*p*-толилсилана [3] (226°), то у изомерного  $\alpha$ -нафтилтрибензилсилана т. пл. 54° (стекло), что находится, очевидно, в связи с низкой температурой плавления тетрабензилсилана 127,5° [4]. Наконец, нами был получен асимметричный кремнийуглеводород —  $\alpha$ -нафтилфенилбензил-*p*-толилсилан и оказалось, что этот высокомолекулярный кремнийуглеводород, содержащий в своем составе пять колец ароматического ряда, повидимому, в виду его высокой асимметрии, оказался при комнатной температуре густой жидкостью.

**ЭКСПЕРИМЕНТАЛЬНАЯ ЧАСТЬ**

Синтез кремнийуглеводородов во всех случаях осуществлялся через магнийорганические соединения. Разложение магнийорганического комплекса и выделение конечных продуктов реакции проводилось по методу Хотинского и Серегенкова [5].

1.  $\alpha$ -Нафтилфенилди-н.бутилсилан. К 1/5 г-мол. н.бутилмагнийхлорида приливалось 20 г  $\alpha$ -нафтилфенилдиэтоксисилана (т. кип. 365—370°;  $d_4^{20}$  1,0552;  $n_D^{41}$  1,5842), 100 мл предельного керосина с т. кип. 160—170° и смесь после удаления эфира кипятилась в керосине в течение 3 час. После разложения комплекса и разгонки продукта было собрано 16,2 г маслянистой жидкости с т. кип. 254—260° (при 20 мм), которая для удаления примеси (вещества, содержащего этоксильные группы) повторно обрабатывалась кипячением в керосине с таким же количеством н.бутилмагний-

хлорида. Дважды перегнанный  $\alpha$ -нафтилфенилди-н.бутилсилан имел следующие константы: т. кип.  $256-260^\circ$  (при 20 мм);  $d_4^{20}$  1,258;  $n_D^{20}$  1,5780; выход 29% из расчета на  $\alpha$ -C<sub>10</sub>H<sub>7</sub>C<sub>6</sub>H<sub>5</sub>Si(OC<sub>2</sub>H<sub>5</sub>)<sub>2</sub>

Найдено %: Si 8,1; 7,8  
C<sub>24</sub>H<sub>30</sub>Si. Вычислено %: Si 8,08

**2.  $\alpha$ -Нафтилтри-н.октилсилан.** К  $1/4$  г-мол. н.октилмагнийбромида добавлялось 29 г  $\alpha$ -нафтилтриэтоксисилана, 100 мл керосина с т. кип.  $160-170^\circ$  и после отгонки эфира смесь кипятилась в керосине в течение 4 час. При разгонке была выделена фракция с т. кип.  $400-410^\circ$  в количестве 14,8 г, которая повторно обрабатывалась избытком н. октилмагнийбромида кипячением в керосине в течение 4 час. После двухкратной перегонки было выделено, с выходом 27%, густое, светложелтое масло, которое характеризовалось следующими константами: т. кип.  $406-410^\circ$ ;  $d_4^{20}$  0,9136;  $n_D^{20}$  1,5272.

Найдено %: C 82,06; 81,91; H 11,32; 11,35; Si 6,86; 6,78  
Вычислено %: C 82,65; H 11,79; Si 5,66  
Вычислено %: C 81,6; H 11,65; Si 7,35

Так как данные элементарного анализа на углерод, водород и кремний не отвечают вышеприведенным соединениям, хотя найденный суммарный состав этих элементов равняется 100%, то было сделано предположение, что полученное вещество, наряду с  $\alpha$ -нафтилтри-н.октилсиланом, содержит также кремнийуглеводород меньшего молекулярного веса. Таким кремнийуглеводородом в условиях проводимого синтеза, повидимому, может быть лишь  $\alpha$ -нафтилди-н.октилсилан, присутствие которого нами и было доказано методом, предложенным Прайсом [6].

В приборе Цереветинова в 30 мл ацетона растворялось 0,4422 г анализируемой смеси и к раствору постепенно приливалось такое же количество 20%-ного раствора едкого калия. Было собрано 12,4 мл водорода, что соответствует 47,4%  $\alpha$ -нафтилди-н.октилсилана. Обработка 0,2014 г смеси дала 6,5 мл водорода, что отвечает 45,2%  $\alpha$ -нафтилди-н.октилсилана.

**3.  $\alpha$ -Нафтилтри-*p*-толилсилан.** Из 6 г магния в 200 мл эфира и 69 г *p*-бромтолуола готовился *p*-толилмагнийбромид, к которому затем приливалось 15 г  $\alpha$ -нафтилтриэтоксисилана и 100 мл предельного керосина с т. кип.  $160-170^\circ$ . После отгонки эфира смесь кипятилась в керосине в течение 4 час., а затем образовавшийся комплекс разлагался 50%-ной уксусной кислотой. При разгонке было собрано 126 г жидкости янтарного цвета с т. кип.  $320-340^\circ$  (при 30 мм), застывающей при комнатной температуре в виде стекла. Для удаления вероятной примеси кислородсодержащих соединений продукт повторно обрабатывался с избытком *p*-толилмагнийбромида кипячением в керосине в течение 4 час. После двухкратной разгонки в вакууме было выделено 9,8 г стеклообразного продукта, который, будучи дважды перекристаллизован из бензола, представлял собой мелкие, бесцветные кристаллы, плавящиеся при  $174-176^\circ$ . Выход 20%, считая на  $\alpha$ -нафтилтриэтоксисилан.

Найдено %: C 86,60; 86,57; H 6,57; 6,73; Si 6,68; 6,67  
C<sub>31</sub>H<sub>28</sub>Si. Вычислено %: C 86,90; H 6,55; Si 6,55

Найдено: M 420,2; 416,6  
C<sub>31</sub>H<sub>28</sub>Si. Вычислено: M 428,6

**4. Нафтилтрибензилсилан.** К  $1/4$  г-мол. бензилмагнийхлорида, приготовленного из 32 г хлористого бензила и 6 г магния, приливалось 14,5 г  $\alpha$ -нафтилтриэтоксисилана и 100 мл керосина. По отгонке эфира смесь кипятилась в керосине при  $160-170^\circ$  в течение 4 час., после чего

комплекс разлагался. Было выделено 7,6 г густой жидкости с т. кип. 310—318° (при 28 мм), которая затем повторно обрабатывалась избытком бензилмагнийхлорида. После разложения комплекса продукт дважды перегонялся в вакууме. При 314—318° (при 26 мм) было собрано 4,2 г (с выходом до 10% на  $\alpha$ -нафтилтриэтоксисилан)  $\alpha$ -нафтилтрибензилсилана, который застывал в виде прозрачного стекла, размягчающегося при 54—56°. При атмосферном давлении продукт перегонялся при 386—389° без разложения.

Найдено %: C 86,68; 86,86; H 6,73; 6,51; Si 6,18; 6,36  
 $C_{31}H_{28}Si$ . Вычислено %: C 86,90; 86,55; Si 6,55

5.  $\alpha$ -Нафтилфенилбензил-*p*-толилсилан. Синтез этого асимметрического кремнийуглеводорода осуществлялся в следующем порядке:

а)  $\alpha$ -Нафтилфенил-*p*-толилэтоксисилан. К  $\frac{1}{10}$  г-мол. толилмагнийбромида, приготовленного из 2,4 г магния, 200 мл эфира и 17,1 г *p*-бромтолуола, было прилито 32,5 г  $\alpha$ -нафтилфенилдиэтоксисилана, константы которого приведены выше, и 100 мл предельного керосина. По отгонке эфира смесь кипятилась в керосине при 160—170° в течение 4 час., после чего комплекс был разложен и продукт дважды перегнан в вакууме. Было собрано 22 г  $\alpha$ -нафтилфенил-*p*-толилэтоксисилана с т. кип. 310—318° (при 80 мм);  $d_4^{20}$  1,225 в виде густой, маслянистой жидкости.

Найдено %: Si 7,65; 7,03  
 $C_{25}H_{24}SiO$ . Вычислено %: Si 7,69

б)  $\alpha$ -Нафтилфенилбензил-*p*-толилсилан. К 17,1 г хлористого бензила, 2,4 г магния и 200 мл эфира прибавлялось 20 г  $\alpha$ -нафтилфенил-*p*-толилэтоксисилана и 100 мл керосина с т. кип. 160—170°. По отгонке эфира смесь кипятилась в керосине в течение 4 час., а затем после разложения комплекса продукт перегонялся в вакууме. Было собрано 12 г маслянистой жидкости с т. кип. 300—310° (при 30 мм), которая затем повторно обрабатывалась избытком бензилмагнийхлорида кипячением в керосине. После разложения комплекса продукт разгонялся в вакууме. Было выделено 8 г  $\alpha$ -нафтилфенилбензил-*p*-толилсилана, который обладал следующими свойствами: т. кип. 306—310° (30 мл);  $d_4^{20}$  1,126; температура размягчения — +40 + 45°.

Найдено %: C 87,04; 87,15; H 5,96; 5,92; Si 7,4  
 $C_{30}H_{26}Si$ . Вычислено %: C 87,2; H 5,7; Si 7,0

## ВЫВОДЫ

1. Подтверждено, что несимметрично построенные тетраарилсиланы, так же как и их аналоги — тетраарилметаны, плавятся ниже симметрично построенных.

2. Установлено, что с увеличением длины цепи алкила (до  $C_8H_{17}$ ) при магнийорганическом синтезе соединений типа  $\alpha-C_{10}H_7SiR_3$  в условиях повышенных температур, наряду с образованием  $\alpha$ -нафтилтри-*n*-октилсилана, получается также  $\alpha-C_{10}H_7SiH(n-C_8H_{17})_2$ .

Институт химии силикатов  
 Академии наук СССР

Поступило  
 4.X.1952

## ЛИТЕРАТУРА

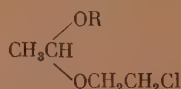
1. А. Д. Петров и В. С. Чугунов, ДАН 73, № 2, 323 (1950); 77, № 5, 815 (1951).
2. А. В. Топчиев и Н. С. Наметкин, ДАН 80, № 6, 897 (1951).
3. W. C. Schumb и C. M. Satter, J. Am. Chem. Soc. 61, 363 (1939).
4. Г. В. Медокс, ЖОХ 8, 291 (1938).
5. Е. Хотинский и В. Серегенков, Бер. 41, 2946 (1908).
6. F. Price, J. Am. Chem. Soc. 69, 2600 (1947).



М. Ф. ШОСТАКОВСКИЙ и Н. А. ГЕРШТЕЙН

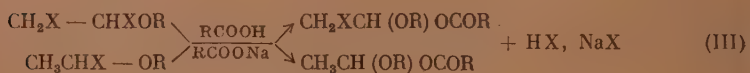
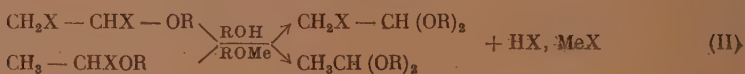
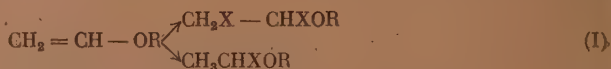
# К ПРЕВРАЩЕНИЯМ ПРОСТЫХ ВИНИЛОВЫХ ЭФИРОВ ХИМИЧЕСКИЕ СВОЙСТВА АЛКИЛ-β-ХЛОРЕТИЛАЦЕТАЛЕЙ

Настоящее исследование посвящено вопросу подвижности атома хлора и атома водорода, расположенных соответственно в β- и α-положениях в алкил-β-хлорэтилацетатах общей формулы



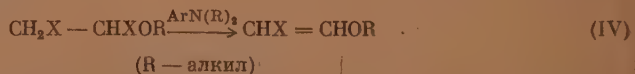
Вопрос о подвижности α-галоида и β-водорода был предметом глубокого изучения в реакциях галоидирования и гидрогалогидирования простых виниловых эфиров и получил отражение в трудах Шостаковского, Сидельковской и Богдановой [1, 2, 3].

Указанными авторами было установлено, что α-галоид в продуктах галоидирования и гидрогалогидирования винилалкиловых эфиров обладает исключительной подвижностью и легко титруется, по Фольгардту и щелочью количественно, а также легко замещается на алкоксильные и ацильные группы:



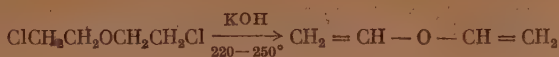
(X — галоид)

Наряду с этим была отмечена подвижность β-водорода в α, β-дигалоид-этилалкиловых эфирах, проявившаяся в способности их отщеплять галоидоводород под влиянием третичных аминов с образованием β-галогидвиниловых эфиров [4]:



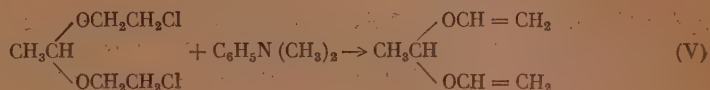
Исключительно высокая подвижность α-галоида, а также легко идущие реакции отщепления и замещения по сравнению с соответствующими реакциями у галоидированных углеводов [5] вызваны главным образом влиянием эфирного атома кислорода, обладающего свободной парой электронов. Однако Гуляевой и Даугулевой [6] было показано, что в аналогичной группировке в хлорексе  $(\text{ClCH}_2\text{CH}_2)_2\text{O}$  отщепление HCl при на-

хождении галоида в β-положении требует чрезвычайно жестких условий и приводит к получению дивинилового эфира с очень низкими выходами:



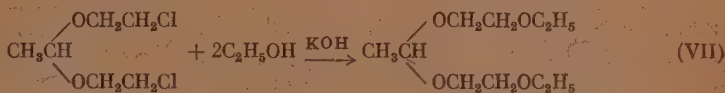
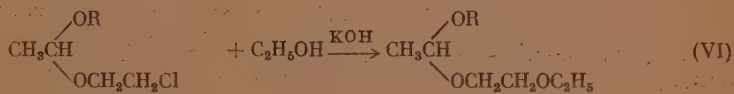
В процессе исследования мы стремились выяснить подвижность β-галоид- и α-водородных атомов в β-хлорэтилацеталах  $[\text{CH}_3\text{CH}(\text{OR})\text{OCH}_2\text{CH}_2\text{Cl}]$ .

Однако при взаимодействии диметиланилина на ди-β-хлорэтилацеталь нам не удалось осуществить нижеследующую реакцию:



При нагревании до  $100^\circ$  в течение 3 дней по 12 час. ди-β-хлорэтилацеталь с избытком диметиланилина не было обнаружено выпадения осадка и образования легколетучих продуктов, улавливаемых в ловушки, охлаждаемые до  $-50^\circ$ . В данных условиях не имеет места ни реакция отщепления хлористого водорода, ни замещения галоида на амин. При нагревании эфирного раствора ди-β-хлорэтилацетала с порошкообразным KOH до слабого кипения ( $40^\circ$ ) в течение нескольких часов исходный ди-β-хлорэтилацеталь вернулся неизмененным. Нагреванием с жидким аммиаком в течение 5—6 час. при  $140-150^\circ$  удалось заместить хлор на аминогруппу [7].

Сравнительно легко протекает реакция замещения хлора в моно- и ди-β-хлорэтилалкиловых ацеталах на алкоксильные группы при нагревании последних со спиртовым раствором едкого калия. Алкоксипроизводные образуются при этом с высоким выходом и могут быть использованы для препаративных целей:



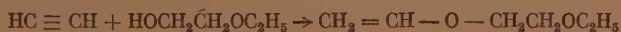
В настоящем сообщении описаны синтез и свойства этилэтоксипроизводных, бутил-β-этоксипроизводных и ди-β-этоксипроизводных этилацеталей. Из вышеуказанных этокси-ацеталей литературные данные приводят к получению ди-β-этоксипроизводного этилацетала Адкинсом с сотрудниками [8] из ацетальдегида и целлозольва:



и Ньюлендом с сотрудниками [9] из ацетиленов и целлозольва в присутствии кислых катализаторов ( $\text{BF}_3$  и  $\text{HgO}$ ):

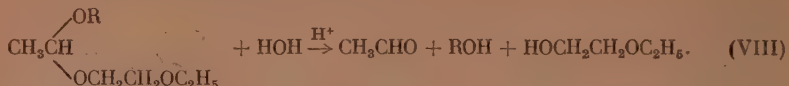


В последнем случае реакция, по видимому, протекает в две стадии:

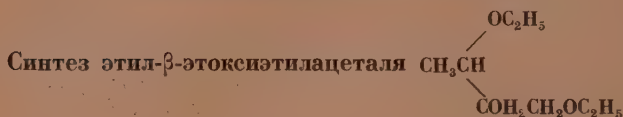


Этил-β-этоксипропанол и бутил-β-этоксипропанол получены авторами впервые.

Строение синтезированных ацеталей доказано гидролизом их с количественным определением по ацетальдегиду:



### ЭКСПЕРИМЕНТАЛЬНАЯ ЧАСТЬ\*



Исходный этил-β-хлорпропанолацеталь получался нами по способу, описанному ранее [10], и имел следующие константы: т. кип. 23—23,8° при 2 мм;  $d_4^{20}$  1,0190;  $n_D^{20}$  1,4216.

В трехгорлую, круглодонную колбу, снабженную ртутным затвором, обратным холодильником, механической мешалкой, термометром и капельной воронкой, помещался раствор 57 г едкого кали в 480 г абсолютного этанола. К нему добавлено из капельной воронки в течение 2,5 час., при комнатной температуре 77 г этил-β-хлорпропанола. На холоде кристаллического осадка не выпадало, т. е. реакция при комнатной температуре не происходила. Поэтому смесь нагревали при перемешивании 8 час. при 80°. Раствор окрасился в кирпично-красный цвет и выпал белый осадок хлористого калия. Реакционная масса подвергалась фильтрованию с отсасыванием и затем перегонке из колбы с елочным дефлегматором. Перегонку приходилось несколько раз прерывать, чтобы отфильтровывать от выпадающего хлористого калия.

Осадок хлористого калия каждый раз промывался эфиром. Таким образом было выделено 36 г хлористого калия (96,5% от теоретически рассчитанного). Остаток в колбе расслоился. Нижний слой представлял водный раствор едкого кали, а верхний — продукт реакции, который после просушки поташом фракционировался в вакууме.

Выделено 9,5 г (11,7% от теории) этил-β-этоксипропанола с т. кип. 40—40,5° при 4 мм;  $n_D^{20}$  0,8955.

Найдено:  $MR$  44,33

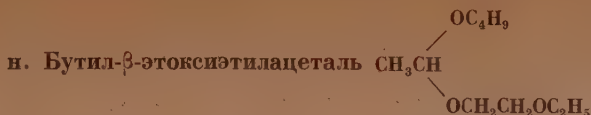
$C_8H_{18}O_3$ . Вычислено:  $MR$  44,07

Полученное вещество представляло собой легко подвижную прозрачную жидкость, очень хорошо растворимую в воде, этиловом эфире, этаноле и бензоле

Найдено  $M$ : 148; 151,8  
 $C_8H_{18}O_3$ . Вычислено  $M$ : 162,2

Найдено %: С 58,61; 58,73; Н 11,30; 11,18  
 $C_8H_{18}O_3$ . Вычислено %: С 59,23; Н 11,18  
 Найдено вещества %: 97,9; 99,7 (подометрически)

\* В экспериментальной части принимал участие А. К. Горбань.



Бутил-β-хлорэтилацеталь применен в реакцию с т. кип. 55—56° при 2 мм;  $d_4^{20}$  0,9838;  $n_D^{20}$  1,4289. Раствор 40 г едкого кали в 118 г абсолютного этанола помещался в трехгорлую круглодонную колбу, снабженную ртутным затвором, обратным холодильником, термометром, механической мешалкой и капельной воронкой. Обратный холодильник соединялся каучуком с двумя змеевиками, погруженными в охлаждающую смесь. К раствору едкого кали каплями прибавлено 90 г бутил-β-хлорэтилацетала в течение 2 час. Реакционная смесь кипятилась с обратным холодильником в течение 2 час. Выделение газов не имело места. В змеевиках ничего не уловилось. Затем реакционная смесь фильтровалась с отсасыванием. При этом выделено 32,7 г. хлористого калия, т. е. 87,7% от теории. Фильтрат подвергался разгонке из колбы с елочным дефлегматором. Остаток в колбе расслоился. Нижний слой представлял водный раствор едкого кали. Верхний слой сушился поташом и фракционировался.

Получено 91,5 г (96,2% от теории) бутил-β-этоксиптилацетала с т. кип. 71—72,5° при 5 мм;  $d_4^{20}$  0,8832;  $n_D^{20}$  1,4090

Найдено: *MR* 53,26

$\text{C}_{10}\text{H}_{22}\text{O}_3$ . Вычислено: *MR* 53,31

Вещество представляло собой легко подвижную, бесцветную жидкость, растворимую в диэтиловом эфире, этаноле и бензоле.

Найдено %: С 63,22; 63,37; Н 11,77; 11,80  
 $\text{C}_{10}\text{H}_{22}\text{O}_3$ . Вычислено %: С 63,12; Н 11,65  
 Найдено вещества %: 99,9; 99,3 (иодометрически)

#### β'β'-Диэтоксидиэтилацеталь $\text{CH}_3\text{CH}(\text{OCH}_2\text{CH}_2\text{OC}_2\text{H}_5)_2$

В тех же условиях к раствору из 48 г едкого кали в 414 г абсолютного этанола при перемешивании прибавляли в течение 4 час. при температуре 17—22° 47 г β, β'-дихлордиэтилацетала. Т. кип. 60,5—61,5° при 1,5 мм;  $d_4^{20}$  1,4737;  $n_D^{20}$  1,4529.

Смесь нагревали на кипящей водяной бане в течение 15 час. Раствор окрасился в коричневый цвет и выпал белый осадок хлористого калия. Реакционная смесь фильтровалась с отсасыванием и затем подвергалась перегонке из колбы с елочным дефлегматором. Перегонку приходилось несколько раз прерывать, чтобы отфильтровывать выпадавший хлористый калий. Остаток в колбе расслоился, нижний слой представлял водный раствор едкого кали, а верхний просушивался поташом и подвергался фракционированию; при этом выделено 10 г β,β'-диэтоксидиэтилацетала, 19,3% от теории.

Свойства: т. кип. 109—110° при 13 мм; 107—108° при 10 мм;  $n_D^{20}$  1,4181;  $d_4^{20}$  0,9379.

Найдено: *MR* 55,44

$\text{C}_{10}\text{H}_{22}\text{O}_4$ . Вычислено: *MR* 54,95

Литературные данные Адкинса [3]: т. кип. 83—85° при 10—15 мм; Ньюланда [4]: т. кип. 110—114° при 14 мм;  $d_4^{25}$  0,9328;  $n_D^{25}$  1,4163.



Вещество представляло собой легко подвижную бесцветную жидкость, растворимую в бензоле.

Найдено:  $M$  187,8, 189,9 (криоскопически в бензоле)  
 $C_{10}H_{22}O_4$ . Вычислено:  $M$  206,3

Найдено %: С 58,13; 57,99; Н 10,81; 10,93  
 $C_{10}H_{22}O_4$ . Вычислено %: С 58,22; Н 10,75  
 Найдено вещества %: 98,3; 99,0 (пидометрически)

### ВЫВОДЫ

1. Разработан метод синтеза алкил-β-этоксиптилацеталей взаимодействием спиртовых растворов щелочей и алкил-β-хлорэтилацеталей.
2. Установленным методом впервые получены и полностью охарактеризованы этил-β-этоксиптил- и бутил-β-этоксиптилацетали.
3. Синтезирован β,β'-диэтоксипдиэтилацеталь взаимодействием спиртовой щелочи и β,β'-дихлордиэтилацетала.
4. Показано, что в изученных условиях β-галоид замещается на алкоксигруппы.
5. В изученных условиях не имеет места отщепление галоидоводорода с образованием непредельных ацеталей.

Институт органической химии  
 Академии наук СССР

Поступило  
 25.VIII.1952

### ЛИТЕРАТУРА

1. М. Ф. Шостаковский, Простые виниловые эфиры, Изд. АН СССР, Москва, 1952.
2. М. Ф. Шостаковский и Ф. П. Сидельковская, ЖОХ 21, 1610 (1951).
3. М. Ф. Шостаковский и А. В. Богданова; ЖОХ 17, 567 (1947), 20, 1315 (1950).
4. М. Ф. Шостаковский и Ф. П. Сидельковская, ЖОХ 20, 620 (1950); М. Ф. Шостаковский и Ф. П. Сидельковская, Изв. АН СССР, ОХН, № 4, 394 (1950).
5. Д. В. Тищенко, ЖОХ 9, 1380 (1939).
6. А. Гуляева и Т. Даугулева, Каучук и Резина 1, 49 (1937).
7. М. Ф. Шостаковский, И. А. Чекулаева и Н. А. Герштейн, Изв. АН СССР, ОХН № 1, 172 (1952).
8. 8. John N. Street a. Homer Adkins, J. Am. Chem. Soc. 50, 162 (1928).
9. J. A. Niewland, R. R. Vogt a. W. L. Foney, J. Am. Chem. Soc. 52, 1018 (1930).
10. М. Ф. Шостаковский, Н. А. Герштейн и А. К. Горбань, Изв. АН СССР, ОХН, 2, 212 (1949).

М. Ф. ШОСТАКОВСКИЙ, Б. И. МИХАНТЬЕВ, Н. Н. ОВЧИННИКОВА

## ИОННАЯ СОПОЛИМЕРИЗАЦИЯ ПРОСТЫХ ВИНИЛОВЫХ ЭФИРОВ

Полимеризация винилалкиловых эфиров легко осуществляется под влиянием минеральных кислот и хлоридов металлов [1]. Диссоциация оксониевых комплексов «виниловый эфир — катализатор» зависит от температуры и соответствует приблизительно точке кипения данного эфира [1].

Изучение каталитической ионной сополимеризации [2] винилэтиловый — винилбутиловый эфиры показало, что сополимеризации предшествует полимеризация винилэтилового эфира, а затем образуется сополимер, обогащенный звеньями этого же эфира. С уменьшением количества мономера винилэтилового эфира в реакционной смеси получают сополимеры, в которых исходные компоненты находятся в соотношении 1: 1 или в них преобладают звенья винилбутилового эфира. В заключение образуется полимер винилбутилового эфира.

Для получения сополимеров двух исходных винилалкиловых эфиров, отличающихся активностью, необходимо существенно понижать концентрацию более активного мономера или непрерывно прибавлять его в реакционной смеси, где в избытке находится менее активный мономер.

Разделение смесей полимеров и сополимеров различного состава основано на растворении и извлечении высокомолекулярных продуктов различными спиртами. Так, например, полимер винилэтилового эфира растворим в этаноле, полимер винилбутилового — в бутаноле. Сополимеры винилэтиловый — винилбутиловый эфиры растворимы в различных количествах изопропилового спирта (спирта расходуется больше на сополимеры, обогащенные звеньями винилбутилового эфира). Такие сополимеры растворимы также и в избытке этилового спирта (8—10 мл спирта на 1 г сополимера). Полимер винилбутилового эфира растворим в бутаноле, и из растворов осаждается этанолом. Полимер же винилэтилового эфира и сополимеры винилэтиловый — винилбутиловый эфиры осаждаются из растворов водой. Пользуясь методом селективного растворения и извлечения разноименных поливинилалкиловых эфиров, можно получить достаточно точные представления о ходе сополимеризации разноименных сополимеров.

Процессы ионной сополимеризации изучены на следующих системах — смесях простых виниловых эфиров: этиловый — изопропиловый, этиловый — бутиловый, этиловый — изоамиловый, этиловый — гексильовый, изопропиловый — бутиловый, бутиловый — гептиловый, бутиловый — октиловый, изоамиловый — нониловый, изоамиловый — дециловый, гексильовый — дециловый, бутиловый — циклогексильовый и бутиловый — фениловый.

В качестве контроля за ходом полимеризации было принято определение коэффициента преломления реакционной смеси. Течение процесса сополимеризации, выделение и характеристика продуктов рассмотрены на примере винилэтиловый — винилгексильовый эфиры.

## ЭКСПЕРИМЕНТАЛЬНАЯ ЧАСТЬ

## Сополимеризация винилэтилового и винилгексилового эфиров

Опыт 1. В круглодонную колбу, снабженную обратным холодильником и механической мешалкой, загружалось 72 г (1 г-мол.) винилэтилового эфира (т. кип.  $36^\circ$ ;  $n_D^{20}$  1,3780) и 128 г (1 г-мол.) винилгексилового эфира (т. кип.  $143,5^\circ$ ;  $n_D^{20}$  1,4170). Смесь подогревалась до  $35^\circ$ , а затем в нее вносился катализатор (5%-ный раствор  $\text{FeCl}_3 \cdot 6\text{H}_2\text{O}$  в бутаноле); при этом температура повышалась, а смесь густела. Ход процесса сополимеризации представлен в табл. 1.

Еще горячий продукт слабо желтого цвета был помещен в кляйзеновскую колбу и подвергнут

Таблица 1

Сополимеризация винилэтилового и винилгексилового эфиров (1 : 1)

Время	$n_D^{20}$ смеси	Температура реакционной смеси в $^\circ\text{C}$	Количество катализатора
10 ч. 40 м.	1,3975	20	—
11 ч. 05 м.	1,3975	35	2 капли
11 ч. 20 м.	1,4215	65	—
11 ч. 35 м.	1,4240	60	2 капли
11 ч. 50 м.	1,4346	85	—
12 ч. 05 м.	1,4380	150	2 капли
12 ч. 20 м.	1,4425	142	—
12 ч. 35 м.	1,4425	142,5	1 капля

двухчасовому вакуумированию на кипящей водяной бане при остаточном давлении 15—18 мм; при этом выход составлял 170,6 г, или 85% от теории;  $n_D^{20}$  1,4582.

а) Полимер-сырец был обработан 3 порциями этилового спирта по 50 мл каждая. Из всех вытяжек порознь полимер осаждался водой. Фракция I полимера после вакуумирования на кипящей водяной бане в течение одного часа при остаточном давлении 15—16 мм имела  $n_D^{20}$  1,4486; выход 24 г. Соответ-

ственно фракция II имела  $n_D^{20}$  1,4490; выход 6,5 г; фракция III имела  $n_D^{20}$  1,4503; выход 0,6 г (ближе не исследовалась). Фракции I и II были объединены, общий выход 30,5 г (18% на полимер-сырец). Выделенный продукт растворим в этиловом и высших спиртах, а также в серном эфире, бензоле и ацетоне. Из растворов осаждается водой или метанолом.

Найдено %: С 66,29; 66,53; Н 11,27; 11,20  
 $\text{CH}_2=\text{CHOC}_2\text{H}_5$ . Вычислено %: С 66,59; Н 11,18

По элементарному анализу вещество является полимером винилэтилового эфира.

б) Нерастворившийся продукт был обработан в один прием 100 мл этанола. После вакуумирования по-предыдущему получено 12,1 г, или 7,0%, продукта с  $n_D^{20}$  1,4515. Вещество растворимо в тех же растворителях, как и полимер винилэтилового эфира.

Найдено %: С 69,13; 69,06; Н 11,99; 11,77

По элементарному анализу продукт является сополимером винилэтилового — винилгексилового эфиров с соотношением исходных мономеров 2 : 1.

в) Не растворившийся в этаноле полимер-сырец обрабатывался 50 мл смеси, состоящей из гексилового и этилового спиртов (1 : 1). Из вытяжки получено 10,3 г (6,0% на полимер-сырец) продукта с  $n_D^{20}$  1,4528.

Найдено %: С 70,37; 70,16; Н 11,83; 11,99

Данные анализа указывают на сополимер, в котором соотношение исходных мономеров 5 : 4.

г) Полимер-сырец дважды обрабатывался свежими порциями смеси спиртов (этиловый и гексиловый 1 : 1) по 100 мл каждая. Выделенные продукты оказались близкими по коэффициенту преломления (1,4557) и 1,4560) и были объединены. Выход 73,2 г, или 43% от теории;  $n_D^{20}$  1,4558.

Найдено %: С 71,73; 71,59; Н 12,14; 12,18

$\text{CH}_2=\text{CHOC}_2\text{H}_5 + \text{CH}_2=\text{CHOC}_6\text{H}_{13}$ . Вычислено %: С 72; Н 12

д) Остаток полимер-сырца 2 г с  $n_D^{20}$  1,4600, не растворившийся в смеси этанола с гексанолам, полностью растворился в гексиловом спирте и ближе не исследовался.

Общий выход полимеров и сополимеров 128,7 г; что на полимер-сырец составляет 75,4%.

Опыт 2. В колбу загружено 36 г (0,5 г-мол.) винилэтилового эфира и 128 г. (1 г-мол.) винилгексилового эфира (прибор и константы эфиров те же, что и в опыте 1). Для наглядности течение сополимеризации показано в табл. 2.

После вакуумирования, в условиях опыта 1, получено 141,6 г, или 86,8% от теории, вещества с  $n_D^{20}$  1,4605.

а) Полимер-сырец был обработан 100 мл этанола. Растворившийся в этаноле полимер осаждался водой. После отгонки растворителей продукт вакуумировался около часа на кипящей водяной бане. Выход 10,0 г (7% на полимер-сырец);  $n_D^{20}$  1,4518.

Найдено %: С 69,58; 69,35; Н 12,00; 11,82

Сополимер по элементарному анализу, коэффициенту рефракции и растворимости соответствует описанному в опыте 1-б.

б) Не растворившийся в этаноле полимер-сырец обрабатывался 50 мл смеси спиртов (этиловый и гексиловый 1 : 1). Из вытяжки получено 17,2 г, или 12% от теории, продукта с  $n_D^{20}$  1,4525.

Найдено %: С 70,64; 70,52; Н 11,78; 12,02

Сополимер по элементарному анализу близок к описанному в опыте 1-в.

в) Полимер-сырец в два приема был обработан 150 мл растворителя (этанол + гексанол 1 : 1). Из вытяжек получено 37,6 г, или 27% от теории, продукта с  $n_D^{20}$  1,4563. По свойствам он соответствует сополимеру, описанному в опыте 1-г.

г) Полимер-сырец был обработан 75 мл растворителя (опыт «в»). Из вытяжки получено 2,8 г, или 2% от теории, продукта с  $n_D^{20}$  1,4568.

Найдено %: С 71,13; 71,05; Н 11,79; 11,92

Таблица 2

Сополимеризация винилэтилового и винилгексилового эфиров (1 : 2)

Время	$n_D^{20}$ смеси	Температура реакционной смеси в °С	Количество * катализатора в каплях
10 ч. 10 м.	1,4040	21	—
10 ч. 30 м.	1,4040	35	2
10 ч. 45 м.	1,4270	72	—
11 ч. 00 м.	1,4285	67	2
11 ч. 15 м.	1,4377	123	—
11 ч. 30 м.	1,4400	124	2
11 ч. 45 м.	1,4486	148	—
12 ч. 00 м.	1,4490	144	1
12 ч. 15 м.	1,4492	145	—



Таблица 3

Характеристика сополимеров простых виниловых эфиров

Состав сополимеров	Выход в %	$\alpha_D^{20}$	$n_D^{20}$	Абсолютная вязкость 0,1 М раствора при 20° в санти- пуазах	Найдено молярный вес	Степень со- полимери- зации	Найдено		Растворимость
							% С	% Н	
$[\text{CH}_2 = \text{CHOC}_2\text{H}_5 + \text{CH}_2 = \text{CHON}(\text{CH}_3)_2]_n$	52	0,9270	1,4510	0,7867	4295	54	68,45	11,27	Растворим в этиловом и вы- сших спиртах, эфире, бензоле, ацетоне
$[\text{CH}_2 = \text{CHOC}_2\text{H}_5 + \text{CH}_2 = \text{CHOC}_4\text{H}_9]_n$	54	0,9245	1,4530	0,7349	2150	25	70,46	11,99	»
$[\text{CH}_2 = \text{CHOC}_2\text{H}_5 + \text{CH}_2 = \text{CHON}(\text{CH}_3)_2]_n$	48	0,9244	1,4542	0,6885	1691	18	69,86	11,45	»
$[\text{CH}_2 = \text{CHOC}_2\text{H}_5 + \text{CH}_2 = \text{CHOC}_6\text{H}_{13}]_n$	43	0,9233	1,4558	0,8054	3919	39	71,73	12,14	»
$[\text{CH}_2 = \text{CHON}(\text{CH}_3)_2 + \text{CH}_2 = \text{CHOC}_4\text{H}_9]_n$	75	0,9230	1,4545	0,7330	2084	22	70,71	11,21	Растворим в пропиловых и вы- сших спиртах, эфире, бен- золе, ацетоне
$[\text{CH}_2 = \text{CHOC}_4\text{H}_9 + \text{CH}_2 = \text{CHOC}_6\text{H}_{13}]_n$	79	0,9260	1,4590	0,8662	4642	38	73,98	12,44	Растворим в бутиловом и вы- сших спиртах, эфире, бензо- ле, ацетоне
$[\text{CH}_2 = \text{CHOC}_4\text{H}_9 + \text{CH}_2 = \text{CHOC}_6\text{H}_{17}]_n$	76	0,9243	1,4620	0,9595	7034	55	74,44	12,56	»
$[\text{CH}_2 = \text{CHON}(\text{CH}_3)_2 + \text{CH}_2 = \text{CHOC}_6\text{H}_{13}]_n$	50	0,9198	1,4623	0,8341	3262	23	75,59	12,65	Растворим в изоамиловом и высших спиртах, эфире, бен- золе, ацетоне
$[\text{CH}_2 = \text{CHON}(\text{CH}_3)_2 + \text{CH}_2 = \text{CHOC}_6\text{H}_{17}]_n$	51	0,9217	1,4670	0,8464	3482	23	75,86	12,75	»
$[\text{CH}_2 = \text{CHOC}_6\text{H}_{13} + \text{CH}_2 = \text{CHOC}_6\text{H}_{17}]_n$	59	0,9231	1,4657	0,8807	4710	30	76,38	12,90	Растворим в гексилловом и высших спиртах, эфире, бензоле
$[\text{CH}_2 = \text{CHOC}_4\text{H}_9 + \text{CH}_2 = \text{CHOC}_6\text{H}_{11}]_n$	62	0,9316	1,4800	0,8618	4125	36	74,23	11,59	Растворим в бутаноле, эфире, бензоле
$[\text{CH}_2 = \text{CHOC}_4\text{H}_9 + \text{CH}_2 = \text{CHOC}_6\text{H}_5]_n$	49	0,9620	1,5070	0,7312	1661	15	75,99	9,17	»

Данные анализа указывают на сополимер, в котором соотношение исходных мономеров 4 : 5.

д) Не растворившийся в смеси спиртов полимер-сырец полностью растворился в 150 мл гексанола и из раствора был осажден 200 мл этанола. После отгонки растворителей и вакуумирования до постоянного веса выход продукта 46,3 г, или 33 % от теории;  $n_D^{20}$  1,4633. По свойствам продукт соответствует поливинилгексисловому эфиру.

Найдено %: С 74,79; 74,89; Н 12,59; 12,38  
 $n\text{-C}_6\text{H}_{13}\text{OCH}=\text{CH}_2$ . Вычислено %: С 74,94; Н 12,59

Общий выход полимеров и сополимеров 113,9 г (81 % от полимера-сырца).

В табл. 3 охарактеризованы сополимеры, в которых исходные мономеры находятся в соотношении 1 : 1.

Для проверки точности метода селективного разделения полимеров поливинилэтиловый ( $n_D^{20}$  1,4518) и поливинилгексисловый ( $n_D^{20}$  1,4630) эфиры были взяты по 50 г и тщательно смешаны. Однородная смесь вначале обрабатывалась этанолом (3 порции по 80 мл каждая). При этом полимер осаждался водой. Из первой вытяжки получено 24 г поливинилэтилового эфира, из второй — 16,5 г и из третьей — 2 г. Общий выход поливинилэтилового эфира 42 г, или 84 % от теории;  $n_D^{20}$  1,4515—1,4520. Не растворившийся в этаноле полимер полностью растворился в 140 мл гексанола и был пересажжен 250 мл этанола. Выход поливинилгексислового эфира 46 г, или 92 % от теории;  $n_D^{20}$  1,4635.

#### ВЫВОДЫ

1. Изучена ионная сополимеризация винилалкиловых эфиров  $\text{C}_4\text{—C}_{12}$ .
2. Полученные сополимеры охарактеризованы по элементарному составу, растворимости, вязкости и молекулярному весу.

Институт органической химии  
Академии наук СССР

Поступило  
7.VIII.1952

#### ЛИТЕРАТУРА

1. М. Ф. Шостаковский, Монография «Простые виниловые эфиры», Изд. АН СССР, М., 1952.
2. М. Ф. Шостаковский, Б. И. Михантьев, В. А. Серебряникова, Химия и физико-химия высокомолекулярных соединений, Изд. АН СССР, М., 1952 стр. 35.

И. Н. НАЗАРОВ

# О НОМЕНКЛАТУРЕ СИНТЕТИЧЕСКИХ СТЕРОИДНЫХ СОЕДИНЕНИЙ И РОДСТВЕННЫХ ИМ ВЕЩЕСТВ

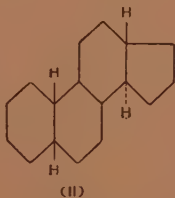
В течение последних семи лет в нашей лаборатории проводятся широкие и систематические исследования в области синтеза стероидных соединений и родственных им веществ. Эти исследования привели к синтезу многочисленных полициклических соединений, принадлежащих к ряду гидрированных производных циклопентанофенантрена, хризена, бензфлюорена и их гетероциклических (сернистых) аналогов. С появлением этих соединений возникла настоятельная необходимость разработать общую систему номенклатуры, которая охватывала бы не только все известные в настоящее время синтетические стероиды, но была бы также пригодной для описания любых новых стероидных соединений и родственных им веществ, которые будут, несомненно, появляться во все возрастающем количестве.

Принятая недавно на Лондонской конференции [1] номенклатура стероидных соединений применима только к природным продуктам и предназначена для описания стероидов какой-либо одной строго определенной пространственной конфигурации. Эта номенклатура совершенно не позволяет описывать отличные от природных синтетические стероидные соединения, с которыми часто приходится иметь дело при осуществлении полного синтеза.

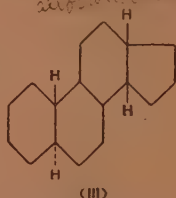
Для описания синтетических стероидных соединений, независимо от их оптической активности и принадлежности к какому-либо ряду природных стероидов, учитывающего лишь пространственное строение стероидного скелета, мы предлагаем следующие восемь названий основных углеводородов, принадлежащих к ряду пергидроциклопентанофенантрена и пергидрохризена:



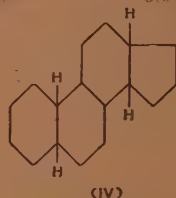
Аллостеран



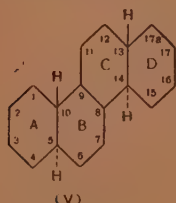
Стеран



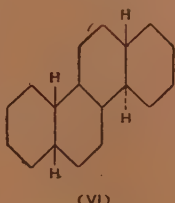
Аллокардостеран  
(аллоизоостеран)



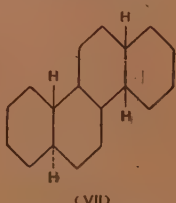
Кардостеран  
(изоостеран)



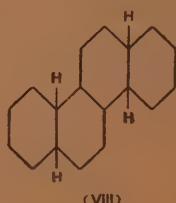
Аллохризан  
(D-гомоаллостеран)



Хризан  
(D-гомостеран)

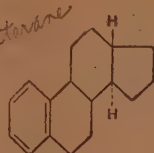


Аллокардохризан  
(D-гомоаллокардостеран)



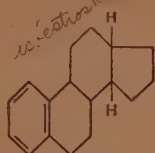
Кардохризан  
(D-гомакардостеран)

Основные стероидные углеводороды, содержащие одно ароматическое кольцо А или два ароматических кольца А и В, лежащие в основе эстрогенных гормонов группы эстрона и эквиленина, получают следующие названия:



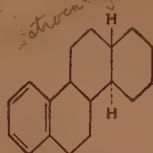
(IX)

Эстростеран

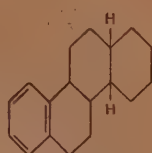


(X)

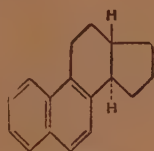
Изоэстростеран



(XI)

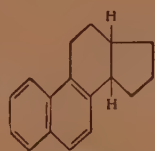
Эстрахризан  
(D-гомоэстростеран)

(XII)

Изоэстрахризан  
(D-гомоизоэстростеран)

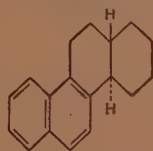
(XIII)

Экдистеран

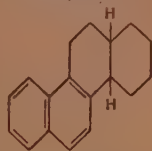


(XIV)

Изоэкдистеран



(XV)

Экдихризан  
(D-гомоэкдистеран)

(XVI)

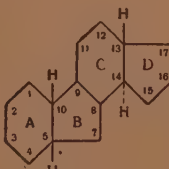
Изоэкдихризан  
(D-гомоизоэкдистеран)

Все изменения в этих основных стероидных углеводородах отмечаются согласно правилам, принятым в номенклатуре стероидных соединений, и поэтому не нуждаются в подробном описании. Для иллюстрации этих изменений мы приводим лишь некоторые примеры.

### Изменения в циклах

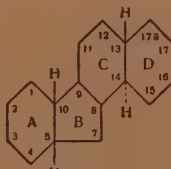
При расширении цикла дополнительно введенный атом гомостероидного соединения сохраняет номер предыдущего атома углерода с буквой «а» [см. формулу (V) и (XVIII)].

В случае сужения цикла изъятый атом углерода в норстероидных соединениях пропускается и все остальные атомы сохраняют свои обычные номера [см. формулы (XVII) и (XVIII)]:



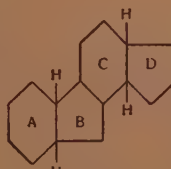
(XVII)

В-Норстеран



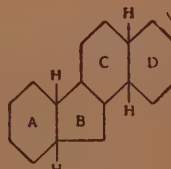
(XVIII)

В-Норхризан



(XIX)

В-Норкардистеран



(XX)

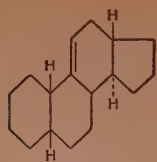
В-Норкардихризан

### Обозначение двойных связей

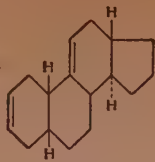
Обозначение двойных связей производится по общему правилу за исключением хризановых углеводов, при введении одной двойной связи, в которые окончание *ен* прибавляется к названию этих углеводов (см. формулы (XXIV) и (XXVI)):

Form. ... 10\*

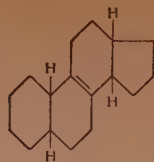




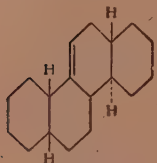
(XXI)  
 $\Delta^5$ -Стерен



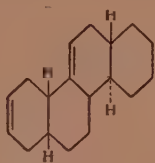
(XXII)  
 $\Delta^{2,9:11}$ -Стерадиген



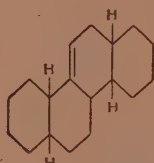
(XXIII)  
 $\Delta^5:3$ -Кардостерен



(XXIV)  
 $\Delta^{9:11}$ -Хризанен



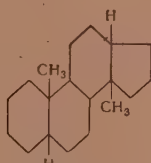
(XXV)  
 $\Delta^{2,9:11}$ -Хризадиген



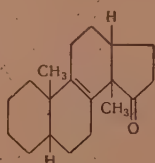
(XXVI)  
 $\Delta^{9:11}$ -Кардохризанен

### Обозначение заместителей и функциональных групп

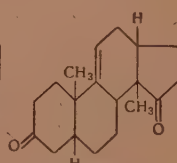
Расположение заместителей обозначается согласно принятому правилу с указанием места заместителя и его пространственного расположения при помощи греческих букв  $\alpha$  и  $\beta$  ( $\alpha$ —транс-,  $\beta$ —цис-расположение).



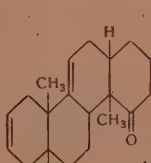
(XXVII)  
10,14-Диметил-кардостеран



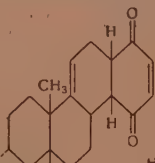
(XXVIII)  
10,14-Диметил- $\Delta^2$ -кардостерен-15-он



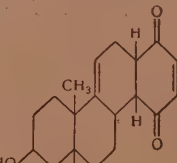
(XXIX)  
10,14-Диметил- $\Delta^2$ -кардостерен-3,15-дион



(XXX)  
10,14-Диметил- $\Delta^{2,9}$ -кардохризадиген-15-он



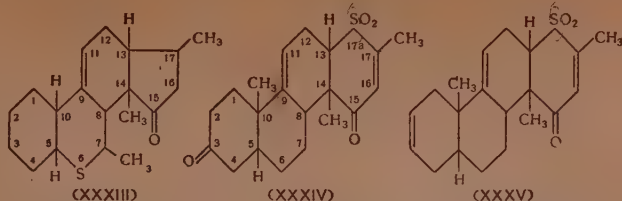
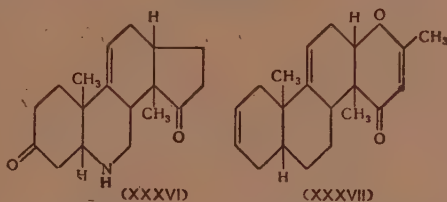
(XXXI)  
10-Метил- $\Delta^{2,9}$ -кардохризадиген-3 $\alpha$ -ол-15,17 $\alpha$ -дион



(XXXII)  
10-Метил- $\Delta^{2,9}$ -кардохризадиген-3 $\beta$ -ол-15,17 $\alpha$ -дион

### Обозначение гетероатомов

В процессе полного синтеза могут получаться соединения, содержащие в стероидном ядре гетероатомы кислорода и азота; для их обозначения принимаются следующие названия: O — окса; S — тиа; SO<sub>2</sub> — сульфа; NH — аза. Гетероатомы включаются в нумерацию стероидного скелета.

7,14,17-Триметил-  
-6-тиа- $\Delta^{3,11}$ -кардо-  
стерен-15-он10,14,17-Триметил-  
-17 $\alpha$ -сульфа- $\Delta^{3,16}$ -  
кардохризидиен-  
-3,15-дион10,14,17-Триметил-17 $\alpha$ -  
сульфа- $\Delta^{2,3,16}$ -кардо-  
хризатриен-15-он10,14-Диметил-6-аза-  
- $\Delta^3$ -кардостерен-  
-3,15-дион10,14,17-Триметил-17 $\alpha$ -  
окса- $\Delta^{2,3,16}$ -кардохрiza-  
триен-15-он

Описанная выше номенклатура будет нами применяться во всех тех случаях, когда полученные стероидные соединения не будут идентифицированы с какими-либо природными продуктами.

### ВЫВОДЫ

Предложена система номенклатуры для синтетических стероидных соединений.

Институт органической химии  
Академии наук СССР

Поступило  
7.X.1952

### ЛИТЕРАТУРА

1. *Helv. Chim. Acta* **34**, 1680 (1951).

*although they study which can  
identified with natural prod.*

И. Н. НАЗАРОВ, Л. И. УХОВА и В. А. РУДЕНКО

# ПРОИЗВОДНЫЕ АЦЕТИЛЕНА

## СООБЩЕНИЕ 151. ГЕТЕРОЦИКЛИЧЕСКИЕ СОЕДИНЕНИЯ XXVII. СИНТЕЗ ПОЛИЦИКЛИЧЕСКИХ $\gamma$ -АМИНОСПИРТОВ И ИХ СЛОЖНЫХ ЭФИРОВ \*

В предыдущей статье [1] нами был описан синтез ряда бициклических и трициклических соединений, содержащих конденсированное ядро 4-пиперидона. Ввиду того что некоторые сложные эфиры 4-пиперидолов обладают высокой физиологической активностью, мы решили синтезировать ряд бициклических и трициклических  $\gamma$ -аминоспиртов и их сложных эфиров.

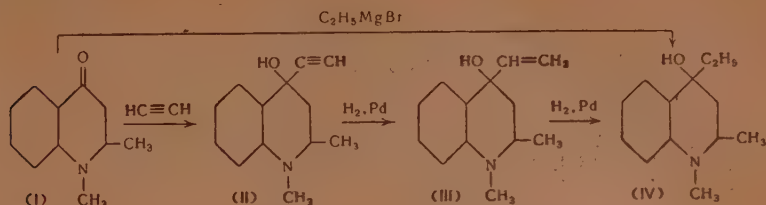
При конденсации 1,2-диметил-4-кетодакагидрохинолина (I) с ацетиленом в растворе сухого эфира, в присутствии порошкообразного едкого кали, был получен 1,2-диметил-4-этинил-4-оксидакагидрохинолин (II) с выходом ~40%. Многочисленные попытки увеличить выход путем изменения температуры и времени реакции не дали лучших результатов. При этом из реакции всегда возвращалась значительная часть непрореагировавшего кетона (I). Этот кетон конденсировался с ацетиленом также и под влиянием калиевого алкоголята диметилбутилкарбинола. Однако и в этом случае значительная часть исходного кетона (I) возвращалась обратно, а выход ацетиленового спирта (II) также не превышал 40%. Трудности, с которыми протекают указанные реакции, были неожиданными, поскольку в нашей лаборатории ранее было показано [2], что конденсация разнообразных 4-пиперидонов (в том числе и 2-метил-4-кетодакагидрохинолина) с ацетиленом в присутствии едкого кали протекает гладко и дает высокие выходы соответствующих ацетиленовых спиртов. Наконец, мы провели конденсацию 1,2-диметил-4-кетодакагидрохинолина (I) с ацетиленидом натрия в жидком аммиаке [3] и при этом получили 1,2-диметил-4-этинил-4-оксидакагидрохинолин (II) с выходом 82%.

Следует отметить, что при конденсации ацетилена с кетоном (I) во всех случаях преобладающим продуктом является кристаллический ацетиленовый спирт (II) с т. пл. 130—131°, который при неполном гидрировании (1 моль водорода) в присутствии Pd-катализатора дает 1,2-диметил-4-винил-4-оксидакагидрохинолин (III) с т. пл. 94—95°, а при исчерпывающем гидрировании присоединяет две молекулы водорода и дает 1,2-диметил-4-этил-4-оксидакагидрохинолин (IV) с т. пл. 147—148°.

При исчерпывающем гидрировании ацетиленового спирта (II), полученного в жидком аммиаке, был выделен, также в ничтожном количестве, второй изомер 1,2-диметил-4-этил-4-оксидакагидрохинолина (IV) с т. пл. 106—106,5°, который образуется в качестве единственного продукта при действии магнийбромэтила на 1,2-диметил-4-кетодакагидрохинолин (I). Итак, при исчерпывающем гидрировании ацетиленового спирта (II) образуется высокоплавкий изомер 1,2-диметил-4-этил-4-оксидакагидрохинолина (IV) с т. пл. 147—148°, тогда как при действии магнийбромэтила на кетон (I) образуется низкоплавкий изомер 1,2-диметил-4-этил-4-окси-

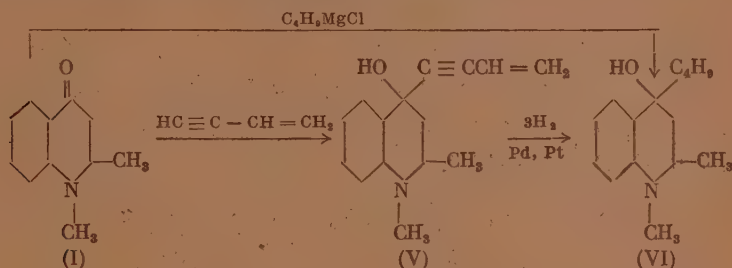
\* Статья печатается свыше установленного объема по решению редколлегии.

декагидрохиолина (IV) с т. пл. 106—106,5°. Подобное явление разной пространственной направленности ацетиленовых и гриньяровских синтезов было ранее отмечено Назаровым и Райгородской также и на других примерах [2].



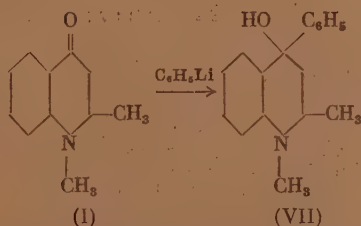
Конденсацией 1,2-диметил-4-кетодакагидрохиолина (I) с винилацетиленом, в присутствии порошкообразного едкого кали, был получен 1,2-диметил-4-винилэтинил-4-оксидекагидрохиолин (V) с выходом 80%, при полном гидрировании которого в присутствии Pd- и Pt-катализаторов получается 1,2-диметил-4-бутил-4-оксидекагидрохиолин (VI) с т. пл. 119—120°.

Взаимодействием 1,2-диметил-4-кетодакагидрохиолина (I) с магнийхлорбутилом был получен второй изомер 1,2-диметил-4-бутил-4-оксидекагидрохиолина (VI) с т. пл. 98—99°. Следовательно, и в этом случае конденсация винилацетилена и магнийхлорбутила с кетоном (I) проходит с различной пространственной избирательностью:



Мы синтезировали также некоторые третичные спирты взаимодействием фениллития с бициклическими и трициклическими соединениями, содержащими конденсированное ядро 4-пиперидона.

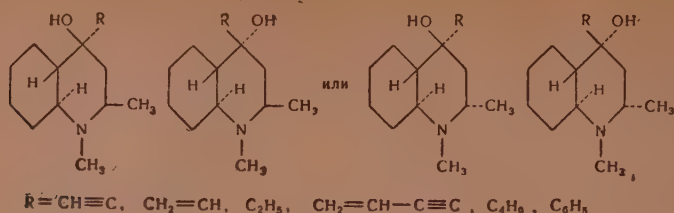
При действии фениллития на 1,2-диметил-4-кетодакагидрохиолин (I) с выходом 70% получается смесь двух кристаллических изомеров 1,2-диметил-4-фенил-4-оксидекагидрохиолина (VII), из которой были выделены низкоплавкий изомер с т. пл. 113—114° и высокоплавкий изомер с т. пл. 167,5—168°:



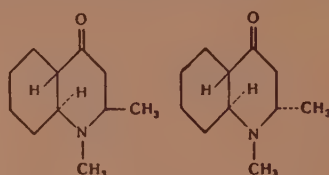
Все описанные выше изомерные спирты (II—VII) должны принадлежать к ряду транс-декагидрохиолина и различие их свойств зависит лишь



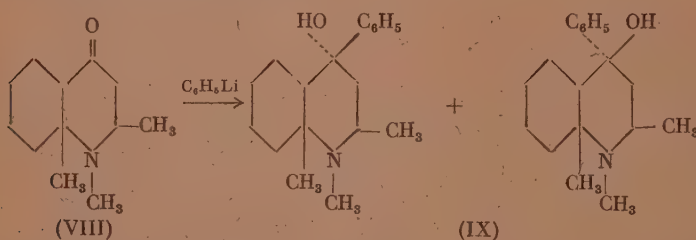
от пространственного расположения заместителей (R и OH) при четвертом атоме углерода декагидрохинолинового ядра:



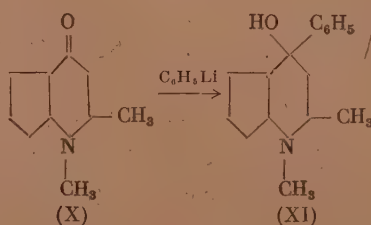
Пространственное расположение метильной группы при втором атоме углерода декагидрохинолинового ядра является, по всей вероятности, в этих спиртах постоянным, так как они получались из индивидуального транс-1,2-диметил-4-кетодакагидрохинолина (I), пространственное строение которого может быть изображено одной из следующих формул:



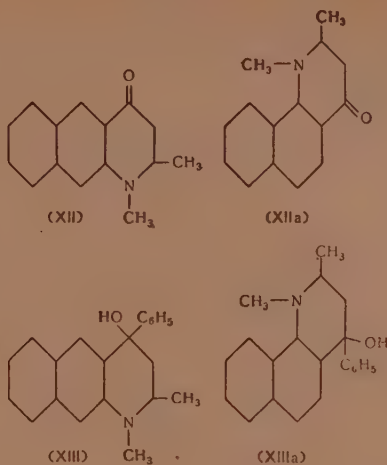
При действии фениллития на 1,2,9-триметил-4-кетодакагидрохинолин (VIII) был получен 1,2,9-триметил-4-фенил-4-оксидекагидрохинолин (IX) с выходом 62%, выделенный также в виде двух стереоизомерных форм с т. пл. 130—132° и 164—165°:



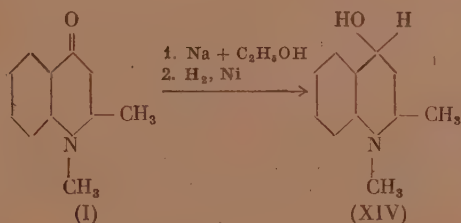
При конденсации фениллития с 1,2-диметил-4-кетопергидро-1-пириндином (X) получается 1,2-диметил-4-фенил-4-оксипергидро-1-пириндин (XI) с выходом 66%, представляющий собой вязкую жидкость, закristаллизовать которую не удалось:



Реакцией фениллития с 1,2-диметил-4-кетопергидро-6,7 (или 7,8)-бензохинолином (XII или XIIa) был получен 1,2-диметил-4-фенил-4-оксипергидро-6,7 (или 7,8)-бензохинолин (XIII или XIIIa):



При восстановлении 1,2-диметил-4-кетодескагидрохинолина металлическим натрием в спирте, а также при каталитическом гидрировании получен в виде смеси стереоизомеров 1,2-диметил-4-оксидескагидрохинолин (XIV):



В последнее время в литературе описан ряд пиперидиновых кетон и сложных эфиров, обладающих сильным обезболивающим действием. Сюда относятся этиловый эфир 1-метил-4-фенил-4-пиперидинкарбоновой кислоты (лидол, долантин, демерол) [4], пропионовые эфиры 1-метил-4-фенил-4-пиперидола [5] и 1,3-диметил-4-фенил-4-пиперидола [6], 1-метил-4-*m*-оксифенил-4-пропионилпиперидин (клирадон) [7] и др. Среди многочисленных сложных эфиров 4-пиперидолов, синтезированных в нашей лаборатории за последние годы [8], некоторые соединения также оказались обладающими очень сильным обезболивающим (анальгетическим или анестетическим) действием. Однако до сих пор в литературе не были описаны сложные эфиры полициклического строения с конденсированным пиперидиновым ядром.

Мы считали интересным синтезировать соединения этого типа с целью выяснения их физиологической активности.

При выполнении поставленной задачи мы столкнулись с рядом трудностей. Так, оказалось, что при действии хлорангидридов кислот на литийалкоголят 1,2-диметил-4-фенил-4-оксидескагидрохинолина (VII) возвращается исходный спирт, не способный к этерификации в указанных условиях. Метод Снасова [9], легко дающий сложные эфиры при взаимо-

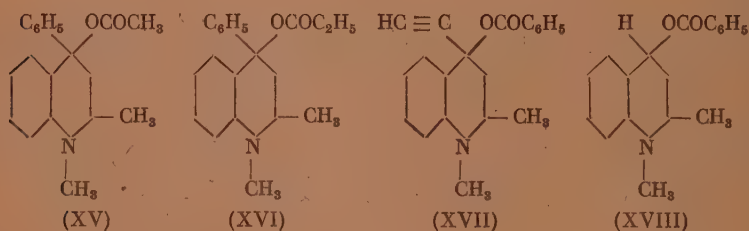
действию аминоспиртов с хлорангидридами кислот, в присутствии металлического магния, также оказался неприменимым к синтезу сложных эфиров третичных фениловых спиртов декагидрохинолинового ряда.

При действии уксусного и пропионового ангидридов на спирт (VII) в присутствии серной кислоты также возвращался исходный спирт и реакция этерификации не имела места. Сложные эфиры обоих изомеров 1,2-диметил-4-фенил-4-оксидакагидрохинолина (VII) были получены действием ангидридов кислот на эти спирты в пиридине при нагревании до 140°. Однако при этом удалось получить лишь ацетаты (XV) и пропионаты (XVI), тогда как все попытки получить бензоаты действием хлористого бензоила в пиридине (и без пиридина) не дали положительных результатов. Во всех опытах возвращался неизмененный исходный спирт (VII).

При нагревании уксусного ангидрида с обоими изомерами 1,2,9-триметил-4-фенил-4-оксидакагидрохинолина (IX) в пиридине при 140—180°, а также в присутствии серной кислоты при 100—120° исходные третичные спирты (IX) возвращались без изменения, что было доказано смешанной пробой плавления хлоргидратов.

Такое различие в поведении 1,2-диметил-4-фенил-4-оксидакагидрохинолина (VII) и 1,2,9-триметил-4-фенил-4-оксидакагидрохинолина (IX) при этерификации, очевидно, объясняется присутствием в последнем ангулярной метильной группы в положении 9, которая создает пространственные затруднения для этерификации гидроксильной группы в положении 4.

Взаимодействием хлористого бензоила с 1,2-диметил-4-этинил-4-оксидакагидрохинолином (II) в пиридине при 100° был получен бензойный эфир (XVII), а при действии хлористого бензоила на 1,2-диметил-4-оксидакагидрохинолин (XIV) был получен бензойный эфир (XVIII):

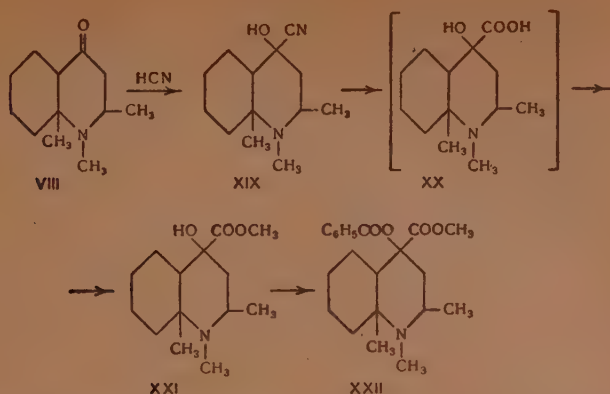


Бензойные эфиры (XVII) и (XVIII) устойчивых кристаллических солей не давали и поэтому не подвергались испытанию.

Физиологические испытания ацетата (XV) и пропионата (XVI) (высокоплавкие изомеры) показали, что оба эти соединения обладают анестетическим действием, выраженным сильнее у пропионового эфира. Однако активность этих соединений слабее применяющихся в медицинской практике препаратов, а токсичность выше.

Действием цианистого калия на 1,2,9-триметил-4-кетодакагидрохинолин (VIII) был получен циангидрин (XIX), при омылении которого образуется соответствующая оксикислота (XX), полученная в виде солянокислой соли.

Этерификацией этой кислоты метиловым спиртом, при пропускании хлористого водорода, получен 1,2,9-триметил-4-карбометоксид-4-оксидакагидрохинолин (XXI) с т. пл. 138—139°. Действием хлористого бензоила на этот оксифир был получен 1,2,9-триметил-4-карбометоксид-4-бензоилоксидакагидрохинолин (XXII) с т. пл. 256—257°:



Бензойный эфир (XXII) по своему строению близок к  $\alpha$ -эйкаину. Поэтому физиологические испытания его представляют интерес.

### ЭКСПЕРИМЕНТАЛЬНАЯ ЧАСТЬ

#### 1,2-Диметил-4-этинил-4-оксидакагидрохинолин (II)

а) В трехгорлую, круглодонную колбу, снабженную механической мешалкой, обратным холодильником, капельной воронкой, термометром и трубкой для пропускания ацетиленов, помещалось 300 мл жидкого аммиака. После охлаждения колбы смесью сухого льда с метанолом ( $-70^\circ$ ) в нее было внесено небольшими кусками 9 г металлического натрия. Когда весь натрий растворился, в колбу в течение 3 час. пропускалось  $\sim 60$  л ацетиленов. Затем при непрерывном перемешивании и пропускании ацетиленов в течение 20 мин. добавлено по каплям 30 г 1,2-диметил-4-кетоксидакагидрохинолина (I), т. кип.  $100-102^\circ$  при 2 мм;  $n_D^{19}$  1,4980 [10], растворенного в равном объеме сухого эфира. После внесения кетона ток ацетиленов пропускался еще  $1\frac{1}{2}$  часа и реакционная смесь была оставлена на ночь. На следующий день в реакционную колбу при  $-15^\circ$  добавлялось 30 г хлористого аммония и 50 мл воды. Продукт многократно экстрагировался эфиром, нейтрализовался углекислотой до просветления эфирного раствора, высушивался сульфатом магния и разгонялся в вакууме. Получено 28,3 г 1,2-диметил-4-этинил-4-оксидакагидрохинолина (II) в виде бесцветной очень вязкой (стеклообразной) жидкости с т. кип.  $129-131^\circ$  при 3 мм. Выход составляет 82%.

Найдено %: С 75,09; 74,93; Н 10,51; 10,50  
 $\text{C}_{13}\text{H}_{21}\text{ON}$ . Вычислено %: С 75,29; Н 10,21

Продукт хорошо растворим в спирте, бензоле, хлороформе, четыреххлористом углероде, диоксане, ацетоне и различных фракциях бензина.

б) Смесь 18,6 г порошкообразного едкого кали и 200 мл сухого эфира в течение одного часа насыщалась ацетиленом при температуре  $-3^\circ$ . Затем в реакционную колбу при непрерывном перемешивании и пропускании ацетиленов по каплям прибавлялось в течение 1 часа 30 г 1,2-диметил-4-кетоксидакагидрохинолина (I), растворенного в 30 мл сухого эфира. После подачи кетона в колбу при температуре  $-3^\circ$  пропускался ток ацетиленов еще в течение  $4\frac{1}{2}$  час. На следующий день реакционная масса обрабатывалась 30 мл воды, продукт тщательно экстрагировался эфиром, нейтрализовался углекислотой до просветления эфирного раствора, высушивался сульфатом магния и разгонялся в вакууме. Получено 27,3 г вязкой бесцветной жидкости с т. кип.  $134-137^\circ$  при 4 мм, которая при разбавлении бензином (т. кип.  $80-100^\circ$ ) частично закристаллизовалась. После двухкратной перекристаллизации из бензина выделено 4 г 1,2-диметил-4-этинил-4-оксидакагидрохинолина (II) в виде бесцветных кристаллов с т. пл.  $130-131^\circ$ :

Найдено %: N 6,77; 6,79  
 $\text{C}_{13}\text{H}_{21}\text{ON}$ . Вычислено %: N 6,75

Пикрат, перекристаллизованный из спирта, плавится при  $188-189^\circ$ .

Некристаллизующийся маточник, после отделения кристаллов ацетиленового спирта (II), перегонялся в вакууме. При перегонке получена фракция I (8 г) с т. кип.  $130-137^\circ$  при 5 мм, представляющая собой смесь исходного кетона (I) и ацетиленового спирта (II). Кроме того, получена фракция II (9 г) с т. кип.  $137-139^\circ$  при 5 мм,



представляющая собой чистый ацетиленовый спирт (II). Общий выход 1,2-диметил-4-этинил-4-оксидакагидрохинолина составил 13 г, или ~40% на взятый кетон (I).

в) 19,5 г металлического калия растворялись в 232 г диметилбутилкарбинола (т. кип. 140—141°), после чего избыток спирта отгонялся в вакууме. Остаток сухого алкоголя разбавлялся абсолютным эфиром до кашеобразной массы (150 мл), которая затем была насыщена ацетиленом в течение 2 час. при температуре —10°. В колбу при непрерывном перемешивании и пропускании ацетилена прибавлялось по каплям 30 г 1,2-диметил-4-оксидакагидрохинолина (I), растворенного в 30 мл абсолютного эфира. После внесения кетона реакционная масса перемешивалась в токе ацетилена еще 4 часа при температуре —10°. На следующий день продукт обрабатывался водой (30 мл), экстрагировался эфиром, нейтрализовался углекислотой до просветления эфирного раствора, высушивался сульфатом магния и разгонялся в вакууме:

Фр. I, т. кип. 103—125° при 2,5 мм — 5,1 г

Фр. II, т. кип. 125—128° при 2,5 мм — 21,5 г

Смолистый остаток 3,0 г

Из фракции II после добавления бензина и трехкратной перекристаллизации получено 6 г кристаллического ацетиленового спирта (II) с т. пл. 130—131°. Некристаллизующийся маточник перегонялся в вакууме. Получено 3 г смеси исходного кетона (I) с ацетиленовым спиртом (II) с т. кип. 120—130° при 3 мм и 8 г вязкой жидкости с т. кип. 130—132° при 3 мм, застывающей в стеклообразную массу и представляющей собой чистый ацетиленовый спирт (II). Общий выход 1,2-диметил-4-этинил-4-оксидакагидрохинолина составляет 14 г, или ~41% на взятый кетон (I).

### 1.2-Диметил-4-винил-4-оксидакагидрохинолин (III)

3 г кристаллического ацетиленового спирта (II) (т. пл. 130—131°) в растворе 20 мл этилового спирта гидрировались в присутствии Pd-катализатора. После поглощения 351 мл водорода (19°, 748,6 мм) гидрирование прервано. Спирт отогнан и вещество перегнано в вакууме. Получено 2,5 г 1,2-диметил-4-винил-4-оксидакагидрохинолина (III) с т. кип. 132—134° при 5 мм, который вскоре закристаллизовался. После трехкратной перекристаллизации из петролейного эфира полученный виниловый спирт (III) плавился при 93,5—95°:

Найдено %: С 74,77; 74,71; Н 11,00; 10,99

$C_{13}H_{23}ON$ . Вычислено %: С 74,92; Н 11,07

### 1,2-Диметил-4-этил-4-оксидакагидрохинолин

а) 0,9 г кристаллического спирта (II) (т. пл. 130—131°) в растворе 10 мл этилового спирта гидрировались в присутствии Pd-катализатора. После поглощения 200 мл водорода гидрирование прекратилось (19°, 744,7 мм). Для исчерпывающего гидрирования тройной связи по теории требуется 217 мл водорода. Катализатор отфильтровывался, спирт отгонялся и выпавшие кристаллы дважды перекристаллизовывались из бензина. Получено 0,7 г 1,2-диметил-4-этил-4-оксидакагидрохинолина (IV) с т. пл. 147—148°:

Найдено %: С 73,73; 73,93; Н 12,01; 11,83

$C_{13}H_{25}ON$ . Вычислено %: С 73,87; Н 11,92

Такой же результат получен и при исчерпывающем гидрировании жидкой фракции ацетиленового спирта (II) с т. кип. 137—139° при 5 мм, описанной выше в опыте б). Полученный изомер предельного спирта (IV) пикрата не дает.

б) В трехгорзую круглодонную колбу вносилось 4,5 г стружек металлического магния, 100 мл абсолютного эфира и по каплям добавлялось 20 г бромистого этила. К полученному магниибромэтилу при перемешивании и охлаждении ледяной водой по каплям прибавлялось 16,5 г 1,2-диметил-4-оксидакагидрохинолина (I), растворенного в равном объеме абсолютного эфира. Реакционная смесь перемешивалась 1 час при комнатной температуре, оставлена на ночь и на следующий день снова перемешивалась 2 часа при кипении эфира. После отгонки эфира и добавления 70 мл абсолютного толуола смесь перемешивалась еще 2½ часа при температуре кипения толуола. Реакционная масса обрабатывалась 15%-ной соляной кислотой (25 мл), толуольный слой отделялся и экстрагировался 15%-ной соляной кислотой (20 мл). Объединенный водный слой насыщался твердой щелочью, выделившееся основание экстрагировалось эфиром, высушивалось сульфатом магния и разгонялось в вакууме. Получено 9 г исходного кетона (I) (т. кип. 108—110° при 5 мм;  $n_D^{20}$  1,4950) и 3,4 г бесцветной жидкости с т. кип. 129—131° при 5 мм, закристаллизовавшейся в приемнике. После дву-

кратной перекристаллизации из бензина выделено 2,9 г второго изомера 1,2-диметил-4-этил-4-оксидакагидрохинолина (IV) с т. пл. 106—106,5°.

Найдено %: С 74,00; 74,10; Н 12,14; 11,91  
 $C_{13}H_{25}ON$ . Вычислено %: С 73,87; Н 11,92

Найдено %: ОН 7,71 (по Чугаеву-Церевитину)  
 $C_{13}H_{24}(OH)N$ . Вычислено %: ОН 8,04

Пикрат после перекристаллизации из спирта плавится при 164,5—166°.

в) 6 г ацетиленового спирта (II), полученного конденсацией в жидком аммиаке (т. кип. 129—131° при 3 мм; см. опыт а)), в растворе 60 мл этилового спирта гидрировался в присутствии Pd-катализатора. Поглощено 1420 мл водорода (20°, 745 мм). Катализатор отфильтровывался, спирт отгонялся и продукт перегонялся в вакууме. Получено 4,7 г бесцветной жидкости с т. кип. 115—116° при 2 мм, закристаллизовавшейся в приемнике. После перекристаллизации из бензина продукт плавился при 90—140°. В результате дробной кристаллизации получено 3,9 г описанного выше изомера 1,2-диметил-4-этил-4-оксидакагидрохинолина (IV) с т. пл. 147—148°. Из маточника после длительного стояния выпало несколько кристаллов второго изомера 1,2-диметил-4-этил-4-оксидакагидрохинолина, которые после промывки бензином и высушивания в вакуум-оксигаторе плавятся при 104—105°. Проба смешения с описанным выше образцом, полученным по Гриньяру, депрессии не дала.

### 1,2-Диметил-4-винилэтил-4-оксидакагидрохинолин (V)

В круглодонную колбу помещалось 14 г порошкообразного едкого кали, 50 мл сухого эфира и при непрерывном перемешивании и охлаждении до —10° прибавлялся небольшими порциями раствор 30 г винилацетилена и 25 г 1,2-диметил-4-кетоксидакагидрохинолина (I) в 30 мл сухого эфира. Реакционная смесь перемешивалась 6½ час. при охлаждении ледяной водой, а на следующий день обрабатывалась 20 мл воды. Продукт экстрагировался эфиром, нейтрализовался углекислотой до просветления эфирного раствора, высушивался сульфатом магния и разгонялся в вакууме в токе азота. Получено 25 г 1,2-диметил-4-винилэтил-4-оксидакагидрохинолина (V) в виде бесцветной, прозрачной жидкости с т. кип. 138—140° при 2 мм, после перегонки затвердевшей в стеклообразную массу.

Найдено %: N 5,79; 5,73  
 $C_{15}H_{23}ON$ . Вычислено %: N 6,00

### 1,2-Диметил-4-бутил-4-оксидакагидрохинолин (VI)

а) 3,3 г свеженерегнанного винилацетиленового спирта (V) (т. кип. 138—140° при 2 мм) гидрировался в растворе 20 мл этилового спирта в присутствии Pd-катализатора. После поглощения 700 мл водорода гидрирование прекратилось. Добавлена порция Pt-катализатора, после чего поглощено еще 325 мл водорода. Теоретически необходимое количество водорода 1054 мл (16°, 746 мм). Катализатор отфильтровывался, спирт отгонялся и продукт перегонялся в вакууме. Получено 2,6 г бесцветной, менее вязкой жидкости с т. кип. 115—117° при 2,5 мм, которая безкислородно закристаллизовалась. После двукратной перекристаллизации из бензина получено 1,05 г кристаллов 1,2-диметил-4-бутил-4-оксидакагидрохинолина (VI) с т. пл. 119—120°, хорошо растворимых в спирте, бензоле, хлороформе, четыреххлористом углероде, ацетоне:

Найдено %: С 75,61; 75,42; Н 12,32; 12,22  
 $C_{15}H_{23}ON$ . Вычислено %: С 75,25; Н 12,21

б) В круглодонную колбу вносились 4 г стружек металлического магния, 50 мл абсолютного эфира и 15,3 г хлористого бутила. К приготовленному реактиву Гриньяра прибавлялось при перемешивании и охлаждении ледяной водой 15 г 1,2-диметил-4-кетоксидакагидрохинолина (I) в растворе 15 мл абсолютного эфира. Перемешивание продолжалось 5 час. при охлаждении и 5 час. при температуре кипения эфира. После охлаждения к реакционной смеси прибавлено 120 мл 15%-ной соляной кислоты, эфирный слой был отделен, экстрагирован разбавленной соляной кислотой и объединенный водный слой насыщенный твердой щелочью. Продукт тщательно экстрагировался эфиром, нейтрализовался углекислотой, высушивался сульфатом магния и разгонялся в вакууме. Получено 7,4 г бесцветной вязкой, медленно кристаллизующейся жидкости с т. кип. 124—128° при 5 мм. Кристаллизация была значительно ускорена добавлением лигроина. После шестикратной перекристаллизации выделено 2,9 г второго изомера

1,2-диметил-4-бутил-4-оксидакагидрохинолина (VI) в виде бесцветных игольчатых кристаллов с т. пл. 98—99°.

Найдено %: C 75,55; 75,45; H 12,25; 12,25  
 $C_{15}H_{29}ON$ . Вычислено %: C 75,25; H 12,21  
 Найдено %: OH 7,29 (по Чугаеву-Церевитинову)  
 $C_{15}H_{28}(OH)N$ . Вычислено %: OH 7,11

### 1,2-Диметил-4-фенил-4-оксидакагидрохинолин (VII)

Все синтезы с литийорганическими соединениями проводились в токе сухого азота. В круглодонную колбу с механической мешалкой, обратным холодильником, капельной воронкой, термометром и трубкой для пропускания азота вносилось 250 мл абсолютного эфира, 7,2 г мелко нарезанного металлического лития и по каплям добавлялось 78 г бромбензола, растворенного в 75 мл абсолютного эфира. По прекращении реакции масса нагревалась при температуре кипения эфира 2 часа. К приготовленному фениллитию при  $-12^\circ$  и непрерывном перемешивании в течение 5 час. по каплям добавлялось 60 г 1,2-диметил-4-кетоксидакагидрохинолина (т. кип. 108—110° при 4 мм,  $n_D^{20}$  1,4975), растворенного в 75 мл абсолютного эфира. Реакционная масса перемешивалась при охлаждении 40 мин., оставлена на ночь, а на следующий день снова перемешивалась 3 часа при температуре кипения эфира и была обработана 100 мл воды. Эфирный слой отделялся, водный слой насыщался щелочью и экстрагировался эфиром. Объединенный эфирный раствор высушивался сульфатом магния, эфир отгонялся, а остаток частично закристаллизовывался. Под водоструйным напором было отжато 40,7 г кристаллов с т. пл. 105—159°, из которых дробной кристаллизацией из ацетона выделено 9,7 высокоплавкого изомера 1,2-диметил-4-фенил-4-оксидакагидрохинолина (VII) в виде хорошо выраженных игл с т. пл. 167,5—168°:

Найдено %: C 78,36; 78,51; H 9,86; 9,69  
 $C_{17}H_{25}ON$ . Вычислено %: C 78,71; H 9,71

Хлоргидрат высокоплавкого изомера 1,2-диметил-4-фенил-4-оксидакагидрохинолина плавится при 279—280° (из смеси спирта с эфиром). Пикрат плавится при 220—224° (из спирта). Кроме 9,7 г высокоплавкого изомера из порции кристаллов 40,7 г было получено также 25 г кристаллической смеси изомеров с т. пл. 128—145°.

Маточник после отделения основной массы кристаллов (40,7 г) был упарен и оставлен стоять при комнатной температуре. По прошествии трех дней продукт закристаллизовался. В результате трехкратной перекристаллизации из лигроиона выделено 13,5 г низкоплавкого изомера 1,2-диметил-4-фенил-4-оксидакагидрохинолина в виде мелкокристаллического порошка с т. пл. 113—114°:

Найдено %: C 78,76; 79,02; H 9,81; 9,78  
 $C_{17}H_{25}ON$ . Вычислено %: C 78,71; H 9,71

Пикрат низкоплавкого изомера 1,2-диметил-4-фенил-4-оксидакагидрохинолина плавится при 191—192° (из спирта).

Таким образом, в описываемом опыте было выделено 9,7 г высокоплавкого изомера 1,2-диметил-4-фенил-4-оксидакагидрохинолина (т.пл. 167,5—168°), 13,5 г низкоплавкого изомера (т. пл. 113—114°) и 25 г кристаллической смеси обоих изомеров (т. пл. 128—145°).

### 1,2,9-Триметил-4-фенил-4-оксидакагидрохинолин (IX)

К фениллитию, приготовленному из 6,5 г металлического лития и 72,3 г бромбензола в 300 мл абсолютного эфира при  $-10^\circ$  и непрерывном перемешивании в течение 3 час., по каплям добавлено 60 г 1,2,9-триметил-4-кетоксидакагидрохинолина (т. кип. 103—104° при 3 мм;  $n_D^{20}$  1,5018) (VIII), растворенного в равном объеме абсолютного эфира. После подачи кетона перемешивание продолжалось 1 час при охлаждении ( $-5$ — $-10^\circ$ ), 1 час при комнатной температуре и на следующий день 4 часа при температуре кипения эфира. Реакционная масса была разложена водой (100 мл), эфирный слой отделен, водный слой насыщен твердой щелочью и экстрагирован эфиром. Объединенный эфирный раствор высушивался сульфатом натрия, эфир отгонялся и продукт перегонялся в вакууме. Получено 52,6 г вязкой жидкости с т. кип. 155—159° при 0,02 мм, которая вскоре закристаллизовалась. Дробной кристаллизацией из ацетона выделено 12,4 г высокоплавкого изомера 1,2,9-триметил-4-фенил-4-оксидакагидрохинолина, кристаллы которого имели форму крупных игл с т. пл. 164—165° (IX):

Найдено %: C 79,23; 79,00; H 9,98; 10,03  
 $C_{18}O_2ON$ . Вычислено %: C 79,07; H 9,95

Хлоргидрат плавится при 255—256° (из спирта).



Было выделено также 3,7 г низкоплавкого изомера 1,2,9-триметил-4-фенил-4-оксидакагидрохинолина в форме мелких призм с т. пл. 130—132° (IX):

Найдено %: 79,30; 79,62; 79,21; Н 9,74; 9,94; 10,13  
 $C_{18}H_{27}ON$ . Вычислено %: С 79,07; Н 9,95

Хлоргидрат плавится при 284—285° (из спирта).

Остальное количество вещества (30,3 г) представляло собой смесь обоих изомеров 1,2,9-триметил-4-фенил-4-оксидакагидрохинолина с т. пл. 138—150°.

### 1,2-Диметил-4-фенил-4-оксипергидро-1-пириндин (XI)

К фениллитию, приготовленному из 1,2 г металлического лития и 13,3 г бромбензола в 100 мл абсолютного эфира при  $-12^\circ$  и перемешивании, добавлялось по каплям в течение 1 часа 9,5 г 1,2-диметил-4-кетопергидро-1-пиридина (т. кип. 85—87° при 2 мм;  $n_D^{20}$  1,4915) (X), растворенного в 10 мл абсолютного эфира. Реакционная смесь перемешивалась 40 мин. при охлаждении, 1 час при комнатной температуре и на следующий день 3 часа при температуре кипения эфира. Продукт был гидролизован водой (20 мл), эфирный слой отделен, водный слой насыщен твердой щелочью и экстрагирован эфиром. Объединенный эфирный раствор высушен сульфатом натрия и после отгонки эфира продукт разогнан в вакууме. Получено 9,2 г 1,2-диметил-4-фенил-4-оксипергидро-1-пиридина (XI) в виде густой жидкости с т. кип. 147—151° при 0,07 мм;  $n_D^{20}$  1,5474;  $d_4^{20}$  1,0613; найдено  $MR$  73,24; вычислено  $MR$  73,55.

Найдено %: С 78,56; 78,42; Н 9,38; 9,46  
 $C_{16}H_{23}ON$ . Вычислено %: С 78,32; Н 9,44

### 1,2-Диметил-4-фенил-4-оксипергидро-6,7 (или 7,8)-бензохинолин (XIII или XIIIa)

В круглодонную колбу к фениллитию, приготовленному из 1,35 г металлического лития и 15 г бромбензола в 100 мл абсолютного эфира, при  $-12^\circ$  и перемешивании, прибавлялось по каплям 9 г 1,2-диметил-4-кетопергидро-6,7- (или 7,8)-бензохинолина (т. кип. 142—143° при 3 мм;  $n_D^{20}$  1,5210) (XII или XIIa) в 15 мл абсолютного эфира. Реакционная масса перемешивалась 1 час при охлаждении и на следующий день 3 часа при температуре кипения эфира, затем охлаждалась и разлагалась 20 мл воды. Эфирный слой отделялся, водный насыщался твердой щелочью, экстрагировался эфиром. Объединенный эфирный раствор высушивался сульфатом натрия, после отгонки эфира продукт разгонялся в вакууме. Получено 9,7 г 1,2-диметил-4-фенил-4-оксипергидро-6,7-(или 7,8)-бензохинолина (XIII или XIIIa) с т. кип. 167—172° при 0,02 мм, застывшего в стеклообразную массу в приемнике.

Найдено %: С 80,34; 80,39; Н 10,08, 9,89  
 $C_{21}H_{21}ON$ . Вычислено %: С 80,45; Н 9,96

### 1,2-Диметил-4-оксидакагидрохинолин (XIV)

а) В круглодонную колбу помещались 24 г 1,2-диметил-4-кетоксидакагидрохинолина (т. кип. 107—108° при 4 мм;  $n_D^{20}$  1,4980) в растворе 470 мл спирта. К раствору при непрерывном перемешивании в течение  $1\frac{1}{2}$  часа добавлялось небольшими кусочками 42 г металлического натрия, после чего реакционная масса перемешивалась еще 2 часа. Продукт подкислялся 20%-ной соляной кислотой (300 мл), выпавший осадок хлористого натрия отфильтровывался, промывался горячим спиртом; фильтрат упаривался в вакууме до объема 150—200 мл; основание выделялось твердой щелочью, экстрагировалось эфиром, высушивалось поташом и после отгонки эфира перегонялось в вакууме. Получено 15,4 г 1,2-диметил-4-оксидакагидрохинолина в виде бесцветной вязкой жидкости со слабым аминным запахом, с т. кип. 114—115,5° при 2 мм.

Найдено %: С 71,82; 72,07; Н 11,74; 11,50  
 $C_{11}H_{21}ON$ . Вычислено %: С 72,07; Н 11,54  
 Найдено %: ОН 9,18 (по Чугаеву-Церевитинову)  
 $C_{11}H_{20}(OH)N$ . Вычислено %: ОН 9,27

б) 7,9 г 1,2-диметил-4-кетоксидакагидрохинолина (т. кип. 107—108° при 3 мм;  $n_D^{20}$  1,4980) в 50 мл спирта загружалось в автоклав и добавлялось 0,3 г Ni-катализатора. Вещество прогидрировалось при 150° и 90 атм в течение 30 мин. Катализатор отфиль-



тровывался, спирт отгонялся, остаток перегонялся в вакууме. Получено 5,7 г 1,2-диметил-4-оксидакагидрохинолина (XIV) в виде бесцветной вязкой жидкости с т. кип. 124—125,5° при 4 мм.

Найдено %: OH 9,03; 8,96 (по Чугаеву-Церевитинову)  
 $C_{11}H_{20}(OH)N$ . Вычислено %: OH 9,27

### Ацетат высокоплавкого изомера 1,2-диметил-4-фенил-4-оксидакагидрохинолина (XV)

а) Раствор 5 г высокоплавкого изомера 1,2-диметил-4-фенил-4-оксидакагидрохинолина (VII) (т. пл. 167,5—168°), 20 мл уксусного ангидрида и 20 мл пиридина нагревался с обратным холодильником 8 час при 140°. Пиридин и избыток уксусного ангидрида отгонялись в вакууме водоструйного насоса. К остатку добавлялось 20 мл насыщенного раствора поташа (до щелочной реакции), продукт экстрагировался эфиром и высушивался сульфатом магния. После отгонки эфира вещество полностью закристаллизовалось. Полученный таким образом ацетат высокоплавкого изомера 1,2-диметил-4-фенил-4-оксидакагидрохинолина после кипячения с активированным углем в бензоле и перекристаллизации из лигроида плавился при 122—123°:

Найдено %: C 75,85; 76,07; H 9,19; 9,17  
 $C_{18}H_{27}O_2N$ . Вычислено %: C 75,74; H 9,02

Действием сухого хлористого водорода на эфирный раствор основания получен хлоридрат ацетата 1,2-диметил-4-фенил-4-оксидакагидрохинолина, который после перекристаллизации из ацетона плавился при 241—242°.

### Ацетат низкоплавкого изомера 1,2-диметил-4-фенил-4-оксидакагидрохинолина (XV)

Раствор 1 г фенилового спирта (т. пл. 112—114°) в 3 мл уксусного ангидрида и 3 мл пиридина нагревался при 140° в течение 5 час. Пиридин и уксусный ангидрид отгонялись, остаток разбавлялся 7 мл воды, насыщался поташом, продукт экстрагировался эфиром, высушивался сульфатом магния и после отгонки эфира жидкий остаток переводился в хлоридрат. Полученный хлоридрат, представлявший собой сначала масло, растираясь под абсолютным эфиром был превращен в порошок. После двукратного пересаживания из абсолютного спирта абсолютным эфиром получено 0,3 г кристаллов хлоридрата с т. пл. 225—225,5°.

Найдено %: C 66,20; 66, 34; H 8,57; 8,46; Cl 10,16; 10,57  
 $C_{19}H_{28}O_2NCl$ . Вычислено %: C 67,53; H 8,36; Cl 10,49

### Пропионат высокоплавкого изомера 1,2-диметил-4-фенил-4-оксидакагидрохинолина (XVI)

а) Раствор 10 г фенилового спирта (VII) (т. пл. 167,5—168°) и 35 мл пропионового ангидрида и 35 мл пиридина нагревался с обратным холодильником при 140—150° 8 час. Пиридин и избыток ангидрида отгонялись, к остатку прибавлено 30 мл насыщенного раствора поташа, затем сухой поташ, продукт экстрагировался эфиром, высушивался сульфатом магния и после отгонки эфира переводился в хлоридрат. Получено 10,5 г сырого хлоридрата. После двукратного пересаживания из смеси абсолютного спирта и эфира выделено 7,5 г хлоридрата пропионата 1,2-диметил-4-фенил-4-оксидакагидрохинолина с т. пл. 230—231°.

Найдено %: C 68,35; 68,44; H 8,63; 8,60; Cl 9,95; 9,92  
 $C_{20}H_{30}O_2NCl$ . Вычислено %: C 68,22; H 8,59; Cl 10,08

б) Раствор 1,4 г фенилового спирта (VII) (т. пл. 165—166,5°) в 15 мл пропионового ангидрида с изнелой серной кислоты нагревался 4 часа при 100°. Пропионовый ангидрид отгонялся, остаток разбавлялся 2 мл воды, насыщался содой; основание экстрагировалось эфиром, высушивалось сульфатом магния и после отгонки эфира перегонялось в вакууме. Получено 0,8 г вязкой желтой жидкости с т. кип. 140° при 0,02 мм, закристаллизовавшейся при растирании. После двукратной перекристаллизации из лигроида получено 0,6 г кристаллов с т. пл. 165—166,5°. Смешанная проба с пещодным фениловым спиртом депресси температуры плавления не дала.

### Пропионат низкоплавкого изомера 1,2-диметил-4-фенил-4-оксидакагидрохинолина (XVI)

Раствор 6,8 г фенолового спирта (VII) (т. пл. 113—115°) в 21 мл пропионового ангидрида и 16 мл пиридина нагревался 9 час. при 145—150°. Избыток пропионового ангидрида и пиридин отгонялись в вакууме водоструйного насоса; остаток разбавлялся 20 мл воды, насыщался поташом до кашецеобразной массы, основание тщательно экстрагировалось эфиром, высушивалось сульфатом магния и после отгонки перешло в хлоридрат. Образовавшийся маслообразный хлоридрат растворялся в минимальном количестве абсолютного спирта и к раствору добавлялся абсолютный эфир до помутнения. После продолжительного стояния выпали кристаллы хлоридрата низкоплавкого изомера пропионата 1,2-диметил-4-фенил-4-оксидакагидрохинолина с т. пл. 195—196° в количестве 1,3 г:

Найдено %: C 68,13; 68,17; H 8,63; 8,54  
 $C_{20}H_{30}O_2NCl$ . Вычислено %: C 68,22; H 8,59

### Бензойный эфир 1,2-диметил-4-этинил-4-оксидакагидрохинолина (XVII)

Раствор 7 г ацетиленового спирта (II) (т. кип. 129—131° при 3 мм) в 35 мл пиридина и 16 мл хлористого бензоила нагревался на кипящей водяной бане с обратным холодильником 4 часа. Избыток хлористого бензоила и пиридин отгонялись, к остатку добавлялся эфир; кристаллы не появились. Остаток растворялся в 30 мл воды, основание осторожно, при охлаждении, выделялось содой, экстрагировалось эфиром, нейтрализовалось углекислотой, высушивалось сульфатом магния. Остаток после отгонки эфира представлял темную смолу, в которой находились кристаллы. Последние извлечены и перекристаллизованы из бензола. Получено 0,39 г бензойного эфира 1,2-диметил-4-этинил-4-оксидакагидрохинолина с т. пл. 174—175°.

Найдено %: C 76,87; 76,82; H 8,32; 8,29  
 $C_{20}H_{26}O_2N$ . Вычислено %: C 77,07; H 8,09

Остальная масса представляла собой неперегоняющуюся смолу. Хлоридрат бензоата 1,2-диметил-4-этинил-4-оксидакагидрохинолина в кристаллическом состоянии получить не удалось.

### Бензойный эфир 1,2-диметил-4-оксидакагидрохинолина (XVIII)

Раствор 4 г 1,2-диметил-4-оксидакагидрохинолина (XIV) (т. кип. 124—125,5° при 4 мм) в 10 мл хлористого бензоила насыщался газообразным хлористым водородом и нагревался при 100° в течение 5 час. Избыток хлористого бензоила отгонялся в вакууме водоструйного насоса на кипящей водяной бане. Остаток экстрагировался эфиром, после чего к нему было добавлено 12 мл воды и поташ. Основание экстрагировалось эфиром, высушивалось сульфатом магния и после отгонки эфира перегонялось. Получено 2,8 г бензойного эфира 1,2-диметил-4-оксидакагидрохинолина в виде очень вязкой жидкости с т. кип. 154—156° при 2 мм.

Найдено %: C 74,83; 74,67; H 8,31; 8,21  
 $C_{18}H_{22}O_2N$ . Вычислено %: C 75,22; H 8,75

Хлоридрат бензоата 1,2-диметил-4-оксидакагидрохинолина в кристаллическом виде получить не удалось.

### 1,2,9-Триметил-4-циан-4-оксидакагидрохинолин (XIX)

а) К 10 г 1,2,9-триметил-4-кетоксидакагидрохинолина (VIII) (т. кип. 103—104° при 3 мм;  $n_D^{20}$  1,5020) прибавлялось 12 мл соляной кислоты (1 : 1) и по охлаждению до 0° при перемешивании прибавлялось 4 г цианистого калия в 6 мл воды. Среда становится слабощелочной. Через несколько минут появились кристаллы. Реакционная масса перемешивалась еще 2 часа при комнатной температуре. Кристаллы экстрагировались эфиром, эфирный раствор высушивался сульфатом магния. Эфир отгонялся. Остаток, представлявший густое масло, вскоре частично закристаллизовался. Получено 1,6 г кристаллов с т. пл. 102—107°. После перекристаллизации из ацетона т. пл. 118—120°. Маточник перегонялся, получено 4,9 г исходного пиперидона с т. кип. 102—105° при 3 мм;  $n_D^{23}$  1,5000.

Анализ кристаллов с т. пл. 118—120°  
 Найдено %: N 12,60; 12,54  
 $C_{13}H_{22}ON_2$ . Вычислено %: N 12,60

б) К 10 г 1,2,9-триметил-4-кетоксидакагидрохинолина (VIII) (т. кип. 103—104° при 3 мм;  $n_D^{20}$  1,5020) прибавлялось 16 мл соляной кислоты (1 : 1). К раствору при 0° и

перемешивании прибавлялось 4 г цианистого калия. Перемешивание продолжалось 1½ часа. Реакция среды кислая. В колбу добавлялся раствор поташа до нейтрализации, затем сухой поташ. Продукт экстрагировался эфиром, высушивался сульфатом натрия. Эфир отгонялся, остаток частично закристаллизовался, выделено 3,2 г кристаллов циангидрида с т. пл. 102—107°. Из маточника выделено еще 0,3 г кристаллов с т. пл. 102—107°. После перекристаллизации из ацетона вещество плавилось при 118—120°.

### 1,2,9-Триметил-4-окси-4-карбометоксидекагидрохинолин (XXI)

К 3 г циангидрина добавлено 15 мл концентрированной соляной кислоты. Раствор нагревался на кипящей водяной бане 10 час. Соляная кислота упарена в фарфоровой чашке на водяной бане. К сухому остатку прибавлялся абсолютный спирт. Осадок хлористого аммония отфильтрован. Спирт был отогнан, в остатке хлоргидрат 1,2,9-триметил-4-окси-4-карбоновой кислоты (XX) в виде вязкой жидкости.

К хлоргидрату продукта омыления (XX) добавлено 20 мл абсолютного метилового спирта и при температуре кипения спирта в колбу в течение 2 час. пропускался сухой хлористый водород. Метанол и хлористый водород отгонялись в вакууме. К остатку, представлявшему собой густую темную жидкость, добавлялось 10 мл воды и поташ. Основание экстрагировано эфиром, высушено сернистым натрием и после отгонки эфира получено 1,6 г кристаллического 1,2,9-триметил-4-окси-4-карбометокси-4-гидрохинолина (XXI), который после двукратной перекристаллизации из ацетона плавился при 138—139°:

Найдено %: С 65,76; 65,56; Н 9,93; 9,82  
 $C_{14}H_{22}O_4N$ . Вычислено %: С 65,84; Н 9,86

### 1,2,9-Триметил-4-карбометокси-4-бензоилокси-4-гидрохинолин (XXII)

К 1 г оксиэфира (XXI) прибавлено 5 мл хлористого бензоила. Реакция велась на кипящей водяной бане 5 час. и 1 час при 130—140°. Хлористый бензоил отгонялся в вакууме водоструйного насоса на кипящей водяной бане. К темному, вязкому остатку прибавлялось 10 мл воды. Остатки хлористого бензоила экстрагировались эфиром. Основание выделено поташом и экстрагировано эфиром. Эфирный раствор высушивался сульфатом натрия. Эфир отгонялся, остаток закристаллизовался, после перекристаллизации из ацетона получено 0,15 г вещества с т. пл. 256—257°:

Найдено %: С 69,14; 69,15; Н 7,95; 8,07  
 $C_{21}H_{28}O_4N$ . Вычислено %: С 70,19; Н 8,07

### ВЫВОДЫ

1. Синтезированы разнообразные спирты ряда декагидрохинолина, пергидро-1-пириндина и пергидробензохинолина.
2. Получено шесть сложных эфиров, относящихся к декагидрохинолиновому ряду.
3. Синтезирован 1, 2, 9-триметил-4-циан-4-окси-4-гидрохинолин, отвечающая ему оксикислота и ее эфиры.

Институт органической химии  
 Академии наук СССР

Поступило  
 26. IV.1952

### ЛИТЕРАТУРА

1. И. Н. Назаров, Л. И. Ухова, В. А. Руденко, Изв. АН СССР, ОХН, № 3, 498 (1953).
2. И. Н. Назаров, В. Я. Райгородская, Изв. АН СССР, ОХН, № 6, 631 (1948).
3. K. Campbell и др., J. Am. Chem. Soc. 60, 2882 (1938); E. R. Jones, F. Sondheimer, J. Chem. Soc. 615 (1949); J. Heilbron, E. R. Jones и др., J. Chem. Soc. 2028 (1949); G. W. Cheeseman, J. Heilbron и др., J. Chem. Soc. 1516 (1949); W. Oroshnik, A. D. Mebane, J. Am. Chem. Soc. 71, 2062 (1949).
4. O. Eisleb, Ber. 74, 1433 (1941); репр. пат. 695216 (С. 1941, 1, 927).
5. K. Jensen, T. Lundquist, E. Rekling и др., Dansk Tids. Farm. 17, 173 (1943) (С. 1944, 1, 297); Датск. пат. 60592 [С. А. 40,4086 (1946)].
6. A. Ziering, J. Lee, J. Org. Chem. 12, 911 (1947).
7. H. Kägi, K. Miescher, Helv. Chim. Acta 32, 2489 (1949).
8. И. Н. Назаров, В. Я. Райгородская, В. А. Руденко, Изв. АН СССР, ОХН, № 5, 504 (1949).
9. A. Spassow, Org. Synth. 20, 21 (1940).
10. И. Н. Назаров, В. А. Руденко, Изв. АН СССР, ОХН, № 6, 610 (1948).



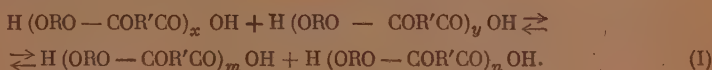
С. Р. РАФИКОВ, В. В. КОРШАК, Г. Н. ЧЕЛНОВА

# ИЗ ОБЛАСТИ ВЫСОКОМОЛЕКУЛЯРНЫХ СОЕДИНЕНИЙ

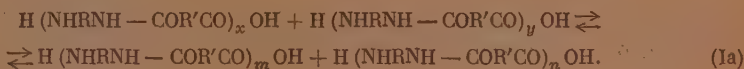
## СООБЩЕНИЕ 55. О ПРИМЕНЕНИИ РЕАКЦИЙ МЕЖДУЦЕПНОГО ОБМЕНА В ПРОЦЕССАХ ЛИНЕЙНОЙ ПОЛИКОНДЕНСАЦИИ

В ряде предыдущих работ нашей лаборатории [1] было показано, что реакция линейной поликонденсации является весьма сложным равновесным процессом, включающим как реакции синтеза, так и реакции деструкции. Нам было также установлено на примере полиэфиров [2] и полиамидов [3], что реакция линейной поликонденсации приводит к образованию продуктов, отличающихся сравнительно низкой степенью полидисперсности, противоположность тому, что предусматривалось механическими теориями Флори [4] и Шульца [5]. Главной причиной выравнивания величины цепей образующегося полимера являются обменные реакции между расщепляемыми цепями полимера — реакции междуцепного обмена, которые заключаются во взаимодействии друг с другом цепей различной длины как за счет активных концевых групп, так и за счет связей между отдельными структурными звеньями макромолекул. В общем виде эти два типа реакций могут быть изображены следующими схемами:

Для полиэфиров.



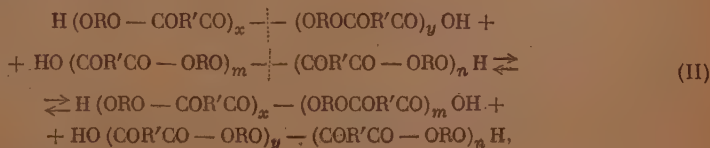
Для полиамидов



где  $m + n = x + y$ .

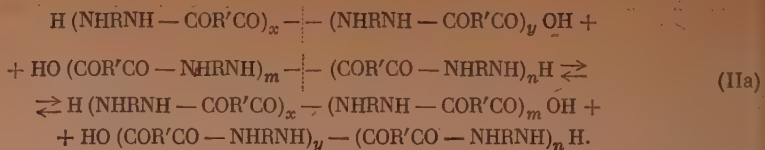
Реакции, изображенные на схемах (I) и (Ia), протекают для данных классов соединений по механизму ацидолиза, алкоголиза и аминолиза за счет взаимодействия одной из концевых групп реагирующих молекул со сложноэфирной, амидной и т. п. связью другой молекулы.

Однако, как это было показано на ряде примеров, реакция междуцепного обмена может протекать также по механизму перэтерификации, переамидирования и т. д. за счет взаимодействия сложноэфирных, амидных и т. п. связей одной молекулы с такими же связями другой молекулы, как это показано на схемах (II) и (IIa):



где  $x + y \neq x + m$ .

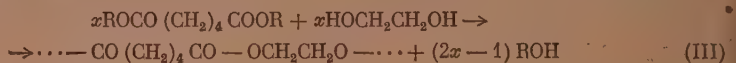




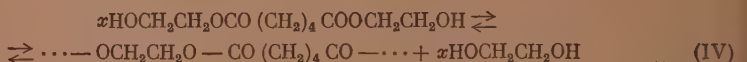
В ряде предыдущих работ было показано, что ацидолиз, аминолиз и алкоголиз приводят к деструкции полиамидов и полиэфиров благодаря разрыву сложноэфирных и амидных связей под влиянием свободных карбоксильных [6, 7, 8], amino-[8] или гидроксильных групп [9], а также сложноэфирных связей других молекул [10]. Кинетика этих обменных реакций на примере низкомолекулярных эфиров, спиртов и кислот была изучена весьма подробно [11].

Целью данной работы явилось экспериментальное доказательство изображенных выше схем реакций междупептидного обмена на таких примерах, в которых алкоголиз, ацидолиз и аминолиз должны привести не к деструкции, а к синтезу полиэфиров и полиамидов с вполне определенной степенью гетерогенности, соответствующей поликонденсационному равновесию.

Синтез полиэфиров при помощи реакции алкоголиза нами изучался на нескольких примерах. Так, оказалось, что образование полиэтиленадипината протекает успешно при взаимодействии этиленгликоля с диалкильными эфирами адипиновой кислоты (дибутиловым и диэтиловым):



Эта реакция идет с большей скоростью в присутствии кислых и щелочных катализаторов, но протекает с заметной скоростью и в их отсутствие. Нами был получен также полиэфир указанного типа при длительном нагревании дигликолевого эфира адипиновой кислоты:

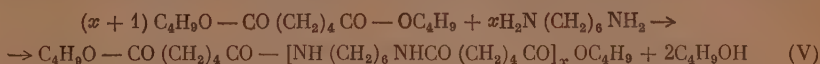


Взаимодействие цепей полиэфира между собой было проверено нами также путем изучения фракционного состава полиэфиров, полученных различными методами. Один из них (образец № 30) получался нагреванием адипиновой кислоты с этиленгликолем при обычных условиях поликонденсации. Другой образец № 31 был получен в результате длительного нагревания (42 час.) узкой фракции полиэфира № 30 с молекулярным весом 1100.

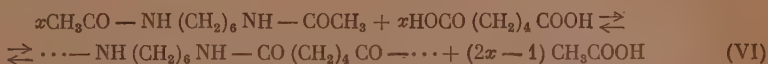
Оба образца полиэфира были разделены на узкие фракции методом дробного осаждения [12]. На фигуре показаны кривые распределения полиэфира № 30 и 31 по молекулярному весу. Как видно из фигуры, кривые распределения обоих образцов сходны между собой, несмотря на то, что образец № 30 получен поликонденсацией исходных веществ, а образец № 31 — в результате междупептидного обмена внутри узкой фракции полиэфира, которая условно обозначена на фигуре пунктирными линиями. Некоторый сдвиг максимума объясняется частичным повышением степени завершенности реакции. Следовательно, реакция междупептидного обмена приводит к образованию поликонденсата, степень полидисперсности которой соответствует равновесному состоянию.

Алкоголиз цепей амидов под влиянием гидроксильных групп в отсутствие катализаторов не происходит. Это подтверждается тем, что при длительном нагревании диамида адипиновой кислоты с этиленгликолем в условиях поликонденсации образование полиэфиров не наблюдается. На-

оборот, аминолиз сложноэфирной связи протекает легко и приводит к образованию полиамидов. Этот факт был нами установлен при изучении взаимодействия дибутиладипината с гексаметилендиамином. При нагревании гексаметилендиамина с избытком дибутиладипината происходит образование полиамидов, на концах цепи которых находятся бутокси-группы:



Синтез полиамидов за счет ацидолиза амидных связей протекает гладко в отсутствие катализаторов. Так, при нагревании N,N'-диацетилгексаметилендиамина с адипиновой кислотой в условиях поликонденсации происходит образование полигексаметиленадипамида с отщеплением уксусной кислоты:



Междупепной обмен за счет реакции переамидирования (схема IIa) протекает быстро лишь в присутствии катализатора. Нами было найдено, что диэтиловый эфир адипиновой кислоты не реагирует с N,N'-диацетилгексаметилендиамином в обычных условиях реакции поликонденсации при температуре 200—210°, а в присутствии водного раствора *p*-толуолсульфокислоты в этих же условиях происходит взаимодействие с образованием полиамида и с отщеплением этилацетата.

## 1 ЭКСПЕРИМЕНТАЛЬНАЯ ЧАСТЬ

### Синтез дигликолевого эфира адипиновой кислоты

7,2 г (0,05 мол.) адипиновой кислоты смешаны с 17,4 г (0,28 мол.) этиленгликоля и смесь нагревалась в условиях реакции поликонденсации 9 час. при 180°. Через известные промежутки времени брались пробы, в которых определялись карбоксильные группы. Реакция прекращена, когда вступили в реакцию 99,5% карбоксильных групп. Отогналось 3,4 г смеси воды с гликолем. Далее из реакционной колбы при 150° и остаточном давлении 2 мм отогналось 8,0 г дистиллата. Общее количество отогнанного дистиллата — 11,4 г, из которых 1,8 г воды и 9,6 г непрореагировавшего этиленгликоля с т. кип. 195—196°. Остаток в колбе — вязкая жидкость 11,5 г, не кипит в вакууме (2 мм) при нагревании до 250°. Плохо растворима в бензоле, хорошо — в спирте.

10 г продукта растворены в 30 мл спирта, раствор разбавлен 100 мл воды. Наверх всплывает маслянистый слой полиэфира, который слит и при стоянии застывает в мазеобразный белый продукт с т. пл. 26—29° (1,1 г). Водно-спиртовой раствор упаривался до постоянного веса в вакууме при 10 мм и 56°.

Найдено %: Н 7,35; 7,40; С 51,61; 51,68;  
C<sub>10</sub>H<sub>18</sub>O<sub>6</sub>. Вычислено %: Н 7,73; С 51,27  
Найдено кислотное число 1,5

### Определение гидроксильных групп по Верлею [13]

В глухом опыте на титрование 20 мл ацетилирующей смеси пошло 35,2 мл 0,1 *N* щелочи (*K*<sub>щ</sub>=1,05). На титрование 0,1692 г продукта пошло 22,26 мл щелочи. На титрование 0,1748 г продукта пошло 21,0 мл щелочи, что соответствует числовому молекулярному весу 226 и 230 соответственно.

Найдено: *M* 230  
C<sub>10</sub>H<sub>18</sub>O<sub>6</sub>. Вычислено: *M* 232

Таким образом, по элементарному анализу и молекулярному весу полученный продукт соответствует дигликолевому эфиру адипиновой кислоты.

### Реакция алкоголиза сложных эфиров

**Синтез полиэфира из дигликолевого эфира адипиновой кислоты.** 7 г дигликолевого эфира нагревались в условиях поликонденсации в течение 4 час. при 180° и 10—12 мм. В процессе нагревания медленно отгоняется тяжелая жидкость, которая оказалась этиленгликолем. Количество отгона — 1,7 г. Остаток застывает в белую твердую массу с т. пл. 38—40°. Вязкость раствора в бензоле 8,6 г/л;  $\eta_{\text{уд}}$  0,084;  $[\eta]$  0,0097;  $M$  1800.

**Реакция взаимодействия диэтилового и дибутилового эфиров адипиновой кислоты с этиленгликолем.** Эквимолекулярные количества диалкиладипината и этиленгликоля нагревались в условиях реакции поликонденсации в присутствии катализаторов или без них.

В качестве катализаторов применялись *p*-толуолсульфокислота или этилат натрия, взятые в количестве 1% от суммарного веса исходных веществ. Количество выделяющегося при реакции спирта определялось путем последовательного улавливания в градуированном приемнике и в трубках со свежепрокаленным хлористым кальцием. Потери спирта для данного прибора по результатам проверки на чистом спирте составляют 0,05—0,06 г. Результаты опытов приведены в табл. 1.

Таблица 1

Синтез полиэфиров из диалкиладипинатов и этиленгликоля

№ опыта	Исходные вещества		Условия реакции		Степень завершения реакции	Молекулярный вес*	Примечание
	Количество этиленгликоля в г	Количество эфира в г	температура в °С	время в час			
1	5,0	Диэтиладипинат 16,2	160—90	5	0,32	460	Без катализатора
2	3,25	» 10,6	160—90	5	0,63	900	1% <i>p</i> -толуолсульфокислоты
3	3,1	» 10,1	170—95	7	0,73	1260	1% этилата натрия
4	3,1	» 10,1	160—95	6	0,73	1250	То же
5	3,1	Дибутиладипинат 12,9	180—200	6	0,50	700	» »

\* Молекулярный вес по вязкости определялся для всех образцов после промывки водой, а затем этиловым эфиром и высушивания до постоянного веса. Производилось измерение вязкости бензольных растворов.

### Аминолиз сложных эфиров

**Реакция взаимодействия дибутиладипината с гексаметилендиамином.** 4,6 дибутиладипината (0,01 г-мол. + 75% избытка) и 1,16 г гексаметилендиамина (0,01 г-мол.) нагревались в колбе Кляйзена в течение 3 час. при температуре бани 225—230°. Реакция начинается при 180° и практически отгонка бутилового спирта прекращается после 3 час. Температура за первый час повышалась до 225°. Отгон (1 г) состоит из бутилового спирта

с содержанием некоторого количества свободного основания, которое определялось титрованием серной кислотой в присутствии метилоранжа. Расход 0,1 *N* серной кислоты — 0,6 мл/г. Количество диамина в отгоне 0,007 г, что составляет 0,6% от взятого диамина.

Продукт реакции — белая аморфная масса с т. пл. 190—200°; не растворим в воде и эфире. При кипячении с абсолютным метанолом растворяется ~40% общей массы. Остаток растворим только в фенолах и муравьиной кислоте и высаживается из них, соответственно, спиртом и водой; т. пл. 205—207°.

	Найдено	%: N 9,04; 8,89
$C_{50}H_{92}O_{10}N_6$	Вычислено	%: N 8,98;
	Найдено	%: H 10,31; 10,22; C 63,95; 63,93
$C_{50}H_{92}O_{10}N_6$	Вычислено	%: H 9,92; C 64,05

Молекулярный вес по элементарному составу 936. Молекулярный вес, определенный по вязкости раствора в *m*-крезоле, 1000. Таким образом, по элементарному составу продукт реакции соответствует полиамиду, содержащему 3 остатка гексаметилендиамина, 4 остатка адипиновой кислоты и 2 бутоксигруппы, т. е. полиамиду со степенью поликонденсации 7.

Из спиртового экстракта продукта реакции при охлаждении выпадает белый аморфный порошок, который после перекристаллизации из 95%-ного спирта плавится при 108—112°. Многократная перекристаллизация из спирта на температуру плавления не влияет.

Средний молекулярный вес по формуле 585. Молекулярный вес, определенный по вязкости раствора в *m*-крезоле, 630.

### Ацидолиз амидов

**Взаимодействие *N,N'*-диацетилгексаметилендиамина с адипиновой кислотой.** 4 г (0,02 мол.) *N,N'*-диацетилгексаметилендиамина с т. пл. 124—125° и 2,93 г (0,02 мол.) адипиновой кислоты нагревались в колбе Кляйзена в атмосфере сухого и очищенного от кислорода азота в течение 2 час. при 180—200° и 2 часа при 210—215°. В процессе реакции отгонялось 0,25 г уксусной кислоты. Остаток в колбе быстро застывает в белую массу с т. пл. 145—147°. После измельчения и многократной промывки водой и высушивания белый порошок плавится при 242—245°. Количество 4,6 г. Смешанная проба с полигексаметиленадипамидом плавится при 243—246°. Удельная вязкость раствора при концентрации 7,2 г/л 0,16; молекулярный вес 2600.

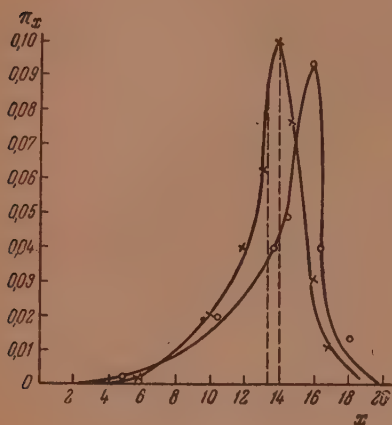
**Реакция *N,N'*-диацетилгексаметилендиамина с диэтиладипинатом.** 1. 3,4 г *N,N'*-диацетилгексаметилендиамина с т. пл. 124—125° нагревались в токе азота с 3,5 г диэтиладипината с т. пл. 102—104°/3 мм и кислотным числом 0,004 в течение 4 час. при 200—210°. Происходит частичное потемнение реакционной смеси. В приемнике для отгоняющейся жидкости ничего не конденсируется, но чувствуется запах уксусной кислоты. Убыль веса реакционной смеси 0,1 г. Продукт плавится при 110—116°; после перекристаллизации из сухого бензола выделено 3,1 г белого кристаллического вещества с т. пл. 124—125°. Смешанная проба с исходным диацетилгексаметилендиаминном плавится при 124—125°.

2. Опыт повторен с тем изменением, что перед нагреванием в реакционную колбу добавлен раствор 0,1 г *p*-толуолсульфокислоты в 1 мл воды. В процессе реакции отогналось 1,4 г жидкости с запахом этилацетата, которая, однако, не расслаивалась от воды. Остаток в колбе — твердый белый продукт с т. пл. 140—150°. После многократной промывки водой выделено 3,5 г белого порошка с т. пл. 244—247°, который оказался полиамидом, но ближе не исследовался.

**Реакция алкоголиза амидов.** 14,4 г (0,1 мол.) высушенного до постоянного веса диамида адипиновой кислоты с т. пл. 220° помещались в кругло-



донную колбу, добавлялись 31 г тщательно высушенного этиленгликоля. Смесь нагревалась с обратным холодильником в течение 3 час. при 200°. Затем охлаждалась и добавлялось 50 мл абсолютного спирта. Выпавший твердый осадок отделен, промыт на фильтре абсолютным спиртом и высушен до постоянного веса. Количество 14,1 г; т. пл. 219—220°. Смешанная проба с исходным диамидом плавится при 219—220°.



### Синтез полиэфира № 30

58,0 г адипиновой кислоты и 24,8 г этиленгликоля (1% избытка против эквимолекулярного количества) нагревались в токе сухого азота в течение 6 час. 20 мин. при 160° и 1 час. 30 мин. при 180°. В процессе реакции отогналось 12,5 г воды. Остаток в колбе — белое твердое вещество с т. пл. 40—41°; хорошо растворяется в бензоле, хлороформе и диоксане. Количество 70 г. Степень завершенности реакции по количеству выделившейся воды  $p = 0,87$ . Молекулярный вес по воде  $M_w = 770$ . Молеку-

лярный вес криоскопическим методом в бензоле  $M_w = 730$ . Удельная вязкость бензольного раствора при концентрации 10,32 г/л  $\eta_{уд} = 0,0575$ . Молекулярный вес по вязкости 1070.

Таблица 2

### Фракционный состав полиэфира № 30

№ фракций	Вес фракции	Потери в г	Общий вес в г	Молекулярный вес
I	0,98	0,19	1,17	1430
II	1,25	0,19	1,44	1260
III	1,18	0,28	1,46	1220
IV	3,25	0,66	3,91	1120
V	1,43	0,34	1,77	860
VI	0,16	—	0,16	500
Нефракционированный	8,25	1,66	9,91	1070
Вычислено из суммы фракций *	—	—	—	1130

\* Вычисление среднего молекулярного веса неразделенной смеси производилось по формуле:  $M_s = \sum f_x M_x$ , где  $f_x$  — весовая доля отдельных фракций;  $M_x$  — мол. вес этих фракций.

### Фракционирование полиэфира № 30

1. 10 г. полиэфира растворены в 500 мл сухого бензола и из этого раствора путем дробного осаждения легким петролейным эфиром выделены 6 фракций по ранее описанному методу [12]. Результаты фракционирования приведены в табл. 2 и на фигуре.

2. 47 г полиэфира № 30 были подвергнуты разделению на фракции вышеуказанным способом. Одна из полученных фракций с молекулярным весом 1100 в количестве 16 г подвергалась повторному освобождению от низкомолекулярной и высокомолекулярной примесей и таким образом была выделена фракция с средним молекулярным весом 1100 в количестве 10,85 г.

Дальнейшая попытка отделения низкомолекулярных и высокомолекулярных примесей от этой фракции результатов не дала.

### Получение полиэфира № 31

10,15 г фракции полиэфира № 30 с молекулярным весом 1100 нагрелись в запаянной трубке в течение 42 час. при температуре 170°. Продукт реакции внешне не отличался от исходного полиэфира.

9,5 г полученного таким образом полиэфира растворены в 500 мл бензола и дробным осаждением петролейным эфиром выделены 6 фракций. Результаты приведены в табл. 3. Кривая распределения фракций с различным молекулярным весом приведена выше на фигуре.

Таблица 3

Фракционный состав полиэфира № 31

№ фракций	Вес фракции в г	Потери в г	Общий вес в г	Молекулярный вес
I	1,40	0,28	1,38	1550
II	1,22	0,23	1,45	1320
III	1,33	0,19	1,52	1290
IV	3,06	0,57	3,63	1150
V	0,89	0,34	1,23	750
VI	0,17	—	0,17	450
Нефракционированный	7,77	1,61	9,38	1200
Вычислено из суммы фракций	—	—	—	1190

### ВЫВОДЫ

1. Изучены реакции междущенного обмена в соединениях с амидной и сложноэфирной связью, приводящие к синтезу полиэфиров и полиамидов.

2. Показано, что сложноэфирные связи под влиянием свободных гидроксильных, карбоксильных и аминокгрупп подвергаются обменным реакциям по типу реакций алкоголиза, ацидолиза и аминолиза. Амидные связи разрываются лишь под влиянием аминных и карбоксильных групп и устойчивы к действию гидроксильных групп.

3. Найдено, что обменная реакция диэтиладинината с диацетилгексаметилендиамином в отсутствие катализаторов не протекает и имеет место лишь в присутствии кислого катализатора.

4. Показано, что узкая фракция полиэфира при длительном нагревании претерпевает сильное изменение за счет реакции междущенного обмена, в результате которой образуется более гетерогенный продукт, кривая распределения которого аналогична распределению в исходном нефракционированном полиэфире, полученном при поликонденсации адипиновой кислоты и этиленгликоля.

## ЛИТЕРАТУРА

1. В. В. Коршак, С. Р. Рафи́ков, В. А. Замятина, Исследования в области высокомолекулярных соединений, Изд. АН СССР, М.—Л., 1949, стр. 3.
  2. С. Р. Рафи́ков, В. В. Коршак, Г. Н. Челнокова, ДАН 57, 357 (1947); Изв. АН СССР, ОХН, № 6, 642 (1948).
  3. В. В. Коршак, В. А. Замятина, ДАН 59, 909 (1948); Изв. АН СССР, ОХН, № 4, 412 (1948).
  4. P. Flory, J. Am. Chem. Soc. 58, 1877 (1936).
  5. G. W. Schulz, Z. phys. Chem. A. 182, 127 (1938).
  6. В. В. Коршак, С. Р. Рафи́ков, ДАН 48, 36 (1945).
  7. В. В. Коршак, В. В. Голубев, Изв. АН СССР, ОХН, № 4, 379 (1949).
  8. В. В. Коршак, В. А. Замятина, Изв. АН СССР, ОХН, № 6, 609 (1945).
  9. В. В. Коршак, С. В. Виноградова, Изв. АН СССР, ОХН, № 6, 756 (1951).
  10. Д. Н. Курсанов, В. В. Коршак, В. С. Виноградова, Изв. АН СССР, ОХН, № 1, 140 (1953).
  11. В. В. Коршак, С. В. Виноградова, Изв. АН СССР, ОХН, № 1, 63 (1951); № 2, 179; № 3, 334 (1951).
  12. В. В. Коршак, С. Р. Рафи́ков, Синтез и исследование высокомолекулярных соединений, Изд. АН СССР, М.—Л., 1949, стр. 340.
  13. В. В. Коршак, С. Р. Рафи́ков, там же, стр. 357.
-

В. В. КОРШАК и Н. Г. МАТВЕЕВА

## ИЗ ОБЛАСТИ ВЫСОКОМОЛЕКУЛЯРНЫХ СОЕДИНЕНИЙ

### СООБЩЕНИЕ 59. О СТЕРЕОХИМИИ $\alpha$ -МЕТИЛСТИРОЛОВ В СВЯЗИ С ИХ СПОСОБНОСТЬЮ К ПОЛИМЕРИЗАЦИИ

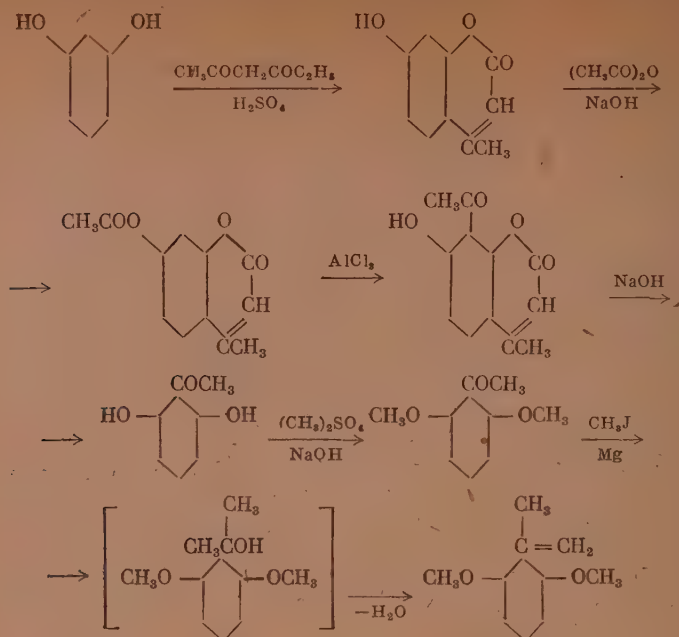
Как мы показали в предыдущем сообщении, наличие заместителей мета- и параположении в молекуле стирола не вызывает появления пространственных затруднений для процесса полимеризации, точно так же как и наличие одного заместителя в ортоположении к винильной группе [1]. Даже такой большой заместитель, как изопропильная группа, как то мы наблюдали на примере полученного нами 2, 4, 5-триизопропилстирола [1], не препятствует полимеризации. Но если в ортоположении находятся два заместителя, то их влияние сказывается гораздо определеннее. Мы установили, что существенна и природа этих заместителей; так, в случае метоксиальной группы, как мы это выяснили на примере 2,6-диметоксисти-рола [1], благодаря ее легкому вращению и малому размеру атома кислорода, не возникает пространственных препятствий и этот стирол легко полимеризуется, в то время, когда этим заместителем является метильная группа, как это мы наблюдали на примере 2,6-диметил-4-третичного бутилстирола [2], возникают большие пространственные препятствия для процесса радикальной полимеризации и стирол практически теряет эту способность, сохраняя, однако, способность к ионной полимеризации.

Наличие пространственных препятствий у ортодизамещенных стиро-лов было весьма интересно сочетать с влиянием заместителей, находя-щихся в винильной группе. Некоторые дизамещенные несимметричные эти-лены были изучены нами ранее и при этом удалось установить, что возни-кающие в этом случае пространственные препятствия оказываются суще-ственными только в случае таких больших заместителей, как фенильная или циклогексильная группа [3].

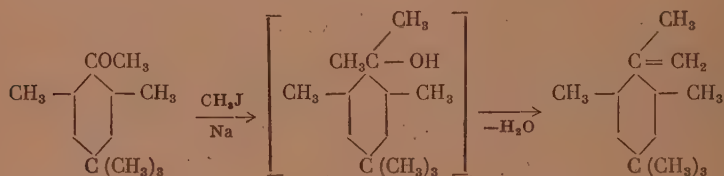
В данном исследовании мы поставили своей целью исследовать стерео-химические факторы на примере некоторых замещенных в положении 2,6- $\alpha$ -метилстиролов. С этой целью нами были синтезированы 2,6-диметокси- $\alpha$ -ме-тилстирол и 2,6-диметил-4-третичный бутил- $\alpha$ -метилстирол и исследова-на их способность к полимеризации. 2,6-Диметокси- $\alpha$ -метилстирол был по-лучен в результате длинного ряда превращений, показанных на следую-щей схеме (см. стр. 752).

Исходным продуктом являлся 7-окси-4-метилкумарин, который был получен из резорцина и ацетоуксусного эфира в присутствии концентри-рованной серной кислоты. Ацетилирование 7-окси-4-метилкумарина до 7-цетокси-4-метилкумарина, перегруппировка по Фрису и гидролиз про-дукта перегруппировки приводит к получению 2-ацетилрезорцина. Ме-тилирование 2-ацетилрезорцина диметилсульфатом приводит к образова-нию 2-ацетилдиметоксирезорцина. Последний при действии метилмагний-иодида был превращен в 2,6-диметоксифенилдиметилкарбинол, который сразу же дегидратируется, превращаясь в 2,6-диметокси- $\alpha$ -метилстирол, представляющий собой жидкость с т. кип. 136—138° при 26 мм рт. ст.





2,6-Диметил-4-третичный бутил-α-метилстирол был получен из 2,6-диметил-4-третичного бутилацетофенона по схеме:

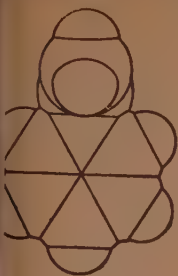


Исходный 2,6-диметил-4-третичный бутилацетофенон обрабатывался иодистым метилом и металлическим натрием по способу Шорыгина [5] и превращался в 2,6-диметил-4-третичный бутилфенилдиметилкарбинол, который при выделении дегидратировался, образуя 2,6-диметил-4-третичный бутил-α-метилстирол, представляющий жидкость, кипящую при 124—125° при 3 мм рт. ст. Наши попытки получить этот продукт при помощи метилмагнийиодида не привели к успеху, так как оказалось, что 2,6-диметил-4-третичный бутилацетофенон с метилмагнийиодидом совершенно не реагирует и после реакции возвращается в неизменном виде. Поэтому только при помощи реакции Шорыгина удалось преодолеть эти пространственные препятствия.

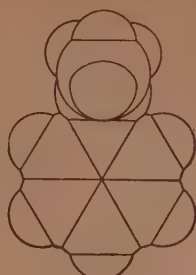
Полученные α-метилстиролы были подвергнуты различной обработке с целью нахождения способов их полимеризации. Они нагревались при 200° в течение 250 час., нагревались также длительное время с добавкой перекиси бензоила, подвергались действию хлористого алюминия и освещались продолжительное время ультрафиолетовым светом кварцевой лампы. Однако ни в одном случае не было обнаружено никаких признаков полимеризации. На этом основании пришлось сделать вывод о полном отсутствии способности полимеризоваться у этих α-метилстиролов.

Если рассмотреть стереохимические модели стирола и α-метилстирола, которые изображены на фиг. 1 и 2, то легко увидеть, что наличие метильной

руппы в  $\alpha$ -положении приводит к возникновению значительных пространственных препятствий для процесса полимеризации. В результате этого имеет место потеря способности к радикальной полимеризации. Однако

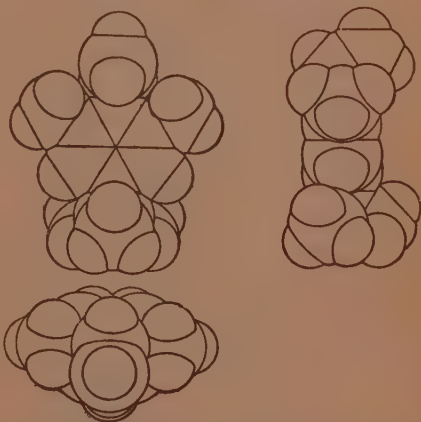


Фиг. 1. Стирол

Фиг. 2.  $\alpha$ -Метилстирол

еще сохраняется способность к ионной полимеризации под влиянием хлористого алюминия, фтористого бора и других катализаторов. В этом отношении  $\alpha$ -метилстирол имеет большое сходство с 2,6-диметил-4-третичным бутилстиролом, у которого пространственные препятствия, вызываемые наличием двух метильных групп в ортоположении, также приводят к потере способности к радикальной полимеризации, но еще сохраняется способность к ионной полимеризации, как это было установлено нами в одной из предыдущих работ [2]. На фиг. 3 приведена стереохимическая модель 2,6-диметил-4-третичного бутилстирола, на которой хорошо видно, насколько значителен эффект блокирования, вызываемый двумя метильными группами.

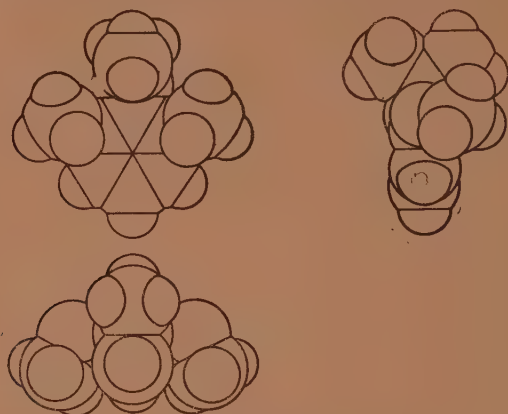
То обстоятельство, что у этих соединений еще сохранилась способность к ионной полимеризации, мы объяснили тем различием, какое имеется между силами полярными и неполярными, так как известно, что полярные силы ослабевают с изменением расстояния, как  $1/r^3$ , в то время как силы неполярные изменяются, как  $1/r^{10}$ , где  $r$  — расстояние между частицами. Следовательно, полярные силы, возникающие при ионной полимеризации, действуют на большем расстоянии, чем неполярные, возникающие при радикальной полимеризации, поэтому и неудивительно, что пространственные препятствия, легче преодолеваются в случае ионной полимеризации [2].



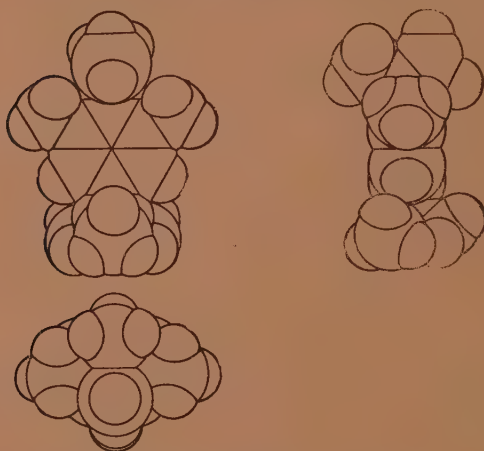
Фиг. 3. 2,6-Диметил-4-третичный бутилстирол

Если сопоставить с рассмотренными двумя соединениями синтезированные нами 2,6-диметокси- $\alpha$ -метилстирол и 2,6-диметил-4-третичный бутил- $\alpha$ -метилстирол, пространственные модели которых изображены на фиг. 4 и 5, то легко заметить, что у этих соединений пространственные препятствия возрастают во много раз. Это происходит вследствие совмещения эффекта экранирования и эффекта блокирования, вызываемых обоими заместителями. В результате этого пространственные препятствия становятся столь большими, что их уже не может преодолеть не только свободный радикал, но и ион, существующий в ионной полимеризации.

Таким образом, на примере этих двух замещенных в ортоположении  $\alpha$ -метилстиролов мы можем сделать вывод, что даже такой небольшой заместитель, как метильная группа, может создать весьма большие пространственные препятствия для полимеризации дважды замещенного этилена, если второй заместитель будет дизамещенная в ортоположении метильная группа. Следовательно стереохимические факторы, как это мы по-



Фиг. 4. 2,6-Диметокси- $\alpha$ -метилстирол



Фиг. 5. 2,6-Диметил-4-третичный бутил- $\alpha$ -метилстирол

казали ранее, могут оказаться затрудняющими полимеризацию не только в случае тетразамещенных этиленов [4] или дизамещенных этиленов с двумя большими заместителями [3], но и у дизамещенных этиленов с одним небольшим и вторым большим и разветвленным заместителем.

#### ЭКСПЕРИМЕНТАЛЬНАЯ ЧАСТЬ

**2,6-Диметил-4-третичный бутил- $\alpha$ -метилстирол.** В круглодонную колбу, снабженную обратным холодильником, помещают 100 г 2,6-диметил-4-третичного бутилацетофенона, 210 г иодистого метила и 48 г натриевого песка в 250 мл серного эфира. Так как начало реакции обычно несколько задерживается, то для устранения этого добавляют 1 мл этилового спирта. Когда реакция начинает затихать, колбу нагревают на водяной бане в течение одного часа и после этого оставляют стоять на ночь. Затем эфир-

ный слой со взвешенным алкоголятом осторожно сливают с металлического натрия, оставшийся натрий несколько раз встряхивают с эфиром и взвесь алкоголята с эфиром сливают. Эфирные вытяжки соединяют вместе и алкоголят разлагают водой. Эфирный слой отделяют в делительной воронке, промывают водой, затем разбавленной соляной кислотой и снова водой. Промытый эфирный слой сушат прокаленным сульфатом натрия и затем отгоняют эфир, а остаток перегоняют в вакууме. После трехкратной перегонки получают вещество, кипящее при 124—125° (3 мм). Выход составил 15,7 г, т. е. 15,5% от теории. 2,6-Диметил-4-третичный бутил- $\alpha$ -метилстирол представляет собой бесцветное вязкое масло со скипидарным запахом;  $d_4^{20}$  0,9489,  $n_D^{20}$  1,5050; найдено  $MR$  68,13; вычислено  $MR$  68,62. Вещество хорошо растворимо в органических растворителях и не растворимо в воде.

Найдено %: С 88,20; 88,22; Н 10,58; 10,61  
 $C_{15}H_{22}$ . Вычислено %: С 89,03; Н 10,96

**2,6-Диметокси- $\alpha$ -метилстирол.** В двухгорлую колбу, снабженную обратным холодильником и капельной воронкой, помещают 1,32 г магниевой стружки и из капельной воронки прибавляют смесь 12 г иодистого метила и 50 мл абсолютного эфира. После растворения магния прибавляют 10 г 2,6-диметоксиацетофенона в 50 мл абсолютного эфира. 2,6-диметоксиацетофенон приготавливался из 2,6-диоксиацетофенона (ацетилрезорцина) по способу, описанному ранее [1], и имел т. пл. 69—70°. После того как весь раствор 2,6-диметоксиацетофенона прибавлен, реакционную массу оставляют стоять полчаса, а затем разлагают раствором хлористого аммония: Эфирный слой отделяют в делительной воронке, промывают несколько раз водой, сушат прокаленным сульфатом натрия и эфир отгоняют, а остаток перегоняют под вакуумом. После трехкратной перегонки получен продукт, кипящий при 136—138° (26 мм) или 92—94° (3 мм). Выход 4,7 г, т. е. 47,6% от теории. 2,6-Диметокси- $\alpha$ -метилстирол представляет собой прозрачные кристаллы с ароматическим запахом, плавящиеся при 36—37°;  $d_4^{20}$  1,043.

Найдено %: С 74,30; 74,55; Н 8,16; 8,18  
 $C_{11}H_{14}O_2$ . Вычислено %: С 74,13; Н 7,92

## ВЫВОДЫ

1. Исследована способность к полимеризации 2,6-диметокси- $\alpha$ -метилстирола и 2,6-диметил-4-третичного бутил- $\alpha$ -метилстирола и найдено, что оба эти соединения неспособны полимеризоваться.
2. Предложено объяснение отсутствию способности к полимеризации у 2,6-диметокси- $\alpha$ -метилстирола и 2,6-диметил-4-третичного бутил- $\alpha$ -метилстирола на основе стереохимии, как результат пространственных препятствий, создаваемых метильной группой в  $\alpha$ -положении и двумя заместителями в ортоположении.
3. Найдено, что 2,6-диметил-4-третичный бутилацетофенон не способен реагировать с магниорганическими соединениями и, напротив, легко взаимодействует по способу Шорыгина с натрийорганическими соединениями.
4. Синтезированы 2,6-диметокси- $\alpha$ -метилстирол и 2,6-диметил-4-третичный бутил- $\alpha$ -метилстирол.



## ЛИТЕРАТУРА

1. В. В. Коршак и Н. Г. Матвеева, Изв. АН СССР, ОХН, № 3, 54 (1953).
  2. В. В. Коршак и Н. Г. Матвеева, ДАН 78, 1145 (1951).
  3. В. В. Коршак и Н. Г. Матвеева, Изв. АН СССР, ОХН, № 3 547 (1953).
  4. В. В. Коршак и Н. Г. Матвеева, Изв. АН СССР, ОХН, № 2, 34 (1953).
  5. П. П. Шорыгин, Исследование в области металлоорганических соединений натрия, М., 1910, стр. 6.
  6. В. В. Коршак, Изв. АН СССР, ОХН, № 3, 269 (1949).
  7. В. В. Коршак, Химия высокомолекулярных соединений, Изд. АН СССР М.—Л., 1950, стр. 180.
-

## ХРОНИКА

### В КОМИССИИ ПО РАЗРАБОТКЕ НАУЧНОГО НАСЛЕДИЯ И ИЗДАНИЮ ТРУДОВ Д. И. МЕНДЕЛЕЕВА

12 и 13 февраля 1953 г. в Ленинграде происходила научная сессия Комиссии по разработке научного наследия и изданию трудов Д. И. Менделеева совместно с Ленинградским отделением химического общества имени Д. И. Менделеева.

Во вступительном слове академик А. В. Топчиев отметил, что за последние годы издано значительное количество сочинений Д. И. Менделеева и сборников, освещающих разные стороны деятельности великого русского ученого, однако надо признать, что мы все же еще недостаточно выпускаем труды Д. И. Менделеева, мало популяризируем его творчество. Особенно неудовлетворительно обстоит дело с изучением архива Д. И. Менделеева, публикацией документов, которые должны явиться важным дополнением к опубликованным сочинениям Д. И. Менделеева.

Академик А. В. Топчиев указал, что главной задачей исследователей творчества Д. И. Менделеева является в настоящее время разбор его архива, расшифровка и изучение рукописей. Вполне закономерно, что все доклады, зачитываемые на настоящих заседаниях Комиссии, содержат много вновь обнаруженных материалов из архива Д. И. Менделеева.

Теперь, когда все документы, оставшиеся после смерти Д. И. Менделеева, концентрируются в одном месте — в Музее-Архиве Д. И. Менделеева при Ленинградском университете им. А. А. Жданова, работа исследователей творчества Д. И. Менделеева должна значительно облегчиться.

В обширном докладе «Вклад Д. И. Менделеева в науку о нефти» академик А. В. Топчиев ярко и красочно обрисовал научную, организаторскую и инженерную деятельность Менделеева в области нефти. Большое количество привлеченных архивных материалов позволило богаче представить дела и мысли великого русского химика.

Уже после первого ознакомления с нефтяными заводами в Баку в 1863 г. Менделеев дает ряд советов, позволяющих улучшить технику переработки нефти, а главное внимание уже тогда обращает на необходимость строительства нефтепроводов. Вновь выявленные архивные материалы показывают, что в 1863 г. у Менделеева не только рождается идея о необходимости организации нефтеперерабатывающих заводов в центре России, но он сам решает взять на себя техническое руководство заводом, который предполагалось построить вблизи Нижнего Новгорода. Сохранившиеся различные записки, чертежи и тексты договоров с нефтепромышленником В. А. Кокаревым показывают, как детально Д. И. разработал все технологические процессы переработки нефти, внося в них много нового; как много внимания он уделил вопросу перевозки нефти по Волге, предложил свою конструкцию нефтеналивной баржи. Все эти документы характеризуют Д. И. Менделеева как инженера.

Уже с первых шагов своей деятельности в области нефти Менделеев понимал все громадное значение научных исследований. «Без науки и с нефтью будут потемки», — говорил он.

Академик А. В. Топчиев привел обширный архивный материал, показывающий большие научные исследования, выполненные Д. И. Менделеевым, изучившим состав нефтей, их физические и химические свойства. Находящиеся в Архиве Д. И. Менделеева при Ленинградском университете рабочие тетради, записные книжки дают чрезвычайно важный дополнительный материал к опубликованным работам Д. И. по исследованию нефти. Так, Менделеев, пользуясь пикнометром своей конструкции, с большой точностью определил удельные веса различных погоней нефти, а также и коэффициент расширения. Он проводит весьма интересные как с теоретической, так и с практической точки зрения работы по очистке нефтяных продуктов химическими реагентами; он испытывает действие на нефть различных кислот, напатыря, аммиака, применяя в качестве очистителей отбеливающие глины, уголь, пемзу, битый кирпич. Изучая окисление нефтяных продуктов кислородом воздуха, Д. И. Менделеев показывает, что выделять тяжелые части из нефти можно посредством селективных растворов.

Академик А. В. Топчиев привел много материалов, показывающих, какую настойчивость и изобретательность проявил Д. И. Менделеев, чтобы добиться более полного

разделения нефти при помощи дробной перегонки. Менделеевым было сконструировано несколько приборов, в которых он смог разделять нефть на двухградусные фракции. Большой интерес представляют продемонстрированные академиком А. В. Толпчиевым фотографии графиков из записных книжек Д. И. Менделеева, на которых ординатами служили средние температуры кипения фракций, а абсциссами — их удельные веса. Менделеев установил, что кривая удельных весов нефти характеризуется чередованием минимумов и максимумов, что заставило его предположить наличие в изученных им нефтях по крайней мере двух рядов углеводородов: более легких — предельных и менее легких — непредельных. Академик А. В. Толпчиев особо подчеркнул, что эти чрезвычайно важные в химическом отношении выводы получены Дмитрием Ивановичем на основе чисто физических и физико-химических методов исследования. Обладая точными способами характеристики нефти, Д. И. Менделеев смог установить, что химический состав нефти зависит от условий ее залегания.

Менделеев настойчиво требовал от промышленников улучшения методов переработки нефти, применения непрерывной перегонки, использования дефлегматоров. Работая в 1881 г. на Константиновском заводе близ Ярославля, Менделеев в заводских условиях испытывал новые методы перегонки нефти, новые, предложенные им, более усовершенствованные перегонные аппараты. Менделеев интересовался термической переработкой нефти — будущим крекингом.

Много интересных сведений сообщил академик А. В. Толпчиев о борьбе Д. И. Менделеева за полное использование всех веществ, содержащихся в нефти. Д. И. Менделеев раньше, чем кто-либо другой, определил величайшую ценность нефти для народного хозяйства и первый в своих работах и публичных выступлениях отстаивал необходимость полной переработки и рационального использования нефти. В начале 80-х годов Менделеев указывал на возможность получения из нефти ароматических углеводородов, органических красителей. Благодаря настойчивости Менделеева в России стали получать ценные смазочные масла, а керосин (называемый в середине XIX столетия фотонафтилем) добывался в количествах, позволявших не только полностью прекратить ввоз американского, но даже вывозить керосин в другие страны. Много усилий потратил Менделеев на разработку метода получения безопасного осветительного масла, названного им бакулолем. Он принимал деятельное участие в конкурсе на безопасную лампу.

Только в условиях советского строя сбылись мечты Менделеева о нефти. Осуществилось его желание добывать нефть на острове Челекене, на севере России, в районах Поволжья. В настоящее время полностью сбылись пророческие слова Д. И. Менделеева о нефти как сырье для химической переработки.

В заключение академик А. В. Толпчиев указал, что богатейшее научное наследие Д. И. Менделеева в области нефтяной науки и промышленности до сих пор не разработано в должной мере. Многочисленные записные книжки, рабочие тетради и отдельные пометки Д. И. Менделеева, хранящиеся в научном архиве при Ленинградском университете имени А. А. Жданова, таят в себе многие идеи, могущие оплодотворить творческую мысль советских исследователей. Тщательное изучение и разработка научного наследия Д. И. Менделеева помогут советским ученым-нефтяникам в их повседневном упорном труде над изучением состава, свойств и методов переработки нефти, направленном на разрешение проблемы рационального использования нефти в соответствии с историческими решениями XIX съезда Коммунистической партии Советского Союза.

К докладу академика А. В. Толпчиева Библиотечкой Академии наук СССР в дни сессии была развернута выставка «Д. И. Менделеев и нефтяная промышленность России». Вызвавшая большой интерес выставка состояла из шести разделов:

1. Сведения о нефти в русской литературе XVIII века.
2. Нефтяное дело в России до Менделеева.
3. Д. И. Менделеев о нефти.
4. Нефтяное дело в России от Менделеева до Великой Октябрьской социалистической революции.
5. Нефтяное дело в Советском Союзе.
6. Нефтяники-новаторы производства.

Сотрудники Справочно-библиографического Отдела БАН — Л. М. Гаркави, Н. Н. Дейкова и О. П. Каменогрская, организовавшие выставку, сумели показать много мало известных изданий.

Среди экспонированных материалов 1-го раздел следует отметить «Ведомости» № 1 за 1703 г., в которых помещена заметка «Сведения о наличии нефти в Казани», труды М. В. Ломоносова, Ф. П. Соймонова, И. Лепехина и других авторов XVIII в., в сочинениях которых имеются сведения о наличии нефти в России.

Богато был представлен раздел «Нефтяное дело в России от Менделеева до Великой Октябрьской Социалистической Революции». Здесь посетители выставки увидели труды М. И. Коновалова, К. В. Харичкова, В. В. Марковникова, А. А. Летнего, К. Лисенко, А. Курбатова и др.

Нефтяное дело в Советском Союзе было представлено трудами крупнейших советских ученых-академиков: Губкина, Зелинского, Наметкина, Толпчиева и др., а также большим количеством работ нефтяников-новаторов производства.

Всего на выставке было представлено 160 книг.

О работах Д. И. Менделеева, предшествовавших открытию периодического закона, сделал доклад проф. Б. М. Кедров. Докладчик проанализировал ряд недавно обнаруженных материалов Менделеева, которые показывают, как происходило открытие великого закона природы. Эти материалы можно условно подразделить на три группы: в первую группу входят документы, относящиеся к более ранним годам научного творчества Менделеева (1856—1867 гг.) — после окончания Главного педагогического института и до занятия кафедры химии в Петербургском университете. Сюда относятся работы по изоморфизму, удельным объемам, теории пределов и др.; в них раскрывались те взаимоотношения между элементами, которые позднее (в 1869 г.) выступили в качестве физической и химической функции от атомных весов. Особое значение имеют материалы, свидетельствующие о том, как Менделеев изучал проблему определения атомных весов и распределение элементов по «естественным группам».

Во вторую группу материалов входят записи Менделеева, связанные с лекциями в СПб. университете, с созданием 1-й части «Основ химии» и с планами 2-й части (с конца 1867 до начала 1869 гг.). Эти материалы непосредственно подвели к открытию периодического закона, который был найден при обработке «Основ химии», на что неоднократно указывал и сам Менделеев.

Третью группу материалов составляют документы, относящиеся к дню самого открытия — 17 февраля 1869 г. (ст. стиля). В этот день Менделеев собирался выехать в командировку по заданию Вольного экономического общества, но, очевидно, не выехал в связи с работой над первыми вариантами периодической системы. К этому дню относятся пять документов, три из которых, имеющие дату 17 февраля 1869 г., позволяют определить момент начала открытия и момент его завершения в течение этого дня, а также ход этого открытия по мере все более полного и глубокого раскрытия связей между отдельными элементами и целыми группами их и по мере того, как создаваемой системой охватывалось все большее число элементов, вплоть до того, как, наконец, были охвачены ею все известные в то время 63 элемента.

Вновь найденные материалы позволяют выяснить многие важные детали в истории великого открытия, сделанного Менделеевым, в частности, они подтверждают выдвинутое ранее предположение о том, что при открытии периодического закона элементы располагались Менделеевым не в один общий ряд (по величине атомных весов) с последующей разбивкой на периоды, а по группам так, что одна группа элементов подписывалась под другой в соответствии со значением атомных весов их членов.

Б. М. Кедров сообщил, что все материалы, равно как и записи Менделеева, касавшиеся его экспериментальных лабораторных работ по химии, проводившихся в 1869—1871 гг., войдут в подготовляемый II том «Научного архива» Д. И. Менделеева, который, как и I том этой серии, посвящается периодическому закону.

Сотрудник Архива Д. И. Менделеева Р. В. Добротин в докладе «О рукописях Д. И. Менделеева по теории пределов» сообщил интересные сведения о подготовительной работе Д. И. Менделеева над его теорией пределов органических соединений. Из этих, впервые изученных рукописей, относящихся к 1861 г., гораздо яснее, чем из напечатанных статей, можно видеть предпосылки и основные идеи, приведшие Д. И. Менделеева к законченной теории пределов, изложенной в специальных статьях и книге «Органическая химия».

По мнению докладчика, в теории пределов Д. И. Менделеев выражает прогрессивный для того времени взгляд на химические соединения. Д. И. Менделеев, еще не используя схемы распределения валентностей, ясно понимал возможность познания взаимного влияния атомов в молекуле, что полностью отрицалось теорией типов. Одновременно с теорией пределов Д. И. Менделеев выработал понятие о формах соединений. Оба эти понятия (о пределах и о формах) сыграли выдающуюся роль в дальнейшем творчестве Д. И. Менделеева и должны рассматриваться как важные этапы на пути к открытию периодического закона.

Большим опытом в расшифровке рукописей Д. И. Менделеева поделился бывший личный секретарь великого русского ученого Алексей Васильевич Сковрцов, прочитавший доклад на тему: «Транскрипция рукописей Д. И. Менделеева и их расшифровка». Почерк Д. И. Менделеева отличается многими особенностями и своеобразием написания, что делает его мало доступным для чтения. Так, Д. И., стремясь записать на бумагу опережающие скорость письма мысли, очень часто сокращал слова и объединял вместе несколько слов.

А. В. Сковрцов на ряде примеров показал характерные для Д. И. сокращения слов и их соединения в одно. Требуется очень большая практика, чтобы привыкнуть к этим особенностям письма Менделеева. Продемонстрировав большое количество фотографий отдельных страниц из записных книжек и дневников Менделеева, докладчик показал, как им писались отдельные буквы, среди которых особенные трудности при чтении представляли буквы «я», «т», «к». Интересно, что сочетание букв «с» и «т» Менделеев писал как букву «б».

В результате упорного труда А. В. Сковрцов расшифровал тридцать две записные книжки, многие рабочие тетради, дневниковые записи, разные заметки, письма и т. д., составляющие в общей сложности около 2000 страниц машинописного текста.

Новые люди, приступающие к глубокому изучению творчества нашего великого химика, должны перенять у А. В. Сковрцова его опыт расшифровки рукописей Д. И. Менделеева.



Члены Комиссии посетили Музей-Архив Д. И. Менделеева, где под председательством академика А. В. Топчиева состоялось заседание, посвященное различным организационным и издательским вопросам.

Помещения музея значительно расширились. Комната, в которой долгие годы был кабинет Менделеева, теперь вошла в помещение музея. Здесь будут расположены предметы и книги, которые действительно находились в кабинете Менделеева при его жизни.

Перед работниками музея стоит большая задача создать экспозицию, раскрывающую все стороны деятельности великого русского ученого.

## СОДЕРЖАНИЕ

Памяти академика Ильи Васильевича Гребенщикова. Некролог . . . . .	581
--	-----

### ОБЩАЯ И НЕОРГАНИЧЕСКАЯ ХИМИЯ

Г. И. Феклисов. Применение литийалюминийгидрида для микросинтезов с меченым углеродом . . . . .	587
С. К. Дуброво и Ю. А. Шмидт. Взаимодействие стеклообразных силикатов и алюмосиликатов натрия с водными растворами. Сообщение 1. Взаимодействие стеклообразных силикатов натрия с водой и растворами соляной кислоты . . . . .	597
М. М. Пирютко и Ю. А. Шмидт. Состояние кремневой кислоты в растворе и методы ее колориметрического определения . . . . .	607
С. Г. Майрановский. О предельных токах при каталитическом разряде водорода под действием аминов. Сообщение 1. Теория предельных каталитических токов разряда водорода . . . . .	615
А. А. Добринская и М. Б. Нейман. Исследование условий воспламенения газовых смесей. Сообщение 22. Влияние примеси перекиси этила и ацетальдегида на кинетику холоднопламенного окисления бутана . . . . .	623
Е. Н. Никитин. Новое в аппаратуре для измерения сорбции . . . . .	629
И. С. Канценопольский. Гидротехнические цементы в республиках Средней Азии . . . . .	635

### ОРГАНИЧЕСКАЯ И БИОЛОГИЧЕСКАЯ ХИМИЯ

А. Н. Несмеянов, О. А. Реутов, С. С. Поддубная. Исследование оптически активных ртутноорганических соединений. Сообщение 1. Получение диастереомерных <i>l</i> -ментоловых эфиров $\alpha$ -броммеркурфенилуксусной кислоты . . . . .	649
О. А. Реутов и А. Н. Несмеянов. Синтез ртутноорганических соединений путем взаимодействия органических галоидопроизводных соединений с металлической ртутью . . . . .	655
К. А. Андрианов и А. В. Топчиев. Основы номенклатуры и классификации высокомолекулярных кремнийорганических соединений . . . . .	665
Б. А. Казанский, И. В. Гостунская и А. М. Гранат. Каталитическое гидрирование двунепредельных соединений с сопряженной системой двойных связей. Сообщение 2. Гидрирование изопрена в присутствии платины, палладия и никеля . . . . .	670
Н. И. Шуйкин и Е. А. Тимофеева. Исследование превращений индивидуальных углеводов в контакте с активированной трощковской глиной. Сообщение 1. Превращения циклогексена, 4-метилциклогексена-1 и октана-1 . . . . .	678
А. Ф. Платз, А. Л. Либерман и Н. А. Момма. Получение 1, 2-диалкилцикланов. Синтез стереоизомерных 1-метил-2-н.бутилциклопентанов . . . . .	689
Л. Я. Марголис, Е. Г. Плышевская. Каталитическое окисление простейших непредельных углеводов тяжелым кислородом . . . . .	697
Я. Т. Эйбус и Н. И. Ершов. О каталитической гидроконденсации окиси углерода с олефинами. Сообщение 10. Отношение циклогексена к гидроконденсационному катализу . . . . .	704
В. С. Чугунов и А. Д. Петров. Магнийорганический синтез $\alpha$ -нафтилфенилди-н.бутилсилаана, $\alpha$ -нафтилтри- <i>p</i> -толилсилаана, $\alpha$ -нафтилтрибензилсилаана и $\alpha$ -нафтилфенилбензил- <i>p</i> -толилсилаана . . . . .	713
М. Ф. Шостаковский и Н. А. Герштейн. К превращениям простых виниловых эфиров. Химические свойства алкил- $\beta$ -хлорэтилацеталей . . . . .	716
М. Ф. Шостаковский, Б. И. Михантьев, Н. Н. Овчинникова. Ионная сополимеризация простых виниловых эфиров . . . . .	721
И. Н. Назаров. О номенклатуре синтетических стероидных соединений и родственных им веществ . . . . .	726
И. Н. Назаров, Л. И. Ухова и В. А. Руденко. Производные ацетиленов. Сообщение 151. Гетероциклические соединения. XXVII. Синтез полициклических $\gamma$ -аминоспиртов и их сложных эфиров . . . . .	730

С. Р. Рафиков, В. В. Коршак, Г. Н. Челнокова. Из области высокомолекулярных соединений. Сообщение 55. О применении реакций междупептного обмена в процессах линейной поликонденсации . . . . .	743
В. В. Коршак и Н. Г. Матвеева. Из области высокомолекулярных соединений. Сообщение 59. О стереохимии $\alpha$ -метилстиролов в связи с их способностью к полимеризации. . . . .	751

#### ХРОНИКА

В Комиссии по разработке научного наследия и изданию трудов Д. И. Менделеева. . . . .	757
---	-----

## О Б Ъ Я В Л Е Н И Е

Отделение химических наук Академии наук СССР извещает всех химиков, научных и инженерно-технических работников других специальностей, работающих над химическими проблемами в научно-исследовательских учреждениях, высших учебных заведениях, заводских лабораториях, что в 1953 году в Москве состоится Совецание по химической кинетике и реакционной способности.

На Совецании предполагается обсудить такие важные теоретические вопросы, как связь между качественным понятием реакционности с количественными кинетическими величинами — константой скорости, энергией активации, стерическим фактором; роль свободных радикалов и ионов в химических превращениях; природа влияния среды на течение химических реакций; природа активации молекул в гомогенной и гетерогенной реакциях; основные типы химических превращений (радикально-цепные, ионные, простые молекулярные) и степень их распространенности; пути построения теории химических процессов на основе теории строения молекул и т. п.

Отделение химических наук АН СССР считает также необходимым уделить значительное внимание роли и значению химической кинетики в химической технологии.

В результате совещания должны быть выработаны конкретные программные предложения по координации работ физико-химиков и химиков-органиков по вопросам теории химического процесса, по направлению исследовательской деятельности в области химической кинетики, которые могли бы лечь в основу дальнейшей планомерной разработки этой области химии.

На Совецании предполагается заслушать доклады, охватывающие теоретические проблемы химической кинетики, проблемы химической кинетики в области реакции органической химии и вопросы химизма и химической кинетики каталитических процессов. Наряду с обсуждением докладов предполагаются также выступления, содержащие оригинальный экспериментальный или теоретический материал, имеющий прямое отношение к тематике Совецания. Тезисы, а если возможно и самые тексты выступлений должны быть присланы в Оргкомиссию Совецания.

Адрес Организационной комиссии: Москва, Б. Калужская, 31, Отделение химических наук АН СССР. Тел. В. 2-37-99.



## К СВЕДЕНИЮ АВТОРОВ

1. В «Известиях АН СССР, Отд. хим. наук» печатаются работы членов Отделения и научных сотрудников химических институтов и учреждений, входящих в Отделение. Присылаемые в журнал статьи должны представлять сжатое, четкое изложение полученных автором данных и иметь разрешение института на опубликование.

2. Статья должна начинаться с инициалов и фамилии автора, затем дается название статьи; заканчивается статья выводами.

3. В конце статьи должны быть указаны институт, в котором была выполнена работа, точный адрес и телефон автора.

4. Статьи должны быть отпечатаны на машинке с одной стороны листа через два интервала и иметь поле в 3—5 см с левой стороны.

Страницы рукописи, в том числе и литература, должны быть перенумерованы.

Статьи представляют в редакцию в двух экземплярах. Объем статьи не должен превышать 0,5 печ. листа; 16 стр. на машинке.

5. Все формулы должны быть вписаны четко от руки чернилами, особенно отчетливо должны быть вписаны индексы и показатели степени.

Греческие буквы должны быть подчеркнуты красным карандашом.

6. Во избежание ошибок следует делать ясное различие между прописными и строчными буквами латинского алфавита, для чего заглавные буквы надо подчеркнуть снизу двумя черточками (особенно такие буквы, как: U и u, S и s, V и v, W и w, K и k, O и o, I и i, C и c, P и p).

7. Цитируемая в статье литература должна даваться в общем списке в конце статьи; в тексте ссылки на цитируемую литературу отмечаются порядковой цифрой в квадратных скобках, например [1].

8. Литература должна быть оформлена в следующем порядке:

а) для книг должны быть указаны инициалы и фамилия автора, точное название книги, город, где она издана, номер тома (подчеркнуть) и год издания;

б) для журнала должны быть указаны инициалы и фамилия автора, название журнала, номер тома (подчеркнуть), страницы и год (в скобках).

Нельзя ссылаться на неопубликованные работы.

9. Все рисунки даются отдельно от рукописи и также в двух экземплярах. Подписи к ним даются на отд. листах. На обороте рисунка должны быть указаны фамилия автора, название статьи и номер рисунка. На левой стороне страницы рукописи выносятся номера рисунков, например фиг. 2.

10. На рисунках должны быть даны самые необходимые обозначения; все подробности выносятся в подписи к рисункам.

На абсциссе и ординате графиков должны быть указаны откладываемые величины и их единицы измерения.

11. Редакция посылает автору 1 корректуру. Изменения и дополнения в тексте не допускаются.

Корректура должна быть выслана обратно в редакцию в течение суток с момента ее получения.

12. После опубликования статьи автор получает 20 оттисков своей работы.

## **ИЗДАТЕЛЬСТВО АКАДЕМИИ НАУК СССР**

### **Контора „Академкнига“**

#### **ИМЕЕТСЯ В ПРОДАЖЕ КНИГА:**

Химия в изданиях Академии наук СССР. Вып. 2. 1931—1935. Составили О. П. Каменогрaдская и В. П. Алексеев. (Химическая литература СССР. Том I, вып. 2. Под редакцией В. П. Барзаковского и К. И. Шафрановского, с предисловием О. Е. Звягинцева). 1951. 245 стр., с илл. Ц. 15 р. 30 к. в пер.

В данном выпуске перечислено 1276 различных печатных работ по химии, помещенных в изданиях АН СССР за время 1931—1935 гг.

#### **Книга продается в магазинах «Академкнига»:**

Москва, ул. Горького, 6; Ленинград, Литейный проспект, 53-а; Свердловск, ул. Белинского, 71-в; Киев, ул. Ленина, 42; Харьков, Горяиновский пер., 4/6; Алма-Ата, ул. Фурманова, 129; Ташкент, ул. К. Маркса, 29.

**Иногородним заказчикам книга высылается по почте  
наложенным платежом**

**Заказы направлять в Контору «Академкнига». Москва,  
Б. Черкасский, 2, а также в ближайший из указанных магазинов**



## ОТКРЫТА ПОДПИСКА НА РЕФЕРАТИВНЫЙ ЖУРНАЛ АКАДЕМИИ НАУК СССР

Реферативный журнал готовится Институтом научной информации Академии наук СССР. Журнал будет систематически и исчерпывающе освещать всю мировую научную литературу, публикуемую по соответствующему разделу естественных наук и техники. В журнале будет реферироваться научная литература, вышедшая в свет после 1 января 1953 года.

### *Открывается подписка на 1953 г. на следующие серии Реферативного журнала*

	Объем номера в печатных листах	Цена номера
1. Математика — ежемесячный выпуск	7,5	7 р. 60 к.
2. Механика — ежемесячный выпуск	7,5	7 р. 60 к.
3. Астрономия — ежемесячный выпуск	7,5	7 р. 60 к.
4. Химия — двухнедельный выпуск	20	15 р.

В 1953 году выйдет по 3 номера серий Математики, Механики и Астрономии и 6 номеров серии Химии. Рассылка первых номеров предполагается в октябре 1953 года.

РЕФЕРАТИВНЫЙ ЖУРНАЛ ПО МАТЕМАТИКЕ будет освещать все разделы математики, вопросы вычислительной техники и математических машин.

РЕФЕРАТИВНЫЙ ЖУРНАЛ ПО МЕХАНИКЕ будет освещать разделы общей механики, включая теорию колебаний, устойчивость, регулирование и общую теорию машин; разделы гидромеханики, включая газовую динамику и аэродинамику; разделы упругости и пластичности; вопросы фильтрации жидкостей и газов в пористой среде.

РЕФЕРАТИВНЫЙ ЖУРНАЛ ПО АСТРОНОМИИ будет освещать все разделы астрономии, а также вопросы геодезии, аэрофотосъемки и картографии.

РЕФЕРАТИВНЫЙ ЖУРНАЛ ПО ХИМИИ будет освещать все разделы химии, химическую технологию и вопросы химической промышленности.

Во всех сериях реферативного журнала будут помещаться рефераты на все оригинальные научные работы и аннотации или библиографические описания книг и статей обзорного и компилятивного характера. Головные комплекты реферативных журналов будут содержать различные указатели, облегчающие пользование этими журналами. Указатели за 1953 и 1954 годы будут объединены.

### *Подписная цена на IV квартал 1953 года*

Реферативный журнал — Математика за 3 номера — 22 р. 80 к.

Реферативный журнал — Механика за 3 номера — 22 р. 80 к.

Реферативный журнал — Астрономия за 3 номера — 22 р. 80 к.

Реферативный журнал — Химия за 6 номеров — 90 руб.

Подписка принимается городскими и районными отделами «Союзпечати», отделениями и агентствами связи, а также в магазинах контторы «Академкнига»: Москва, ул. Горького, 6; Пушкинская ул., 23; Ленинград, Литейный пр., 53-а; Свердловск, ул. Белинского, 71-е; Киев, ул. Ленина, 42; Харьков, Гоголевский пер., д. 4/6; Алма-Ата, ул. Фурманова, 129; Ташкент, ул. К. Маркса, 29.